

Б.А. Колотов

ГИДРОГЕОХИМИЯ РУДНЫХ МЕСТОРОЖДЕНИЙ



Б.А. Колотов

**ГИДРОГЕОХИМИЯ
РУДНЫХ
МЕСТОРОЖДЕНИЙ**

5375



МОСКВА "НЕДРА" 1992



ББК 26.22

К 60

УДК 556.38:550.4

Организация-спонсор Институт минералогии, геохимии и кристаллохимии редких элементов

Колотов Б.А.

К 60 Гидрогоеохимия рудных месторождений. - М.: Недра, 1992. -
192 с.: ил.

ISBN 5-247-02696-9

Обобщены сведения по гидрогоеохимии эндогенных рудных месторождений. Рассмотрены условия формирования гидрогоеохимических полей рудных месторождений и литологических комплексов в зоне гипергенеза. Уделено значительное внимание условиям миграции химических элементов в гидрогоеохимических полях рудных месторождений. Приведены принципы решения прикладных задач на основе гидрогоеохимических исследований.

Для специалистов, ведущих гидрогоеохимические исследования.

К 1804030000-268
043(01)-92 113-92

ББК 26.22

ПГ ИЗВОДСТВЕННО-ПРАКТИЧЕСКОЕ ИЗДАНИЕ

Колотов Борис Александрович

ГИДРОГЕОХИМИЯ РУДНЫХ МЕСТОРОЖДЕНИЙ

Заведующий редакцией Е.И. Кит

Редактор издательства М.В. Рогачева

Обложка художника А.П. Толмачева

Художественный редактор В.А. Андросов

Технический редактор С.В. Павлова

Корректоры С.И. Гринева, И.П. Розанова

Операторы Г.Г. Кириллова, Л.В. Фролова

ИБ № 9184

Подписано в печать с репродуцированного оригинала-макета 30.03.92

Формат 60×88½. Бумага офсетная № 2. Гарнитура "Пресс-роман".

Печать офсетная. Усл.-печ.л. 11,76. Усл.кр.-отт. 12,14. Уч.-изд.л. 12,32.

Тираж 1500 экз. Зак № 1892-4204/1.

Набор выполнен на компьютерной технике.

Издательство "Недра".

125047 Москва, Тверская застава, 3.

Московская типография № 9 НПО "Всесоюзная книжная палата"

Министерство печати и информации Российской Федерации.

109033 Москва, Волочаевская ул., 40

ISBN 5-247-02696-9

© Б.А. Колотов, 1992

ВВЕДЕНИЕ

При исследовании гидрогохимических полей природных объектов и проведении их сравнительного геохимического анализа стратегической посылкой нами принято понятие о многомерности гидрогохимического поля, т.е. широкой представительности в нем очень многих компонентов, непрерывно меняющих свои концентрации в зависимости от геохимической обстановки, создаваемой в разных частях гидрогохимического поля.

Для определения параметров гидрогохимических полей природных объектов использовались четыре основных пути: 1) натурное опробование природных вод; 2) экспериментальные работы по воспроизведению гидрогохимических обстановок, выяснению состояний элементов, растворимости минералов и т.д.; 3) расчетные методы, включающие программы физико-химического моделирования и определения различного рода численных характеристик гидрогохимических полей (информационных оценок компонентов-индикаторов, статистических оценок концентраций компонентов, мультиплективных оценок комплексов и т.д.); 4) обобщение библиографических данных.

Таким образом, облик гидрогохимического поля воспроизводился по следующим группам характеристик:

комплексу химических компонентов, формирующих многомерное гидрогохимическое поле, и их парагенетическим группам;

концентрациям химических компонентов (либо математическим преобразованиям концентраций) и закономерностям распределения этих концентраций в пределах поля и во времени;

геохимическим средам, формирующими в пределах поля, и формам существования химических элементов в многомерном гидрогохимическом поле.

Для сравнительного анализа гидрогохимических полей различных природных объектов использованы результаты по многим тысячам водопунктов, опробованных практически по единой методике. Анализу предшествовало обобщение собственных исследований автора по более чем 150 природным объектам, включающим эндогенные месторождения различных типов, локальные интрузивные тела и поля эффузивных толщ, палеовулканические структуры, поля гидротермально измененных пород, различные "стерильные" литологические толщи без признаков оруденения и гидротермальных изменений и т.д.

Расчеты по физико-химическому моделированию выполнены на ЭЦВМ М-22 по программам семейства MIF, предложенным Г.А. Соломиным. Статистические параметры выбранных совокупностей получены, а корреляционный, факторный и другие виды их анализа проведены с помощью ЭЦВМ Минск-22 и М-22 в вычислительном центре ВСЕГИНГЕО, а также на ЭЦВМ БЭМС-4 в вычислительном центре МГУ.

Ясно, что начальный, фоновый состав воды, воздействующей на объект, влияет на формирование гидрогоеохимического поля, как и факторы, связанные с различного рода зональностями (в особенности климатической и гидродинамической). Поэтому взяты за основу и сравниваются прежде всего объекты с развитыми пресными водами зоны гипергенеза в горноскладчатых регионах, где наиболее рельефно можно проследить основные закономерности формирования гидрогоеохимических полей в зависимости от химического состава геологических тел.

Специальные разд^гы посвящены природным условиям формирования гидрогоеохимических полей, связанным прежде всего с различного рода зональностями, а также условиям миграции элементов в водных средах, создаваемых различными типами оруденения (диапазоны pH, окислительно-восстановительного потенциала, концентраций характерных лигантов-комплексообразователей).

Сравнительный анализ гидрогоеохимических полей проводится последовательно от гидрогоеохимических полей безрудных геологических тел в ряду от наиболее "стерильных" песчано-сланцевых толщ и наиболее равновесных по отношению к гипергенным условиям ко все более неравновесным к этим условиям вулканогенным комплексам, интрузивным телам различного состава, а затем ко все более насыщенным рудными компонентами гидротермально измененным породам, еще безрудным (в экономическом смысле), но уже тесно связанным с рудоносными структурами. И наконец, на основе всего фактического материала и литературных данных даются характеристики гидрогоеохимических полей эндогенных рудных месторождений.

Приводимый ниже обзор гидрогоеохимических полей рудных месторождений и безрудных объектов различных типов, условия формирования этих полей, а также условия водной миграции элементов в пределах гидрогоеохимических полей позволяют создать рациональную методику гидрогоеохимических поисков рудных месторождений на основе системного анализа и идей теории информации.

Автор исходит из того, что гидрогоеохимический поисковый признак как носитель информации имеет вероятностный, а не детерминированный характер в силу того, что его появление зависит от большого количества факторов, в том числе и не связанных с генезисом оруденения. Рациональное вычленение полезной, т.е. "рудной", информации и есть главная задача создания методики гидрогоеохимических поисков рудных месторождений, что и сделано на основе информации.

ГИДРОГЕОХИМИЧЕСКИЕ ПОЛЯ ЭНДОГЕННЫХ РУДНЫХ МЕСТОРОЖДЕНИЙ И ВМЕЩАЮЩИХ ПОРОД В ЗОНЕ ГИПЕРГЕНЕЗА

Геохимическое описание начнем сравнительным анализом гидрохимических полей объектов как рудной, так и нерудной природы, поскольку гидрохимия объекта отдельного типа имеет решающее значение (как и гидрохимия отдельного элемента) для создания теории гидрохимического метода. Основой разработки гидрохимического метода поисков всегда служило понятие об ореоле рассеяния элементов в водах рудных месторождений, прежде всего рассеяние рудных элементов как наиболее информативных поисковых гидрохимических признаков. Большинство исследователей ограничивалось изучением группы (иногда весьма узкой) рудных элементов. Последующая практика показала, что при разрушении месторождений происходит перераспределение многих элементов, так или иначе относящихся к рудному месторождению или к объектам, с которыми рудные тела тесно связаны генетически (интрузивы, субвулканы, поля гидротермально измененных пород и т.д.). Поскольку другие элементы существенно дополняют информацию (например, калий - для золотосеребряных месторождений, элементы-гидролизаты - для месторождений, связанных с магматическими телами), возникла необходимость изучения в водах всех, по возможности, компонентов или хотя бы широкого их круга. А кроме того, их взаимоотношений между собой, сред миграции, создаваемых выветриванием объекта, состояний элементов. Поэтому автор считает целесообразным перейти к более широкому пониманию рассеяния объекта, а именно к понятию гидрохимического поля, оставив понятие ореола рассеяния для отдельного компонента.

ГИДРОГЕОХИМИЧЕСКОЕ ПОЛЕ ПРИРОДНОГО ОБЪЕКТА И ОСНОВНАЯ КОНЦЕПЦИЯ ПОСТРОЕНИЯ МЕТОДИКИ ЕГО КАРТИРОВАНИЯ

ГИДРОГЕОХИМИЧЕСКОЕ ПОЛЕ

Любое геологическое образование, обладающее градиентом концентрации по отношению к вмещающей его среде, формирует поле рассеяния своих материальных частиц. Такое поле рассеяния можно назвать геохимическим, и определяется оно как разновидность геологических полей, где в качестве признаков рассматриваются показатели химического состава исследуемого объекта.

Рассеяние вещества геологического объекта происходит во

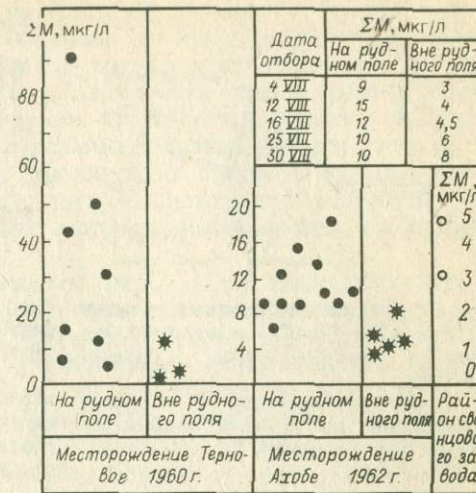
всех геосферах, причем формирующиеся геохимические поля взаимодействуют между собой.

Наиболее ярко геохимические поля проявляются для геологических объектов, обладающих значительными градиентами концентраций по отношению к окружающей их среде. Таким объектами являются прежде всего рудные месторождения. Средние характеристики концентраций элементов в различных геосферах наиболее полно изученного в этом отношении геохимического поля одного из оловорудных месторождений на Дальнем Востоке (в пределах и за пределами поля рассеяния) приведены в табл. 1.

Как видим из таблицы, геохимическое поле охватывает субстрат каждой из геосфер, что имеет не только теоретическое, но и большое практическое значение (возможность разработки новых методов геохимических поисков, литомониторинг и т.д.).

Данные опробования дождя в пределах и за пределами рудных объектов приведены на рис. 1. Налицо накапливание довольно значительных концентраций тяжелых металлов (прежде всего цинка) в атмосферных осадках, а следовательно, и в атмосфере над рудой. Этот факт подтверждается также аномальными содержаниями тяжелых металлов в снегу над рудными телами (рис. 2); золото и цинк формируют повышенные концентрации в ледяных фирновых телах, находящихся в пределах золоторудных месторождений (рис. 3); рудные элементы накапливаются не только в тканях растений в пределах рудных полей, но и на поверхности их листьев (рис. 4) в результате транспирации растворов (на поверхности живых намного больше, нежели на поверхности сухих) [14]. Организмы, которые образуют ареалы на рудных объектах, неизбежно увеличивают концентрации рудных

Рис. 1. Содержание тяжелых металлов ($\Sigma M = \Sigma Zn, Cu, Pb$) в дождях на сульфидных месторождениях



элементов в своих тканях вследствие взаимодействия геохимических полей (см. табл. 1). Что касается накапливания элементов в рыхлых отложениях и водах, соприкасающихся с рудными телами, то этому посвящено огромное число теоретических и практических работ.

Таким образом, месторождения - весьма яркий объект, демонстрирующий ореолы и потоки рассеяния элементов, проникающие в любую точку пространства земного субстрата. Здесь среди общезвестных проявлений рассеяния отметим поток ме-

Концентрации элементов в различных геосферах геохимического

Литосфера		Гидросфера		
Рыхлые отложения (ореол рассеяния), %	Рыхлые отложения (поток рассеяния), %	Подземные воды в рудном теле, мкг/л	Подземные воды, мкг/л	Поверхностные воды, мкг/л
Zn	-	100-300	11-93 Н.о.	Следы-35 Н.о.
Pb 0,01-0,07	0,007-0,001	5-10	1-5 <0,5	1-5 <0,5
Sn 0,001-0,01	0,001-0,01	10	0,5-10 <0,5	0,5-1 <0,5
Co	0,0001	0,0001	-	-

П р и м е ч а н и я. В числителе - анализируемые элементы в пределах поля, в знаменателе - за его пределами. Н.о. - элемент не обнаружен.

Таблица 1
поля одного из оловорудных месторождений на Дальнем Востоке

Биосфера		Атмосфера (косвенно)		
Организмы (зола мышей), %	Растения (зола листьев бересклета), %	Поверхность листьев (клен-водн.вытяжка), усл.ед.	Дождь, мкг/л	Снег, мкг/л
0,01-0,1	0,01	5-21	4,5-18,0	1-3
0,003-0,01	Н.о.	Н.о.	Н.о.	Н.о.
0,01-0,1	0,01	-	-	-
0,001-0,003	Следы-0,001	-	-	-
0,001-0,1	0,001	-	-	-
Н.о.-0,001	Н.о.	-	-	-
Н.о.-0,007	-	-	-	-
Н.о.-0,001	-	-	-	-

лах поля, в знаменателе - за его пределами. Н.о. - элемент не обнаружен.

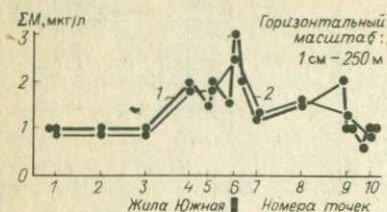


Рис. 2. Содержание тяжелых металлов ($\Sigma M = \Sigma Zn, Pb, Cu$) в снеге (оловорудное месторождение, Дальний Восток):

1 - тяжелые металлы; 2 - среднее содержание по пробам, отобранным близко друг от друга

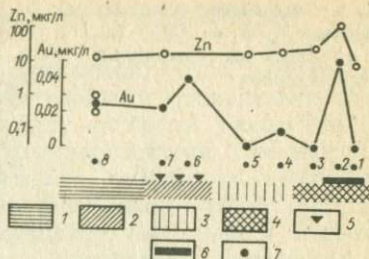


Рис. 3. Содержания золота и цинка в фирновых останцах в пределах золотосеребряного месторождения:

1 - пропилиты; 2 - гидрослюдистые породы; 3 - вторичные кварциты; 4 - адуляр-гидрослюдистые породы; 5 - убогое золотосеребряное оруденение; 6 - рудное тело; 7 - номера проб

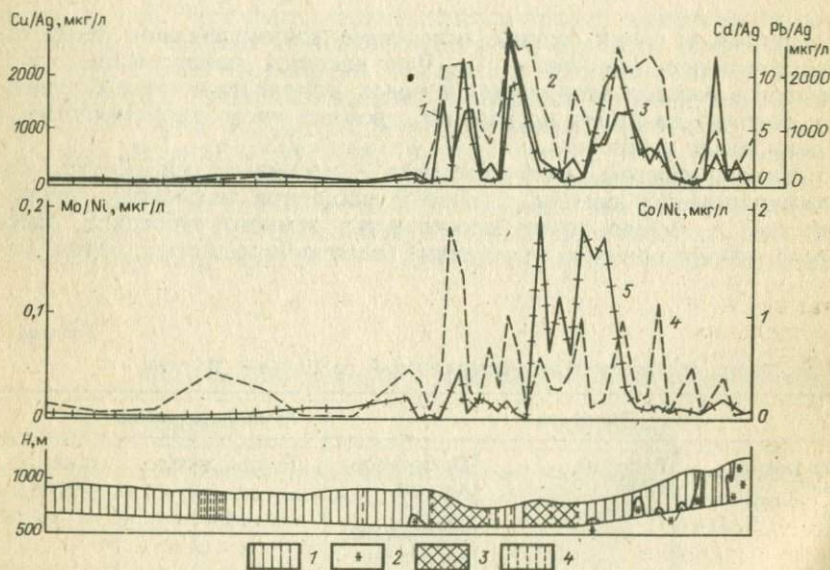


Рис. 4. Поведение металлов в слабокислых вытяжках из листьев акации по профилю через рудные тела месторождения Чесмар (Рудный Алтай):

1 - Cd/Ag; 2 - Pb/Ag; 3 - Cu/Ag; 4 - Mo/Ni; 5 - Cr/Ni; 1 - безрудные толщи; 2 - дайки андезитов; 3 - участки оруденения; 4 - перспективный участок

таллов, идущий от литосферы (ее зоны аэрации и более глубоких горизонтов) и выбрасываемый в атмосферу посредством растительности. Это касается не только месторождений, а вообще всех литологических комплексов. Этот поток должен учитываться в балансовом уравнении круговорота металлов в приповерхностной зоне Земли отдельным членом. Вклад этого потока особенно велик в зоне тропических лесов. Очевидно также, что присутствие повышенных концентраций элементов в живых организмах в районах месторождений имеет серьезные экологические последствия.

Таким образом, геохимическое поле - это поле концентраций, формирующееся под влиянием геологического объекта и охватывающее все геосфера. Формирующееся в природных водах поле рассеяния химических компонентов можно считать гидрогеохимическим полем, понимая его как составную часть общего геохимического поля. В.В. Штильмарк определил гидрогеохимическое поле как геологический комплекс пород, для которого является типичной возможность течения в нем однородного гидрогеохимического процесса, могущего привести и приводящего к образованию вод близкой, но не всегда однотипной минерализации. Как видим, В.В. Штильмарк хорошо представлял себе, что формирование гидрогеохимического поля происходит в системе вода - порода, исследуемой в настоящее время весьма интенсивно.

Наиболее общее понятие гидрогеохимического поля дал Н.А. Огильви, определив его как фактически наблюдаемое распределение вещества в подземных водах. В настоящее время весьма интенсивно использует понятие гидрогеохимического поля в своих работах по формированию солености подземных вод С.И. Смирнов. Основываясь на определении Н.А. Огильви, он также понимает гидрогеохимическое поле как наблюдаемое распределение в подземных водах i -го компонента химического состава подземных вод, причем C_i - концентрация i -го компонента в декартовой системе координат: $C_i = f(x, y, z, \tau)$, где τ - время.

Как следует из изложенного выше, нас интересует прежде всего гидрогеохимическое поле, которое образуется при рассеянии вещества определенного природного объекта (руд и вмещающих их пород) в природных водах, поэтому, взяв за основу наиболее общее определение гидрогеохимического поля в понимании Н.А. Огильви и С.И. Смирнова, мы приняли следующее более конкретное определение гидрогеохимического поля, исходя из целей работы: гидрогеохимическое поле - это область распределения концентраций химических компонентов в гидросфере, возникающая при взаимном влиянии природного объекта и природных геосфер.

С точки зрения процесса рассеяния, гидрогеохимическое поле месторождения - это совокупность водных ореолов и потоков рассеяния элементов руд и геохимических формаций, генетически связанных с оруденением.

Анализ распределений концентраций компонентов в гидрогоеохимическом поле и основная концепция построения методики гидрогоеохимических поисков рудных месторождений

Зная достаточно полные характеристики гидрогоеохимических полей рудных и нерудных природных объектов, можно вести поиски, пользуясь методом аналогий, в частности, высоковероятностными в системе вода - порода (руда), а в пределе - детерминированными решениями распределений компонентов в гидрогоеохимическом поле в зависимости от характеристик и локализации объекта. Этот последний вариант, как наиболее исчерпывающий, привлекал внимание многих исследователей при решении прямых (распространение ореола от источника с известными характеристиками - например, задачи охраны среды) и обратных (получение характеристик источника и расстояний до него по параметрам рассеяния) задач. Эти решения не учитывали реакций с окружающей средой. Нас прежде всего интересуют таковые на природных объектах.

С.И. Смирновым предприняты многочисленные попытки математического подхода к описанию формирования гидрогоеохимических полей для различных физических моделей, соответствующих, прежде всего, условиям артезианских бассейнов [29].

Эти попытки исходят из рассмотрения уравнения конвективно-диффузионного массопереноса в подземных водах с учетом краевых условий, свойственных реальным бассейнам подземных вод:

$$\frac{\partial C_i}{\partial r} + \operatorname{div}(C_i v) = \operatorname{div}(D_i^k \operatorname{grad} C_i + K_i^l + K_i^{ll}),$$

где C_i - концентрация i -го вещества в момент времени r ; v - истинная скорость движения подземных вод; D_i^k - коэффициент конвективной диффузии i -го вещества в водной фазе пористых сред; K_i^l - локальное производство i -го вещества вследствие химических реакций в водной фазе; K_i^{ll} - локальное производство i -го вещества вследствие массообмена в системе вода - порода; div - дивергенция;

$$D_i^k = D_i + \alpha v^\beta,$$

здесь D_i - коэффициент концентрационной диффузии i -го вещества в неподвижной водной фазе; α и β - параметры, характеризующие геометрию порового пространства (размер частиц, их форму и т.д.). При $v = 0$ распределение i -го вещества происходит только по механизму концентрационной диффузии.

Из основного уравнения конвективно-диффузионного массопереноса следует, что распределение концентраций i -го вещества определяется, во-первых, суммарным воздействием конвективного и молекулярно-диффузионного переноса и, во-

вторых, его химическим взаимодействием с другими распространенными веществами и водовмещающими породами.

В общем виде, поскольку трудно учесть вклад каждого члена в результат распределения вещества, это уравнение практически неразрешимо. Однако в случае ряда допущений может быть получено решение для конкретных природных объектов. Так, в работе [29] показано, что в реальных объектах можно не учитывать процессы термо- и бародиффузии. Введено понятие вполне консервативного компонента подземных вод, т.е. растворенного вещества, реакции которого с окружающей средой можно не учитывать. И, наконец, было принято D_i не зависящим от пространственных координат, времени и концентрации в связи с региональным характером рассмотрения.

Решения С.И. Смирнова позволили сделать ряд фундаментальных выводов относительно формирования гидрогеохимических полей региональных природных объектов, прежде всего артезианских бассейнов.

Ряд более локальных упрощенных схем и частных решений рассмотрен в некоторых работах на основе уравнений фильтрационной диффузии, но нас прежде всего интересуют решения на природных объектах. В частности, решения для схемы одномерного фильтрационного потока, когда вещество поступает лишь в части его расхода (наиболее часто встречающийся случай распределения концентраций для природных объектов), получены С.П. Албулом, В.А. Баумом, Д. Бруком и Р.Стритом, А. Огатой и др.

Наряду со сложными решениями по уравнениям фильтрационно-диффузионного рассеяния, В.А. Грабовниковым для конкретных природных объектов в случае формирования стационарного ореола рассеяния консервативного компонента предложено применять простейшие балансовые расчеты по схеме

$$C_{op}Q = C_p q,$$

где C_p и q - соответственно концентрация вещества и расход потока, поступающего от источника вещества; C_{op} и Q - соответственно конечная концентрация вещества в результате смешения и суммарный расход перемешивающихся потоков.

Приведенный В.А. Грабовниковым расчет среднего содержания рассеивающегося в водах урана на участке хвостохранилища отходов гидрометаллургического производства дал хорошую сходимость расчетной и наблюдаемой концентраций.

Из предыдущего балансового уравнения в случае постоянных гидрогеологических параметров водовмещающих пород и напорного градиента можно получить следующие соотношения:

$$C_{op}F = C_p f \text{ и } C_{op}B^2 = C_p b^2,$$

где F и f - площади сечения; B и b - поперечные линейные размеры соответственно суммарного потока и потока вещества.

Большой интерес в плане формирования гидрогеохимического

поля представляют результаты экспериментальных лабораторных исследований трехмерного рассеяния вещества в одномерном фильтрационном потоке, выполненные В.Г. Самсоновым, В.З. Рубейкиным и др. Эксперименты проводились в фильтрационном лотке, где в качестве растворенного компонента подавался хлор - один из наиболее консервативных элементов подземных вод.

В процессе проведения экспериментов было установлено, что по прошествии времени от начала опыта содержание хлора в точках наблюдения достигает постоянной величины по всему полу рассеяния и в дальнейшем не меняется. Время достижения стабильных концентраций хлора пропорционально расстоянию между пунктами отбора пробы и его источником, а величина стабильных содержаний хлора обратно пропорциональна этому расстоянию.

Поле рассеяния симметрично относительно продольной оси, т.е. в поперечном сечении концентрации описываются кривой нормального распределения, что вытекает также из решений Д. Брука и Р. Стрита [31].

Чрезвычайно важно следующее наблюдение. По продольной оси ореола рассеяния выделяются две области: первая - область постоянных концентраций хлора, вторая - область закономерного убывания концентрации, в пределах которой убывания концентраций прямолинейны относительно расстояния по координате x . Обе области обладают разными свойствами, о чем мы подробнее скажем ниже.

Не вдаваясь в детали анализа известных детерминированных решений, прокомментируем два основных вывода, важных для практики гидрохимического картирования, к которым мы пришли в результате этого анализа.

1. На данном этапе и в предвидимом будущем трудно ожидать детерминированных решений распределения компонентов для гидрохимических полей, формирующихся на локальных природных объектах, которые можно было бы широко применить в практике поисков рудных месторождений гидрохимическим методом, за исключением редко встречающихся ситуаций на конкретных хорошо изученных во времени и пространстве природных объектах.

2. Из теоретических решений и экспериментальных работ следует, что в гидрохимическом поле рудного месторождения выделяются две качественно различные зоны: первая - область постоянных концентраций компонента, вторая - область закономерного убывания его концентраций. Это наблюдение имеет большое значение для практики гидрохимических поисков.

Первый вывод обосновывается следующим образом.

1. Все конкретные решения основаны на том, что гидрохимическое поле формируется компонентом, растворенным в воде и не вступающим в дальнейшие реакции с другими растворенными компонентами и вмещающими породами (вполне консервативный компонент, по С.И. Смирнову). Когда С.И. Смирнов говорит о

формировании солености подземных вод седиментационных бассейнов, то он конкретно предполагает, во-первых, что все подземные воды с минерализацией более 5 г/л - хлоридные, причем в огромном большинстве случаев хлоридные натриевые, поэтому проблему формирования солености рассолов и соленых вод можно свести к истории в них хлористого натрия, во-вторых, хлор условно можно считать вполне консервативным компонентом, пренебрегая весьма слабой его реакционной способностью, например, при сорбции его породами или при химических реакциях.

Наоборот, микроэлементы в природных водах, которые в основном и используются в качестве поисковых гидрогеохимических признаков (ГП), отнюдь не являются вполне консервативными компонентами. Они, как правило, чрезвычайно активно вступают в различного рода реакции в системе вода - порода, формируют различные комплексные соединения на пути движения, и трансформируются эти формы их существования в водах в зависимости от часто изменяющейся среды миграции, причем разные комплексы одного элемента отличаются по своему поведению в природных водах.

К тому же изученность геохимии многих из них в подземных водах оставляет желать лучшего. Это, однако, не исключает возможность обнаружить, что в конкретных стабильных геохимических условиях та или иная форма существования элемента ведет себя как вполне консервативный компонент и построить на этом то или иное практическое решение (например, на основе балансовых отношений, решений для стационарного поля и т.д.).

2. Все решения оперируют таким основным параметром, как D_{eff} (коэффициент фильтрационной диффузии). С учетом молекулярной диффузии $D_{eff} = D + D_k$, т.е. складывается из коэффициентов молекулярной D и конвективной D_k диффузии. При экспериментальном изучении D_{eff} определяется как совместный эффект обоих механизмов, как в продольном D_{effu} , так и в поперечном D_{efft} направлении. При этом более всего интересующий нас коэффициент $D_{effu} = D\alpha\bar{v}$, где α и β характеризуют геометрию порового пространства, а \bar{v} - средняя скорость фильтрации [29].

По экспериментальным данным величина D_{effu} варьирует в пределах от $2,5 \cdot 10^{-5}$ до $6 \text{ см}^2/\text{с}$ и практически прямолинейно зависит от скорости фильтрации в логарифмических координатах. Эксперименты проводились на средах из песка, гравия и сфероидальных зерен из различных материалов. При неуставившейся фильтрации величина D_{eff} может быть вычислена по уравнению $D_{effu} = \alpha\bar{v}$, где \bar{v} - усредненная скорость фильтрации.

Таким образом, определение коэффициента продольной диффузии в первую очередь связано со скоростью фильтрации, весьма интенсивно варьирующей в природных средах, с учетом

типов вод на одном объекте (трещинные, трещинно-жильные, аллювиальные и т.д.) в пределах 2-3 порядков.

В реальных объектах зоны гипергенеза наиболее интенсивное влияние на коэффициент фильтрационной диффузии оказывают неоднородности, связанные с литологической изменчивостью пористых сред и неоднородностью, определяемой тектоническим фактором.

Кроме того, по-видимому, значительные вариации определения коэффициента конвективной диффузии связаны с техникой эксперимента, на что указывают в своих работах С.И. Смирнов, В.А. Грабовников и Б.Г. Самсонов.

3. Некоторые авторы подчеркивают зависимость формирования ореолов рассеяния растворенных компонентов от формы источника, формирующего ореол, и его размера. В частности, А. Огата рассчитывает свою модель для источника с круговым сечением; С.П. Албул приводит решения нескольких моделей источников разной формы с заданными линейными параметрами.

Следовательно, вид решения обусловлен конфигурацией источника. Известно, насколько разнообразны рудные тела: жилы, массивные тела, столбы, штокверки, пластовые тела и т.д. Более того, для месторождений следует исходить не только и не столько из формы тела, сколько из конфигурации *реагирующей поверхности*, причем *поверхности*, неравномерно реагирующей. Это особенно характерно для зоны гипергенеза сульфидных месторождений, когда мощность зоны окисления сульфидных тел сильно варьирует в зависимости от разнообразных причин (расположения зеркала грунтовых вод, тектонических условий и т.д.), создавая чрезвычайно сложную конфигурацию реагирующей поверхности, учесть которую в расчетах пока не представляется возможным. Тем более, что, приступая к поискам, мы лишь весьма приблизительно можем представить себе возможную форму рудного тела, исходя из ожидаемого типа месторождения.

4. Важной причиной, существенным образом ограничивающей возможности применения разработанных моделей и их детерминированных решений по формированию гидрогоехимических полей для целей поисков рудных месторождений, является тот факт, что все эти решения относятся к типу прямых задач. Другими словами, имеется источник возбуждения с известными характеристиками, формирующий диффузионное поле в водной среде, параметры которого следует определить. Задачи же, определяющие характеристики источника рассеяния по изученным параметрам поля рассеяния, относятся к типу обратных задач. Известно, что подход к обратным задачам часто отличается от такового к прямым. Прежде всего это относится к точности решений. Например, как мы уже видели, коэффициент диффузии для разных сред отличается порядками величин, тогда как параметры источника возбуждения (его измерения в пространстве или расстояние, на которое распределяется диффузия по координате x) различаются чаще всего величинами до одного

порядка. Следовательно, ошибки определения величины продольного рассеяния или линейных размеров самого источника слишком велика при ошибочном выборе коэффициента диффузии, практика установления которого весьма далека от совершенства.

Это усугубляется еще и тем, что работы с поисковыми целями чаще всего обнаруживают только часть поля рассеяния, а возможность изучения всего поля весьма ограничена. При решении прямых задач (например, сброса сточных вод) условия изучения характеристик источника более благоприятны и позволяют увереннее использовать полученные решения.

В прямых и обратных задачах фильтрационной диффузии как бы меняется масштабность решения. Действительно, как указал автору С.Е. Гречищев, при решении прямой задачи в связи с асимптотическим характером кривой наблюдения концентраций с приближением к фону $C(x) = C_0 e^{-\mu x}$, откуда ошибка определения концентраций на расстоянии x составит

$$\Delta C(x) = -\frac{\partial C}{\partial x} \cdot \Delta x = C_0 \mu e^{-\mu x} \Delta x, \mu = v/D,$$

где C_0 - концентрация в источнике; $C(x)$ - искомая концентрация на расстоянии x ; v - скорость потока; D - коэффициент диффузии.

В обратной задаче, когда необходимо определить C_0 по обнаруженному C в гидрохимическом поле (на "конце" кривой) $C_0 = C(x) e^{\mu x}$, погрешность в определении концентраций на расстоянии x составит

$$\Delta C_0 = -\frac{\partial C_0}{\partial x} \Delta x = (C'(x) + C(x)\mu) e^{\mu x} \Delta x.$$

Как следует из этих простых соображений, в первом случае (прямая задача) погрешность определяется величиной $e^{-\mu x}$, т.е. имеет характер убывающей экспоненты. Во втором (обратная задача) - она определяется прежде всего величиной $e^{\mu x}$, т.е. является экспоненциально возрастающей. Как следствие этого - интенсивность исследования и часто успешность практического применения даже упрощенных решений прямых задач, чаще всего связанных с захоронением промышленных отходов [37], и неудачи практики обратных задач с поисковыми целями (решения С.П. Албула, Н.Н. Веригина и др.).

Вместе с тем разработка детерминированных решений распределения компонентов в гидрохимических полях необходима для правильного понимания механизма их образования, определения главных факторов формирования, а в будущем, возможно, глубинного прогнозирования залежей полезного ископаемого при проведении крупномасштабных работ.

При решении практических задач гидрохимических поисковрудных месторождений на данном этапе, когда до конца не вы-

ясна доля участия многих факторов формирования гидрохимического поля, удобнее идти по пути изучения стохастических зависимостей и получения информационных оценок отличительных характеристик гидрохимических полей объектов различных типов, по которым и выявлять эти поля при поисковых работах. Это наиболее естественный путь при поисках рудных тел, поскольку месторождение - ярко выраженное аномальное явление, и информацию о нем несут именно отличительные его особенности. Действительно, при изучении гидрохимических полей месторождений оказывается, что они часто весьма резко отличаются от полей гораздо более широко распространенных безрудных, но рудовмещающих литологических толщ локальным развитием, а затем и большим количеством отличающихся характеристик. Кроме того, сами гидрохимические поля рудных месторождений различаются в зависимости от типа руд, их генетических особенностей и т.д. Следовательно, имеется два рода основных отличий, которые можно использовать при информационных оценках характеристик гидрохимических полей: 1) отличия,ственные всей системе рудных месторождений и отделяющие их от системы безрудных объектов; 2) гидрохимические различия месторождений разного генетического типа.

Этот путь удобен прежде всего тем, что предполагает как можно более углубленное изучение гидрохимических полей в направлении выявления всех возможных отличий их от гидрохимических полей безрудных толщ и различий между собой, ибо информация обладает свойством аддитивности, т.е. все параметры поля, ее несущие, накапливают информацию для последующего использования.

Недостаток же его в том, что для информационных оценок требуется большое количество фактического материала, который должен быть получен именно для объектов искомого типа. Однако в настоящее время данных по изучению гидрохимических полей накопилось много, и это позволяет достаточно эффективно и надежно использовать выбранный путь.

Что касается второго вывода о выделении двух качественно различных зон, независимо подтвержденного теоретическими решениями и экспериментальными работами, то использование сформулированной в нем закономерности в практике работ несомнена и уже осуществляется [25, 3, 32]. Как показали исследования реальных гидрохимических полей рудных месторождений, благодаря гидродинамическим особенностям в гидрохимическом поле рудного месторождения для каждого рассеивающегося компонента намечается два характерных пространства: пространство водоносного горизонта, совпадающего с распространением оруденения и несколько выходящее за его пределы, и пространство за границей первого вплоть до фона. Впервые такое деление сделано А.А. Бродским. Им выделены рудные воды, формирующиеся в непосредственной близости от

рудного тела, и ореольные воды (пространство от границы рудных вод до фоновых). Такое деление, принятое в последующем многими исследователями, имеет большой смысл как в научном, так и в практическом отношении, ибо идентификация рудных вод при интерпретации автоматически приводит к оруденению.

Б.Г. Самсонов и другие исследователи использовали иные обозначения этих двух областей гидрогеохимического поля (или объема рассеяния). Часть объема рассеяния (или гидрогеохимического поля), пространственно совпадающая с источником рассеивающегося вещества и характеризующаяся, как правило, незакономерным и неупорядоченным по отношению к потоку подземных вод пространственным распределением рудных компонентов, названа ими ареалом. Это та часть пространства гидрогеохимического поля, где одновременно идет процесс обогащения природных вод за счет рудного тела и фильтрационная дисперсия (это рудные воды в понимании А.А. Бродского).

Ореол - это часть гидрогеохимического поля за пределами источника рассеивающегося вещества, внутри которого в соответствии со структурой потока происходит закономерное уменьшение концентраций элементов (ореольные воды, по А.А. Бродскому).

Эти части гидрогеохимического поля обладают различными свойствами по трем основным позициям [32]:

- 1) пространственному распределению растворенных компонентов;
- 2) особенностям гидрогеохимического режима;
- 3) характеру связи между концентрациями растворенных компонентов.

Кратко поясним эти закономерности.

Пространственное распределение растворенных компонентов. Ввиду независимого распределения концентраций рудных элементов в породах по отношению к структуре потока изоконцентраты растворенного вещества в ареале также будут независимы по отношению к гидроизогипсам, т.е. не будут соответствовать направлению потока. И, наоборот, содержание растворенных компонентов в ореоле функционально убывает в направлении потока и нормально к нему [37]. Эти закономерности четко фиксируют эту разницу между распределением в ареальной и ореольной частях гидрогеохимического поля.

Особенности гидрогеохимического режима. Характер временных изменений концентраций компонентов от изменения скорости потока или его расхода различен для ареальных и ореольных частей гидрогеохимического поля. Для ареальных частей изменения концентраций компонентов не зависят от изменения скоростей или расхода потока (независимый тип гидрогеохимического режима). Это показано путем лабораторных и натурных экспериментов [32]. Так, увеличение расхода потока вдвое практически не отражалось на колебаниях концентраций кальция

в ареале, моделирующимся телом из смеси гипса с песком в лотке. Аналогичные данные получены для натурного эксперимента, где независимость концентраций рудного компонента во времени определена при изменении скоростей потока в сотни раз.

Гидрогохимический режим в ореольной части характеризуется прямой или обратной зависимостью временных изменений концентраций, т.е. с увеличением расхода или скорости потока происходит увеличение или уменьшение концентрации компонента.

В отличие от независимого гидрогохимического режима в ареале, который практически не изучался ранее (кроме ВИМСа), режим концентраций в ореальном пространстве гидрогохимического поля изучался многими исследователями.

Основные изменения концентраций компонентов в ореоле гидрогохимических полей месторождений связаны с расходом потока. Увеличение расхода в начальный период, как правило, влечет за собой увеличение концентраций (такова основная закономерность, зафиксированная еще в конце 50-х - начале 60-х годов) за счет накапливающихся в период между дождями в зоне аэрации продуктов разложения.

Как показано В.А. Кирюхиным, Н.Б. Никитиной и А.Н. Павловым на примере олово-полиметаллических месторождений в Нижнем Приамурье, выпадение атмосферных осадков вызывает прохождение своеобразных гидрогохимических волн (увеличение и спад концентраций) (рис. 5), генетически связанных с двумя видами подземного стока: приповерхностным в элювиально-делювиальных образованиях с высокими скоростями фильтрации (десятки - сотни метров в сутки) и трещинно-грунтовым со скоростями фильтрации до нескольких метров в сутки.

При этом в ореольной части гидрогохимического поля выделяются две зоны: постоянных гидрогохимических аномалий и временных гидрогохимических аномалий, возникающих после выпадения атмосферных осадков (табл. 2).

Таблица 2

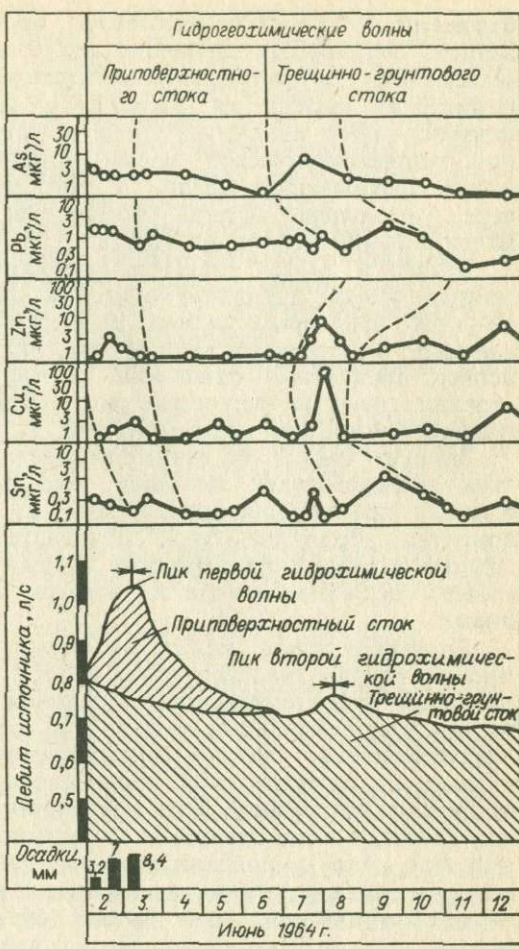
Характеристика постоянной и временной зон ореольных вод олово-полиметаллических месторождений Нижнего Приамурья
(по В.А. Кирюхину и др.)

Зона ореола	Sn	Zn	Cu	Pb	As	Sb	SO_4^{2-}
Временная	5/1,7	100/2,2	50/1,5	101,2	10/0,7	30,07	$3 \times 10^3 / 1$
Постоянная	1,7/0,3	12/0,7	15/0,5	5/0,4	7/0,3	3/1,3	$5 \times 10^3 / 1,5$

П р и м е ч а н и е. В числителе - среднее содержание (в мкг/л), в знаменателе - примерные размеры зон (в км).

Рис. 5. Прохождение гидродинамических и гидрохимических волн в последождевой период (по В.А. Кирюхину):

1 - граница между гидрохимическими волнами



Таким образом, как показали натурные наблюдения, после выпадения атмосферных осадков в наблюдаемых источниках, расположенных в пределах ореола рассеяния, фиксируется несколько временных максимумов концентраций (гидрохимических волн) - первая через 1-20 ч, вторая - через 30-120 ч, третья (бывает не всегда) - через 200-300 ч (см. рис. 5).

Возникновение первой волны связано, по мнению исследователей, с интенсивным вымыванием водами поверхностного стока продуктов окисления и разрушения руд из вторичного лигохимического ореола, развитого в элювиально-делювиальных

отложениях. Продолжительность проявления первой волны зависит от скорости движения вод в элювиально-делювиальных образованиях и длительности выпадения дождя. Однако гидродинамический (максимум расхода) и гидрогоеохимический (концентрационный максимум) пики не совпадают во времени. Так, пик гидродинамической волны устанавливается через 1-3 ч после прохождения дождя, а пик гидрогоеохимической волны через несколько (иногда 10-15) часов после фиксирования максимального дебита источника.

Вторая и третья гидрогоеохимические волны связаны с подземным стоком трещинно-грунтовых вод. При этом вторая образуется при просачивании атмосферных осадков через зону аэрации и взаимодействии с накопившимися в междождевой период продуктами окисления, а третья - результат подъема зеркала грунтово-трещинных вод. Наиболее контрастна вторая гидрогоеохимическая волна (см. рис. 5).

Заметим также, что данные семилетних режимных наблюдений этих исследователей показали, что фон в меженный период остается практически неизменным по всем наблюдаемым компонентам. Величина фона изменяется для дождевого, переходного и меженного периодов. В дождливые сезоны и годы фоновые содержания иногда на порядок больше, нежели в засушливые.

Характер связи между растворенными компонентами. По мнению группы исследователей ВИМСа, ареальные части объемов рассеяния характеризуются отсутствием функциональных и даже тесных корреляционных связей [32]. Однако это не всегда так. Корреляционные связи в гидрогоеохимическом поле зависят, во-первых, от распределения компонентов в породах и, во-вторых, от химических свойств этих компонентов, определяющих подобие или разницу в поведении их в гидрогоеохимическом поле. Было показано, что с приближением к рудному полю взаимосвязи между концентрациями геохимически родственных элементов в гидрогоеохимическом поле скорее укрепляются, если рассматривать многомерные связи. В пределах ареала (если иметь в виду рудные тела вместе с первичными ореолами рассеяния) комплекс растворенных компонентов по их корреляционным связям распадается на парагенетические группы, под которыми мы понимаем группы компонентов с близкой реакцией на тот или иной процесс формирования ГХП. Состав этих парагенетических групп зависит от типа месторождения, о чем будет сказано ниже. Обычно резко обособливается группа элементов, наиболее сконцентрированных в рудах.

При этом часто группируются элементы, достаточно далекие геохимически ($Au - K$, $Sn - Be$ и др.). Теснота их связей определяется, прежде всего, близким их распределением в рудах. Далее в ореоле вследствие разницы миграционных способностей связь между ними ослабляется ($Zn - Pb$). Таким образом, если взять один только рудный элемент (Sn - для

оловорудных месторождений, U - для радиоактивных и т.д.) и исследовать его связи в ареале с другими более широко распределенными в породах элементами, то такая связь действительно будет слабой или ее не будет вообще, что и было замечено ранее [27], а затем подтверждено Б.Г. Самсоновым и др. Исследования же полной картины связей показывают, что в ареальной части гидрогеохимического поля выделяется группа элементов, концентрации которых коррелируются.

Ореольный характер связей компонентов гидрогеохимического поля полностью соответствует закономерностям, описанным в работе [32]: более тесная связь в ореоле наблюдается между наиболее устойчивыми компонентами, т.е. между индикаторами-анионами. Эта связь близка к прямолинейной.

Таким образом, ареальная часть гидрогеохимического поля характеризуется следующим:

неупорядоченным распределением в воде концентраций компонента по отношению к структуре потока (изоконцентраты и гидроизогипсы пересекаются, не соответствуют друг другу по характеру очертаний и т.д.);

независимостью гидрогеохимического режима;

фракционированием элементов по парагенетическим группам, контрастным выделением группы элементов, наиболее сконцентрированных в рудах.

Ореольная часть гидрогеохимического поля отличается:

соответствием очертаний изоконцентрат гидроизогипсам, т.е. упорядоченным распределением концентраций компонентов-индикаторов по отношению к структуре потока;

активным гидрогеохимическим режимом (уровни концентраций реагируют на изменение скорости потока);

тесными корреляционными (вплоть до функциональных) связями между парами рассматриваемых элементов, мигрирующих в ореоле.

Перечисленные закономерности важны прежде всего при интерпретации гидрогеохимических данных, когда локализация ареальной части гидрогеохимического поля одновременно выявляет главный участок детальных работ.

Детерминированные решения распределения компонентов гидрогеохимического поля невозможно пока прямо применять в практических поисковых задачах, однако в комплексе с вероятностными методами они могут быть использованы для получения определенных обобщающих закономерностей, как, например, выделение гидродинамических зон гидрогеохимического поля, а также в конкретных случаях выясненных простых стабильных обстановок рассеяния компонентов с известными закономерностями рассеяния.

В таком случае альтернативные (по подходу) решения поисковых задач (в конечном счете - построение методики гидрогеохимических поисков рудных месторождений, которую можно было бы рационально применить при поисках оруденения любого

типа на всех стадиях геолого-поисковых и геологоразведочных работ) на данном этапе развития метода следует искать на пути выяснения стохастических закономерностей, т.е. в условиях, когда многие факторы, действующие на концентрацию компонентов в водах, для нас неизвестны, а информация о процессе рассеяния руд и их локализации тем не менее должна быть получена. Именно в таких условиях наиболее эффективно использовать методы теории информации.

Таким образом, основной путь решения поставленной задачи - это использование информационных мер при оценке получаемых статистических закономерностей с привлечением функциональных зависимостей в тех случаях, когда они однозначно выявляются.

Однако используемая поисковая концепция водных ореолов ограниченного количества рудных элементов, по-видимому, уже недостаточна вследствие малого объема заложенной в ней информации. Появились идеи разнообразия состояний элемента, широких комплексов элементов, характерных для определенного типа рудного процесса, а также для геологических формаций, так или иначе связанных с оруденением (интрузивных комплексов, субвулканов, полей гидротермально измененных пород, кальдерных обрамлений и т.д.). И, наконец, идея гидрогеохимического поля природного объекта, которая под эгидой распределения концентраций всех компонентов поля в пространстве и во времени объединила разнообразие как элементов, так и их состояний.

По возможности полное исследование гидрогеохимического поля позволило скачком увеличить количество информации об оруденении за счет резкого возрастания гидрогеохимических характеристик поля, могущих служить для выбора ГП, одновременно увеличив возможности маневра для наиболее рационального их выбора. Однако такая концепция потребовала изучить огромный фактический материал по гидрогеохимическим полям природных объектов с максимально возможным количеством характеристик по каждому из них, а кроме того, определить специфический подход к исследованию отдельного элемента в водах с позиций ГП, несущего определенное количество информации о рудах.

Необходимость учета стадийности при разработке методики также предъявляет два серьезных требования:

- 1) получить максимальное количество информации по полному ряду эндогенных месторождений;
- 2) провести системный анализ всей полученной информации с целью рационального использования ее на различных стадиях работ.

ГИДРОГЕОХИМИЧЕСКИЕ ПОЛЯ ЛИТОЛОГИЧЕСКИХ ТОЛЩ И МАГМАТИЧЕСКИХ КОМПЛЕКСОВ

Песчано-сланцевые толщи

Гидрохимическая характеристика песчано-сланцевых толщ дана по результатам анализа пресных вод горноскладчатых областей в основном Северо-Востока, Дальнего Востока и Гиндукуша.

В песчано-сланцевых толщах развиты трещинные и трещинно-жильные воды. Мощность зоны трещиноватости не превышает обычно 60-100 м, коэффициент фильтрации трещиноватых пород колеблется от 0,005 до 0,1 м/сут; дебит скважин изменяется от 0,011 до 11 л/с, а удельный дебит - от 0,004 до 0,15 л/с. Минерализация подземных вод этих образований составляет 25-100 мг/л в среднегорье и 300-500 мг/л - в низкогорье и депрессиях Северо-Востока и Дальнего Востока; а в горноскладчатых областях Средней Азии минерализация трещинных вод достигает иногда 1 г/л. Поскольку между поверхностными и подземными водами наблюдается тесная гидравлическая связь, они имеют практически одинаковый химический состав: от гидрокарбонатного кальциевого в гумидных зонах до гидрокарбонатно-сульфатного со смешанным катионным составом в

Таблица 3

Концентрация элементов (в мкг/л) в гидрохимическом поле
песчано-сланцевых толщ
(Северо-Восток, 156 проб) по данным спектрального анализа концентрата
на основе сульфида кадмия

Элемент	Максимальные	Модальные	Минимальные
Цинк *	20	<3	<3
Свинец	1	<0,4	<0,4
Медь *	4	4	0,5
Олово	4	<0,5	<0,5
Серебро	0,7	<0,1	<0,1
Никель *	4	1	<0,1
Молибден	0,4	<0,1	<0,1
Хром	4	4	4
Титан	30	4	4
Ванадий	4	<0,4	<0,4
Цирконий	1	<0,7	<0,7
Галлий	1	<0,5	<0,5
Барий *	30	6	1
Бериллий	0,4	<0,1	<0,1
Алюминий	300	30	100
pH	7,7	5,9	6,9
$\sum \text{Me (Zn)}$	3	<0,1	<0,1

* Возможно заражение реактивов.

Таблица 4

Пределы наиболее часто встречающихся (модальных)
концентраций микроэлементов
в пресных водах песчано-сланцевых толщ, мкг/л

Эле- мент	Пределы моды	Эле- мент	Пределы моды	Эле- мент	Пределы моды
Cu	0,3 - 0,5	Mo	<0,1" [0,1-0,3]"	Zr	<0,5" [0,5]"
Ag	<0,1 [0,1]"	Cr	1 - 3	Sc	<0,5"
Au	<0,007"	Mn	1 - 5	Y	<3"
Zn	0,1 - 0,5 [1 - 3]"	Fe	<300"	Yb	<1"
Cd	<0,1"	Co	<0,1"	Be	<0,1" [0,1]"
Hg	<0,1"	Ni	[0,1	Nb	<0,5"
Pb	<0,1" [0,1 - 0,3]"	Ti	5 - 10 [30]	Sn	<0,3" [0,3]"
As	<0,5"	V	~0,1 [0,3]"	W	<0,5"
Sb	<3"	Ga	<0,5" [0,5]"	Ba	<0,5"
Bi	<0,1"	Al	30 - 100 [300]"	K	300-1000
				F	<200"

* Редко встречающиеся значения концентраций.

"Чувствительность анализа.

Таблица 5

Концентрации элементов (в мкг/л) в гидрохимическом поле
вулканогенно-осадочной толщи верхнего структурного этажа ($K_2 - P$)
по данным спектрального анализа концентратов на основе сульфида кадмия
(Дальний Восток, 125 проб)

Элемент	Максимальные	Модальные	Минимальные
Свинец	1	0,4	<0,4
Цинк	20	4	4
Медь	3	1	0,3
Олово *	1	<0,4	<0,4
Серебро	1	<0,06	<0,06
Никель	1	1	0,1
Бериллий	0,06	<0,01	<0,01
Мышьяк	7	<3	<3
Титан	10	3	2
Цирконий	0,5	<0,1	<0,1
Хром	20	3	0,1
Ванадий	1	<0,1	<0,1
Барий	20	7	1
Марганец	30	5	1
Алюминий	>300	100	100
pH	7,8	7	6,6
$\sum Me(Zn)$	3	<0,1	<0,1

* Возможно заражение реактивов.

аридных, pH колеблется от 6,2 до 7,4 при модальном значении 6,7-7.

В подземных водах встречен достаточно широкий комплекс элементов (As, Sb, Bi, Co, Y, Yb не обнаружены) (табл. 3). Модальные и средние концентрации элементов чрезвычайно малы, а для многих редких и рудных элементов они находятся за пределами чувствительности анализа (W, Sb, Sc, Co, Li, Rb, Cs, Y, Yb, Be, Ag, Ge, Zr, Mo, Pb, Sn, Zn, As) (табл. 4). Примерно такие же концентрации наблюдаются для вод вулканическо-осадочных толщ (табл. 5).

По данным корреляционного анализа (рис. 6, 7) некоторых выборок, для гидрохимических полей песчано-сланцевых толщ характерны слабые связи между элементами. Наиболее четко взаимодействуют партеры карбонатного равновесия - производные угольной кислоты и pH, так как понижение pH вызывает уменьшение содержания гидрокарбонат-иона (переводу HCO_3^- в CO_2). Отсюда - наиболее высокие коэффициенты корреляции для пары HCO_3^- - pH. Более или менее четкие, хотя и слабые связи выделяют пару родственных халькофильных элементов (Zn, Cu). Намечаются традиционные (как увидим в дальнейшем) связи титана и ванадия. Основное число элементов на данном аналитическом уровне характеризуется независимым друг от

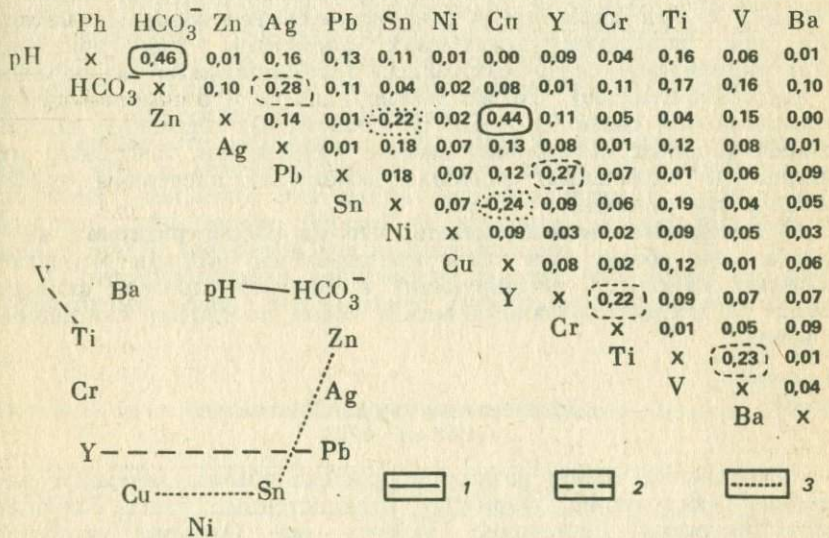


Рис. 6. Корреляционная матрица и диаграмма корреляционных связей элементов гидрохимического поля песчано-сланцевой толщи (Дальний Восток). Положительные связи: 1 - слабые, 2 - очень слабые; 3 - очень слабые отрицательные связи

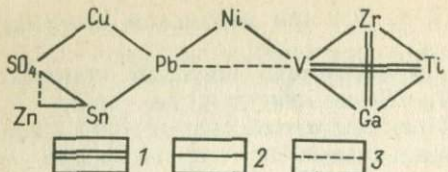


Рис. 7. Диаграмма корреляционных связей элементов гидрохимического поля песчано-сланцевой толщи в пределах рудоносных структур.
Положительные связи: 1 - весьма тесные; 2 - тесные; 3 - слабые

Таблица 6

Расчетные формы миграции элементов в водах песчано-сланцевых толщ

Элемент	Преобладающие формы миграции	Элемент	Преобладающие формы миграции
Цинк	Zn ²⁺	Кобальт	Co ²⁺
Медь	Cu ²⁺ , CuOH ⁻	Никель	Ni ²⁺
Свинец	Pb ²⁺	Марганец	Mn ²⁺
Серебро	Ag ⁺ , AgCl ⁰	Железо	Fe ²⁺ , Fe(OH) ₃ ⁰
Мышьяк	HAsO ₄ , H ₂ AsO ₄ ⁻	Фтор	F ⁻
Молибден	MoO ₄ ²⁻ , HMoO ₄	Бериллий	Be ²⁺

друга поведением в водах - коэффициенты корреляции для пар менее 0,10.

Кроме упомянутых отмечалась обратная связь между медью и оловом, весьма характерная для терригенных толщ Приморья, так как поведение этих двух элементов, как показано И.И. Малковым, в осадочных толщах противоположно (вынос меди и накопление олова). То же можно сказать и о намечающейся отрицательной связи Zn - Sn. Для некоторых элементов расчет корреляционных связей был вообще невозможен, поскольку их средние (и модальные) значения лежали за пределами чувствительности анализа.

В заключение можно сказать, что на рассматриваемом аналитическом уровне эти поля представлены малыми концентрациями элементов, мигрирующих в наиболее простых формах (табл. 6) и слабо связанных между собой по своему поведению в водах.

Эффузивные образования

Эффузивные толщи различного состава обычно занимают огромные пространства, формируя вулканогенные пояса большой протяженности. Достаточно указать на Охотско-Чукотский вулканический пояс и фактически продолжающий его Приморский вулканический пояс, образующие структуру планетарного масштаба, целиком входящую в Тихоокеанское подвижное кольцо Земли.

Водообильность эфузивов определяется их трещиноватостью и обычно выше в пределах супербассейнов и ниже - для гидрогеологических массивов. Например, на Северо-Востоке дебиты нисходящих источников для гидрогеологических массивов составляют 1-3 л/с и чаще менее, тогда как для вулканогенных супербассейнов - 3 л/с. Трещинно-жильные воды разгружаются источниками с дебитами 10-15 л/с.

Общая минерализация зависит прежде всего от физико-географических условий и для сравниваемых гидрохимических полей почти не отличается для вод эфузивов, интрузивных комплексов и осадочных толщ, составляя от 20 до 300 мг/л, а иногда достигает 1 г/л (Средняя Азия). Анионный состав воды на 80-90% состоит из гидрокарбонат-иона. Вода бессульфатна (сульфаты появляются в случае развитой пиритизации 10-20 мг/л), а содержание хлора - 3-10 мг/л. Катионная группа более чутко реагирует на состав эфузивов. Так, при всегда преобладающей концентрации в воде иона кальция в кислых разностях несколько возрастает роль натрия и калия, а в основных - магния. pH вод находится в пределах 6,5-8, при модальном 7,1-7,3, а для андезитов и базальтов - 7,5-7,6. Характерные общие анализы вод эфузивных толщ приведены в табл. 7.

Рассмотрим гидрохимическое поле эфузивных толщ на примере двух противоположных разностей пород: кислых и основных. Распределение концентраций элементов в водах для двух выбранных участков показано в гистограммах (рис. 8). Примерно такие же концентрации характерны для большинства площадей, покрытых кислыми или основными излившимися породами в горноскладчатых областях.

Отметим, что модальные содержания большинства элементов выше, чем в водах осадочных пород (табл. 8). Шире также комплекс элементов. Эти факты подтверждаются и другими выборками, если только породы не затронуты гидротермальными процессами и находятся вне рудных районов.

Из представленных материалов заметно еще одно свойство эфузивных толщ, оказывающее существенное влияние на их

Таблица 7

Типичный состав подземных вод эфузивных пород горноскладчатых областей
(Дальний Восток)

Породы	Содержание, мг/л					
	HCO ₃ ⁻	SO ₄ ²⁻	Cl ⁻	Na ⁺ + K ⁺	Mg ²⁺	Ca ²⁺
Липариты	48,8	H.o.	14,0	14,6	2,4	8,0
	67,1	H.o.	10,5	20,7	3,6	4,0
Андезиты	162,26	H.o.	7,0	13,8	12,0	25,2
	219,6	H.o.	7,0	11,5	20,4	32,0

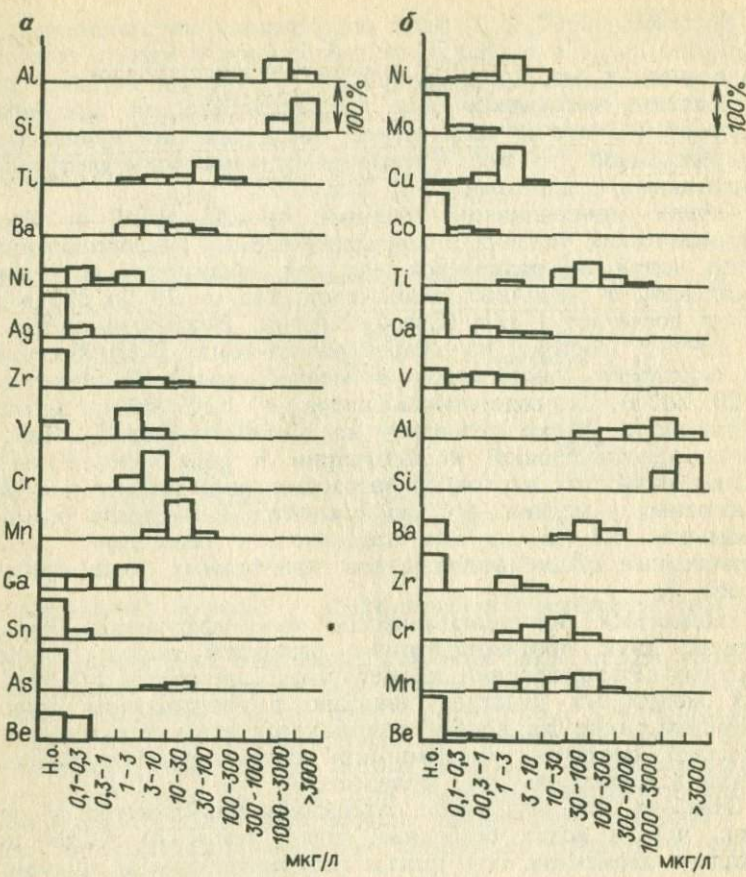


Рис. 8. Гистограммы распределения концентраций элементов в гидрохимических полях липаритов (*α*) и базальтов (*β*). Приморского края

гидрохимический облик, - это неравномерность распределения элементов в породах (существование аномальных участков), связанная со спецификой формирования эфузивных отложений - наличием центров излияния. Распределение элементов в водах отражает эту неравномерность, отмечая характерные места (центры, кальдерные разломы, приконтактовые части эфузивных потоков и др.) гидрохимическими аномалиями. Обычно это ярче наблюдается в пределах полей кислых эфузивов. Наличие процессов, приводящих к перераспределению вещества в эфузивах, естественно приводит к фракционированию элементов в гидрохимическом поле по характерным

Таблица 8

Пределы модальных концентраций микроэлементов
в пресных водах эфузивных
образований (липаритов и базальтов), мкг/л

Эле- мент	Пределы моды	Эле- мент	Пределы моды	Эле- мент	Пределы моды
<i>Липариты</i>					
Cu	0,1 ** 0,5 *	Mo	<0,1 ** [0,1] *	Zr	<0,5 ** [0,5] *
Ag	<0,1 [0,1]	Cr	4 - 6	Se	<0,5 [0,5]
Au	<0,007	Mn	1 - 5	Y	<3 [3] *
Zn	0,1 ** 0,5 [3] *	Fe	200 ** 300	Yb	<0,5 [1] *
Cd	<0,1 **	Co	<0,1 **	Be	H.O. ** [0,1] *
Hg	<0,1 **	Ni	<0,5 [0,5] *	Nb	<0,5 **
Pb	<0,1 ** [0,1-0,3] *	Ti	8-20 [30-100]	Sn	<0,3 ** [0,3-1] *
Al	<0,5 [3]	V	0,1-0,5 [1] *	W	<0,5 *
Sb	<3 **	Ga	<0,5 [0,5]	Ba	<1 [1-3]
Bi	<0,1	Al	300 - 1000	K	500 - 1000
				F	<200 - 300
<i>Андерзиты и базальты</i>					
Cu	0,5 ** 1 [3] *	Mo	<0,1 **	Zr	<0,5 [0,5] *
Ag	<0,1	Cr	5 - 10	Se	<0,5 [0,5]
Au	<0,007	Mn	10 - 30	Y	<3 **
Zn	0,1 ** 0,5	Fe	300 ** 500	Yb	<0,5 **
Cd	<0,1 **	Co	<0,1 [0,1-1] *	Be	<0,1 ** [0,5-1] *
Hg	<0,1 *	Ni	0,5 - 1	Nb	<0,5 **
Pb	0,1 **	Ti	10 - 30	Sn	<0,3 **
As	<0,5 **	V	0,1-0,5	W	<0,5 *
Sb	<0,3 **	Ga	<0,5 [0,5-1] *	Ba	<1
Bi	<0,1	Al	300 - 1000	K	500 ** 1500
				F	200

* Редко встречающиеся значащие концентрации.
** Чувствительность анализа (без знака "<").

группам, элементы которых чаще всего объединены общими свойствами.

Парагенетические группы элементов, выявленные с помощью корреляционного анализа в водах различных эфузивных толщ, в том числе в водах поля эфузивов, лежащего в пределах рудносной структуры, приведены в табл. 9.

В парагенетических группах для разных толщ отмечаются повторяющиеся элементы (Ti, V) и элементы, характерные для определенной толщи (Be, Y - для кислых; Cr, Ni, Cu - для основных эфузивов).

Поскольку концентрации лигантов в водах эфузивов те же, что и в водах осадочных толщ, неорганические формы миграции рудных элементов в гидрохимических полях эфузивных погод рассматриваемых регионов остаются теми же.

Таблица 9

Парагенетические группы элементов гидрогоеохимических полей
эффузивных толщ,
выявленные корреляционным анализом (Дальний Восток)

Тип эффузивных пород	Парагенетические группы
Липариты и их туфы	Al, Ti, V, Be (Y)
Андезиты	Ti, V, Cr, Ni (Cu, Zn)
Дациты и липариты в пределах рудоносной структуры	1. Ti, V, Cr, Mn. 2. Sn, Mo, Zr. 3. Cu, Zn, Ni, SO_4^{2-}

П р и м е ч а н и е. В скобках элементы со слабыми связями.

Из сказанного можно сделать следующие выводы.

1. Концентрации большинства микроэлементов в гидрогоеохимических полях эффузивных пород выше, чем в полях терригенных толщ, что говорит о большей неравновесности первых по отношению к приповерхностным условиям. Часто фиксируются аномальные поля, соответствующие центрам эффективных излияний. Комплекс элементов расширен, что отражает увеличение концентраций компонентов, находившихся в водах терригенных толщ за пределами чувствительности анализа.

2. Намечается фракционирование элементов по свойствам в обособленные парагенетические группы. Это выражается в усилении корреляционных связей между геохимически родственными элементами (литофильными, халькофильными), уменьшении количества зависимых друг от друга элементов в гидрогоеохимическом поле.

3. Неорганические формы существования рудных элементов в водах остаются теми же, что и в гидрогоеохимическом поле терригенных пород.

Интрузивные породы

Водоносность интрузивных массивов обусловлена развитием региональной и локальной трещиноватостей. Режимы трещинных и трещинно-жильных вод существенно не отличаются. В связи с большей трещиноватостью наиболее водообильными являются гранитоиды. Коэффициент фильтрации интрузивных пород колеблется от 0,011 до 0,11 м/сут. Дебиты скважин 1-5 л/с, а удельные дебиты 0,3-1,5 л/с. Дебиты источников интрузивных комплексов могут быть самыми разнообразными - от 0,1 до 20 л/с, наиболее высоки они для трещинно-жильных вод. Гидравлическая связь между поверхностными, грунтово-трещинными, аллювиальными и трещинно-жильными водами чрезвычайно тесна, поэтому и химический состав их достаточно близок для рассматриваемых условий. Тем не менее в глубинных частях интрузивных тел ярко выраженное специфического состава (ще-

лочные породы, возможно ультрабазиты) иногда фиксируются воды резко отличающегося состава [20] (табл. 10).

Общая минерализация вод интрузивных комплексов колеблется в тех же пределах, что и для осадочных и эфузивных образований (50-300 мг/л), и зависит прежде всего от ландшафтно-геохимических условий. pH вод гранитоидов оклонейтральный, но несколько смещен в кислую область (6-7,2), ультраосновных пород - несколько выше (6,5-7,6), а для вод щелочных массивов наиболее высок (7,2-8 и выше). Состав вод чаще гидрокарбонатный кальциевый. При этом анионный состав по сравнению с водами терригенных толщ лишь несколько изменяется в сторону увеличения хлоридного (а иногда и фторидного) в пределах гранитоидов и щелочных пород, а катионный для гранитоидов, но в большей степени - в сторону увеличения натрия (и калия), а для ультрабазитов - магния (табл. 11).

В гидрохимическом поле гранитоидных пород, по сравнению с терригенными и эфузивными, четко прослеживаются аномальные концентрации Ti, Zr, Be, F, Al, Ga, V, Y, Yb, Ba, Sn, Se, хотя, разумеется, комплекс элементов не всегда бывает таким полным (рис. 9). Иногда в водах щелочных гранитоидов появляются La и Ce. Вообще специфика гранитоидов в

Таблица 10

Химический состав грунтово-трещинных и трещинных вод щелочного (аппайтового) массива (по С.Р. Крайнову)

Компоненты состава воды	Приповерхностная часть массива	Глубокая часть массива	Компоненты состава воды	Приповерхностная часть массива	Глубокая часть массива
pH	6,8-9,4 7,3	6,6-12 8,95	Na ⁺ + K ⁺	1-45 10	0,7-28 332 3620
HCO ₃ ⁻	6-100 29	9-10 220 1050	Ca ²⁺	H.o.-3 0,9	H.o.-42 1,4
CO ₃ ²⁻	H.o.-15 3	H.o.-8225 1145	Mg ²⁺	H.o.-2 0,9	H.o.-140 9,7
SO ₄ ²⁻	H.o.-15 3	H.o.-59 6,5	SiO ₂	H.o.-62 6,4	3-13 000 1456
Cl ⁻	0,7-7 3,7	2-85 15,6	Al ³⁺	1-15 5	0,7-100 13,6
F ⁻	H.o.-28 2,7	H.o.-15 000 2080	Минерализация	11-192	21-65 600 9100

Примечания. 1. Содержание компонентов и минерализация даны в мг/л. 2. В числителе - пределы содержания, в знаменателе - среднее содержание.

Таблица 11

Типичный состав пресных вод интрузивных пород (Дальний Восток)

Тип интрузий	Содержание, мг/л					
	HCO ₃	SO ₄ ²⁻	Cl ⁻	Na ⁺ + K ⁺	Mg ²⁺	Ca ²⁺
Граниты	45,0	0	28	20,1	12,0	6,0
	46,1	16,3	28	15,3	6,96	8,0
Нефелиновые	46,1	18,0	42	32,2	2,4	12,0
сиениты	36,6	0	28	30,2	2,4	8,0
Гипербазиты	188,0	43,0	21	10,8	38,4	9,1
Габбро	179,3	0	7	14,7	21,6	10,1

Таблица 12

Модальные содержания микроэлементов в гидрогохимических полях гранитных интрузий, мкг/л

Порода	Вмещающие породы	Ti	V	Ge	Zr	Be	Y	Yb	Sn	Ba	F
Лейкократовые граниты (штоки)	Песчаники, алевролиты	60	1-2	6	6	1	10	1	3	1	800
Порфировидные граниты	Липариты, песчаники	69	6	6	2	0,3	10	1	1	1	1200

П р и м е ч а н и е. Cu, Ag, Au, Zn, Cd, Hg, Pb, As, Sb - ниже чувствительности спектрального анализа.

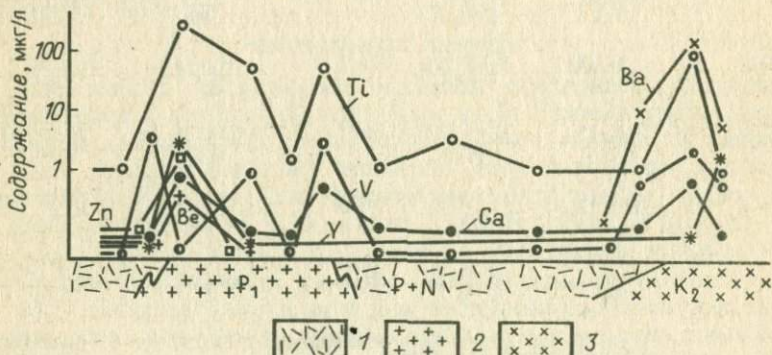


Рис. 9. Содержание микроэлементов по профилю, фиксирующему гидрогохимические поля гранитоидов, прорывающих эфузивные породы:
1 - липариты; 2 - биотитовые граниты; 3 - щелочные граниты

отношении определенных элементов проявляется довольно четко. Это касается, например, оловоносных гранитов Дальнего Востока, в водах которых развиваются заметно повышенные концентрации олова, бериллия, а иногда и фтора.

Средние содержания элементов в гидрохимическом поле гранитных тел на двух участках приведены в табл. 12.

Гидрохимическое поле щелочных интрузивных пород выглядит еще более контрастно (табл. 13) прежде всего потому, что эти породы создают высокощелочную среду ($\text{pH} \approx 8$ и более), а в глубоких горизонтах подчас резко щелочную - pH до

Таблица 13

Модальные содержания микроэлементов в гидрохимических полях щелочных интрузивных пород, мкг/л

Порода	pH	Ti	V	Ga	Zr	Be
Алпакитовые нефелиновые сиениты (по С.Р. Крайнову)	9	200 - 300	Не опр.	Не опр.	Не опр.	0,5
Щелочные сиениты и сиенит-порфиры (поле штоков и даек)	7,8-8	140	2	2	2	0,2
Миаскитовые нефелиновые сиениты (Урал, по С.Р. Крайнову)	-	100	Не опр.	Не опр.	Не опр.	0,3

Продолжение табл. 13

Порода	Y	Yb	Ce	Zr	F
Алпакитовые нефелиновые сиениты (по С.Р. Крайнову)	15	1	100	100	40 000
Щелочные сиениты и сиенит-порфиры (поле штоков и даек)	H.o.	1	H.o.	0,5	800
Миаскитовые нефелиновые сиениты (Урал, по С.Р. Крайнову)	Не опр.				

П р и м е ч а н и я. 1. Al - не определялся. 2. Не опр. - элемент не определялся.

12 [20]. Это соответственно резко увеличивает миграционные способности многих элементов - комплексообразователей, транспортируемых в анионной форме. Особенно ярко это продемонстрировано С.Р. Крайновым на примере агпайтовых нефелиновых сиенитов (см. табл. 10). Кроме отмеченных ранее элементов, характерных для гидрогеохимических полей гранитоидов, обратим внимание на резко повышенные содержания как иттриевых, так и цериевых земель, а также ниобия.

Специфическими элементами характеризуются гидрогеохимические поля ультраосновных интрузивных пород. Типоморфными для них являются прежде всего Cr, Ni, Co, Mn. Наряду с ними в аномальных количествах по-прежнему обнаруживаются Ti, Al, V, Ga, Zr (табл. 14).

Таким образом, для гидрогеохимических полей интрузивных тел в аномальных концентрациях отчетливо выделяются две группы литофильных элементов: первая группа - Ti, Al, Ga, Zr, V, имеющая распространение в гидрогеохимических полях любого интрузива независимо от его типа; вторая группа - специфических элементов, характерных для конкретного типа интрузива в зависимости от его состава: Be (высокие концентрации), Y, Yb для гранитоидов; TR (высокие концентрации), Nb - для щелочных пород; Ni, Co, Cr (высокие концентрации) - для ультрабазитов.

Корреляционные связи между элементами в гидрогеохимических полях подтверждают наличие парагенетических групп

Таблица 14

Содержание микрозлементов (в мкг/л) в гидрогеохимическом поле ультрабазитовой интрузии (Дальний Восток)

Элемент	Максимальное	Минимальное	Модальное
Mn	100	30	30
Pb	3	<1	1
Sn	1	<0,7	<0,7
Cu	3	1	1
Ni	30	3	3
Co	10	0,1	1
Cr	300	7	10
Ba	30	0,7	1
Ag	0,3	<0,07	<0,07
Al	30 000	10 000	10 000
Ti	300	70	100
V	10	0,7	1
Zr	30	0,7	1
Ga	10	3	3
Be	1	<0,1	<0,1
pH	7,5	6	6,7

П р и м е ч а н и е. Число проб 162.

элементов в соответствии с составом интрузивного тела (табл. 15). Причем количество связей между элементами возрастает, а прямые связи становятся более тесными (по сравнению с гидрогохимическими полями эфузивных пород).

Разнообразие геохимических обстановок, создаваемых в подземных водах интрузивными породами различного химического состава, дает возможность проявиться разнообразным формам существования элементов в природных водах. Действительно, диапазон создаваемых сред весьма широк: от гранитов с их слабо кислыми водами с повышенным содержанием хлора, фтора до агпайтовых нефелиновых сиенитов с водами высокощелочной реакции и резко повышенными концентрациями карбонатов, фтора, хлора, являющихся активными аддендами (лигандами) для формирования высокоподвижных комплексов многих элементов (табл. 16).

Основные формы миграции некоторых разных по свойствам элементов в природных водах интрузивных пород приведены в табл. 17.

Таким образом, во-первых, интрузивные породы порождают в водах наибольшее разнообразие состояний элементов из всех рассмотренных комплексов пород, способствуя тем самым водной миграции элементов, прежде всего элементов-комплексообразо-

Таблица 15

Парагенетические группы элементов в гидрогохимических полях
интрузивных тел,
выделяемые корреляционным или факторным анализом (Приморье)

Порода	Парагенетические группы
Биотитовые граниты	1. Al, Ti, V, Ga, Zr, Be. 2. Y, Yb, Be, Sn
Лейкократовые граниты	1. Al, Ti, Ga, Zr. 2. Be, Y
Сиенит-порфиры	1. Ti, V, Zr, Ga. 2. Yb, Nb, Na
Перидотиты, серпентиниты	1. Al, Ti, V, Ga, Zr, Cr, Mg. 2. Cr, Ni, Co, Cu

Таблица 16

Концентрации основных лигандов (аддендов), создающих специфику гидрогохимических обстановок, мг/л

Компонент	Гранитоиды	Шелочные породы	Ультраосновные породы
pH	6 - 6,5	8 - 12	7,6 - 8,5
Хлор	30 - 60	60 - 70	10 - 20
Фтор	0,5 - 10	0,5 - $n \cdot 10^3$	<0,5
Сумма карбонатов	30 - 100	$n \cdot 10^3$	30 - 300

Таблица 17

Основные формы миграции некоторых элементов в гидрогоеохимических средах, создаваемых интрузивными породами (по С.Р. Крайнову, Б.А. Колотову, А.М. Эленбогену, Г.А. Соломину)

Интрузивные породы	Основные адденды	Zn	Cu	Ag	Yb	Be	Sn	Tl
Граниты	HCO_3^- ; Cl^- ; F^-	Zn^{2+} ; ZnHCO_3^{\pm}	Cu^{2+} ; CuHCO_3^{\pm}	Ag^+ ; AgCl^0	Yb^{3+}	Be^{2+} ; BeF^+ ; BeF_5^-	SnF_3^{\pm} ; Sn(OH)_3^{\pm} ; TiO(OH)^+	
Ультрабазиты	OH^- ; CO_3^{2-} ; OB	ZnCO_3^{\pm} ; Zn^{2+} ; ZnHCO_3^{\pm} ; ZnOB^n	CuCO_3^{\pm} ; CuHCO_3^{\pm}	Ag^+ ; AgCl^0	Yb(OH)_n^{3-n}	$\text{Be(OH)}_2^{\frac{n}{2}}$	Sn(OH)_3^{\pm}	
Сиениты агптаитовые	OH^- ; CO_3^{2-} ; F^- ; Cl	ZnCO_3^{\pm} ; $\text{Zn(CO}_3^{\pm})_{\frac{1}{2}}^-$; HZnO_2^-	$\text{Cu(CO}_3^{\pm})_{\frac{1}{2}}^-$; $\text{Cu(CO}_3^{\pm})_{\frac{1}{2}}^0$; HCuO_2^-	AgCl^0	$\text{Yb(CO}_3^{\pm})_{\frac{1}{2}}^{3-n}$; $(\text{F}, \text{OH})_m^{1/2}$; $[\text{Yb(CO}_3^{\pm})_t^0$	$\text{Be(OH)}_2^{\frac{n}{2}}$; BeF_3^- ; BeF_4^{2-} ; $\text{Be(CO}_3^{\pm})_{\frac{1}{2}}^{2-}$	SnF_6^{4-} ; $\text{Sn(OH)}_3\text{CO}_3^-$	Ti(F, OH)_n^{1-n}
Нефелиновые сиениты	OB	$\text{ZnO}_2^{\frac{1}{2}-}$; ZnOB						

П р и м е ч а н и е. OB - органические вещества.

вателей (Sn, Be, Nb, TR и др.); во-вторых, для специфических обстановок, а следовательно, для конкретных геохимических типов интрузивных пород характерны специфические формы миграции элементов в водах.

Сделаем основные выводы: 1) концентрации большинства микроэлементов в водах интрузивных пород повышены по сравнению с их концентрациями в гидрогеохимических полях терригенных эффузивов толщ; 2) группы литофильных элементов Al, Ti, V, Ga, Zr, как правило, присутствуют в гидрогеохимических полях интрузий любого состава; специфика микро-компонентного состава проявляется также внутри интрузивов определенных геохимических типов в зависимости от их металлогенической специализации, например, оловоносные (Sn, Mo, Be) или щелочные (Ce, La) граниты Дальнего Востока; 3) наличие форм, соответствующих специфической гидрогеохимической обстановке; создаваемой интрузивными телами различного химического состава, например, фторидные комплексы бериллия и олова для фтороносных гранитоидов, выраженные карбонатные комплексы элементов для щелочных пород и т.д.

Гидротермально измененные породы

Гидротермализация пород в большинстве случаев сопровождает рудные поля, интенсивно развивается в пределах рудоносных структур, проявляется при внедрении интрузивных тел и при излиянии эффузивов. При внедрении гранитоидов, например, выделяется до 3,5% воды, активно участвующей в процессах гидротермального изменения пород.

Гидрогеохимические поля гидротермально измененных пород фиксируются очень четко современными анализами воды. При этом выявляется значительное разнообразие гидрогеохимических характеристик этих полей. Особенно легко по микроэлементам (Al, Ti, V, Zr и др.) прослеживаются региональные системы разломов (например, Гиндукушский разлом, Центральный структурный шов Приморья).

Для массивов гидротермально измененных пород достаточно

Таблица 18

Концентрации основных катионов в подземных водах пород Чаткальских гор
(по Н.И. Еникесеву)

Породы	Средние содержания по региону, мг/л				Содержания в пределах минерализованных зон гидротермального изменения, мг/л			
	Ca	Mg	Na	K	Ca	Mg	Na	K
Алюмосиликаты	45	12	9	1	45	26	35	-
Карбонаты	38	6	2	1	51	33	14	6

ярко проявляется специфика микрокомпонентного состава воды (табл. 18). Массивы вторичных кварцитов способствуют накапливанию в водах концентраций калия и сульфатного иона, альбитизация отчетливо выделяется аномальными содержаниями натрия, а хлоритизация и серпентинизация - магния.

Обзор гидрогоеохимических полей гидротермалитов по элементному составу обнаруживает прежде всего общую для всех полей группу элементов - комплексообразователей в аномальных количествах, с которой мы встречались при рассмотрении гидрогоеохимических полей интрузивных пород и вулканогенных толщ. Это элементы Ti, Al, V, Ga, реже Zr. В зависимости от состава пород в водах обычно накапливаются типоморфные элементы, связанные с этим конкретным процессом: Be, I, Yb и другие - для кислых разностей; Cr, Ni, Mn и другие - для основных (табл. 19).

В гидрогоеохимическом поле гидротермально измененных пород укрепляются связи между геохимически родственными элементами и увеличивается общее число этих связей.

Большое разнообразие форм водной миграции элементов (табл. 20) в пределах развития гидротермалитов по сравнению с гидрогоеохимическими полями рассмотренных ранее терригенных и эфузивных толщ имеет место прежде всего вследствие разнообразия лигандов, участвующих в комплексообразовании. Это касается вторичных кварцитов, в которых часто формируются сульфатсодержащие воды, а более всего грейзенов, в гидро-

Таблица 19

Модальные концентрации микрэлементов в пресных водах гидротермально измененных пород ряда пропилиты - вторичные кварциты (Охотско-Чукотский и Приморский вулканические пояса), мкг/л

Элемент	Чувствительность анализа	Пределы моды	Элемент	Чувствительность анализа	Пределы моды
Cu	0,1	1 - 3	Ti	1,0	30 - 100
Ag	0,1	0,1 - 0,3	V	0,5	1 - 3
Au	0,007	<0,007	Ga	0,5	1 - 3
Zn	0,5	0,1 - 0,5	Al	1,0	3000 - 5000
Cd	0,1	<0,1	Zr	0,5	0,5 - 3
Hg	0,1	<0,1	Se	0,5	0,5 - 1
Pb	0,1	0,1 - 1	Y	3	<3,0
As	0,5	0,5 - 1	Yb	0,5	<0,5
Sb	3,0	<3,0	Be	0,1	0,1 - 1
Bi	0,1	<0,1	Nb	0,5	<0,5
Mo	0,1	<0,1	Sn	0,1	0,1 - 0,3
Cr	1	3 - 10	W	0,5	<0,5
Mn	1,0	1 - 3	Ba	3,0	10 - 30
Co	0,1	<0,1	K	50	1000 - 3000
Ni	0,1	0,1 - 0,5	F	50	200 - 400

Таблица 20

Основные неорганические формы миграции некоторых элементов
в гидрогоеохимических полях

Гидротермальные изменения	Zn	Cu	Pb	Ag	Mo
Пропилиты и вторичные кварциты	$Zn(SO_4)^{2-}$; Zn^{2+} ; $ZnSO_4$	Cu^{2+} ; $CuSO_4$	$PbSO_4$; Pb^{2+}	Ag^+	$HMnO_4^-$; MnO_4^{2-}
Грейзены	Zn^{2+} ; $ZnHCO_3$	Cu^{2+}	Pb^{2+}	Ag^+ ; $AgCl^0$	$HMnO_4^-$; MnO_4^{2-}

Продолжение табл. 20

Гидротермальные изменения	As	Be	Sn	W	Al	Ni
Пропилиты и вторичные кварциты	$H_2As_2O_4$; $HAsO_4^{2-}$	Be^{2+}	Sn^{4+}	HWO_4^-	Al^{3+} ; $AlSO_4^-$; $Al(SO_4)_2$	Ni^{2+} ; $NiSO_4^0$
Грейзены	$HAsO_4^{2-}$	Be^{2+} ; BeF^+	SnF_6^{2-}	WO_4^{2-}	$Al(OH)_3^0$; AlF^{2+}	Ni^{2+}

геохимическом поле которых наряду с сульфатами большую роль среди лигандов играет фтор, что приводит к фторидным комплексам некоторых элементов (алюминия, олова и бериллия).

ГИДРОГЕОХИМИЧЕСКИЕ ПОЛЯ РУДНЫХ МЕСТОРОЖДЕНИЙ

Рассматривая гидрогоеохимические исследования в прикладном плане, необходимо изучить возможно более широкий перечень типов месторождений полезных ископаемых. Исходя из этих соображений и был взят за основу весь ряд эндогенного оруднения, рассеивающегося в пресных водах.

Гидрогоеохимические поля гидротермальных месторождений

Наиболее распространенной, а также и удобной для настоящей работы является классификация, предложенная В.И. Смирновым в 1969 г., поскольку в ней удачно сочетаются и собственно классификация гидротермального оруднения, и характер последующих гипергенных процессов, которые происходят на месторождениях.

Именно гипергенные процессы прежде всего рассматриваются при формировании гидрогоеохимических полей рудных месторождений.

Гидрогеохимия гидротермальных месторождений плутоногенного класса

Образованию различных групп (парагенезисов) этого класса месторождений (кварцевой, сульфидной и карбонатной), являющихся продуктами единого процесса постмагматической гидротермальной деятельности, способствовали различные активности основных химических компонентов рудоотложения. На ранней стадии этого процесса определяющим было формирование руд высокотемпературных оксидных соединений. С течением процесса усиливалась роль серы, что способствовало среднетемпературному сульфидному рудообразованию. Конец процесса протекал при увеличении активности углекислоты, что с понижением температуры приводило к низкотемпературной карбонатной стадии формирования руд. Общее течение процесса сопровождалось образованием трех перечисленных подклассов плутоногенных гидротермальных месторождений.

Подчеркнем еще одну особенность этого типа оруденения, важную для последующего изложения: для высокотемпературных руд кварцевого подкласса почти всегда можно найти все три стадии этого процесса (оксидную, сульфидную, карбонатную), разумеется, при преобладании первой. Для месторождений сульфидного подкласса прослеживаются уже две последних стадии (преобладает сульфидная), а месторождения карбонатного подкласса демонстрируют почти полное отсутствие оксидных и сульфидных руд. Это подтверждается механизмом гидротермального рудообразования, при котором снижение температуры и нейтрализация растворов, по мнению многих исследователей, являются основными причинами сброса рудных элементов гидротермальными растворами.

Другая важная особенность - тесная пространственная связь с интрузивными телами месторождений кварцевого подкласса и некоторая пространственная разобщенность интрузивов и рудных тел двух других подклассов.

Формирование гидрогеохимических полей месторождений перечисленных подклассов зависит от специфики процессов, определяющей формирование того или иного подкласса. Так, затруднен переход в воду компонентов оксидных руд кварцевого подкласса, тогда как сульфидные руды вследствие окисления серы в зоне гипергенеза разлагаются, активно изменяют среду и поставляют в природные воды значительные концентрации рудных элементов - халькофилов, хорошо мигрирующих в кислых средах. Карбонатные руды также активно формируют условия для миграции элементов (карбонатные среды), но препятствуют водной миграции халькофильных элементов в катионной форме. Однако элементы, формирующие прочные карбонатные комплексы (U , Th , TR), получают дополнительные возможности стабилизации своего растворимого состояния.

Тот факт, что для кварцевого подкласса хотя и в меньшей

степени характерны минералы сульфидной и карбонатной стадий, позволяет ожидать весьма большое разнообразие компонентов гидрогоеохимического поля, которое еще более увеличивается за счет элементов, перераспределяющихся при становлении интрузии, с которой связано данное месторождение.

Гидрогоеохимические поля рудных месторождений кварцевого подкласса. Главные рудные минералы месторождений этого подкласса: кассiterит, вольфрамит, шеелит, молибденит, висмутин, самородный висмут, золото, арсенопирит.

Из жильных минералов присутствуют кварц, флюорит, хлорит, серицит, турмалин, полевые шпаты. Вмещающие породы подвергнуты интенсивным высокотемпературным гидротермальным изменениям, прежде всего - окварцеванию, а также хлоритизации, турмалинизации, серицитизации. Наши выводы базируются на изучении широкого круга компонентов в водах кварц-кассiterитовых, кварц-вольфрамитовых и кварц-молибденитовых месторождений, а также литературных данных.

Гидрогоеохимические исследования месторождений данного подкласса достаточно многочисленны. Их проводили Ю.Ю. Бугельский, Н.И. Еникесев, В.Н. Макаров, С.Р. Крайнов и др., однако исследования часто ограничены изучением узкого круга рудных элементов.

Перечислим основные геолого-геохимические факторы, влияющие на формирование гидрогоеохимического поля этих месторождений:

1) тесная связь оруденения с многофазными интрузивными телами кислого ряда и тяготение оруденения к kontaktам интрузива, с которым оно связано;

2) многокомпонентность оруденения и, в частности, обычная зараженность его сульфидными минералами в той или иной степени;

3) значительная высокотемпературная гидротермальная проработка вмещающих пород и приконтактовых (в особенности апикальных) частей интрузии;

4) преобладание неактивных вмещающих пород и рудной минерализации, формирующих оклонейтральную обстановку в природных водах;

5) наличие многочисленных проницаемых разломов как в интрузиве, так и в экзоконтакте.

Перечисленные факторы создают комплекс характеристик химического состава воды, общий для всех месторождений кварцевого подкласса.

Как правило, воды описываемых месторождений имеют оклонейтральный или слабокислый pH и гидрокарбонатно-хлоридный кальциево-натриевый состав вод, особенно хорошо проявляющийся в условиях горноскладчатых областей. При этом натрий и хлор формируют часто отчетливые гидрогоеохимические аномалии (кварц-уранинит-редкометальные рудопроявления Дальнего Востока). В аридных районах и платформенных областях эти

Таблица 21

Аномальные концентрации компонентов в гидрогоеохимических полях
гидротермальных плутоногенных месторождений кварцевого подкласса, мкг/л

Минеральные типы (месторождения и рудопроявления)	Zn	Cu	As	Sn	Mo	W	Bi	U	F
Касситерит-вольфрамитовое (Северо-Восток)	<u>0,1-32</u> 7	<u>2-7</u> 3	<u>3-10</u> 3	<u>0,5-10</u> 1,5	<u>0,1-0,5</u> 0,5	<u>0,5-3</u> 0,5	H.o.	-	-
Касситеритовое (Дальний Восток)	<u>0,1-10</u> 1,5	<u>1-10</u> 3	<u>3-3</u> 3	<u>0,5-5</u> 0,5	H.o.	H.o.	H.o.	-	-
	<u>0,1-300</u> 3	-	H.o.	<u>0,5-3</u> 1	<u>0,1-0,5</u> 0,1	H.o.	H.o.	-	-
Уранинит-редкометальное (Дальний Восток)	<u>0,1-35</u> 5	<u>1,5-3</u> 1,5	<u>3-7</u> 3	<u>0,5-1</u> 0,5	<u>0,5-1</u> 0,5	H.o.	H.o.	<u>1-10</u> 3	1200
	<u>0,1-15</u> 1	<u>1-1</u> 1	-	H.o.	<u>0,1-1</u> 0,5	H.o.	H.o.	<u>1-5</u> 1	-
Вольфрамитовое (Дальний Восток)	<u>0,1-30</u> 3	H.o.	<u>3-3</u> 3	H.o.	<u>0,5-3</u> 0,5	H.o.	H.o.	-	-
Вольфрамит-висмутин-берилл-молибденитовое (Дальний Восток)	<u>0,1-25</u> 3	<u>0,5-7</u> 0,5	<u>0,3-4</u> 1	<u>0,5-3</u> 1	<u>0,5-100</u> 3	<u>3-10</u> 3	<u>0,5-1</u> 0,5	H.o.	300
Редкометальное (Средняя Азия)	H.o.	<u>1-15</u> 2	<u>1-3</u> 1	<u>0,1-0,5</u> 0,1	H.o.	<u>3</u> 3	H.o.	H.o.	600-1000

Продолжение табл. 21

Минеральные типы (месторождения и рудопроявления)	Be	Tl	V	Ga	Zr	Y	Yb	Sc	SO ₄ ²⁻	Pb
Касситерит-вольфрамитовое (Северо-Восток)	<u>0,1-0,5</u> 0,1	-	-	-	-	-	-	-	<u>12000-25000</u> 20000	<u>0,5-3</u> 1
Касситеритовое (Дальний Восток)	<u>0,1</u> 0,1	<u>30-70</u> 70	H.o.	<u>0,5</u> 0,5	H.o.	<u>3</u> 3	<u>0,5</u> 0,5	-	H.o.	H.o.
	<u>0,1-0,5</u> 0,1	<u>70-300</u> 700	<u>0,1-10</u> -	-	H.o.	H.o.	H.o.	-	<u>6000-16000</u> 12000	<u>0,5-7</u> 0,5
Уранинит-редкометальное (Дальний Восток)	<u>0,1-10</u> 0,5	<u>70-300</u> 300	<u>0,1-3</u> 1	<u>0,5-3</u> 3	<u>0,5-1</u> 1	<u>3</u> 3	<u>0,5-1</u> 0,5	-	<u>4000-8000</u> 4000	<u>1</u> 1
	<u>0,1-0,5</u> 0,1	<u>70-100</u> 100	<u>0,1-1</u> 0,1	<u>0,5-1</u> 1	<u>0,5</u> 0,5	<u>3</u> 3	<u>0,5</u> 0,5	-	H.o.	H.o.
Вольфрамитовое (Дальний Восток)	<u>0,5</u> 0,5	<u>70-300</u> 100	<u>0,1-1</u> 1	<u>0,5</u> 0,5	<u>0,5</u> 0,5	H.o.	H.o.	-	H.o.	<u>5-10</u> 5
Вольфрамит-висмутин-берилл-молибденитовое (Дальний Восток)	<u>0,1-3</u> 0,5	<u>70-100</u> 100	<u>0,1-1</u> 1	<u>0,5-1</u> 1	<u>0,5-1</u> 1	<u>3</u> 3	<u>0,5</u> 0,5	-	<u>4000-12000</u> 6000	<u>1-7</u> 1
Редкометальное (Средняя Азия)	<u>0,1-0,5</u> 0,1	<u>30-100</u> 70	<u>0,1-3</u> 1	<u>0,5-3</u> 1	<u>0,5-3</u> 3	-	-	<u>1-3</u> 1	H.o.	H.o.

П р и м е ч а н и е. В числителе - предел значений; в знаменателе - модальные значения.

аномалии могут не проявиться вследствие процессов континентального засоления или других процессов, формирующих повышенные концентрации натрия и хлора в водоносном горизонте.

Гидрогоеохимические поля месторождений кварцевого подкласса отличаются значительным комплексом элементов, присутствующих в аномальных количествах (табл. 21). Несмотря на незначительное превышение над фоном (или чувствительностью анализа), аномальные концентрации, вследствие наличия неактивных вмещающих пород, распространяются на довольно значительные расстояния от рудных тел - 1000 м и более (для водных потоков рассеяния). И, таким образом, поле целиком достаточно контрастно проявлено на фоне химического состава вод терригенных толщ.

Корреляционный анализ показал, что в результате тесного пространственного взаимоотношения всего комплекса элементов в гидрогоеохимическом поле месторождений кварцевого подкласса часто формируются многокомпонентные парагенетические группы элементов, выделяющиеся весьма значительными корреляционными связями $K_{\text{корр}} > 0,6-0,7$ (табл. 22).

Максимальные концентрации элементов в гидрогоеохимических полях кварц-касситерит-вольфрамитовых месторождений (Дедово-горское, Ангатуйское) приведены ниже.

Элемент	W	Mo	Sn	Zn	F	As	Be	Li	Rb
Содержание, мкг/л	50	10	2	200	2500	10 000	0,7	100	5

Для гидрогоеохимических полей гидротермальных плутоногенных месторождений кварцевого подкласса можно выделить несколько групп элементов.

1. Группа литофильных элементов, прежде всего элементов-комплексообразователей, связанная с развитием в пределах месторождений гранитоидных интрузивных тел (Ti, Al, V, Ga, Zr, Y, Yb, Be, Sn, Li). В этой группе можно выделить две подгруппы: подгруппу, проявляющуюся в гидрогоеохимическом поле независимо от химического состава гранитов (Ti, Al, Ga, Zr, Y, Yb), и подгруппу, специфически связанную не только с

Таблица 22

Парагенетические группы рудных проявлений кварцевого подкласса
(факторный анализ)

Рудные проявления	Парагенетические группы
Уранинит-молибденит-кварцевое	1. Ti, Zr, V, Ga, Be. 2. F, Be, U, Mo. 3. Zn, As, SO_4^{2-} , Be
Кварц-касситеритовое	1. Al, Ti, Ga, Zr, V, Ba, Ni. 2. Sn, Mn, As

гранитоидным типом интрузивного тела как таковым, но и конкретно с оруденением кварцевого подкласса (Be, Sn, Li) (табл. 23).

Причем в случае участия олова, лития или бериллия в рудном процессе (для оловоносных, литиеносных или бериллоносных гранитов) эти элементы обособливаются с группой рудных элементов (имеются в виду не столько промышленные концентрации, сколько резкое увеличение элемента непосредственно в рудном теле).

2. Группа халькофильных элементов, связанная с развитой на месторождениях кварцевого подкласса сульфидизацией (Zn, Cu, Mo, As, реже Pb).

3. Группа рудных элементов в гидрогоеохимическом поле месторождений кварцевого подкласса в зависимости от конкретного минерального типа месторождения (W, Bi, U, Au, Sn).

4. Отдельно отметим группу галогенов (F, Cl), наличие которых на месторождении, а следовательно, и в гидрогоеохимическом поле определяется составом гидротермальных растворов.

Формы водной миграции элементов в данном случае определяются концентрациями компонентов-лигандов в условиях

Таблица 23

Комплекс элементов, подчеркивающих специфику конкретного месторождения кварцевого подкласса

Месторождение	Природные условия (климат, рельеф)	Комплекс специфических элементов в водах	Полный комплекс
Уран-редкометальное	Гумидный, горный	U, Sn	Al, Ti, V, Ga, Zr, Y, Yb, Be, Mo, F, Cl, Na, Cu, Zn, As, Sn
Кварц-золотое	То же	Au, Ag	Ti, V, Ga, Zr, Be, Cu, Zn, Fe, Mn
Кварц-касситеритное	"	Sn	Al, Ti, V, Ga, Y, Yb, Mo, As, Zn
Урановое	"	U	Ti, V, Zr, Mo, F, Y, Zn
Касситерит-вольфрамитовое	"	Sn, W	Ti, V, Ga, Y, Be, Mo, Zn, Cu
Касситерит-шешлит-вольфрамитовое	Аридный, горный	Sn, W, Bi	Al, Ti, V, Ga, Zr, Sc, Cu
Касситерит-вольфрамитовое	Гумидный (наличие мерзлоты), горный	Sn, W	Al, Ti, V, Ga, Zr, Be, Yb, Zn, Cu

Формы миграции основных рудных элементов в водах
(по Б.А. Колотову, А.М. Эленбогену,

Общие гидрогохимические условия месторождений	Zn	Cu	Sn
Гумидные гориные районы. Минерализация воды до 0,3 г/л. Тип воды гидрокарбонатно-кальциевый; фтор-ион до 2 мг/л; pH от 6,5 до 7,5	Zn^{2+} ; $ZnHCO_3^{\pm}$	Cu^{2+} ; $CuHCO_3^{\pm}$; $CuCO_3^{\pm}$	$SnOH^{3+}$; SnF_3^{\pm}
Аридные области. Минерализация воды до 1 г/л. Тип воды хлоридно-гидрокарбонатный, натриево-кальциевый; pH от 6,8 до 7,8	Zn^{2+} ; $ZnSO_4^{\pm}$	$CuCO_3^{\pm}$; $Cu(CO_3)_2^{2-}$; Cu^{2+}	$SnOH^{3+}$; SnF_6^{2-} ; SnF_3^{\pm}

близнейтральной среды и относительно невысоких значений ОВ-потенциала (≈ 300 мВ). В гумидных зонах с пресными водами, в пределах месторождений концентрации основных лигандов-макрокомпонентов невелики ($Cl^- < 50$ мг/л, $SO_4^{2-} < 10$ мг/л, CO_3^{2-} - нет). В указанных условиях, как показывают расчеты, будут формироваться относительно простые формы существования элементов в водах: медь, цинк и свинец в основном в виде Cu^{2+} , Zn^{2+} , Pb^{2+} и частично в виде гидрокарбонатных комплексов, вольфрам, молибден, мышьяк - в виде соответственно вольфрамат-молибдат- и арсенат-ионов, золото скорее всего в виде гидроксокомплексов и т.д. (табл. 24).

Специально нужно отметить концентрации в водах этих месторождений фтора - весьма сильного аддента, определяющего наличие фторкомплексов олова, бериллия и алюминия. Миграция Bi в данной обстановке происходит, по мнению Н.И. Еникеева, в форме BiO^+ , а также BiF_n^{3-n} .

Формы существования этих элементов претерпевают некоторые изменения в том случае, когда месторождение разрушается в условиях аридного климата, где вследствие повышенной минерализации воды увеличиваются концентрации всех анионов-лигандов. Расчеты показывают, что в этой обстановке катионы-халькофилы приобретают частично форму сульфатных (Zn), карбонатных (Ca) или гидроксокомплексов (Pb).

При наличии в водах органики, что характерно для северных гумидных областей, часть элементов формирует прочные органические комплексы, которые изучены пока чрезвычайно слабо.

Гидрогохимические поля гидротермальных плутоногенных месторождений сульфидного подкласса. На месторождениях этого подкласса (парагенезиса) главными рудными минералами являются сфалерит, галенит, аргентит, пирит, халькопирит, арсенопирит, пирротин, антимонит, арсениды и сульфоарсениды

плутоногенных месторождений кварцевого подкласса
С.Р. Крайнову, Н.И. Еникееву)

Mo	W	Bi	As	Au	Be
$HMoO_4^-$; MoO_4^{2-}	WO_4^{2-}	BiO^+ ; BiF_2^{\pm}	$H_3AsO_3^{\pm}$; $H_2AsO_4^-$; $HasO_4^{2-}$; $H_2AsO_3^-$	$AuOH^0$	BeF^{+} ; BeF_2^0 ; Be^{2+}
MoO_4^{2-}	WO_4^{2-}	$BiCl_4^{3-}$; $BiCl_6^-$	$HasO_4^{2-}$; AsO_4^{3-}	$AuOH^0$	BeF^+

Ni, Co, Fe, барит, кассiterит, настурит, другие встречаются реже. Основные жильные минералы - кварц, полевые шпаты, барит, карбонаты.

Геолого-геохимические условия месторождений сульфидного подкласса отличаются от условий оруденения кварцевого подкласса. Отметим основные из них, влияющие на формирование гидрогохимических полей.

1. Отсутствие тесной связи с многофазными и крупными интрузиями кислого ряда при наличии пространственной связи с малыми интрузиями разного состава, локализующимися чаще за пределами контуров рудного поля.

2. Резкое преобладание сульфидных минералов (даже если основной полезный компонент представлен оксидными соединениями - кассiterитом, например). Поздние карбонатные стадии практически непродуктивны.

3. Преобладание неактивных вмещающих пород, создающих оклонейтральную среду, при наличии окисляющихся руд, понижающих pH в водах рудного поля.

В связи с интенсивными процессами окисления сульфидов воды месторождений имеют пониженный pH (3-3,5), повышенный ОВП до 600 мВ и сульфатно-гидрокарбонатный кальциевый состав. Карбонатное равновесие сдвигается в сторону формирования свободной углекислоты за счет уменьшения концентраций гидрокарбонат-иона. Если для гумидных стран сульфатность вод - аномальное явление, то в условиях аридного климата сульфатный фон повышен за счет интенсивного выщелачивания рассеянного в породах гипса настолько, что рудогенная аномальность по сульфату часто не ощущается.

Отсутствие тесной связи гидротермальных плутоногенных месторождений сульфидного парагенезиса с интрузивными породами приводит к тому, что в гидрогохимическом поле мес-

торождений отсутствует комплекс элементов, связанный с выветриванием апикальных и приконтактовых частей интрузивных тел (Al, Ti, V, Ga и др.).

Иногда бериллий (неизменный компонент этого комплекса) встречается в аномальных концентрациях в связи с благоприятными условиями накопления его в кислых водах.

Тем не менее гидрогеохимическое поле комплекса литофильных элементов, как правило, можно обнаружить за пределами контуров рудного месторождения, где оно связано с малой интрузией или полем гидротермального изменения пород, развитого вокруг интрузии глубинного типа. В пределах месторождения на самом рудном поле чрезвычайно контрастно выявлено гидрогеохимическое поле халькофильных и сидерофильных элементов (прежде всего цинка, меди, мышьяка, железа, часто свинца, серебра, никеля, кобальта), а также основного компонента руд, хотя бы и не связанного с серой (Sn, U). Реже встречаются Mn, Bi, Ba, Sb, Cd, Hg, Mo.

Гидрогеохимические поля месторождений сульфидного подкласса среди прочих выделяются высокой контрастностью содержаний халькофильных элементов, в особенности цинка, меди

Таблица 25

Комплекс элементов в гидрогеохимическом поле плутоногенных месторождений сульфидного подкласса

Месторождения	Специфические элементы в гидрогеохимическом поле, присущие конкретному типу оруденения	Комплекс рудных элементов, проявляющийся в гидрогеохимических полях независимо от типа оруденения	Другие элементы в гидрогеохимическом поле, информативная роль которых неясна
Кассiterит-силикатные Кавалеровского рудного района (12 месторождений, Дальний Восток)	Sn, Be	As, Zn, Cu, Pb, SO ₄ ²⁻	Ni
Кассiterит-сульфидные Арму-Иманского рудного района (9 месторождений, Дальний Восток)	Sn	As, Zn, Cu, Pb, SO ₄ ²⁻	Ag, Ba, Mn, Ni
Золотосурьмяные месторождения Якутии (по В.Н. Макарову)	Au, Sb	As, Zn, Cu, Pb	-

и мышьяка (табл. 25). Различаются концентрации элементов для отдельных гидродинамических зон гидрогоеохимического поля (рудных, ореольных и фоновых) (табл. 26). Распределение элементов в гидрогоеохимическом поле конкретных плутоногенных месторождений сульфидного подкласса, изученных на Дальнем Востоке, приведено в табл. 27.

Таким образом, в отличие от предыдущего подкласса (кварцевого) в гидрогоеохимическом поле месторождений сульфидного подкласса круг элементов уже: в основном это халькофильные и в меньшей степени - сидерофильные элементы. Литофильные элементы, если и бывают развиты, то за счет увеличения миграционных способностей в кислых средах (бериллий). Однако, как правило, литофильные элементы формируют сопряженное гидрогоеохимическое поле достаточно близко от месторождения, что связано с зональным прохождением рудоносного процесса, как это показано Ю.Н. Размахниным для оловоносных территорий Дальнего Востока.

Среди компонентов гидрогоеохимического поля, как правило, отмечаются, с одной стороны, элементы, специфические только для определенного типа оруденения, а с другой - элементы, присутствующие в водах месторождений любых типов этого подкласса (Zn , Cu , As , Pb , SO_4^{2-}).

Концентрации элементов в гидрогоеохимическом поле месторождений сульфидного подкласса зависят прежде всего от интенсивности прохождения процессов окисления, а следовательно, от стадии формирования зоны окисления. Максимальными они будут для первой (сульфатной) стадии окисления, которая чаще всего встречается в горноскладчатых областях.

Концентрации элементов в гидрогоеохимических полях различных типов гидротермальных плутоногенных месторождений сульфидного подкласса для первой (сульфатной) стадии окисления приведены в табл. 27. Очевидно, что по сравнению с кварцевым подклассом контрастность гидрогоеохимического поля рассматриваемого подкласса резко возрастает за счет роста концентраций халькофильных элементов в водах.

Таблица 26

Концентрации некоторых элементов в пределах гидрогоеохимического поля гидротермальных полиметаллических месторождений сульфидного состава (по Б.З. Зауташвили), мкг/л

Типы вод	Zn	Cu	Pb
Рудные	30 - 1000	10 - 800	5 - 10
Ореольные	30 - 400	3 - 10	2 - 20
Фоновые	20 - 30	2	2

При меч ани е. Спектральный анализ ореольных вод (в мкг/л): Mo - 1-5; Ag - 1,5, Cd - 1-5.

Таблица 27

Характеристика гидрогеохимических полей гидротермальных

Тип месторождения и краткая характеристика структуры рудного поля	Минеральный состав руд	Компоненты, составляющие гидро-геохимическое поле	Фоновое содержание компонентов, мкг/л	Рудные
				Содержания компонентов в рудных водах, мкг/л
Полиметаллические в осадочных породах (по данным исследований 7 месторождений, 390 проб)	Сфалерит	Цинк	<1	500-5000
	Галенит	Свинец	<2,5 **	500-100
			Следы	1-10
	Халькопирит	Медь	<2	<100
			Следы	10-100
	Арсенопирит	Мышьяк	1	30-100
	Пирротин	Молибден	<3	30-100
Сульфидно-касситеритовые в осадочных породах (по данным исследований 7 месторождений, 2400 проб)	Пирит	Сульфат-ион	1	5-30
			Следы	1-5
	Аргентит	Кроме того,	-	-
	Молибденит (редко)	Ag, Mn, Sb, Ni, Cd, Bi, Co	-	-
	Касситерит	Олово	-	-
			<0,5	10-100
	Галенит	Свинец	<2,5	10-30
			Следы	10-70
	Сфалерит	Цинк	<1	500-5000
	Арсенопирит	Мышьяк	1	20-100
			<3	50-100
	Халькопирит	Медь	<2 **	<100
			Следы	10-100
	Станин	Кроме того,	-	-
	Пирит	Ag, Mn, Be	<2000	<100 000
	Пирротин		-	-

* В числителе - результаты химического анализа, в знаменателе -
** Возможно заражение реагентов.

Фракционирование элементов по парагенетическим группам хорошо прослеживается по корреляционным связям на примере значительного оловорудного района (Дальний Восток). В выборке из 350 гидрогеохимических проб по более чем 15 силикатно-сульфидным оловянным месторождениям и рудопроявлениям и смежным территориям с развитием высокотемпературных гид-

плутоногенных месторождений сульфидного генезиса (Дальний Восток)

воды Коэффициент выноса элемента из руд Квын	Ореольные воды					
	Содержания *, мкг/л			Протяженность порога рассеяния, км		
	Максимальные	Минимальные	Модальные	в пределах приводораздельного ландшафта	в пределах придолинного ландшафта	
0,53-1,58	800-1000	1-2	10-30	3-8		1,5-2
≈0,005	500-100	3	5	<3		<1
0,03-3,4	10-100	1	3	2,5-3		1-1,5
≈0,017	40-50	2-3	≈10	2-2,5		1-1,5
0,034-3,4	70	Следы-1	3	2-2,5		1-1,5
	20	1-2	2-3			
	30	3	3			
	80-100	1	1-2	<2		<1
	15	Следы-1	1			
	<25 000	2000-4000	6-8	3-6		1,5-2
≈0,005	-	-	-			
≈0,005	30,0	0,5	1-3	<2,5		<1
0,5-2	≈10-20	2	5	<3		<1
	70-100	1	3			
0,15	300-500	1	10-30	3-10		1,5-2
0,3-3	20	1-2	2-3	2-2,5		1-1,5
	10-30	3	3			
	40	2-3	10	2,5-3		1-1,5
	30-70	1	3			
	<30 000	2000-6000	6000-8000	3-6		1,5-2

спектрального.

ротермалитов по корреляционным связям выделяются группы элементов: 1) Ti, V, Ga, Zr, Ba (со слабыми связями - Be, Cr); 2) SO_4^{2-} , As, Be, Y; 3) Sn, Pb, Cu, As.

Здесь следует отметить обособление группы элементов руд. Иногда рудный компонент, если он резко превалирует в рудах, вообще, как показал В.З. Рубейкин, отделяется от парагене-

тических групп, что связано с неравномерностью его распределения и высокой степенью локализации.

Интересно отметить, что для разных объектов исследований гидрогоеохимического поля олово, по данным корреляционного анализа, в случае сульфидно-кассiterитового оруденения при соединяется к группе халькофильных элементов, а на кварц-кассiterитовых рудных полях или в пределах оловоносных гранитов - чаще к группе литофильных элементов, проявляя, таким образом, двойственный характер и разные свойства, связанные, как предположила Е.А. Киселева, с наличием диа- и парамагнитных его разностей. Формы миграции элементов в гидрогоеохимических полях плутоногенных месторождений сульфидного подкласса определяются средой, которая создается в водах этого месторождения прежде всего окислением сульфидов: кислыми сульфатными водами с относительно высоким ОВП (до 600 мВ). Причем отмечается трансформация состояний элементов по мере удаления от центра рудного поля, поскольку происходит быстрая нейтрализация вод, понижение их ОВП и изменение химического состава за счет смешения с фоновыми водами. В результате образуются две зоны характерных состояний элементов: кислых рудных (ареальных) вод и близнейтральных ореольных вод. На границе между этими зонами "включается" карбонатный геохимический барьер (минералами, контролирующими концентрации халькофильных элементов в водах, становятся карбонатные минералы), снижаются концентрации рудных катионогенных элементов, изменяются их состояния в водах.

Гидрогоеохимические поля гидротермальных плутоногенных месторождений карбонатного подкласса. Гидрогоеохимических исследований месторождений этого типа практически нет. В нашем распоряжении имеются данные гидрогоеохимического опробования лишь одного сидеритового рудопроявления, локализованного в виде карбонатных жил в долине р. Туркман в Гиндукуше. Тем не менее, по геологическим условиям развития месторождений подобного типа можно в общих чертах представить формирование гидрогоеохимического поля месторождений этого подкласса.

Таблица 28

Концентрации компонентов (в мкг/л) в гидрогоеохимическом поле сидеритового проявления карбонатного подкласса (для Mn, Fe, Cu данные спектрального анализа концентратов SO_4^{2-} - нефелометрический анализ)

Компонент	Фон	Модальные	Максимальный
Марганец	3-5	5	15
Железо	<300	300-500	700
Медь	<0,5	0,5-1	1
Сульфат-ион	10-15	15-20	30

П р и м е ч а н и е. Концентрация сульфат-иона дана в мг/л.

Геолого-геохимические условия плутоногенных месторождений карбонатного подкласса резко отличаются от таковых двух предыдущих подклассов и являются наиболее неблагоприятными для формирования контрастного гидрогоеохимического поля: 1) отсутствие тесной связи этих месторождений с интрузивными комплексами приводит к отсутствию лиофильных элементов в гидрогоеохимическом поле этих месторождений; 2) преобладание карбонатных минералов при весьма слабом проявлении сульфидных и высокотемпературных оксидных минералов определяет ограниченный комплекс минеральных ассоциаций в рудах и развитие гидрогоеохимического поля очень слабой контрастности при малом комплексе элементов (табл. 28); 3) наличие карбонатных пород, создающих карбонатные среды с высоким pH, активно препятствуют миграции рудных элементов в катионной форме.

Хотя ввиду ограниченности данных корреляционный анализ не проводился, можно говорить об ограниченных парагенетических группах элементов. По-видимому, наиболее тесно должны быть связаны железо и марганец, поскольку они связаны и пространственно, и по свойствам.

Основные выводы по гидрогоеохимии гидротермальных плутоногенных месторождений таковы.

1. Комплекс элементов гидрогоеохимического поля месторождений кварцевого генезиса определяется, с одной стороны, составом руд (главные рудные минералы представлены оксидными соединениями), включающим в подавляющем большинстве сульфидную вкрапленность, с другой - составом интрузивного тела (прежде всего приконтактовой его части), с которым связано оруденение. Это определяет значительную широту комплекса, включающего различные группы геохимически родственных элементов. Превышение над фоном концентраций элементов достигает одного, иногда двух порядков, так как главные оксидные минералы руд слабо разлагаются в зоне гипергенеза, а количество сульфидов в рудах незначительно.

В гидрогоеохимическом поле месторождений сульфидного парагенезиса комплекс элементов сужается и прежде всего представлен халькофильными элементами, концентрации которых превышают фоновые на несколько порядков. Однако гидрогоеохимическое поле лиофильных элементов-гидролизатов почти всегда можно обнаружить в непосредственной близости от месторождения. Эта часть структуры, по данным геологических наблюдений Ю.Н. Размахнина, связана с генерацией руд: именно отсюда осуществлялся вынос рудных элементов при рудообразовании.

Для гидрогоеохимического поля месторождений карбонатного генезиса характерен наиболее бедный набор химических элементов. Следует также сказать о наименьшей изученности месторождений данного типа.

2. В гидрогоеохимических полях гидротермальных плутоно-

генных месторождений прослеживается формирование парагенетических групп элементов, устанавливаемых эмпирически, а также с помощью корреляционного или факторного анализа. Состав этих групп определяется, с одной стороны, близостью свойств элементов, а с другой - их фактическим распределением в породах и характером процессов выветривания. Наиболее часто прослеживаются две группы элементов - литофильные (Ti, Al, V, Ca, Be, Zr и др.) и халькофильные (Zn, Pb, As и др.). Иногда выделяется группа сидерофильных элементов (Mn, Cr, Ni). Главный рудный элемент в зависимости от свойств и степени концентрируемости в рудах может присоединяться к той или другой группе, либо обособиться отдельно (в случае высокой локальности распределения).

В гидрогеохимических полях месторождений кварцевого парагенезиса наиболее четко выделяется группа литофильных элементов, слабее - группа халькофильных. Намечаются корреляционные связи не только внутри парагенетических групп, но и между элементами различных групп. В гидрогеохимических полях месторождений сульфидного парагенезиса наиболее четко намечается группа халькофильных элементов, слабее - группа литофильных элементов. Однако, если выборка проб захватывает малую интрузию вблизи месторождения, то группа литофильных (а часто и сидерофильных) элементов выделится отчетливо.

Месторождения кварцевого подкласса формируют нейтральные воды слабоокислительной обстановки (ОВП - 200-400 мВ), с незначительным (но аномальным) количеством сульфатов, иногда хлора и явно аномальными концентрациями фтора, тогда как месторождения сульфидного подкласса имеют, как правило, умеренно кислые сульфатные воды с преобладанием высоких ОВП (до 600 мВ), а карбонатного подкласса - умеренно щелочные гидрокарбонатные (с карбонат-ионом) воды (ОВП 200-300 мВ).

Как показывают расчеты, халькофильные элементы в водах месторождений кварцевого подкласса мигрируют в основном в форме простых ионов, в водах сульфидного подкласса трансформируются частично в сульфатные комплексы (в особенности в рудных водах), а в водах карбонатного подкласса значительную долю займут гидроксо- и карбонатные комплексы. Олово и бериллий в гидрогеохимических полях месторождений кварцевого подкласса мигрируют в виде простых ионов, гидроксо- и фторидных комплексов, в водах месторождений сульфидного подкласса - в виде свободного иона, а серебро независимо от подкласса месторождения - в виде Ag^+ и AgCl .

Гидрогеохимия месторождений вулканогенного класса

Условия формирования гидротермальных месторождений этого класса (в частности, малые глубины образования, резкий спад температуры и давления при возрастающей концентрации кислорода, наличие выраженных центров излияния и линейное рас-

положение этих центров и др.) накладывают достаточно ярко выраженную специфику на облик образующихся при гипергенном рассеянии гидрогеохимических полей этих месторождений.

Отметим основные особенности оруденения вулканогенного класса, влияющие на формирование их гидрогеохимических полей.

1. Чрезвычайно интенсивные гидротермальные изменения вмещающих пород: широко проявлены окварцевание, пропилитизация, алунизация, каолинизация и др. Особо отметим интенсивный калиевый метасоматоз для некоторых рудных формаций этого типа.

2. Как показано различными исследователями, в частности, Е.А. Радкевич для Приморского вулканического пояса, эфузивы являются хорошим экраном при рудообразовании, вследствие чего зараженной рудными элементами оказывается значительная площадь.

3. Тяготение рудных концентраций к жерлам вулканов или их кальдерному обрамлению, создающее некое "центривание" месторождений (и гидрогеохимических аномалий) по отношению к центрам излияний и линейное расположение этих центров, образующих общую структуру, включающую близлежащие поля.

4. Высокая активность серы при формировании как руд, так и гидротермальных изменений, что находит свое выражение в значительном присутствии сульфидных минералов, в особенности сульфидов железа (например, пиритовая фация вторичных кварцитов и связанных с ними руд).

Гидрогеохимические поля представлены несколькими группами элементов. Связь с субвулканами и интенсивной гидротермализацией обусловливает активное проявление группы литофильных элементов - гидролизатов. Группа халькофильных элементов выражена слабоконтрастными гидрогеохимическими аномалиями, которые охватывают значительные площади, показывая контуры целых рудоносных структур и объединяя гидрогеохимические поля нескольких месторождений (рис. 10). Непосредственно же рудные поля выделяются контрастными аномалиями рудных элементов. Золото в водах обнаруживается вблизи рудных тел.

Характеристика гидрогеохимических полей гидротермальных месторождений вулканогенного класса дается на примере близповерхностного золотосеребряного оруденения, изученного в пределах Охотско-Чукотского, а также Приморского вулканогенных поясов. Детальным гидрогеохимическим исследованиям подверглись структуры, вмещающие основные рудные месторождения этой природы. Причем одно золотосеребряное месторождение было открыто непосредственно гидрогеохимическими поисками. Другое было обнаружено в пределах пересечения субрегиональной субмеридиональной и широтной гидрогеохимических аномалий геологическими маршрутами.

Для гидрогеохимических полей месторождений данного типа характерно развитие кислых вод с pH обычно менее 6, а для центральных частей - менее 5.

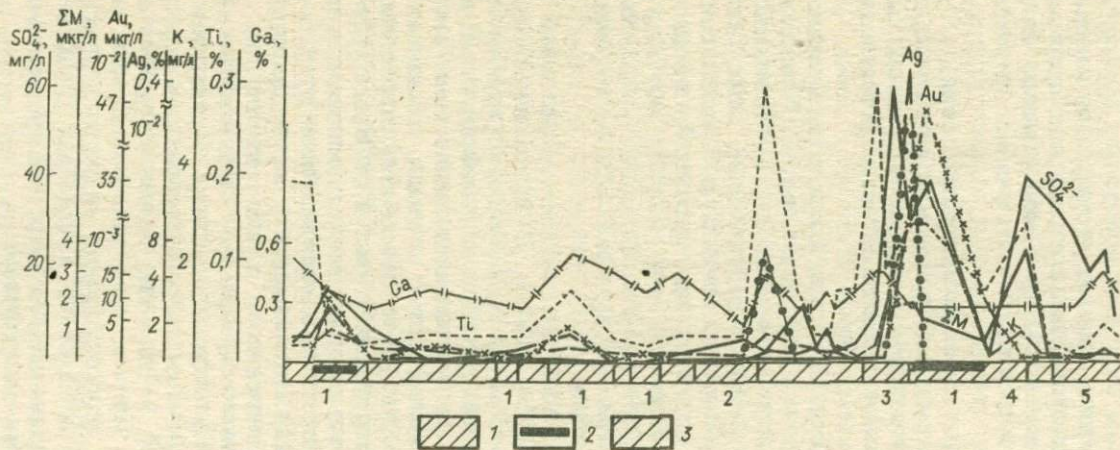


Рис. 10. Гидрогохимический профиль рудоносных структур вулканогенного класса (золотосеребряное оруденение, Северо-Восток):

1 - гидротермально измененные породы (1 - адуляр-гидрослюдисто-кварцевая фация, 2 - карбонат-хлоритовая фация, 3 - вторичные кварциты, 4 - эпидот-хлоритовая фация); 2 - рудные тела; 3 - безрудные породы

В результате интенсивного процесса калишпатизации и наличия калиевых метасоматитов (переходные фации) в гидро-геохимическом поле присутствуют повышенные концентрации калия. Иногда увеличиваются содержания натрия в водах, хотя натриевый метасоматоз не характерен для этого типа руд.

Таким образом, на региональном фоне в основном гидрокарбонатных кальциевых вод с pH 6,8-7,4 в пределах рудных полей развиты гидрокарбонатно-сульфатные (иногда сульфатно-гидрокарбонатные) кальциево-натриевые (с повышенным содержанием калия) кислые воды.

В гидро-геохимическом поле одного из близповерхностных месторождений зафиксированы повышенные концентрации муравьиной и уксусной кислот - продуктов разложения органического вещества в рудах. В связи с этим не может не возникнуть вопрос о миграции рудных элементов в форме комплексных металлоорганических соединений.

Выше уже говорилось о региональной пропилитизации для этого типа руд. В водах она проявленна несколько повышенными концентрациями Al, V, Ga, Ti, изредка Ba, Zr. Спорадически встречаются повышенные концентрации рудных (Zn, Pb, Ag, Ni) элементов.

С приближением к переходным фациям (адуляр-гидрослюдисто-кварцевым), вмещающим оруденение (в особенности адуляр-кварцевой), резко увеличиваются концентрации как литофильных, так и халькофильных элементов. Параллельно контрастно возрастают содержания золота и калия. Таким образом, круг компонентов, формирующих гидро-геохимическое поле золотосеребряных месторождений, чрезвычайно широк (табл. 29-31).

Таблица 29

Комплексы элементов в подземных водах близповерхностных золотосеребряных месторождений, формирующих аномальные концентрации

Месторождение	рН	Микрокомпоненты	Микроэлементы		
			литофильные	халькофильные	сидерофильные
Эвенское	4,5 – 7,6	K, Na SO ₄ ²⁻	Ti, Ga, V Be, Sn, Ce	Zn, Cu, Pb Mo, As, Ag	Cr, Mn Ni
Кварцевый	6–7,5	K, Na, SO ₄ ²⁻	Al, Ti, Ca, V, Be, Y,	Zn, Cu, Pb As, Ag, Au	Mn, Co
Карамкен	4,5-7,5	K, Na, SO ₄ ²⁻	Al, Ga, Ti, V, Be, Sn, Y, Yb	Zn, Cu, As, Mo, Au, Ag	Mn, Cr, Co, Fe
Дукат	5,1-7,2	K, SO ₄ ²⁻	Al, Ti, Ga, V, Be	Zn, Cu, As, Au, Ag	Mn, Cr, Co
Агатовское	6-7,4	K, SO ₄ ²⁻	Ti, Ga, V, Zr, Sn, Be	Zn, Cu, Mo, Au, Ag	Cr, Mn, Co

Таблица 30

Гидрогохимическая характеристика рудного поля Эвенского месторождения
(участок Кварцевый)

Компонент	Фоновые со- держания, мкг/л	Аномальное содержание, мкг/л		
		минимальное	максимальное	мода
<i>Рудные элементы</i>				
Золото	<0,003	0,003	0,7	~0,01
Серебро	<0,01	0,01-0,03	1,2	0,07
Цинк (полярногр)	<0,1	Следы	-	-
Цинк (спектр)	<3	-	-	-
Кобальт	<0,5	0,5	1	0,5
Марганец	10-15	20	50	26
Медь	0,1-0,2	0,4	2	0,4 - 0,5
Свинец	<0,5	0,5	1	0,5
Мышьяк	<0,5	0,5	1,5	0,75
Сульфат-ион	<2000	2000	40 000	12 000
<i>Элементы, связанные с фациями гидротермальных, развитых на месторождении</i>				
Калий	100-400	500	1500	700
Натрий	200-3000	2000	4000	2000
Алюминий	1000	2000	7000	3000
Титан	100	100	300	200
Ванадий	Н.о.	0,5	1	0,5
Галлий	Н.о.	0,5	0,5	0,5
Бериллий	<0,1	0,1	0,5	0,1-0,2

Специально отметим накопление золота во льду вблизи рудных тел, которое изучалось на объектах с развитыми многолетнемерзлыми породами. Действительно, наибольшие концентрации этого элемента на месторождении, как правило, наблюдались в твердой фазе воды (ледяных корочках, прожилках и т.д., табл. 32), что открывает возможности для обнаружения рудных тел на перспективных участках методом опробования ледяных образований.

Обобщенная характеристика гидрогохимического поля гидротермальных месторождений вулканогенного класса приведена в табл. 33.

Эмпирически и с помощью статистической обработки для гидрогохимических полей этого типа оруденения наблюдается разделение элементов по парагенетическим группам (табл. 34).

Прежде всего, выделяется универсальная группа лиофильных элементов - комплексообразователей (Ti, Al, Ga, V); в случае проявления липаритовой магмы к этой группе добавляются элементы Be, Y, Yb; в случае андезитовой магмы - появляются сидерофильные (Cr, Ni, реже Co), которые иногда выделяются в самостоятельную парагенетическую группу. Наряду с группой

Таблица 31

Содержания микрозлементов в водах рудного поля Дальнего Востока, мкг/л

Компонент	Чувствительность анализа	Фоновые содержания	Аномальное содержание		
			минимальное	максимальное	мода
<i>Рудные элементы</i>					
Золото	0,003	<0,003	0,003	1	$n \cdot 10^{-2}$
Серебро	0,01	<0,01	0,01	0,5	$n \cdot 10^{-2}$
Цинк (\sum Me)	0,1	<0,1	Следы-0,2	4-5	0,3-0,4
Цинк (спектр)	3	<3	3	4-5	3
Кобальт	0,5	<0,5	0,5	1	0,5
Марганец	1-3	10-15	15-20	50	30
Медь	0,1	0,1-0,2	0,2-0,3	1-2	0,5-1
Свинец	0,5	0,5	0,5	1	0,5
Мышьяк	0,5	<0,5	0,5	<5	1-2
Сульфат-ион	2000	2000	3000	40 000	12 000
<i>Элементы, связанные с фациями гидротермальных, развитых на месторождении</i>					
Калий	100	100-400	500	2000	600
Натрий	100	200-3000	2000	13 000	3000
Алюминий	10-20	<1000	2000	<10 000	3000
Титан	1-3	<100	100	300-400	200-300
Ванадий	0,5	H.o.-0,5	0,5	1-2	0,5-1
Галлий	0,5	<0,3	0,3	1	0,3-0,4

Таблица 32

Характеристика золотоносности льда на близповерхностных золотосеребряных месторождениях, мкг/л

Месторождение	Лед вблизи рудного тела	Иней на стенах штолни	Остаточный после зимы фирн на рудном поле
Карамкен	30; 40	0,007	-
Эвенское	0,4; 1,7; 4	-	0,007; 0,01
Дукат	0,024; 0,15; 0,8; 1,2; 4; 0,4	-	-

П р и м е ч а н и е. Фон на всех месторождениях составляет <0,005 мкг/л.

литофильных элементов выделяется группа рудных элементов-халькофилов (Zn, Co, Cu, Ag, As). Наиболее значительно-обособление пары Au - K, и это обособление проявляется тем теснее, чем ближе к руде расположена выборка проб.

Неорганические состояния рудных элементов рассчитывались,

Обобщенная характеристика гидрогеохимического поля гидротермальных вулканогенных месторождений
(Северо-Восток и Дальний Восток)

Компоненты	Концентрации, мкг/л					Протяженность ореолов, км	
	Фон	Рудные воды	Ореольные воды			Приводораздельный ландшафт	Придолинный ландшафт
			Максимальные	Минимальные	Модальные		
<i>Близповерхностные золотосеребряные месторождения *</i>							
Золото	<0,005	n	1	0,003	$n \cdot 10^{-2}$	0,4-0,7	0,1-0,4
Серебро	0,01	$n \cdot 10^{-1}$ - 5	1,2	0,01	0,07	1	0,1-0,5
Цинк	<0,1	10-30	4-5	0,1	0,3-0,5	1-3	1,0-1,5
Медь	0,1-0,2	1-5	2	0,2	$n \cdot 10^{-1}$	<1	0,4-0,5
Мышьяк	0,5	1-10	5	0,5	1-2	<1	0,1-0,5
Марганец	3-1	20-100	50-60	15-20	25-30	<1	0,5-0,7
Кобальт	<0,5	1-5	1	0,5	0,5	0,5-0,7	0,3-0,5
Сульфат-ион	2000-1000	20 000-100 000	40 000	4000	12 000-16 000	1-3,5	1-1,5
Титан	20-70	100-500	300-400	70-100	100-200	0,5-1	0,3-0,5
Алюминий	100-300	1000-10 000	<10 000	2000	3000	0,5-1	0,3-0,7
Галлий	<0,3	0,3-1	1	0,3	0,3	0,3-0,7	0,2-0,5
Бериллий	<0,1	0,1-1	0,5	0,1	0,1-0,2	0,5-0,7	0,3-0,5
Ванадий	<0,5	0,5-3	0,5-1	0,5	0,5	-	0,2-0,5
Калий	100-400	1500-2000	2000	-	-	-	-
<i>Алюнитовые залежи во вторичных кварцах **</i>							
Алюминий	1	-	1500	1000	1000	1	1
Сульфат-ион	<2000	<300 000	<30 000	2000-4000	10 000-12 000	<3	<1,5
Цинк	<0,5	-	30	Следы	1-3	<3	<1,5

* Характерные парагенетические группы: 1. Ti, Al, Ga, V, Zr, (Cr, Ni) (Y, Yb, Be); 2. Zn, Ag, Cu, SO_4^{2-} , H^+ (Co, As, Mn); 3. Au, K. Кроме того, на данных месторождениях встречаются: Ni, Fe, Pb, Y, Yb, Zr, Sn.

** Кроме того, встречаются элементы: Cu, As, Ti, V, Ga, Zr.

Таблица 34

Парагенетические группы элементов в гидрогоеохимических полях гидротермальных золотосеребряных месторождений вулканогенного класса, выявленные корреляционным анализом

Месторождение	Парагенетические группы элементов
Эвенское	1.Ti, Ga, V, Ni, Cr. 2.Zn, SO_4^{2-} , Co, H ⁺ . 3.Mn, Ag, Ba, Sr. 4.K, Au.
Агатовское	1.Ti, V, Ga, Y, Cr, Zr. 2.Cr, Ni, Cu, Mn. 3. SO_4^{2-} ; H ⁺ . 4.Au. 5.Ag
Карамкенское	1.Al, Ti, Si, Be, Ga, V. 2.Fe, Mn, Zn, SO_4^{2-} , As, Ag. 3.Au.

Таблица 35

Неорганические состояния рудных элементов в гидрогоеохимических полях месторождений вулканогенного класса

Зона гидрогоеохимического поля	Zn	Cu	Fe	Mn	Ag	Au
Ареал - рудные воды	Zn^{2+} ; ZnHCO_3^{\pm} ; ZnSO_4^0	Cu^{2+} ; CuHCO_3^{\pm} ; CuCO_3^0	Fe^{2+} ; FeHCO_3^{\pm} ; Fe(OH)_3^0	Mn^{2+} ; MnHCO_3^{\pm} ; MnCO_3^0	Ag^{2+} ; Ag - органические комплексы	AuOH^0 ; Au - органические комплексы
Ореол - ореольные воды	Zn^{2+} ; ZnHCO_3^{\pm}	CuCO_3^0 ; Cu^{2+}	Fe(OH)_3^0 ; Fe^{2+}	Mn^{2+} ; MnHCO_3^{\pm}	Ag^+	AuOH^0

Таблица 36

Результаты разрушения органических комплексов серебра

Способ анализа	Проба 1, мкг/л	Проба 2, мкг/л
Прямое определение Ag с дитизоном	0,5	5
Определение с предварительным разрушением персульфатом аммония	0,5	5
Определение с предварительным разрушением ультрафиолетом	3	30

исходя из описанных условий, и показаны в табл. 35. Они примерно соответствуют состояниям в ореольных водах плутоногенных месторождений сульфидного парагенезиса. Что касается органических лигандов, то они, как показали эксперименты, могут быть активными комплексообразователями (табл. 36).

Гидрогоеохимия телетермальных (экзогенно-гидротермальных, стратиформных) месторождений

Основными особенностями этого типа месторождений, влияющими на формирование его гидрогоеохимического поля, являются огромные площади (иногда до нескольких сотен квадратных километров), занимаемые оруденением, и преимущественно сульфидный состав рудных тел - пластов и линз массивных и прожилково-вкрашенных руд. Это приводит к тому, что гидрогоеохимические поля месторождений занимают огромные пространства, четко проявляясь даже в крупных поверхностных водотоках (вплоть до рек). В пределах рудоносных структур, выходящих на поверхность, фиксируются гидрогоеохимические аномалии основных рудных элементов, превышающие фон на несколько порядков. Перечень компонентов ограничен, как правило, элементами-халькофилами.

Процесс окисления сульфидов в гипергенной зоне накладывает основные специфические черты на подземные воды телетермальных (стратиформных) месторождений. Рудные воды кислые ($\text{pH} < 4$), исключительно сульфатные, преимущественно кальциевые или смешанного катионного состава, с большим количеством железа, цинка, меди, мышьяка, в меньшей степени - свинца и серебра. На границе рудных и ореольных вод при нейтрализации первых активно проявлены процессы аутигенного минералообразования, прежде всего гидроксидов железа, гипса, а также вторичных свинцовых минералов, карбонатов меди. Все это сопровождается сорбционными процессами, в особенности на выпадающих гидроксидах и тонком взвешенном материале водных потоков.

Гидрогоеохимией стратиформных месторождений занимались А.А. Бродский, И.И. Пищерова, Г.И. Климов, В.З. Зауташвили, А.С. Заболотнов. Наиболее широкие гидрогоеохимические исследования последнего времени проведены А.С. Заболотновым на медно-свинцово-цинковых месторождениях Южного склона Большого Кавказа.

Для района характерно развитие гидрокарбонатных и гидрокарбонатно-сульфатных кальциевых вод, оклонейтральных ($\text{pH} = 6,0-7,5$) с минерализацией до 0,3 г/л. В пределах месторождений общая минерализация может повышаться до 0,7 г/л, а воды становятся сульфатно-гидрокарбонатными и кислыми ($\text{pH} < 5$).

Для вод установлена вертикальная зональность физико-

Таблица 37

Концентрации рудных элементов (в мкг/л) в рудных водах месторождений
(по А.С. Заболотнову)

Месторождение	Zn	Pb	Co	Ni	Mn	Cu
Филичайское	360-540	40-50	3-10	1-10	<500	30-280
Жихихское	200-250	20-40	1-2	1-3	250-350	50-75

П р и м е ч а н и е. Мышьяк не определялся.

Таблица 38

Обобщенная гидрогеохимическая характеристика стратифицированных месторождений Южного склона Большого Кавказа (по материалам А.С. Заболотнова)

Элемент	Концентрации в природных водах, мкг/л			Протяженности водных потоков рассеяния, км
	Фон	Рудные воды	Ореольные воды	
Цинк	1-3	$(10^2 \div 10^3)n$	$(10 \div 10^2)n$	n
Медь	0,5-1	$(10 \div 10^2)n$	$(1 \div 10)n$	n
Свинец	0,5-1	$n \cdot 10$	$(1 \div 10)n$	n
Кобальт	Н.о.	$(10^{-1} \div 1)n$	Н.о.	-
Серебро	0,05	$(10^{-2} \div 10^{-1})n$	$n \cdot 10^{-2}$	1-2
Марганец	1-3	$n \cdot 10^2$	$(1 \div 10)n$	n
Никель	0,5-1	n	1-5	n
Сурьма	Н.о.	$(10^{-1} \div 1)n$	$n \cdot 10^{-1}$	<1
Барий	3-5	n	n	<1

химических условий (ОВП и pH), что имеет значение для водного рассеяния рудных элементов в вертикальном разрезе. А.С. Заболотновым выделено четыре зоны разной степени водообмена:

- 1) поверхностных вод и инфильтрации: $pH_{cp} = 6,3$; $OVП_{cp} = -371$ мВ;
- 2) активного водообмена: $pH_{cp} = 6,19$; $OVП_{cp} = 270$ мВ;
- 3) затрудненного водообмена: $pH_{cp} = 7,03$; $OVП_{cp} = 157$ мВ;
- 4) весьма затрудненного водообмена (определен по составу восходящих источников): $pH_{cp} = 7,7$; $OVП_{cp} = -221$ мВ.

Таким образом, сверху вниз ухудшаются условия для водной миграции халькофильных элементов.

Верхние и нижние горизонты различаются также видами микроорганизмов; для верхних характерно развитие бактерий, окисляющих серу (*Th. ferrooxidans*, *Th. thiooxidans*), тогда как для нижних выявлены тионовые и сульфатвосстановливающие, что говорит о значительной разнице ОВП для вод верхних и нижних горизонтов.

В рудных водах, прежде всего в пределах окисляющихся руд, обнаружены в аномальных количествах медь, свинец, цинк, кобальт, марганец, никель (табл. 37).

В ореольных водах месторождений этого типа, по данным А.С. Заболотнова, наиболее четко фиксируются четыре элемента: цинк, медь, свинец и марганец. Кроме того, в повышенных концентрациях встречаются барий, никель и серебро (табл. 38).

Дефицит гидрокарбонат-иона и аномальные количества сульфатного иона в ореольных водах использованы А.С. Заболотновым в качестве поискового признака как отношение $\text{SO}_4^{2-}/\text{HCO}_3^-$. Контур значений этого отношения ограничивает гидрогоеохимическое поле месторождений, внутри которого расположены аномальные концентрации других компонентов.

Гидрогоеохимические поля магматических месторождений^{*}

Из магматических месторождений наиболее обширна и изучена группа ликвационных месторождений, формирующаяся при разделении магматического расплава на сульфидную и силикатную составляющие. Изучены также раннемагматические, когда полезные компоненты являются продуктами ранней кристаллизации, и позднемагматические, когда рудные элементы переходят в твердую фазу после того, как основной массив уже раскристаллизовался.

Магмы обычно бывают ультраосновными, основными или щелочными. Наиболее значительны среди магматических месторождений медно-никелевые, хромитовые, титаномагнетитовые, алмазные и графитовые, а также руды платиноидов, tantaloniobатов и руды редкоземельных элементов. Рудные тела магматических месторождений локализуются вблизи внутренних контактов массивов, с которыми они связаны.

Магматические месторождения можно четко разделить на две группы: преимущественно сульфидные (ликвационные) и преимущественно оксидные (ранне- и позднемагматические). В первом случае формирование водных ореолов облегчено за счет окисления сульфидов, а во втором - затруднено в связи с преобладанием оксидов.

Ликвационные месторождения (на примере месторождения медно-никелевого типа)

Для этого типа месторождений характерны два источника формирования гидрогоеохимического поля: окисляющиеся массивные и вкрашенные сульфидные рудные тела и выветривающийся массив ультраосновных или основных пород. Для второго основным процессом рассеяния является гидролиз силикатных минералов, при этом его выветрелая зона часто оказывается обогащенной никелем, кобальтом и медью (в меньшей степени), благодаря повышенным концентрациям их в базитовых массивах.

Для гидрогоеохимического поля ликвационных медно-никелевых

месторождений характерны кислые и слабокислые воды с повышенными содержаниями магния и сульфат-иона, иногда хлориона, а из микроэлементов - титана, ванадия, хрома, марганца, алюминия, кобальта, никеля, меди, железа, цинка, свинца, серебра, сурьмы. Эти элементы образуют две группы, аномалии которых часто совпадают пространственно: оксигенные (Ti, V, Cr, Al, Mn) и халькофильные (Cu, Co, Ni, Fe, Pb; As, Zn), причем как в первой, так и во второй группе можно выделить элементы группы железа, являющиеся специфическими для месторождений данного типа. Первая группа элементов в водах связана с выветриванием основного или ультраосновного интрузивного тела, причем специфика интрузива подчеркнута интенсивным развитием аномальных концентраций элементов группы железа (Fe, Cr, Ni, Co) и тесными корреляционными связями внутри этой группы. Группа халькофильных элементов в водах связана с интенсивным окислением рудных минералов и здесь опять проявляются специфические элементы (Cu, Ni, Co).

Факторный и корреляционный анализы гидрогеохимических полей ликвационных медно-никелевых месторождений также подтверждают выделение двух основных парагенетических групп элементов: 1) связанных с рассеянием медно-никелевых руд и 2) с выветриванием интрузива. М.А. Садиков кроме этих групп выделяет группу Zn, Pb и Ag, связанную с рассеянной рудной вкрапленностью более поздней гидротермальной стадии.

Наиболее широкие гидрогеохимические работы в районах, перспективных на медно-никелевые магматические месторождения, проведены под руководством Е.Е. Кузьмина. Эти работы охватили весь Норильский рудный район. Выделен наиболее информативный комплекс элементов в водах, указывающий на перспективы оруденения (Cu, Ni, Co, Cr), а также группа элементов-спутников (Zn, Ti, V, Ag). Чрезвычайно высока эффективность проведенных работ, буровая проверка гидрогеохимических аномалий в 7 случаях подтвердила наличие руд, в том числе и промышленных.

Концентрации микроэлементов, характерных для гидрогеохимических полей месторождений ликвационного медно-никелевого типа, по данным Е.Е. Кузьмина и Е.В. Посохова, приведены в табл. 39. Благодаря двум источникам, формирующим гидрогеохимическое поле ликвационного медно-никелевого месторождения, в пределах поля создаются разнообразные условия миграции элементов, но существуют две основные градации этих условий: 1) слабокислые, сульфатные воды, с Eh, повышенным до 400 мВ, характерные для центральных частей рудного поля; 2) слабощелочные практически бессульфатные воды с Eh, пониженным до 200 мВ в периферической части месторождения и за его пределами. В первой зоне условия благоприятны для миграции халькофильных элементов преимущественно в виде сульфатных комплексов, которые, попадая в зону щелочных вод, формируют гидроксо- и карбонатные комплексы, а затем выпа-

Таблица 39

Пределы аномальных концентраций элементов в водах
(данные Е.Е. Кузьмина и
Е.В. Посохова), мкг/л

Месторождение	Воды	Ni	Cu	Co
Талнахское	Подмерзлотные	24-960	31-1600	0,6-9,6
Норильск II	"	24,4-251,4	36,6-42	Следы-25,1
Имангдинское	Надмерзлотные	37,2-246	18,6-82	Следы-2,2
	Подмерзлотные	65,6-129	65-100,4	Следы
	Надмерзлотные	27,3-38,3	54,6-57,5	Следы
	Поверхностные	77-528	49-176	1,5-26,4

Состояния рудных элементов в гидрогохимических

Cu	Ni	Co	Zn	Pb
Зона кислых и слабокислых вод центральных				
Cu^{2+} ; CuSO_4^0 ; CuHCO_3^\pm	Ni^{2+} ; NiSO_4^0	Co^{2+} ; CoSO_4^0	Zn^{2+} ; ZnSO_4^0	PbSO_4^0 ; Pb^{2+} ; $\text{Pb}(\text{SO}_4)^{\frac{1}{2}-}$
Зона слабощелочных вод периферийных				
$\text{Cu}(\text{CO}_3)^{\frac{1}{2}-}$; CuCO_3^0	Ni^{2+} ; NiHCO_3^\pm	Co^{2+} ; CoHCO_3^\pm	Zn^{2+} ; ZnHCO_3^\pm	Pb^{2+} ; PbHCO_3^\pm ; PbOH

дают в виде гидроксидов и карбонатов. В этих зонах, как показали термодинамические расчеты (табл. 40), состояния элементов в водах различны. Поскольку эти месторождения расположены в северных регионах, в той и другой (особенно) зонах воды имеют повышенные до 30 мг/л и более концентрации органических веществ. Это оставляет возможности для образования металлоорганических комплексов.

Позднемагматические месторождения (на примере редкометальных месторождений, связанных со щелочными породами)

Позднемагматические месторождения тесно связаны с щелочными массивами (нефелиновые сиениты), для которых С.Р. Крайновым отмечаются следующие основные особенности, важные для формирования химического состава вод этих массивов:

дефицит кремния и алюминия (по сравнению с аналогичными породами нормального петрографического ряда);

избыточное по отношению к кремнию и алюминию количество щелочных элементов - натрия и калия;

66

Таблица 40

полях ликвационных медно-никелевых месторождений

Mn	Fe(II)	Fe(III)	/	As
частей рудного поля (рудные воды)				
Mn^{2+} ; MnSO_4^0 ; $\text{Mn}(\text{SO}_4)^{\frac{1}{2}-}$	Fe^{2+} ; FeSO_4^0 ; $\text{Fe}(\text{SO}_4)^{\frac{1}{2}-}$	Fe(OH)_3^0		H_3AsO_4^0 ; H_2AsO_4^0 ; H_3AsO_3^0
частей рудного поля и за его пределами				
Mn^{2+} ; MnHCO_3^\pm	Fe^{2+} ; FeHCO_3^\pm ; FeCO_3^0	Fe(OH)_3^0		HAsO_4^2-

обогащенность их многими редкими элементами (Nb, Ta, Yb, Y, La, Zr, Ce и др.).

Гидрогохимия этих месторождений достаточно хорошо изучена на Кольском полуострове, где широко развиты щелочные породы. Наиболее ранние материалы по одному из самых известных щелочных массивов - Ловозерскому - принадлежат К.Е. Питьевой. Она подчеркивает, что химический состав вод тесно связан с минерально-петрографическим составом интрузива. Поскольку последний содержит много щелочных минералов, а также минералов, обогащенных редкими элементами, формируются воды гидрокарбонатного или хлоридно-гидрокарбонатного натриевого состава, с повышенным содержанием редких и расеянных элементов, а также фтора.

Наиболее глубокие и детальные исследования гидрогохимии щелочных массивов проведены С.Р. Крайновым [20], который отмечает избыточное количество щелочных элементов - натрия и калия в породах и водах и обогащенность вод многими редкими элементами: Nb, Ta, Ti, Zr, Be, Li, Rb, TR и др.

С.Р. Крайнов рассматривал гидрогохимию ряда агпайтовые нефелиновые сиениты - миаскитовые нефелиновые сиениты. В

Таблица 41

Концентрации элементов (в кг/л) в ореольных водах позднемагматических массивами месторождений ниобия и редкоземельных элементов, связанных со щелочными (по С.Р. Крайнову)

Массивы, с которыми связано оруденение	pH	Nb	La	Ce	Y
Миаскитовые нефелиновые сиениты	7,5-9,3	1,4-22,3	1-3	1-10	<10
Агпайтовые нефелиновые сиениты	9,4-12	3,5-5,6	20-280	300-400	10-16

этом ряду слева направо наблюдается уменьшение роли натрия, фтора, карбонатов и органических веществ и увеличение кальция, что полностью отражается в химическом составе подземных вод. Так, в агпайтовых нефелиновых сиенитах формируются гидрокарбонатно-карбонатные-натриевые воды с повышенными (до уникальных) концентрациями фтора, обогащенные органическим веществом и с очень высокими pH (до 12), в то же время воды миаскитовых нефелиновых сиенитов имеют pH 7,5-8, характеризуются меньшим содержанием фтора, органических веществ и гидрокарбонатным натриево-кальциевым составом.

Среди вод щелочных пород наиболее аномальный состав имеют воды глубоких горизонтов агпайтовых нефелиновых сиенитов в связи с их резко повышенной щелочностью.

Аномальные содержания микроэлементов и высокая щелочность наблюдаются также и в грунтовых водах агпайтовых нефелиновых сиенитов. В водах нефелиновых сиенитов миаскитового типа концентрации микроэлементов существенно уменьшаются (табл. 41).

Решающее значение для форм миграции микроэлементов в водах щелочных пород имеет наличие значительного количества органического вещества, фторонасность и резкая щелочность. Так, эксперименты С.Р. Крайнова по экстракции органических веществ из природных вод показали, что более 50% ниобия в водах связано в органические комплексы. Имеются признаки, что органические комплексы характерны также для титана, алюминия и других элементов-комплексообразователей. Значительная фторонасность вод приводит к широкому распространению фтор-комплексов, особенно ниobia, титана, алюминия и в меньшей степени TR, для которых характерны карбонатные комплексы типа $TR(CO_3)_n^{m-}$. В карбонатные комплексы могут быть связаны также ниобий, а возможно титан и алюминий. Фтор в резко щелочных водах в основном мигрирует в виде простого аниона F^- , либо является лигандом фтор-комплексов. Халькофильные элементы чаще связаны в карбонатные комплексы.

Yb	Li	Al	Ti	Zn	Cu	F
1-3	-	$n \cdot 10^2$	70-150	1-3	1-3	80-680
1-2	<18	$n \cdot 10^3$	200-300	-	<900	-

Гидрогеохимические поля колчеданных месторождений

Месторождения данного типа образуются на ранней стадии геосинклинального развития и связаны в основном с накоплением отложений спилито-кератофировой формации. Руды их представлены преимущественно сульфидами железа, а кроме того, меди, цинка, свинца, мышьяка, сурьмы. Из нерудных минералов присутствуют кварц, барит, гипс, карбонаты, хлорит, серицит.

Главными геолого-геохимическими особенностями, влияющими на формирование гидрогеохимических полей колчеданных месторождений, являются: 1) мощная гидротермальная проработка эфузивно-осадочных толщ, с которыми связано оруденение; 2) наличие часто массивных сульфидных руд, включающих в качестве главных компонентов дисульфиды железа и меди; 3) широкая зараженность рудными компонентами значительной площади; 4) наличие слабоактивных пород, создающих незначительную карбонатность обстановки.

Наиболее детальные гидрогеохимические исследования колчеданных месторождений проведены на Урале А.А. Бродским, Г.Н. Засухиным, В.Н. Ковалевым, Г.А. Вострокнутовым, на Кавказе - А.М. Эленбогеном, Б.З. Зауташвили, Н.И. Долухановой, П.М. Капланяном и др. Поскольку самым характерным из гипергенных процессов для этих месторождений является окисление сульфидов и, в частности, дисульфидов, то воды колчеданных месторождений обладают весьма низким pH: pH вод в местах наибольшего окисления приближается к 1, а pH = 3 обычен для рудных и даже ореольных вод.

Общий химический состав вод отличается резкой сульфатностью (до $n \cdot 10^3$ мг/л). Тип вод на фоне обычных гидрокарбонатно-кальциевых (для горнокладчатых областей) либо гидрокарбонатно-сульфатных кальциево-натриевых (для аридных областей) становится сульфатным со смешанным катионным составом. Сульфатный ион образует аномальные концентрации даже в аридных выложененных районах, где сульфатный фон весьма высок. Низкий pH резко сдвигает карбонатное равновесие в сторону образования свободной углекислоты, при этом четко проявляется дефицит гидрокарбонатного иона по сравнению с обычными водами района.

Таблица 42

Сводная характеристика гидрогохимических полей колчеданных месторождений
(по литературным данным)

Элемент	Концентрации элементов			Контрастность аномалий (поярдки)	Протяженность ореола в горноскладчатой области, км
	Фоновые воды	Ореольные воды	Рудные воды		
Цинк	n	$(10^1 \div 10^3)n$	$(10^2 \div 10^5)n$	1-5	1-10
Медь	n	$(10^1 \div 10^2)n$	$(10^2 \div 10^5)n$	0,5-5	n
Сульфат-ион	$(1 \div 10)n$	$(10^1 \div 10^2)n$	$(10^2 \div 10^3)n$	0,5-2	n
Свинец	$(10^{-1} \div 1)n$	$(1 \div 10)n$	$(10^1 \div 10^2)n$	0,2-3	1-3
pH	>6,5	3-6	1-3	-	1-3
Мышьяк	$(10^{-1} \div 1)n$	$(1 \div 10^2)n$	$(10^1 \div 10^2)n$	0,2-2	1-3
Серебро	$(10^{-2} \div 1)n$	$(10^{-1} \div 1)n$	$(10^{-4} \div 10^{-3})n$	0,2-5	0,3-1,5
Железо	0,1n	$(1 \div 10)n$	$(10^1 \div 10^3)n$	0,2-3	-

П р и м е ч а н и я . 1. Элементы в повышенных концентрациях: Mn, Ni, Co, Cl. 2. Наиболее вероятные парагенетические группы: 1) Fe, Zn, Cu, As, SO_4^{2-} , H^+ ; 2) Ti, Al, V, Ga; 3) Mn, Co, Ni, Cr. 3. Концентрации цинка, меди, свинца, мышьяка и серебра даны в мкг/л; сульфат-иона, железа - в мг/л.

В водах колчеданных месторождений накапливается огромное количество железа, меди и цинка, значительное количество мышьяка, сурьмы и свинца, а также повышенные против фона концентрации Ni, Ag, Mn, Co, Cd (табл. 42). Возрастает окислительно-восстановительный потенциал (0,5-0,7 В). Таким образом, гидрогохимическое поле колчеданных месторождений выглядит весьма контрастно за счет высоких концентраций широкого комплекса халькофильных элементов, высокой сульфатности вод, низких значений pH, а также дефицита HCO_3^- и избытка свободной углекислоты в водах.

Мощные процессы окисления в пределах месторождения определяют и формы миграции халькофильных элементов-катионов, способствуя формированию значительной доли сульфатных комплексов металлов вида MeSO_4^0 или $\text{Me}(\text{SO}_4)^{\frac{1}{2}-}$ прежде всего в области ареала (рудных вод) (табл. 43).

Основная часть мышьяка и сурьмы мигрирует в форме кислотных остатков, доля окисления которых определяется pH природных растворов. Поскольку процесс окисления для этого типа месторождений является доминирующим, то взаимоотношения между элементами определяются достаточно тесными положительными корреляционными связями между халькофильными элементами и отрицательными - между этими элементами и pH.

Таблица 43

Состояния элементов в гидрогохимических полях колчеданных месторождений

Zn	Cu	Pb	Fe(II)	Fe(III)	Co	Ni	As	Mn	Al
<i>Зона ореольных (рудных) кислых вод</i>									
$Zn(SO_4)^{2-}$; Zn^{2+} ; $ZnSO_4^0$	Cu^{2+} ; $CuSO_4^0$; $Cu(SO_4)^{2-}$	$Pb(SO_4)^{2-}$; Pb^{2+} ; $PbSO_4^0$	Fe^{2+} ; $FeSO_4^0$; $Fe(SO_4)^{2-}$	$Fe(SO_4)_2^-$; $FeSO_4^{\frac{1}{2}}$	Co^{2+} ; $CoSO_4^0$; $Co(SO_4)^{2-}$	Ni^{2+} ; $NiSO_4^0$	$H_3AsO_4^0$; $H_2AsO_4^-$	Mn^{2+} ; $MnSO_4$; $Mn(SO_4)^{2-}$	$AlSO_4^{\frac{1}{2}}$; Al^{3+} ; $Al(SO_4)_2^-$
<i>Зона ореольных слабокислых вод периферийных частей рудного поля</i>									
$Zn(SO_4)^{2-}$; Zn^{2+} ; $ZnSO_4^0$	Cu^{2+} ; $CuSO_4^0$; $CuHCO_3^{\frac{1}{2}}$	$PbSO_4^0$; Pb^{2+} ; $Pb(SO_4)^{2-}$	Fe^{2+} ; $FeSO_4^0$	$Fe(OH)^{\frac{1}{2}}$	Co^{2+} ; $CoSO_4^0$	Ni^{2+} ; $NiSO_4^0$	$HAsO_4^{2-}$; $H_2AsO_4^-$	Mn^{2+} ; $MnSO_4^0$	$Al(OH)^{\frac{1}{2}}$; $Al(OH)^{\frac{1}{2}}$; $AlHCO_3^{\frac{1}{2}}$
<i>Зона ореольных вод за пределами рудного поля</i>									
Zn^{2+} ; $ZnHCO_3^{\frac{1}{2}}$	$CuHCO_3^{\frac{1}{2}}$; $CuCO_3^{\frac{1}{2}}$; Cu^{2+}	Pb^{2+}	Fe^{2+} ; $FeHCO_3^{\frac{1}{2}}$	$Fe(OH)^{\frac{1}{2}}$	Co^{2+}	Ni^{2+}	AsO_4^{3-} ; $HAsO_4^{2-}$	Mn^{2+} ; $MnHCO_3^{\frac{1}{2}}$	$Al(OH)^{\frac{1}{2}}$; $AlHCO_3^{\frac{1}{2}}$

Гидрогеохимические поля скарновых месторождений

Скарны образуются метасоматическим путем в зонах контакта интрузивов с карбонатными или силикатными (в меньшей степени) породами. Со скарнами в рассматриваемых районах чаще всего связаны месторождения железа, полиметаллов, вольфрама, олова, бора и реже других руд.

По особенностям локализации оруденения относительно интрузивного контакта выделяются месторождения эндо- и экзоскарновые. Эндоскарновые месторождения ("ближние скарны") расположены в пределах периферической части интрузива, а экзоскарновые (" дальние скарны" - значительная часть скарновых месторождений) - с внешней стороны контактной зоны в породах, вмещающих интрузив.

Гидрогеохимические исследования показали, что пространственно между низкотемпературными рудами "дальних" скарнов и контактом с зоной (или даже на ней самой) формируются гидрогеохимические аномалии Ti, Al, Ga, Zr, Cr и других элементов-комплексообразователей и амфотеров, привнос которых в эту зону осуществляется, по-видимому, высокотемпературными гидротермальными растворами.

В гидрогеохимическом поле большинства типов скарновых месторождений, как правило, в отчетливо аномальных количествах присутствуют мышьяк, никель, кобальт, свинец, медь и другие, но всегда - цинк (табл. 44).

В случае обильных сульфидов в пределах рудных тел воды, несмотря на наличие карбонатов, становятся кислыми. Это увеличивает их агрессивность по отношению к карбонатам, приводит к выщелачиванию последних, освобождению дополнительных элементов.

Характеристика некоторых гидрогеохимических

Месторождение и его тип	Тип ландшафта	pH	Аномальные			
			Zn	Cu	Pb	Ni
Армань (полиметаллы) - экзоскарны	Таежно-мерзлотный	4-5	30-300	10-30	20-160	1-3
Армань (участок вблизи интрузивного контакта - предположительно "ближние скарны")	То же	7-7,4	10-100	5-10	2-4	0,1 · n
Восток-2 (шеелитовый)	Горно-таежный	5,5-6,1	10-20	1-3	1-3	H.o.
Ингичке (шеелитовый)	Полупустынный	-	50-250	-	-	-
Кимовское (оловянное)	То же	7-7,4	3-10	1-3	3-5	H.o.

тельной поверхности неокисленных сульфидов и, вследствие этого, усилинию окисления. Если процесс окисления достаточно силен, то на сульфатной стадии развития зоны окисления становятся кислыми и поверхностные воды. Низкий pH активизирует водную миграцию элементов-катионов - Zn, Cu, Pb, Fe, Co и способствует накоплению их в рудных водах.

При малом количестве сульфидов карбонатная среда препятствует формированию водных ореолов тяжелых металлов, мигрирующих в катионной форме, вследствие выпадения слабо растворимых карбонатов металлов и гидролиза катионогенных элементов. Анионогенные же элементы (As, Mo, W) мигрируют в форме кислотных остатков.

С приближением к интрузивному контакту в гидрогеохимическом поле проявляются аномальные концентрации элементов, характерные для "ближних" скарнов: F, B, Sn, W, а также комплекс элементов-гидролизатов (Al, Ti, Zr, Ga, Be и др.).

Так, в гидрогеохимическом поле полиметаллического месторождения Армань в области рудного горизонта (" дальние скарны") выделяются значительные по контрастности аномалии (особенно на участках богатых скарнов) тяжелых металлов (Zn, Pb, Cu, Ag) и сульфат-иона, а с приближением к интрузивному контакту резко возрастает комплексность гидрогеохимического поля за счет таких элементов, как As, Mg, F, B, а также элементов-гидролизатов - Ti, V, Ga, Cr, Zr. Не исключено, что в этой части поля, не связанной с известным горизонтом известняков, находится промышленное редкометальное оруденение ("ближние" скарны).

Таблица 44

полей скарновых месторождений

концентрации элементов, мкг/л											Другие элементы в аномальных концентрациях
Co	Sn	As	Mn	Ti	Mo	Be	W	B	F		
1-8	H.o.	4-6	20-100	H.o.	H.o.	H.o.	H.o.	-	200-400	-	
Следы	1-4	1	20-40	40-100	0,2	0,1-0,4	H.o.	-	600-1200	V, Ga, Ba	
H.o.	H.o.	10-15	-	30-50	0,5-1	Следы-0,1	5-20	-	-	Ag, Ga	
-	-	1-10	-	-	1-15	-	0,5-10 <90	-	-	V	
H.o.	1-3	1-2	5-7	70-100	H.o.	0,1-0,3	H.o.	-	300-400	V, Zr, Ba	

Таблица 45

Неорганические состояния рудных элементов в гидрогеохимических полях скарновых месторождений

Zn	Pb	Cu	Fe	Mn	Co
<i>Зона ареальных (рудных) вод центральных частей гидрогеохимического поля</i>					
$ZnSO_4^{\frac{1}{2}}$ Zn^{2+}	$PbSO_4^{\frac{1}{2}}$ Pb^{2+}	Cu^{2+} $CuSO_4^{\frac{1}{2}}$ $CuHCO_3^{\frac{1}{2}}$	Fe^{2+} $Fe(OH)_3^{\frac{1}{2}}$ $FeSO_4^{\frac{1}{2}}$	Mn^{2+} $MnSO_4^{\frac{1}{2}}$	Co^{2+} $CoSO_4^{\frac{1}{2}}$
<i>Зона ореольных вод периферийных частей гидрогеохимического поля</i>					
$ZnSO_4^{\frac{1}{2}}$ Zn^{2+}	Pb^{2+} $PbOH^+$	$CuCO_3^{\frac{1}{2}}$ Cu^{2+}	Fe^{2+} $Fe(OH)_3^{\frac{1}{2}}$ $FeHCO_3^{\frac{1}{2}}$	Mn^{2+} $MnHCO_3^{\frac{1}{2}}$	Co^{2+}

В результате мобилизации значительного количества элементов при формировании скарнов резко увеличиваются корреляционные связи между многими элементами в гидрогеохимическом поле. Четко выявляются парагенетические группы: Ti, V, Ga, Sn, Cu, Mn, Be; Mn, Ni, Co, SO_4^{2-} ; Zn, Pb; при этом $K_{\text{корр}}$ между промышленными элементами (Zn-Pb) достигает 0,9.

Для скарновых месторождений, особенно на периферии, типична повышенная карбонатность обстановки, которая в основном обуславливает специфику форм водной миграции элементов и осаждение их из растворов в виде карбонатов металлов.

Возможные растворимые комплексы рудных элементов для вод скарновых месторождений приведены в табл. 45.

Гидрогеохимические поля пегматитовых месторождений

Большинство пегматитовых месторождений связано с формациями нормальных и кислых гранитоидов. Известны также пегматиты щелочных магматических и реже ультраосновных пород. Основные полезные компоненты пегматитов - редкие элементы (бериллий, редкие щелочи, ниобий, tantal, редкие земли), а также минералы кассiterит,вольфрамит, флюорит, уранинит, монацит, слюда, драгоценные камни, керамическое сырье. Видимая сульфидизация часто отсутствует.

Рудные тела пегматитов занимают значительные площади, включая жильные образования, достигающие протяженности нескольких километров и мощности несколько десятков метров.

Пегматитовые месторождения лития, цезия, бериллия, ниobia, tantalа, редкоземельных элементов имеют много общего в формировании химического состава и водных ореолов. По данным С.Р. Крайнова, С.Д. Капранова и других, общий химический состав вод этих месторождений определяется главным образом горизонтальной гидрогеохимической зональностью грунтовых вод

и конкретными условиями геохимического ландшафта. Реакция подземных вод близка к нейтральной. Специфической особенностью химического состава этих вод является повышенное содержание калия и натрия. Содержания натрия особенно возрастают в водах альбитизированных пегматитов и гранитов. Для многих пегматитовых месторождений характерна флюоритизация, а для некоторых наблюдается сульфидная вкрапленность. В этом случае их подземные воды содержат аномально повышенные концентрации фтора, сульфат-иона и цинка.

Большое значение в качестве гидрогохимических показателей пегматитовых месторождений имеют сами редкие элементы. В гидрогохимических полях пегматитовых месторождений в зависимости от минерального состава отмечаются повышенные концентрации лития, рубидия, цезия, TR, бериллия, ниобия, реже олова, вольфрама, молибдена (табл. 46).

Протяженность водных ореолов и потоков достигает нескольких километров, а их контрастность ($1 \div 10$) *n*. Важным фактором формирования и распространения водных ореолов распределения пегматитовых месторождений являются особенности распространения первичных и вторичных ореолов этих месторождений. Исследования С.Р. Крайнова и С.Д. Капранова показали, что в районах распространения метасоматически измененных редкометальных пегматитов обычно выделяются водные ореолы первого порядка - гидрогохимические поля, являющиеся отражением всей рудоносной структуры. В пределах этих гидрогохимических полей содержания редких элементов в водах даже вне рудных тел повышены по сравнению с водаминерудоносных районов. Повышенные концентрации редких элементов наблюдаются в углекислых водах в пределах рудоносной структуры по сравнению с углекислыми водами вне этой структуры (табл. 47). В пределах гидрогохимических полей выделяются ореолы второго порядка, являющиеся следствием собственно рудных тел месторождений.

Кроме перечисленных элементов в гидрогохимических полях

Таблица 46

Протяженность и контрастность водных ореолов пегматитовых и грейзеновых месторождений (данные С.Д. Капранова)

Элемент	Зона выщелачивания		Зона континентального засоления	
	Протяженность, км	Контрастность	Протяженность, км	Контрастность
Литий	<i>n</i>	($1 \div 10$) <i>n</i>	<1	<5
Рубидий	<i>n</i>	($1 \div 10$) <i>n</i>	<1	<10
Цезий	($10^{-1} \div 1$) <i>n</i>	($1 \div 10$) <i>n</i>	<0,5	<2
Фтор	<i>n</i>	($1 \div 10$) <i>n</i>	<i>n</i>	<i>n</i>
Бериллий	($10^{-1} \div 1$) <i>n</i>	<i>n</i> · 10	<i>n</i> · 10 ⁻¹	<i>n</i>
Ниобий	<i>n</i>	<i>n</i>	<i>n</i> · 10 ⁻¹	<i>n</i>

Таблица 47

Характеристика гидрогохимических полей некоторых редкометальных
Н.Г. Петровой,

Объект исследования	Тип ландшафта	рН	Аномальные			
			Zn	Cu	As	Ni
Литиево-сподуменовые руды с поллюцитом	Таежно-мерзлотный	-	20-120 15	<25	50-100 0,5	3-8
Редкометальные рудные тела с tantalом и бериллом	Лесостепной	6,8-7,6	10-15 10	2-4 2	4-200 3	3-34
Редкометальные пегматиты с редкими щелочами	Горно-таежный	6,9-7	5-10	1	H.o.	1-3
Редкометальные сподуменовые руды с бериллом	Лесостепной	6,8-7	-	1-2	-	1-100
Углекислые воды на месторождении	Горно-таежный	5,6	-	-	4200-6300	
Углекислые воды вне месторождения	"	5,6	-	-	83-220	

П р и м е ч а н и е. В числителе - предел значений от модальных до

пегматитовых месторождений встречается довольно много литофильных элементов - Zr, Ga, Y, Yb, Sn и другие и реже халькофильные элементы - Co, Ni, Pb и др. Этот весьма широкий круг элементов в гидрогохимических полях пегматитовых месторождений проявлен, однако, как правило, неконтрастно.

Специального корреляционного анализа описываемых гидрогохимических полей не проводилось, однако основная парагенетическая группа гидрогохимического поля пегматитового месторождения - группа редких литофильных элементов, в которую войдут Al, Ti, Zr, V. Повышенные концентрации фтора способствуют активному формированию фторокомплексов Be, Sn, TR, Al в гидрогохимическом поле.

пегматитовых месторождений (по данным С.Р. Крайнова, С.Д. Капранова, Б.А. Колотова)

концентрации элементов, мкг/л								Другие элементы в аномальных концентрациях
Pb	Cs	F	K	Be	P	Ti	W	
2-6 1,5	0,3-10 0,3	<400 200	800-1600 600	0,1-0,3 0,1	3-12 3	-	-	V, Y, Yb, Zr, Sb, Ga, Sr
0,3-4 0,2	0,3-4 0,3	500 200	-	0,1-0,8 0,1	-	-	0,5-24 0,5	Sn, Mn, V, Ga, Zr, Ni, Yb
1	H.o.	<600	-	0,1-1	<100	100	-	Co, Ni, V, Ga, Zr, Pb, Y, Yb, Ba
3-10	-	<800	<3000	0,1-3	-	5-100	-	Ga, Y, Zr, Se, Y, Yb, Ba
75-175	26-65	200-300	1,3	1,3-5	-	-	0,4-3	Zr
<30	H.o.	200	-	<0,23	-	-	H.o.	-

максимальных, в знаменателе - минимальные значения.

Гидрогохимические поля альбитит-грейзеновых месторождений

Этот класс месторождений рассмотрим на примере грейзеновой группы. Грейзеновые месторождения - результат воздействия калиевого метасоматоза, проявившегося в апикальной части гранитного массива на границе альбитизированных гранитов (продукта, ранее прошедшего натриевый метасоматоз). При этом подобно скарновым выделяются эндо- и экзогрейзеновые тела, имеющие обычно форму штокверков, штоков или жил. Основные жильные минералы - кварц, мусковит, топаз, флюорит, биотит, альбит и др.; рудные минералы - вольфрамит, молибденит, кассiterит, берилл, лепидолит, гематит, магнетит и другие алюмоシリкатные и железосодержащие минералы, а также сульфиды - сфалерит, висмутин, галенит, станин, пирит и др. С грейзенами связаны в основном месторождения олова, вольфрама, бериллия, лития, молибдена. Часто грейзенизация присутствует в пределах пегматитовых полей.

Основные черты грейзеновых месторождений, влияющие на формирование их гидрогеохимических полей, на данном уровне исследований почти идентичны таковым для месторождений плутоногенного подкласса кварцевого парагенезиса, но выражены, по данным гидрогеохимического опробования, несколько ярче. Эти черты можно представить следующим образом.

1. Тесная связь оруденения с апикальными частями гранитоидов, интенсивно переработанных гидротермальными растворами. Поскольку гидротермальной обработке подверглись также и вмещающие породы, в гидрогеохимическом поле отмечается комплекс литофильных элементов Al, Ti, V, Ga, Zr, Y, Yb и др. (табл. 48).

2. Многокомпонентность редкометального оруденения, когда при ярко выраженным накоплении нескольких элементов в рудах целый комплекс других присутствует в качестве примесей (W, Mo, Nb, Li, Rb, Cs, Bi и др.). Иное месторождение этого же типа изменяет акценты накопления. Это способствует поликомпонентному развитию гидрогеохимического поля, одновременно подчеркивая специфические черты, отличающие его от гидрогеохимических полей других типов.

3. Обычная, часто значительная примесь сульфидных минералов (один из которых - молибденит входит в число промыш-

Таблица 48

Характеристика гидрогеохимического поля грейзенового (бериллий-молибден-вольфрамитового) месторождения (Дальний Восток)

Компонент	Концентрации, мкг/л					Протяженность ореолов, км	
	Фон	Рудные воды	Ореольные воды				
			Максимальные	Минимальные	Модальные	Приводораздельный ландшафт	Приодлинный ландшафт
Бериллий	0,00005	0,001-0,01	0,001	0,0005	0,0005	<1,2	<1
Молибден	0,5	20-100	-	0,5-0,8	1-2	<1,5	<1
Цинк	Следы	7-100	5	0,5-1	1	-	-
	Следы	200-300	40	Следы-0,5	3-5	<3	<1,5
Медь	2	10	-	-	-	<1,5	<1
	0,001	10	5	1	1	-	-
Мышьяк	0,5	5-10	-	0,5-1	2	<2,5	<1
	0,003	1	10	3	3	-	-

Приложения. 1. В числителе - данные химического анализа, в знаменателе - спектрального. 2. Гидрохимические группы: 1) Al, Ni, Ga, Be, Y, Yb; 2) Mo, Sn. 3. Кроме того, в водах отмечены Sn, Ag, F, Bi, Nb, Y, Yb, SO_4^{2-} , La, Li, Ga, Ti, Al

ленно извлекаемых компонентов), что резко увеличивает не только список элементов в гидрогеохимическом поле, но и контрастность проявления поля, особенно при наличии вкрапленности сфалерита, арсенопирита, блеклых руд.

4. Преобладание неактивных пород и руд, способствующих созданию оклонейтральной обстановки в подземных водах (рН обычно 6,5-7,1).

Для общего состава вод характерно повышенное количество натрия и хлора, всегда повышенены концентрации фтора. В отличие от пегматитов в гидрогеохимических полях грейзеновых месторождений ярче проявлены халькофильные элементы. Широкий комплекс разнообразных по свойствам элементов позволяет ожидать в гидрогеохимическом поле несколько парагенетических групп, хотя расчет корреляционной матрицы грейзенового бериллий-молибден-вольфрамового месторождения позволил выделить только две парагенетические группы: 1) лиофильных элементов-гидролизатов и 2) рудных элементов - Mo и Sn (W не определялся). Несмотря на то, что Be являлся основным элементом руд, он присоединился к группе элементов-гидролизатов, видимо, в связи с широким распространением в теле гранитного массива, а кроме того, Be - ярко выраженный гидролизат.

Состояния элементов в водах для этого типа месторождений соответствуют таковым для плутоногенных месторождений кварцевого парагенезиса (см. табл. 24).

Наличие неактивных пород оставляет достаточно возможностей для формирования контрастного и протяженного гидрогеохимического поля грейзеновых месторождений (см. табл. 48).

Гидрогеохимические поля карбонатитовых месторождений

Карбонатитовые месторождения представляют собой отчетливо обособленную группу как по физико-химическим, так и по геологическим условиям образования. Формирование карбонатитовых месторождений генетически связано с эволюцией сложных интрузивных комплексов, начинающейся внедрением гипербазитов центрального типа и заканчивающейся инъекцией нефелиновых и щелочных сиенитов.

Основными минералами карбонатитов являются карбонаты (более 80%): кальцит, доломит, анкерит, сидерит, арагонит, родохрозит, стронцианит, реже нефелин, альбит, ортоклаз, паризит, кварц, барит, целестин, апатит, монацит, флюорит, ильменит, колумбит, магнетит, циркон и др. Основные полезные ископаемые карбонатитов - фосфор, ниобий, редкие земли, стронций, радиоактивные элементы. В карбонатитах встречаются также сульфиды.

В карбонатитах формируются воды гидрокарбонатно-кальциевого состава с рН 7,5-8. Количество фтора достигает единиц

миллиграммов на литр. Отмечается повышенное содержание органических веществ в водах. Содержание компонентов в гидро-геохимическом поле карбонатитового месторождения Вуори-Ярве (по С.Р. Крайнову, Н.Г. Петровой и др.) приведено ниже.

Компонент	Nb	Ti	Ge	La	F	pH
Содержание, мкг/л	<16	<117	1-31	1-3	<800	7,4
Средняя формула воды	M _{1,8}		HCO ₃ ²⁻ SO ₄ ²⁻ Cl ⁻	Ca ²⁺ Na ⁺ Mg ²⁺		

Наблюдаются слабоконтрастные содержания широкого комплекса редких элементов - TR, урана, тория, а также стронция, бария, а при наличии сульфидной вкрапленности - аномальные концентрации халькоильных элементов, прежде всего меди и цинка. Редкие элементы и медь чаще всего мигрируют в форме карбонатных комплексов, а цинк - в форме простых ионов.

Интересно отметить, что в углекислых минеральных водах района уран-ториевого месторождения, связанного с карбонатами (юго-западные отроги хр. Гиндукуш), наблюдается весь комплекс элементов гидро-геохимического поля карбонатитов (U, TR, Ba, Be, Zr, Fe). Кроме того, воды источников содержали промышленные концентрации B, Li, Rb, Cs.

Элемент . . .	Al	Fe	Ti	Ba	Sr	Cu	Th	As	Be	Yb	Y
Концентрация,											
мкг/л . . .	n · 10 ³	3 000	100	100	300	500	1-3	30	5	1	<5

Таким образом, прослежены особенности гидро-геохимии эндогенных рудных месторождений и безрудных по составу вмещающих пород в пресных водах, в которых наиболее ярко выражены отличия и общие черты месторождений.

1. Намечается важнейшая, широко проявленная закономерность: характеристики гидро-геохимического поля тесно связаны с генетическими особенностями месторождения и в общем виде отображают взаимоотношения рудных тел с магматическими мас-

Основные состояния элементов в водах

Геологический объект	Zn	Cu	Pb
Песчано-сланцевая толща Щелочной массив	Zn ²⁺ Zn(CO ₃) ₂ ²⁻ ; ZnCO ₃ ; Zn ²⁺ ; HZnO ₂ Zn ²⁺	Cu ²⁺ ; CuOH ⁻ Cu(CO ₃) ₂ ²⁻ ; CuCO ₃ ; HCuO ₂ Cu ²⁺	Pb ²⁺ Pb(OH) ₂ ⁰ ; Pb(OH) ₂ ⁺ Pb(CO ₃) ₂ Pb ²⁺
Редкометальные месторождения (грейзыны)			
Сульфидные месторождения	Zn(SO ₄) ₂ ²⁻ ; Zn ²⁺ ; ZnSO ₄ ⁰	Cu ²⁺ ; CuSO ₄ ⁰ ; Cu(SO ₄) ₂ ²⁻	PbSO ₄ ; Pb ²⁺ ; Pb(SO ₄) ₂ ²⁻

сами. Тесная связь оруденения с магмой приводит к резкому увеличению комплекса компонентов состава гидрогохимического поля, широкому проявлению лиофильных и, часто, сидерофильных элементов. Это месторождения грейзеновые, пегматитовые, гидротермальные плутоногенные кварцевого парагенезиса, гидротермальные вулканогенного класса, рудные тела "ближних" скарнов, магматические, карбонатитовые. Однако контрастности аномальных проявлений в водах невелики (исключая ликвационные магматические месторождения). При этом специфические элементы гидрогохимического поля проявляются в соответствии с характером магм: для кислых - Sn, W, Be, Bi, Li, Rb, Cs и др.; для щелочных - Nb, TR; ультраосновных и основных - Co, Ni, Cr, Mg.

Гидрогохимические поля, локализованные в зонах структурных швов, инъецированных магматическими телами, обладают самой широкой комплексностью; по мере удаления от зоны шва число компонентов, формирующих гидрогохимическое поле, сокращается прежде всего за счет лиофильных элементов.

Независимо от генетических особенностей эндогенных месторождений их объединяют три геохимических показателя, влияющих на формирование гидрогохимического поля в зоне гипергенеза: лиофильность руд, что обусловливает развитие высококомплексных гидрогохимических полей с преобладанием лиофильных элементов; халькофильность (сульфидность) руд, под влиянием которой гидрогохимические поля формируются в основном халькофильными элементами, а кроме того, лиофильными и сидерофильными в случае ликвационных месторождений; карбонатность руд, создающая высокую карбонатность обстановки и приводящая к ограниченному развитию гидрогохимического поля в результате малокомпонентности самих руд, а также проявления карбонатного и гидроксидного барьера.

2. Установлено, что в гидрогохимическом поле происходит разделение элементов на группы, которые мы назвали парагенетическими группами элементов (компонентов) гидрогохимических полей. Именно эти группы должны рассматриваться при

геологических объектах различных типов

Таблица 49

Al	Be	As	Fe
Al(OH)_3^0 AlPO_4^0	Be^{2+} BeCO_3^0	HAsO_4^{2-} ; $\text{H}_2\text{AsO}_3^{3-}$ AsO_4^{3-} ; HAsO_4^{2-} HAsO_4^0	Fe^{2+} ; Fe(OH)_3^0 $\text{Fe(CO}_3)_2^2$; Fe^{2+} FePO_4^0
Al(OH)_3^0 ; AlF^{2+} Al^{3+} ; $\text{Al(SO}_4)_2^0$ AlSO_4^0	BeF^+ ; Be^{2+} BeF_3^0 Be^{2+}	H_3AsO_4^0 ; H_2AsO_4^- H_3AsO_3^0 H_3AsO_4^0 ; H_2AsO_4^- H_3AsO_3^0	Fe^{2+} ; Fe(OH)_3^0 Fe^{2+} ; FeSO_4^0 $\text{Fe}(\text{SO}_4)_2^2$; FeSO_4^0

интерпретации как гидрохимическое отражение процессов распределения элементов в породах.

3. Концентрация элементов в воде зависит от типа месторождений, но распределение ее в гидрохимическом поле создает своеобразие конкретного объекта, его "гидрохимическое лицо", которое и обладает запасом информации. Однако в настоящее время необходимо иметь данные о концентрациях состояний элементов. Из работ [11, 16, 20, 25, 39] следует, что состояния элементов для разных типов объектов могут быть близкими, а могут и различаться и, следовательно, быть специфическими для какого-то определенного типа (табл. 49).

УСЛОВИЯ ФОРМИРОВАНИЯ ГИДРОХИМИЧЕСКИХ ПОЛЕЙ РУДНЫХ МЕСТОРОЖДЕНИЙ

Формирование гидрохимических полей диктуется тремя группами условий:

- 1) физико-географические - климат и расчлененность рельефа;
- 2) гидрогеологические - гидрогеологическое строение и типы гидрохимической зональности;
- 3) геолого-геохимические - состав вмещающих пород и металлогеническая зональность.

ФИЗИКО-ГЕОГРАФИЧЕСКИЕ УСЛОВИЯ ФОРМИРОВАНИЯ ГИДРОХИМИЧЕСКИХ ПОЛЕЙ

Климат

В 1957 г. В.И. Виноградов на примере молибденовых руд показал, что образование вторичных минералов в зоне окисления зависит от количества атмосферных осадков: чем меньше норма атмосферных осадков, тем меньше вынос элемента из зоны окисления и интенсивнее образование вторичных его минералов. Однако наиболее детальной и глубокой работой, рассматривающей связь климатических условий с выносом рудных элементов из зоны окисления сульфидных месторождений, до сих пор остается работа Ю.Ю. Бугельского [5]. Ю.Ю. Бугельский рассматривал выветривающееся месторождение как открытую систему, процессы в которой происходят в условиях обычных температур и давлений, что позволило ему провести анализ изобарно-изометрических потенциалов реакций различных стадий

зоны окисления. Им для разных климатических условий показано, что в зоне окисления месторождения при увеличении энергии в рассматриваемой системе (за счет солнечной радиации) осуществляются и те реакции, которые не могут протекать самопроизвольно. Это позволяет формироваться зонам окисления на стадиях карбонатных, силикатных и комплексных солей.

Солнечная радиация поставляет энергию, атмосферные осадки опосредованно подводят ее к окисляющимся минералам и отводят растворимые продукты разложения минералов. Это два основных климатических фактора, влияющих на рассеяние руд в зоне гипергенеза. Поскольку часть солнечной энергии затрачивается на испарение выпавших атмосферных осадков, то тепло, расходуемое на разложение минералов горных пород и руд, составит $R \cdot LE$ (где R - солнечная энергия, Дж/см²; L - теплота испарения, Дж/см³; E - количество испарившейся воды, см³). Ю.Ю. Бугельским показано, что чем больше эта разность, тем интенсивнее протекают реакции в зоне гипергенеза и лучше выражены стадии развития зон окисления, но ниже средние содержания компонентов в водах однотипных (в рассматриваемом случае полиметаллических) месторождений, а следовательно, и вынос рудных компонентов. Количество поступающей солнечной радиации вместе с количеством атмосферных осадков - комплексный фактор, разделяющий территории на гумидные и аридные регионы с развитием и без развития многолетнемерзлых пород.

Условия формирования гидрогоехимических полей рудных месторождений в зоне многолетнемерзлых пород

Эти условия изучены прежде всего благодаря исследованиям В.П. Боровицкого, П.Ф. Швецова, С.Л. Шварцева, В.Л. Кожары, Л.Л. Беловой и Э.К. Лесанова, М.А. Садикова, В.И. Макарова и М.П. Чибисова, автора настоящей работы и других исследователей.

Наличие толщи многолетнемерзлых пород определяет специфику всех процессов, протекающих в приповерхностной зоне: прежде всего резко затрудняет миграцию воды, перекрывает пути движения подземных вод, прерывая связь их с поверхностью, а отрицательные температуры замедляют химические процессы в толще пород.

Летом на всей поверхности мерзлой толщи появляется тонкий слой талых пород (действительный слой), резко сдвигающий равновесие в верхней части криолитозоны и увеличивающий, следовательно, градиенты протекающих здесь процессов.

Если для Г. Миддендорфа мерзлота была "вечной", то исследователи нашего времени считают ее прерывистой, пронизанной многочисленными таликами, а также имеющей незамерзшую воду вне таликов. Проницаемость многолетнемерзлых пород (мерзлоты как таковой) тесно связана с уравнением радиационного баланса:

$$R = P + LE + B,$$

где R - радиационный баланс; P - турбулентный теплообмен; LE - затраты на испарение (E - количество испарившейся воды, L - теплота испарения); B - теплообмен деятельного слоя с подстилающими горными породами.

Однако, как показано П.Ф. Швецовым, невязка этого уравнения часто бывает значительно больше обычной неточности и требует введения в уравнение дополнительного члена $V \times Cp \times \Delta t$ (V - объем воды, профильтировавшейся в теплый сезон через единичную призму породы; Cp - объемная теплоемкость воды; Δt - разность температур), выражающего количество тепла, переносимого водой конвективным путем. Этот член будет тем больше, чем выше инфильтрующая способность поверхности слоя пород. Там, где она высока, происходит формирование сквозного талика. Причина увеличения водопроводимости может быть разной. Хотелось бы отметить возможность увеличения инфильтрации за счет разрывных нарушений. Тектонические разломы - обязательный компонент любой геологической ситуации, но особенно интенсивны они в пределах участков оруденения. Недаром П.Ф. Швецов отмечает как яркий пример сквозного талика Талнахское месторождение. А.В. Львов еще в 1916 г. связывал генезис сквозных таликов с восходящими источниками подмерзлотных вод. Н.И. Толстиков замечает, что потоки подземных вод часто бывают приурочены к различным нарушениям в геологическом строении и к жилам, встречающимся в мерзлой зоне. В.И. Макаров указывает, что в горных районах Северо-Востока России и юга Якутии возникает много линейных таликов, связанных с молодыми разломами, по которым происходит разгрузка подмерзлотных вод и образование многочисленных наледей.

Таким образом, "пробелы" мерзлых пород, особенно в пределах месторождений, - явление скорее нормальное, нежели аномальное. Исследования последних лет полностью подтверждают известное высказывание М.И. Сумгина о том, что мерзлая зона пронизана таликами как кровеносными сосудами.

Обратимся теперь к состоянию воды в мерзлой зоне, модальный интервал отрицательных температур в которой обычно $-3,5$ - -7°C . Как показали экспериментальные работы М.И. Сумгина, А.А. Ананяна, З.А. Нерсесовой, в породах с отрицательной температурой замерзает не вся вода, хотя с понижением температуры количество незамерзшей воды уменьшается.

Эта незамерзшая вода представляет собой тонкую пленку, обволакивающую частицы породы, и по физическому состоянию соответствует связанной воде в талых породах. Причиной этого является наличие активных центров на поверхности пород (обменные катионы, группа OH^- , координационно ненасыщенный кремний и т.д.). Активные центры нарушают обычную четверную координацию молекул воды, необходимую для нормальной ее кристаллизации при отрицательных температурах, а перестройка

молекул затруднена возрастанием потенциального барьера на величину ξ . Так возникает незамерзшая вода при отрицательных температурах. Вода, образующая тонкие водные пленки, способна к миграции, хотя и ограниченной.

В.П. Боровицким экспериментально показано, что существует разность потенциалов между замораживающимся и талым слоем, достигающая 150–200 мВ. При этом начинается движение влаги к фронту промерзания, т.е. к отрицательно заряженному электроду под влиянием электроосмотических сил. При оттаивании наблюдается медленное перемещение влаги обратно. В настоящее время явление миграции воды в сторону холодного фронта достаточно хорошо изучено. Таким образом, при промерзании деятельного слоя зимой пленочная вода из мерзлой зоны подтягивается почти до самой поверхности электроосмотическими силами. Кроме того, при наличии естественного электрического поля между деятельным слоем и многолетнемерзлой зоной должен иметь место механизм электродиализа, способствующий разделению анионов и катионов, причем катионы могут перемещаться к отрицательно заряженному электроду, т.е. вверх. Этот своеобразный "насос", подтягивающий воду и растворенные в ней вещества и действующий на всей поверхности мерзлых пород, является важным механизмом формирования водных ореолов рассеяния рудных месторождений, обеспечивающим поставку рудных компонентов из глубины в латеральный поток оттаивающего деятельного слоя. Вместе с оттаиванием деятельного слоя начинается обратное движение как пленочной влаги, так и гравитационных вод (атмосферные осадки).

Через деятельный слой в мерзлую зону проникает плотная переохлажденная вода, максимально насыщенная вследствие низкой температуры газами атмосферы (O_2 , CO_2), способствующими выветриванию горных пород и особенно сульфидных руд. Однако механизм миграции пленочной воды и растворенных в ней компонентов определяется не только движением к фронту промерзания, но также литологией пород. Причем физико-химические процессы идут достаточно интенсивно. Очень показательны в этом отношении эксперименты М.Н. Дербеневой, показавшей, что на контакте мергеля, имеющего 8,3% незамерзшей воды при $-3,2^{\circ}C$, и покровного суглинка (12,1% при той же температуре) происходят процессы перераспределения воды и растворенных компонентов. В результате продолжительного контакта мергеля и покровного суглинка (12 мес) количество воды в образцах мергеля стало больше, а в образцах покровного суглинка – меньше. Произошло обогащение мергеля натрием, кальцием и магнием с одновременным уменьшением их в приконтактовых частях покровного суглинка. Калий же, наоборот, перемещался от мергеля к суглинку в соответствии с концентрационным градиентом, несмотря на противоток влаги.

Изложенное позволяет уверенно говорить о том, что вся криолитозона и каждый ее элемент являются полем активно протекающих геохимических процессов.

Сделаем основные выводы.

1. Криолитозона достаточно хорошо проницаема физически как для воды, так и для атмосферных газов.

2. Даже в наиболее низкотемпературных частях криолитозоны имеется незамерзшая пленочная вода. Эта вода способна к миграции вместе с растворенными в ней компонентами.

3. Для реакций в системе вода-порода-растворенное вещество достаточно наличия тонких водных пленок.

4. В криолитозоне, прежде всего вследствие наличия деятельного слоя, существуют энергетические градиенты, способствующие миграции химических компонентов, в том числе оттоку продуктов химических реакций.

Проницаемость криолитозоны и миграция влаги в ней приводят к значительным геохимическим следствиям. Двигающаяся незамерзшая влага криолитозоны - основной агент выветривания горных пород. Еще А.Е. Ферсман и С.С. Смирнов обращали внимание на наличие растворимых и малоустойчивых соединений в зоне окисления месторождений в пределах криолитозоны, изучаемых позже различными исследователями, в том числе гидро-геохимиками С.Л. Шварцевым, В.Н. Макаровым, Л.Л. Беловой, Э.С. Лесановым и др.

В зоне многолетнемерзлых пород на сульфидных месторождениях установлено развитие мощной зоны окисления преимущественно первых стадий, причем даже в приповерхностных ее частях отмечается накопление растворимых сульфатных минералов. В период оттаивания деятельного слоя происходит интенсивный вынос металлов и сульфатов из приповерхностной части зоны окисления.

Несмотря на то, что грунт при замораживании приобретает высокие прочностные свойства, внутреннее его напряжение

Характеристики водных потоков рассеяния
двух полиметаллических месторождений

Таблица 50

Область распространения	pH	Цинк		Медь		Свинец	
		Концентрация, мг/л	Протяженность, км	Концентрация, мг/л	Протяженность, км	Концентрация, мг/л	Протяженность, км
В зоне мерзлоты (Арманд)	4,5-6	$(10^{-1} \div 1)n$	2,5-3	$n \cdot 10^{-2}$	2	$(10^{-2} \div 10^{-1})n$	1,5
Вне зоны мерзлоты (месторождение Ахобе)	4-6,2	$(10^{-1} \div 1)n$	3	$n \cdot 10^{-2}$	2,5	$n \cdot 10^{-2}$	1,2

также возрастает. В результате этого грунт "более готов" к разрушению при оттаивании. Это согласуется с наблюдениями Н.Г. Бобова и И.А. Тютюнова, которые говорят о наиболее интенсивном понижении рельефа в горноскладчатых областях с мерзлой зоной в результате интенсивного выветривания. Такое понижение вовлекает новые порции невыветрелых пород (в том числе руд) в процессы выветривания быстрее по сравнению с зоной без мерзлоты.

Результаты исследований на полиметаллических месторождениях в зоне криогенеза и вне ее приведены в табл. 50. Как видим, характеристики водных потоков по основным рудным элементам очень близки. Такие же результаты получены при исследовании близповерхностных золото-серебряных месторождений на Северо-Востоке в зоне развития многолетнемерзлых пород и на Дальнем Востоке вне этой зоны: контрастности водных ореолов рассеяния рудных элементов и протяженности их практически аналогичны.

О возможности эффективных гидрогеохимических поисков рудных месторождений, в том числе закрытого типа в зоне многолетней мерзлоты, свидетельствуют Ю.Ю. Бугельский, С.Л. Шварцев, Е.Е. Кузьмин, М.А. Всеволожская, В.Л. Макаров, М.А. Садиков и другие исследователи.

Некоторые характеристики гидрогеохимических полей различных месторождений Якутии приведены в табл. 51. По выраженности элементов в гидрогеохимических полях и пространственным характеристикам ореолов они близки используемым в сравнительном анализе месторождениям, расположенным за пределами зоны мерзлоты. Корреляционный анализ показал, что в гидрогеохимических полях формируются характерные для данных

Таблица 51

Основные гидрогеохимические признаки рудных месторождений Якутии
(по В.Н. Макарову)

Месторождения	Прямые признаки	Косвенные признаки	Характеристика ореолов и потоков рассеяния
Золоторудные			
Плащеобразные за- леки окисленных руд в карстовых депрессиях	Au	Ag, Mn, Sb, Sn, Ti, Be, SO_4^{2-}	Площадь ореолов до первых десятков квад- ратных километров
Крутопадающие жи- лы и сопряженные с ними субгоризон- тальные залежи полисульфидного и пирит-анкеритового составов	Au	Zn, Pb, Ag, Sn, Mo, Be, SO_4^{2-}	Протяженность потоков 0,4-8,1 км

Месторождения	Прямые признаки	Косвенные признаки	Характеристика ореолов и потоков рассеяния
Золотосурьмяные			
Зоны дробления с золотоносными кварц-антимонитовыми жилами, линзами, гнездами	Sb, Au	As, Hg, Co, Ga, Pb, Ge, SO_4^{2-}	Площадь ореолов до первых десятков квадратных километров, протяженность потоков 0,4 км
Оловорудные			
Сульфидно-касситеритовые	Sn	As, B, F, Pb, Zn, Hg, Cu, SO_4^{2-}	Площадь ореолов - первые квадратные километры, протяженность потоков до 1 км
Оловянно-редкометальные	Sn, Li	As, Bi, Ag, Be, P	Протяженность потоков - первые километры
Медно-вольфрамовые и вольфрамовые	W, Sn, Cu	As, Zn, B, Co, Be, Ba	Протяженность потоков - первые километры
Полиметаллические	Pb, Ag, Zn	Sn, Cd, Cu, As, Hg, Ge, SO_4^{2-}	Площадь ореолов 1 - 6 км ² . Протяженность потоков 1-4 км
Ртутные	Hg	Sb, As, Ba, SO_4^{2-}	Протяженность потоков до 1 км
Медно-никелевые	Cu, Ni	Ti, Mn, Zn, Cr, Ag, V, Pb, Co, Zr, Sn	Протяженность потоков 0,5-1 км
Алмазные			
Кимберлитовые трубы в карбонатных породах	-	Nb, Cr, Mn, Ti, V, Ag, As, Ga, Co	Слабоконтрастные, прерывистые ореолы площадью (0,1±1) п

типов руд парагенетические группы независимо от того, находятся месторождения в зоне криогенеза или вне ее.

Таким образом, в гумидных районах криолитозоны развитие многолетнемерзлых пород не препятствует формированию гидро-геохимических полей рудных месторождений, а характеристики полей (комплексность, контрастность, протяженность, площадь) близки для обеих зон.

Условия формирования гидро-геохимических полей рудных месторождений в аридных регионах

Эти условия изучены благодаря работам Е.Е. Беляковой, А.А. Бродского, Ю.Ю. Бугельского, К.М. Давлетгалиевой и И.Г. Дивеева, Н.И. Еникеева, С.Р. Крайнова, В.Ф. Скрябина, автора настоящей работы и других исследователей.

Наибольшая по сравнению с прочими регионами величина $R\text{-LE}$

Таблица 52

Средние содержания некоторых рудных элементов в водах зоны гипергенеза гумидной и аридной областей (по С.Л. Шварцеву), мкг/л

Зона	Cu	Pb	Zn	As	Mo	Co	Fe	Ag	SO_4^{2-}
Гумидная	4,78	2	28	1,95	1,43	0,64	482	0,25	11,9
Аридная	8,88	3,07	57,6	2,55	4,72	1,21	825	0,44	328

П р и м е ч а н и е. Содержание SO_4^{2-} дано в мг/л.

определяет режим испарительной концентрации подземных вод, что ведет к прогрессивному накоплению солей в растворе. И это касается не только макро-, но и части микрокомпонентов, особенно формирующих комплексы с сульфат-ионом и хлором, в связи с чем фоновые концентрации некоторых элементов-халькофилов (Cu, Zn и др.) выше по сравнению с гумидными зонами (рис. 11, табл. 52).

Фон сульфат-иона в аридных районах настолько высок, что его гидрогоеохимическое поле аналитически иногда выделить чрезвычайно трудно.

Однако, несмотря на возможности накопления более высоких фоновых концентраций за счет общего выветривания пород и испарительной концентрации, гидрогоеохимические поля рудных месторождений в аридных зонах выглядят менее контрастно по сравнению с гумидными (табл. 53). Из известных этапов формирования водных ореолов рассеяния вокруг рудных тел, сформулированных А.А. Бродским [3], первые три (разложение рудных минералов, перевод их в растворимое состояние и миграция в водной среде) затруднены в связи с малым количеством воды, слабой ее агрессивностью и повышенной общей минерализацией

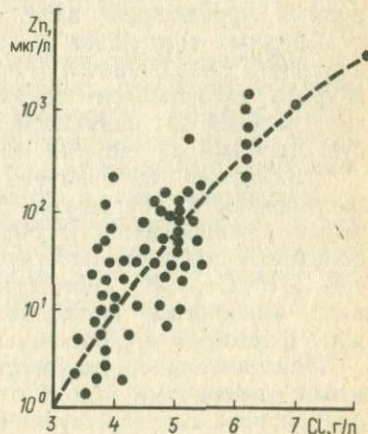


Рис. 11. Тенденция возрастания концентраций цинка при увеличении хлоридности вод (по данным Г.А. Головой)

Таблица 53

Характеристика гидрогохимических полей месторождений гипогенных

Климатические условия	Тип ландшафтов	Средний состав воды	pH
Гумидные (зона выщелачивания)	Горно-луговой	M _{0,32} <u>HCO₃71SO₄22Cl5</u> Ca59Mg30Na16	6,5-7,1
Аридные (зона континентального засоления)	Горно-степной	M _{0,5} <u>HCO₃75SO₄18CO₃5Cl5</u> Ca64Mg18Na18	7,5

(главным образом карбонатной составляющей), способствующей образованию слаборастворимых солей. Четвертый этап - выход компонентов, прежде всего катионов, из природного раствора, напротив, облегчен вследствие значительной общей минерализации вод и процессов испарительной концентрации.

В связи с недостатком влаги в зоне аэрации, ограниченным количеством кислорода, проникающего в зону гипергенеза главным образом с интенсивно аэрированными, но незначительными по объему атмосферными осадками, в зоне окисления наблюдается замедленность реакций окисления, выщелачивания минералов и перевода их в растворимое состояние. Такая замедленность приводит к тому, что хемогенным путем перерабатывается меньшая рудная масса, участвующая в формировании гидрогохимического поля, тогда как выпадение минералов из вод облегчено. Часто это приводит к нечеткости разделения зоны окисления сульфидных руд на стадии, вследствие чего на месторождениях нередко вместе встречаются минералы, относящиеся к различным стадиям развития зоны окисления.

Характерна распространенность карбонатов, связанная с повышенной для аридных районов карбонатностью обстановки. На рудных проявлениях даже при наличии небольшого количества сульфидных минералов в верхних частях рудных тел и на поверхности наблюдается "прозелень" малахита или "просинь" азурита, являющаяся продуктом реакции гидрокарбонатных ионов минеральной составляющей природных вод с выносимыми из руд сульфатными растворами металлов.

Выпадение карбонатов металлов определяется различием растворимостей сульфатов и карбонатов металлов в условиях высокой карбонатности обстановки. В аридных условиях карбонатная среда препятствует водной миграции элементов Zn, Pb, Cu, Co, Ni, способствует выведению их из растворов в виде карбонатов металлов (смитсонит, церуссит, малахит и др.), формируя карбонатную стадию зоны окисления.

Действительно, равновесие между сульфатными и карбонатными минералами в зоне окисления месторождений определяется отношением соответствующих произведений растворимости ПР:

боратов в условиях гумидного и аридного климата (по С.Р. Крайнову)

Содержание, мкг/л					Протяженность ореола, км	Контрастность аномалии
Zn	Cu	As	B	F		
5-1000	2-450	2-300	10-1000	200-3000	4-5	100
5-30	2-60	2-200	50-2000	200-1700	$n \cdot 10^{-1}$	40-50

$$\frac{P\text{R}M\text{eSO}_4}{P\text{R}M\text{eCO}_3} = \frac{a_{\text{Me}^{+2}} a_{\text{SO}_4^{2-}}}{a_{\text{Me}^{2+}} a_{\text{CO}_3^{2-}}} = \frac{a_{\text{SO}_4^{2-}}}{a_{\text{CO}_3^{2-}}}$$

т.е. той же величиной определится и отношение активностей сульфат- и карбонат-ионов.

Таким образом, момент перехода сульфатной стадии зоны окисления в карбонатную выражается неравенством

$$\frac{a_{\text{SO}_4^{2-}}}{a_{\text{CO}_3^{2-}}} \leq q,$$

где q - отношения произведений растворимости, величины которых известны (табл. 54).

Однако это справедливо для минералов - простых солей. В случае двойных гидрокарбонатных солей (малахита, азурита, гидроцеруссита) необходимо знать также активности металлов и OH-ионов в воде. Для малахита, например,

$$q = \frac{a_{\text{Cu}^{2+}} a_{\text{SO}_4^{2-}}}{a_{\text{Cu}^{2+}} a_{\text{CO}_3^{2-}} a_{\text{OH}^-}} = \frac{a_{\text{SO}_4^{2-}}}{a_{\text{Cu}^{2+}} a_{\text{CO}_3^{2-}} a_{\text{OH}^-}}$$

В табл. 54 приведены отношения произведений растворимости, являющиеся граничным условием перехода сульфатной стадии зоны окисления в карбонатную, позволяющие прогнозировать условия этого перехода. Это особенно важно для аридных обстановок локализации сульфидных руд, условий развития щелочных вод пенопленов и т.д. Например, в зоне континентального засоления, когда наряду с минерализацией воды растет pH, ситуации для выпадения малахита благоприятны, поскольку в случае средних реальных концентраций SO_4^{2-} , CO_3^{2-} , меди и pH (соответственно 100 мг/л; 100 мг/л; 100 мкг/л и 8)

$$\frac{a_{\text{SO}_4^{2-}}}{a_{\text{Cu}^{2+}} a_{\text{CO}_3^{2-}} a_{\text{OH}^-}} = q = 3,6 \cdot 10^6,$$

Таблица 54

Произведения растворимостей и их отношения для вторичных минералов зоны окисления сульфидных месторождений

Минерал	ПР	Отношения ПР
Сидерит Fe_2SO_3	$2,86 \cdot 10^{-11}$	$\frac{\text{ПР}_{\text{FeSO}_4}}{\text{ПР}_{\text{FeCO}_3}} = 1,9 \cdot 10^{12}$
FeSO_4	54,3	
$\text{ZnSO}_4 \cdot 7\text{H}_2\text{O}$	850	$\frac{\text{ПР}_{\text{ZnSO}_4}}{\text{ПР}_{\text{ZnCO}_3}} = 1,7 \cdot 10^{13}$
Смитсонит ZnCO_3	$5,01 \cdot 10^{-11}$	
Англезит PbSO_4	$1,72 \cdot 10^{-8}$	$\frac{\text{ПР}_{\text{PbSO}_4}}{\text{ПР}_{\text{PbCO}_3}} = 4,55 \cdot 10^7$
Церуссит PbCO_3	$3,58 \cdot 10^{14}$	
Гидроцеруссит [$\text{Pb}_3(\text{CO}_3)_2(\text{OH})_2$]	$1,37 \cdot 10^{-47}$	$\frac{\text{ПР}_{\text{CuSO}_4}}{\text{ПР}_{\text{Cu}_2\text{CO}_3(\text{OH})_2}} = 1,35 \cdot 10^{35}$
CuSO_4	90	
Малахит [$\text{Cu}_2\text{CO}_3(\text{OH})_2$]	$6,64 \cdot 10^{-34}$	$\frac{\text{ПР}_{\text{CuSO}_4}}{\text{ПР}_{\text{Cu}_3(\text{CO}_3)_2(\text{OH})_2}} = 7,5 \cdot 10^{46}$
Азурит [$\text{Cu}_3(\text{CO}_3)_2(\text{OH})$]	$1,2 \cdot 10^{-45}$	$\frac{\text{ПР}_{\text{PbSO}_4}}{\text{ПР}_{\text{Pb}(\text{CO}_3)_2(\text{OH})_2}} = 7,2 \cdot 10^{32}$

а это значение меньше отношения ПР ($3,6 \cdot 10^6 << 1,35 \cdot 10^{35}$). Однако при наличии значительных содержаний карбонатных или гидрокарбонатных ионов часть концентраций элементов-катионов может мигрировать в виде карбонатных или гидрокарбонатных комплексов металлов.

На месторождениях в аридной зоне часто фиксируются вторичные сульфаты, фосфаты и гидроксиды элементов. Таким образом, гидрогоеохимическое поле рудного месторождения быстрее "гасится" и быстрее сливается с фоном в аридных районах по сравнению с гумидными (см. табл. 40, 41). Сказанное относительно роли высокой минерализации вод (прежде всего карбонатности) в процессах миграции элементов и формирования гидрогоеохимических полей в значительной степени касается рудных элементов-катионов. Легко показать [16, 20], что с ростом общей минерализации вод, увеличением ее разнообразия (т.е. при наличии карбонатных, гидрокарбонатных, сульфатных, фосфатных и других компонентов анионной составляющей) растут возможности генерации комплексных (чаще анионогенных) соединений в водах, с одной стороны, и выпадения в осадок слабо растворимых солей в основном катионогенных элементов, с другой. Таким образом, возможности миграции анионогенных ионов по сравнению с катионами в условиях аридного климата увеличиваются.

В аридных районах по сравнению с гумидными более интен-

Таблица 55

Гидрогохимические аномальные характеристики некоторых природных объектов в условиях аридных районов (Афганистан)

Месторождение	Комплекс компонентов	Фоновые содержания, мкг/л	Аномальные содержания элементов в водах, мкг/л		Протяженность водного ореола, км
			Минимальные	Максимальные	
Меднорудные (Кабульский район)	Cu	0,3-0,8	3-5	<20	<1,5
	Zn	0,1	0,5-1	<30	<2,3
	Co	0,1	0,3-0,5	1	<0,5
	Fe	300	1000	<3000	<1
* Другие элементы : Cr, Ni, Mo					
Редкометальное жильного типа (Центральный Гиндукуш)	Cu	0,3	0,5-1	3	0,5-1
	Zn	0,1	0,1-0,3	1	<0,7
	B	0,1	0,1	0,1	0,3-1
	Be	0,1	0,3-1	10	<1,5
* Другие элементы : As, Sc, Mo					
Редкометальные пегматиты (Нуристан)	Sc	0,1	0,3-0,5	1	0,3-0,5
	V	0,1	0,3-0,5	1	0,5-1
	Ti	10	80-100	<200	0,5-1,5
	Ga	0,1	0,3-0,5	0,5-1	0,3-0,5
* Другие элементы : Al, Yb, Zr					

* Элементы, встречающиеся периодически в аномальных количествах в водах.

сивно проявляется такой механизм извлечения микроэлементов из растворов, как соосаждение их с выпадающими из раствора солями высококларковых элементов. Именно этим объясняются часто значительные концентрации Cu, W, Be, TR, Sc и других микроэлементов в многочисленных корочках гипсов, карбонатов, гидроксидов железа.

Гидрогохимические характеристики природных объектов для типичного аридного региона Средней Азии (Афганистана) приведены в табл. 55.

Разницу в формировании гидрогохимических полей и поведении элементов в водах в зависимости от физико-географических условий более строго можно продемонстрировать с помощью физико-химических расчетов, которые будут приведены ниже.

Влияние рельефа

Рельеф является важным фактором формирования гидрогохимических полей рудных месторождений, оказывая непосредственное влияние на интенсивность водообмена. Этот вопрос подробно освещен в работах В.М. Степанова, проследившего возникновение высотной гидрогохимической зональности в горноскладчатых областях. Для условий Дальнего Востока зависимость минерализации и изменения химического состава вод от величины абсолютных отметок рельефа показана на рис. 12. Рассчитанный коэффициент корреляции равен 0,893 при допустимых значениях r 0,381 и 0,487.

Связь состава и минерализации воды с абсолютными отметками рельефа отмечается и другими исследователями и выражается известными закономерностями высотной гидрогохимической зональности.

Интересно, что формирование гидрогохимического поля локального природного объекта, прежде всего рудного месторождения, подчиняется как раз обратной закономерности: контрастность и комплексность гидрогохимического поля при прочих равных условиях возрастают с увеличением расчененности рельефа. Это связано с активностью дренирования рудного поля, поскольку увеличение степени дренированности месторождения увеличивает возможности выноса рудных элементов.

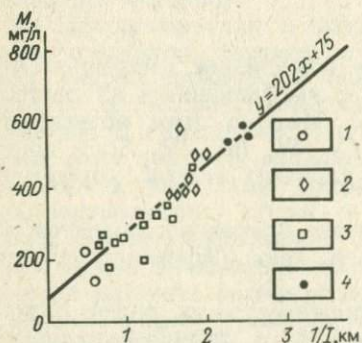


Рис. 12. Корреляционная связь между общей минерализацией и расцененностью рельефа (по А.М. Эленбогену). Абсолютные отметки, м: 1 - 600-1000; 2 - 1000-1400; 3 - 1400-1800; 4 - 1800-2000

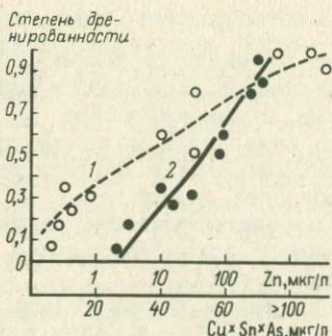


Рис. 13. Зависимость концентраций цинка (1) и произведения концентраций меди, олова и мышьяка (2) от степени дренированности территории в пределах гидрогохимических полей оловополиметаллических месторождений в горноскладчатых областях

тов. Обозначив степень дренированности произведением густоты гидрографической сети (в км/км²) на глубину вреза (разность максимальных и минимальных отметок рудного поля - в км), получим безразмерную величину, по которой можно сравнивать однотипные по минеральным характеристикам объекты, локализованные в различных частях рельефа (приводораздельной, придолинной и промежуточной). Связь между дренированностью рудных полей кассiterит-силикатной формации и модальным содержанием цинка (см.рис. 12, кривая I), а также между дренированностью и мультиплективной аномалией (данные спектрального анализа) основных трех рудных элементов для этого типа месторождений (Cu, As, Sn) приведена на рис. 13. Как видим, прослеживается четкая прямая зависимость контрастности проявления гидрогеохимического поля от степени дренированности. Практика показывает, что горноскладчатые области удобно районировать по степени дренированности рудных полей, исходя из следующих ее значений: более 0,8; 0,8-0,1; меньше 0,1. Чаще всего значение 0,8 относится к абсолютным отметкам более 2000 м, 0,8-0,1 - 2000-500 м, а величина 0,1 - менее 500 м (низкогорье).

С приближением к водоразделу для рудных тел, залегающих выше уровня грунтовых вод, увеличивается мощность зоны окисления, ибо последняя определяется мощностью зоны аэрации, которая увеличивается с приближением к водоразделам. Таким образом, в приводораздельных частях рельефа увеличивается количество окисляющейся рудной массы. Поэтому эффект дренированности особенно ярок для сульфидных или сульфидсодержащих месторождений.

ВЛИЯНИЕ ГИДРОГЕОЛОГИЧЕСКИХ УСЛОВИЙ НА ФОРМИРОВАНИЕ ГИДРОГЕОХИМИЧЕСКИХ ПОЛЕЙ РУДНЫХ МЕСТОРОЖДЕНИЙ

Гидрогеологическая зональность

На фоне гидрогеологической зональности гидрогеохимические поля рудных месторождений представляют собой явление азональное.

Горизонтальная или широтная зональность заключается в смене типов грунтовых вод по составу и минерализации с севера на юг: на севере, в зоне тундры и лесотундры (зона I) распространены ультрапресные и пресные гидрокарбонатные кальциевые, нередко гидрокарбонатно-кремниевые воды, обогащенные органическим веществом, слабокислые - нейтральные; южнее, в зоне смешанных и хвойных лесов (зона II) минерализация возрастает до 0,3 г/л, уменьшается количество органических веществ и иона оксида кремния, воды становятся гидрокарбонатными со смешанным катионным составом, чаще кальциевым, со слабокислым - слабощелочным pH; еще южнее, в

степной и лесостепной зонах (зона III), минерализация грунтовых вод достигает 1-3 г/л, их преобладающий состав гидрокарбонатно-сульфатный. Это зона переходная от области выщелачивания к области континентального засоления. И, наконец, на юге аридные условия формируют зону грунтовых сульфатно-хлоридных натриевых (и даже хлоридных натриевых) вод со слабощелочной (рН от 7,1 до 7,7) реакцией и повышенной (до 5 г/л) минерализацией, а в крайнем своем выражении с минерализацией до 30 г/л (зона IV). Отметим также повышенную карбонатность обстановки по сравнению с северными зонами, хотя доля карбонатности в суммарной минерализации невысока.

Приуроченность гидрогеохимического поля к той или иной зоне отражается на его характеристиках. Например, очень ярко это проявляется на миграции компонентов поля в зависимости от наличия или отсутствия в водах органического вещества. С.Р. Крайновым показано, что в гидрогеохимических полях нефелиновых сиенитов доля органических комплексов редких элементов - комплексообразователей резко увеличивается в зоне полярно-тундровой (зона I) по сравнению с лесной (зона II). Например, доля ниobia, связанного с органикой, в лесотундровой зоне (Кольский полуостров, Ловозерский массив) составляет 13-100%, титана - 10-30%. В зоне смешанных лесов (Урал, Вишневогорский массив) органические комплексы этих элементов отсутствуют (эксперименты С.Р. Крайнова). Это явление находит отражение в методике поисков: вводится операция по предварительному разрушению органических комплексов элементов. В области континентального засоления по сравнению с областью выщелачивания резко возрастает содержание практически всех макрокомпонентов (табл. 56), что имеет по крайней мере два геохимических следствия: во-первых, увеличиваются возможности выпадения труднорастворимых соединений; во-вторых, резко увеличивается доля закомплексованных ионов.

С целью выяснения гидрогеохимической структуры гидрогеологических зональностей были подобраны типовые пробы химического состава подземных вод зоны гипергенеза и гидрогео-

Таблица 56

Средний химический состав вод зоны гипергенеза областей выщелачивания и континентального засоления (по С.Л. Шварцеву), мг/л

Объект исследования	HCO_3^-	SO_4^{2-}	Cl^-	F^-	Na^+	Ca^{2+}	Mg^{2+}	K^+	SiO_2	$\text{CO}_{2\text{cs}}$
Воды области выщелачивания	132	11,9	-	0,32	13,9	26,1	8,37	1,94	15,3	25,9
Воды области континентального засоления	344	328	202	0,97	172	115	59,4	15,2	26	26,3

химических полей месторождений, принадлежащих различным гидрогеологическим зонам. Компьютерные физико-химические расчеты состояний элементов произведены по программе, составленной Г.А. Соломиным (MIF-1), а также приняты во внимание результаты работ различных исследователей по формам миграции элементов в подземных водах зоны гипергенеза.

Гидрохимическая структура гидрогеологических зональностей в зоне гипергенеза определяется двумя основными противоположно направленными процессами: комплексообразованием, способствующим миграции элементов в водах (в особенности элементов, склонных к образованию малорастворимых минералов), и аутогенным минералообразованием.

Исходя из этого следует рассмотреть как состояние элементов в водах в зависимости от принадлежности вод к той или иной гидрогеологической зоне, так и возможности выпадения вторичных минералов из растворов. Среди последних особый интерес представляет так называемый контрольный минерал — минерал с минимальной растворимостью в конкретных условиях той или иной зоны, ибо он и является ограничителем максимально возможных при прочих равных условиях концентраций элемента, которые способны накопиться в водах.

Химический состав вод, определенный граничными условиями перехода компонентов из пород в воду, а затем из воды в породу, имеет, следовательно, три этапа формирования: 1) перехода элемента из пород в воду; 2) миграции в растворенном состоянии; 3) перехода обратно в твердую фазу. Балансовое уравнение всего процесса для определенного рудного элемента (металла) будет таким:

$$Q_{Me} = M_1 + M_2 + M_3 + \dots + M_n + C_n, \quad (1)$$

где M_1, M_2, \dots, M_n — количество металла, образующееся в последовательном ряду вторичных минералов при гипергенном преобразовании первичного минерала; C_n — количество металла, перешедшее в раствор после завершения преобразования в последовательном ряду, состоящем из n минералов.

Если образование каждого нового минерала назвать ступенью преобразования, то баланс первой ступени будет: $Q_{Me} = M_1 + C_1$, где C_1 — количество металла, переходящее в раствор в соответствии с ПР (с учетом комплексообразования) минерала I ступени преобразования.

На II ступени преобразования второй в ряду вторичный минерал может использовать для своего формирования количество металла, равное C_1 , и оставить в растворе C_2 после образования M_2 , т.е. $C_1 = M_2 + C_2$. Соответственно на II ступени $Q_{Me} = M_1 + M_2 + C_2$. На III ступени $C_2 = M_3 + C_3$, а балансовое уравнение примет вид

$$Q_{Me} = M_1 + M_2 + M_3 + C_3.$$

На ступени n приходим к исходному балансовому уравнению.

Конечно, ряд не может быть строго последовательным, но главное состоит в том, что формирование каждого последующего минерала жестко зависит от концентрации металла, оставшегося в растворе в соответствии с ПР минерала предыдущей ступени (с учетом комплексообразования). Именно поэтому перспектива накопления смитсонита (ПР предыдущего в ряду $ZnSO_4 \cdot 7H_2O - 1,5 \cdot 10^{-3}$) в гипергенной зоне велика, а церуссита (ПР предыдущего в ряду англезита $1,72 \cdot 10^{-8}$) мала.

Таким образом, каждый предыдущий минерал контролирует формирование всех последующих. Отсюда ясно, что основным контрольным минералом, определяющим максимально возможную концентрацию в водах в данных условиях, является минерал с минимальной растворимостью. Изучение отдельных ступеней преобразования балансового уравнения (1) имеет большое значение для понимания процессов рассеяния элементов в зоне гипергенеза. Особенно важно это в связи с преобразованием сульфидной минерализации в ряду сульфид - вторичные минералы - остаточная концентрация металла в растворе.

Расчетная оценка миграции компонентов в растворе и перехода их в твердую фазу исходя из химического состава конкретных проб производилась:

по состояниям рудных элементов в природном растворе;

максимальным расчетным концентрациям элемента с учетом комплексообразования и по отношению к определенному минералу; при этом контрольным считался минерал с минимальным значением ПР;

степени насыщенности компонентами, составляющими определенный минерал, где за границей значения 0,1 и выше минерал считается близким к выпадению из раствора.

Наряду с растворимостью минерала остаточная (фоновая) концентрация в водах определяется также сорбционной емкостью вмещающих пород и динамикой природных вод.

Исходя из изложенных положений, разберем влияние зональности на химический состав вод и формирование гидрогеохимических полей рудных месторождений.

Влияние горизонтальной зональности на формирование гидрогеохимических полей рудных месторождений

В самой северной зоне I - ультрапресные, кремниевые, слабокислые-близнейтральные, обогащенные органическим веществом, воды тундры и лесотундры обладают весьма значительным потенциалом растворения и являются крайним, наиболее ярким случаем природных вод выщелачивания. Степени насыщенности растворов ионами, рассчитанные по конкретным анализам вод с учетом произведения растворимостей минералов, демонстрирующего возможности выпадения их из вод в этой зоне, показывают, что таких минералов, кроме гидроксидов алюминия,

нет - недостаточны концентрации для их выпадения из растворов. Таким образом, характерная черта поверхностных и грунтовых вод этой зоны - дефицит насыщения минеральными компонентами. Заметим, однако, что гидроксид алюминия - активнейший сорбент микроэлементов из вод, и выпадение части микроэлементов с ним - процесс обязательный.

Низкая минерализация вод предоставляет мало возможностей для формирования неорганических комплексов в этой зоне. Неорганические состояния элементов, рассчитанные для водных проб, отобранных в этой зоне (Кольский полуостров), приведены в табл. 57. Как видно, подавляющее представительство для рассмотренных элементов остается за простыми ионами, не связанными в комплексы. Это касается как микрокомпонентов (Na , K , Ca , Mg), так и рудных элементов, имеющих большие возможности для комплексообразования. Рудные элементы очевиднее дифференцируются по формам неорганических состояний, демонстрируя тем не менее тяготение к самой простой ионной форме.

Однако рассмотрение органического комплексообразования вносит значительные корректизы в изложенное. Заметим, что количество органических веществ в этой зоне намного больше по сравнению с другими.

Роль ОВ для водной миграции рудных элементов в этой зоне гораздо значительнее, чем в других зонах с меньшим количеством органики в водах. Особенно это касается поверхностных и грунтовых вод и верховодки. Большая доля рудных элементов мигрирует в виде высокомолекулярных органических соединений и коллоидов, причем для вод вне рудных полей наблюдается прямая корреляция концентраций металлов и ОВ. Эта корреляция нарушается в пределах гидрохимических полей рудных месторождений в связи с трансформацией состояний элементов в водах и увеличения доли неорганических комплексов. Большая часть металлов связана в фульватные комплексы.

На фоне ультрапресных вод северной тундрово-лесной зоны особенно ярко выделяются контрастные " пятна" гидрохимических полей сульфидных месторождений и резко отличных от них редкометальных месторождений в щелочных породах. Причем выделяются они не только аномальными концентрациями, но и их состояниями, в полной мере подтверждая мысль о специфичности состояний элементов в гидрохимических полях месторождений по отношению к водам этой северной зоны (см. табл. 57).

Расчеты для вод сульфидных месторождений по зоне I показывают, что в пределах гидрохимического поля месторождения (прежде всего на его периферии) происходит интенсивное выпадение вторичных минералов, особенно гидроксидов железа, которые к тому же активно сорбируют рудные элементы. Обнаружение вторичных рудных минералов в этой зоне (прозелени малахита, свинцовых охр и др.) является хорошим поисковым признаком руды, тогда как такой же признак в зоне конти-

Таблица 57

Состояния элементов в водах зоны I и в гидрогеохимических полях, расположенных в этой зоне сульфидных и редкометальных месторождений, связанных со щелочными породами (доля неорганического состояния для каждого элемента уменьшается сверху вниз)

Объект исследования	Cu	Zn	Pb	Co	Al	Cd	Fe	As	F
Ультрапресные воды зоны I	Cu^{2+} CuF_K и другие органические комплексы	Zn^{2+} ZnF_K и другие органические комплексы	Pb^{2+} PbF_K и другие органические комплексы	Co^{2+} CoF_K и другие органические комплексы	Al(OH)_3 Органические комплексы	Cd^{2+} CdF_K и другие органические комплексы	Fe^{2+} FeF_K и другие органические комплексы	AsO_4^{3-}	F^- F^- органические комплексы
Гидрогоеохимические поля сульфидных месторождений	Cu^{2+} CuSO_4^0 $\text{Cu}(\text{SO}_4)^{\frac{2}{2}-}$	$\text{Zn}(\text{SO}_4)^{\frac{2}{2}-}$ ZnSO_4^0 Zn^{2+}	PbSO_4^0 Pb^{2+} $\text{Pb}(\text{SO}_4)^{\frac{2}{2}-}$	Co^{2+} CoSO_4^0 Organic	Al^{3+} AlSO_4^0 Organic	Cd^{2+} CdSO_4^0 Organic	Fe^{2+} FeSO_4^0 Organic	H_2AsO_4^-	AlF^{2+} Organic
Гидрогоеохимические поля редкometальных месторождений, связанных с щелочными породами	$\text{Cu}(\text{CO}_3)^{\frac{2}{2}-}$ $\text{Cu}(\text{CO}_3)^0$ Organic	$\text{Zn}(\text{CO}_3)^{\frac{2}{2}-}$ ZnCO_3^0 Zn^{2+}	$\text{Pb}(\text{OH})^{\frac{2}{2}-}$ PbOH^+ $\text{Pb}(\text{CO}_3)^{\frac{2}{2}-}$	$\text{Co}(\text{CO}_3)^{\frac{2}{2}-}$ Co^{2+} CoOH^+	$-$ $-$ Organic	$\text{Cd}(\text{CO}_3)^{\frac{2}{2}-}$ CdOH^+ CdCO_3^0 Cd^{2+}	$\text{Fe}(\text{CO}_3)^{\frac{2}{2}-}$ $\text{Fe}(\text{CO}_3)^0$ Fe^{2+}	AsO_4^{3-} HAsO_4^{2-} CaAsO_4^-	Organic Organic Organic

нентального засоления менее ценен, поскольку выпадение минералов из раствора облегчено. Расчетные максимальные концентрации рудных халькофильных элементов для условий равновесия с твердой фазой (контрольным минералом) очень высоки (табл. 58), что говорит об огромном потенциале растворения вод этой зоны.

Контрольными минералами для выпадения рудных компонентов из раствора являются карбонаты и силикаты. Однако значительный дефицит компонентов в воде не способствует выпадению из растворов этих минералов в северной тундро-лесной зоне.

Зона II, занимающая пространства смешанных лесов и тайги, в связи с недостаточной освоенностью является ареной ведения как региональных, так и локальных поисковых работ. Это зона развития слабокислых-околонейтральных гидрокарбонатных вод смешанного катионного, но чаще кальциевого состава с большим потенциалом растворения и выщелачивания. Расчеты показывают, что для выпадения из вод обычных вторичных минералов кон-

Таблица 58

Максимально возможные концентрации элементов, исходя из условий равновесия с твердой фазой контрольного минерала (в скобках), мг/л

Номер пробы	Железо (FeCO ₃)	Цинк (смитсонит)	Свинец (церуссит)	Медь (малахит)
Зона I				
23	$0,6 \cdot 10^6$	$0,12 \cdot 10^7$	$0,27 \cdot 10^4$	$0,26 \cdot 10^4$
24	$0,11 \cdot 10^6$	$0,22 \cdot 10^6$	$0,51 \cdot 10^3$	$0,41 \cdot 10^3$
25	$0,45 \cdot 10^5$	$0,91 \cdot 10^5$	$0,21 \cdot 10^3$	$0,18 \cdot 10^3$
28	$0,79 \cdot 10^5$	$0,16 \cdot 10^6$	$0,37 \cdot 10^3$	$0,17 \cdot 10^3$
29	$0,79 \cdot 10^6$	$0,15 \cdot 10^7$	$0,35 \cdot 10^4$	$0,41 \cdot 10^4$
Зона II				
42	$0,63 \cdot 10^2$	$0,13 \cdot 10^3$	$0,32 \cdot 10^0$	$0,23 \cdot 10^0$
43	$0,41 \cdot 10^2$	$0,51 \cdot 10^2$	$0,25 \cdot 10^0$	$0,11 \cdot 10^0$
44	$0,28 \cdot 10^2$	$0,57 \cdot 10^2$	$0,15 \cdot 10^0$	$0,15 \cdot 10^0$
45	$0,21 \cdot 10^2$	$0,43 \cdot 10^2$	$0,12 \cdot 10^0$	$0,11 \cdot 10^0$
Зона III				
1	$0,15 \cdot 10^1$	$0,39 \cdot 10^1$	$0,14 \cdot 10^{-1}$	$0,19 \cdot 10^{-1}$
4	$0,2 \cdot 10^1$	$0,72 \cdot 10^1$	$0,21 \cdot 10^{-1}$	$0,23 \cdot 10^{-1}$
6	$0,22 \cdot 10^1$	$0,38 \cdot 10^1$	$0,16 \cdot 10^{-1}$	$0,59 \cdot 10^{-1}$
7	$0,12 \cdot 10^1$	$0,49 \cdot 10^1$	$0,17 \cdot 10^{-1}$	$0,18 \cdot 10^{-1}$
Зона IV				
52	$0,41 \cdot 10^1$	$0,12 \cdot 10^2$	$0,95 \cdot 10^{-1}$	$0,1 \cdot 10^0$
53	$0,25 \cdot 10^1$	$0,85 \cdot 10^1$	$0,42 \cdot 10^{-1}$	$0,2 \cdot 10^0$
55	$0,94 \cdot 10^1$	$0,5 \cdot 10^1$	$0,12 \cdot 10^{-1}$	$0,11 \cdot 10^0$
56	$0,59 \cdot 10^1$	$0,25 \cdot 10^2$	$0,18 \cdot 10^1$	$0,22 \cdot 10^{-1}$
61	$0,7 \cdot 10^2$	$0,19 \cdot 10^3$	$0,57 \cdot 10^1$	$0,5 \cdot 10^0$

Номер пробы	Железо (FeCO ₃)	Цинк (смитсонит)	Свинец (церуссит)	Медь (малахит)
<i>Глубинные рассолы (РОГУН)</i>				
1	$0,38 \cdot 10^4$	$0,14 \cdot 10^5$	$0,21 \cdot 10^5$	$0,35 \cdot 10^2$
2	$0,68 \cdot 10^4$	$0,25 \cdot 10^5$	$0,37 \cdot 10^4$	$0,57 \cdot 10^2$
3	$0,11 \cdot 10^{12}$	$0,31 \cdot 10^{12}$	$0,15 \cdot 10^{11}$	$0,29 \cdot 10^7$
4	$0,59 \cdot 10^{12}$	$0,18 \cdot 10^{13}$	$0,16 \cdot 10^{12}$	$0,17 \cdot 10^8$
<i>Рудные воды сульфидных месторождений</i>				
97	$0,78 \cdot 10^{14}$	$0,22 \cdot 10^{15}$	$0,19 \cdot 10^{11}$	$0,19 \cdot 10^{12}$
98	$0,65 \cdot 10^{15}$	$0,11 \cdot 10^{16}$	$0,13 \cdot 10^{12}$	$0,19 \cdot 10^{13}$
99	$0,33 \cdot 10^{15}$	$0,15 \cdot 10^{13}$	$0,31 \cdot 10^9$	$0,78 \cdot 10^{10}$
<i>Ореольные (околонейтральные) воды сульфидных месторождений</i>				
35	$0,85 \cdot 10^1$	$0,17 \cdot 10^2$	$0,39 \cdot 10^{-1}$	$0,51 \cdot 10^0$
37	$0,24 \cdot 10^1$	$0,46 \cdot 10^1$	$0,12 \cdot 10^{-1}$	$0,19 \cdot 10^0$
38	$0,35 \cdot 10^1$	$0,77 \cdot 10^1$	$0,21 \cdot 10^{-1}$	$0,18 \cdot 10^0$
39	$0,18 \cdot 10^1$	$0,34 \cdot 10^1$	$0,84 \cdot 10^{-2}$	$0,24 \cdot 10^0$
40	$0,25 \cdot 10^1$	$0,47 \cdot 10^1$	$0,12 \cdot 10^{-1}$	$0,18 \cdot 10^0$

центраций растворенных компонентов, как правило, недостаточно.

В отличие от вод предыдущей зоны здесь при росте общей минерализации уменьшается количество кремневой кислоты и органического вещества. Идет на убыль количество мигрирующих металлоорганических комплексов, увеличивается доля неорганических, а основную долю среди последних занимают свободные ионы, не связанные в комплексы. Однако рост pH, общей карбонатности обстановки увеличивает комплексообразование элементов. В этой зоне концентрации органических веществ возрастают в водах нижних частей рельефа. Здесь металлоорганические комплексы могут, видимо, удерживать ощутимую долю рудных элементов.

Контрастность гидрогохимических полей месторождений или других локальных проявлений (например, интрузий) этой зоны высока, различаются также и состояния элементов. Состояния элементов в водах этой зоны, а также в гидрогохимических полях уральских медно-колчеданных месторождений, редкометальных, связанных с кислыми породами, серпентинитов и угольных месторождений, приведены в табл. 59.

Максимально возможные концентрации, рассчитанные из условий равновесия с твердой фазой, по сравнению с зоной I резко уменьшены. Контрольными минералами для рудных элементов во всех случаях являются карбонаты. Проявление карбонатного барьера, ограничивающего концентрации элементов для этой зоны, очевидно. Выпадение аутигенных минералов для этой

Таблица 59

Состояние элементов в водах зоны II и гидрохимических полях некоторых локальных природных объектов, расположенных в этой зоне (уменьшение доли состояния элемента сверху вниз)

Объект исследования	Cu	Zn	Pb	Fe	Sn	Be	Al	F	As
Пресные воды зоны II	Cu^{2+} CuCO_3^0 CuOH^+ CuHCO_3	Zn^{2+}	Pb^{2+} PbOH^+	Fe^{2+} Fe(OH)_3^0	Sn(OH)_3^{3+}	Be^{2+} BeOH^+	Al(OH)_3^0	F^-	As
Медно-колчеданные месторождения Урала	CuSO_4^0 Cu^{2+} $\text{Cu}(\text{SO}_4)_2^2-$	ZnSO_4^0 Zn^{2+} $\text{Zn}(\text{SO}_4)_2^{2-}$	PbSO_4^0 Pb^{2+} $\text{Pb}(\text{SO}_4)_2^{2-}$	FeSO_4^0 Fe^{2+} $\text{Fe}(\text{SO}_4)_2^{2-}$	Sn^{4+} SnO^{2+}	Be^{2+}	Al^{3+} $\text{AlSO}_4^{\frac{1}{2}}$ Al(OH)_3^0 Al(OH)_2^{2+}	F^-	H_2AsO_4^- HAsO_4^{2-}
Редкометальные месторождения, связанные с гранитоидами	Cu^{2+}	Zn^{2+}	Pb^{2+}	Fe^{2+}	SnF_6 Sn(OH)_3^{3+}	BeF^+	Al(OH)_3^0	F^-	AsO_4^{3-}
Серпантини	CuCO_3^0 Cu^{2+}	ZnCO_3^0 ZnOH^+ Zn^{2+}	PbOH^+ PbCO_3^0 Pb^{2+}	FeCO_3^0 Fe^{2+}	Sn	Be(OH)^+ BeCO_3^0	$\text{Al(OH)}_2^{\frac{1}{2}}$	F^-	AsO_4^{3-} HAsO_4^{2-}
Угольные месторождения Кизеловского бассейна (сильно пиритизированные высокозернистые угли)	CuSO_4^0 $\text{Cu}(\text{SO}_4)_2^{2-}$ Cu^{2+}	ZnSO_4^0 Zn^{2+} ZnSO_4^0	PbSO_4^0 Pb^{2+} $\text{Pb}(\text{SO}_4)_2^{2-}$	Fe^{2+} FeSO_4^0 $\text{Fe}(\text{SO}_4)_2^{2-}$ $\text{Fe}(\text{SO}_4)_4^4$	Sn^{4+} Sn^{2+}	Be^{2+}	Al^{3+} $\text{AlSO}_4^{\frac{1}{2}}$ $\text{Al}(\text{SO}_4)_2^-$	-	H_2AsO_4^- H_3AsO_4^0

* Анализы воды предоставлены Л.И. Рохлиным.

зоны ограничено малыми концентрациями составляющих компонентов (рис. 14).

В гидрогеохимических полях рудных месторождений зоны II возникает специфический состав вод, влияющий на условия миграции, состояния элементов в водах и на возможности их накопления. Особенно ярко это проявляется для сульфидных месторождений. Табл. 59 демонстрирует, как в водах колчеданных месторождений (Урал) и высокосернистых углей меняются состояния элементов, а также возрастающие возможности их накопления в водах. Однако за пределами месторождений вы-

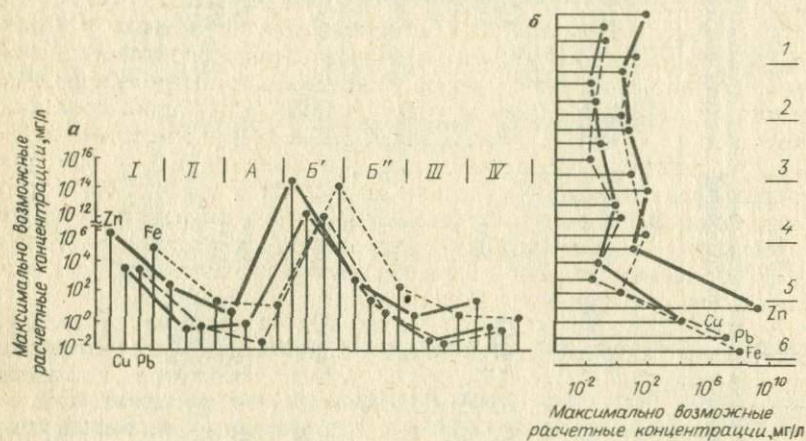


Рис. 14. Влияние горизонтальной (а) и вертикальной (б) гидрологических (гидрохимических) зональностей на состояние рудных элементов и возможности накопления их концентраций.

Зоны: I - Zn^{2+} , $ZnOB$, Cu^{2+} , $CuOB$, Pb^{2+} , $PbOB$, Fe^{2+} , $FeOB$; II - Zn^{2+} , Cu^{2+} , $CuCO_3^0$, $CuOH^+$, Pb^{2+} , $PbOH^+$, Fe^{2+} , $Fe(OH)_3$; III - Zn^{2+} , $Zn(SO_4)_2^2-$, $ZnSO_4^0$, $CuCO_3^0$, $Cu(CO_3)_2^{2-}$, $PbOH^+$, $PbSO_4^0$, Pb^{2+} , Fe^{2+} , $FeSO_4^0$, $FeOH_3^0$; IV - $Zn(SO_4)_2^{2-}$, Zn^{2+} , $ZnSO_4^0$, $Cu(CO_3)_2^{2-}$, $CuCO_3^0$, $PbCl^0$, $PbSO_4^0$, $PbOH^+$, Fe^{2+} , $FeSO_4^0$, $Fe(OH)_3^0$; A - ореольные малосульфидные месторождения (Zn^{2+} , $ZnCO_3^0$, $CuCO_3^0$, Cu^{2+} , $CuOH^+$, Pb^{2+} , $PbHCO_3^0$, $PbOH^+$, Fe , $FeHCO_3^0$, $Fe(OH)_3^0$); B - сульфидное месторождение в зоне II: Б - рудные воды ($Zn(SO_4)_2^{2-}$, $ZnSO_4^0$, Zn^{2+} , $CuSO_4^0$, Cu^{2+} , $Cu(SO_4)_2^{2-}$, $PbSO_4^0$); B' - Pb^{2+} , $Pb(SO_4)_2^{2-}$, $PbSO_4^0$, Fe^{2+} ; Б' - ореольные сульфидные месторождения (Zn^{2+} , $ZnSO_4^0$, $CuSO_4^0$, Cu^{2+} , Pb^{2+} , $PbSO_4^0$, $PbOH^+$, Fe^{2+} , $Fe(OH)_3^0$, $FeSO_4^0$); I - пресные грунтовые воды, гидрокарбонатные, с минерализацией до 1 г/л (Zn^{2+} , Cu^{2+} , $CuCO_3^0$, $CuOH^+$, Pb^{2+} , $PbOH^+$, Fe^{2+} , $Fe(OH)_3^0$); 2 - солоноватые воды, сульфатно-хлоридные, минерализация 1-3 г/л (Zn^{2+} , $ZnSO_4^0$, $CuCO_3^0$, $Cu(CO_3)_2^{2-}$, $CuOH^+$, Pb^{2+} , $PbOH^+$, Fe^{2+} , $FeSO_4^0$, $FeCO_3^0$); 3 - слабосоленые воды, сульфатно-хлоридные, минерализация 3-10 г/л (Zn^{2+} , $ZnSO_4^0$, $Zn(SO_4)_2^{2-}$, $CuCO_3^0$, $Cu(CO_3)_2^{2-}$, $PbOH^+$, Pb^{2+} , $PbSO_4^0$, Fe^{2+} , $FeSO_4^0$, $Fe(OH)_3^0$); 4 - соленые воды, хлоридно-сульфатные, минерализация более 10 г/л (Zn^{2+} , $ZnSO_4^0$, $Cu(CO_3)_2^{2-}$, $CuCO_3^0$, $PbCl^+$, $PbCl_2^0$, Fe^{2+} , $FeSO_4^0$, $Fe(OH)_3^0$); 5 - морская вода (Zn^{2+} , $Zn(SO_4)_2^{2-}$, $ZnCl^+$, $Cu(CO_3)_2^{2-}$, $CuCO_3^0$, Cu^{2+} , $PbCl^+$, $PbCl_2^0$, Pb , $PbOH^+$, Fe^{2+} , $FeCl^+$, $FeSO_4^0$, $FeCO_3^0$); 6 - хлоридные рассолы ($ZnCl_2^0$, $ZnCl^+$, $CuCl_2^0$, $CuCl^+$, $PbCl_2^0$, $PbCl^+$, $FeCl^+$).

падение карбонатов снова контролирует накопление рудных элементов (см. рис. 14). Образно говоря, карбонатным геохимическим барьером окружено каждое окисляющееся месторождение. Этот барьер препятствует рассеянию элементов в истинно растворенном состоянии.

Зона III, переходная от области выщелачивания к области континентального засоления, отличается от предыдущей прежде всего повышенной минерализацией грунтовых вод, сульфатностью их и повышенным количеством органического вещества. В этой зоне увеличиваются возможности выпадения вторичных минералов вследствие насыщения и пересыщения вод. Налицо большее разнообразие состояний элементов в подземных водах (табл. 60). Формированию значительных концентраций элементов в гидро-геохимических полях рудных месторождений препятствует сорбция микроэлементов из вод выпадающими вторичными минералами, прежде всего карбонатами и гидроксидами. Сравнение состояний элементов в фоновых водах зоны III и в гидро-геохимических полях сульфидных месторождений показывает, что в них преобладают идентичные сульфатные формы Zn, Pb, Cu, Cd и других халькофильных элементов. Таким образом, наблюдается влияние химического состава вод зоны на состояние элементов в гидро-геохимических полях и своеобразная "нивелировка" их состояний для сульфидных месторождений.

В зоне III (см. табл. 58) столь же интенсивно продолжает действовать карбонатный барьер, препятствуя накоплению в водах значительных концентраций рудных элементов. Интересно отметить развитие содовых вод в степных ландшафтах. Состояния элементов, рассчитанные для проб подземных вод Кулундинской степи, приведены в табл. 61; налицо специфика водорасторимых форм элементов под влиянием специфического состава вод.

Зона IV - это уже область континентального засоления. Возрастают минерализация грунтовых вод, концентрации в них сульфатов и особенно хлоридов, pH до 7,5 и выше. Еще более уменьшается количество органических веществ. Здесь ярко проявлены процессы осаждения вторичных минералов (см. рис. 14). Активно осаждаются гипс, доломит, кальцит, карбонаты железа, марганца, меди, гидроксиды алюминия, которые к тому же сорбируют микроэлементы из вод. В составе этой зоны выделяются подзоны сульфидно-хлоридных и преимущественно хлоридных вод с минерализацией 10-30 г/л.

Различия между состояниями элементов в подземных водах этих подзон видны из табл. 61, но главное, что следует отметить, - это увеличение доли комплексных соединений в подземных водах (доля определенного состояния для каждого элемента уменьшается сверху вниз).

Воды зоны континентального засоления - активная среда, определяющая неорганические состояния элементов в подземных водах. Если в первых двух зонах состояния элементов в гид-

Таблица 60

Основные состояния некоторых рудных элементов в водах зоны III и в гидрогоеохимических полях некоторых месторождений, расположенных в этой зоне (уменьшение доли состояния для каждого элемента сверху вниз)

Объект исследования	Cu	Zn	Pb	Fe	Al	Cd	Co	As
Воды зоны III	CuCO_3^0 $\text{Cu}(\text{CO}_3)_2^{2-}$	Zn^{2+} $\text{Zn}(\text{SO}_4)_2^{2-}$ ZnSO_4^0	PbOH^+ PbSO_4^0 Pb^{2+} FeCO_3^0 $\text{Pb}(\text{SO}_4)_2^{2-}$ $\text{Fe}(\text{OH})_3^0$	Fe^{2+} FeSO_4^0 Fe^{2+} $\text{Fe}(\text{SO}_4)_2^{2-}$ Fe^{3+} FeSO_4^-	Al(OH)_3^0	Cd^{2+} CdSO_4^0 CdF^+	Co^{2+} CoSO_4^0	AsO_4^{3-} HAsO_4^{2-}
Сульфидные	CuSO_4^0 $\text{Cu}(\text{SO}_4)_2^{2-}$ Cu^{2+}	Zn^{2+} ZnSO_4^0 $\text{Zn}(\text{SO}_4)_2^{2-}$	PbSO_4^0 Pb^{2+} $\text{Pb}(\text{SO}_4)_2^{2-}$	Fe^{2+} FeSO_4^0 $\text{Fe}(\text{SO}_4)_2^{2-}$ Fe^{3+} FeSO_4^-	Al(OH)_3^0 AlSO_4^+ Al^{3+} $\text{Al}(\text{SO}_4)_2^-$	Cd^{2+} CdSO_4^0	Co^{2+} CoSO_4^0 $\text{Co}(\text{SO}_4)_2^{2-}$	H_2AsO_4^- HAsO_4^{2-}
Угольные месторождения Донбасса	CuCO_3^0 $\text{Cu}(\text{CO}_3)_2^{2-}$ Cu^{2+} CuHCO_3^{\pm} CuCl^+	Zn^{2+} ZnSO_4^0 ZnCl^+ PbSO_4^0	PbCl^+ Pb^{2+} PbCl_2^0 Fe^{2+}	Fe^{2+} FeCl^+ FeSO_4^0 $\text{Fe}(\text{OH})_3^0$	Al(OH)_3^0 AlF^{2+} AlHCO_3^{2+}	CdCl^+ CdCl_2^0	Co^{2+} CoSO_4^0	HAsO_4^{2-} H_2AsO_4^-

* Анализы воды предоставлены Л.И. Рохлиным.

Таблица 61

Состояния элементов подземных вод некоторых зон

Элемент	Кулундинская степь	Зона преимущественно сульфатно-хлоридных вод (зона IV)	Зона преимущественно хлоридно-сульфатных вод (зона IV)
K	K^+	-	-
Na	Na^+	-	-
Ca	Ca^{2+} ; $CaCO_3^0$	-	-
Mg	Mg^{2+}	-	-
Fe	$Fe(CO_3)^{\frac{2}{2}-}$; $FeCO_3^0$	Fe^{2+} ; $FeSO_4^0$; $FeCO_3^0$ $Fe(OH)^{\frac{3}{2}-}$	Fe^{2+} ; $FeSO_4^0$; $FeCl^+$ $Fe(OH)^{\frac{3}{2}-}$
Zn	$ZnCO_3^0$; $Zn(CO_3)^{\frac{2}{2}-}$	$ZnSO_4^0$; Zn^{2+} $Zn(SO_4)^{\frac{2}{2}-}$	Zn^{2+} ; $Zn(SO_4)^{\frac{2}{2}-}$ $ZnSO_4^0$
Cu	$Cu(CO_3)^{\frac{2}{2}-}$	$Cu(CO_3)^{\frac{2}{2}-}$; $CuCO_3^0$	$Cu(CO_3)^{\frac{2}{2}-}$; $CuCO_3^0$
Pb	$PbOH^+$; $PbCO_3^0$; $Pb(CO_3)^{\frac{2}{2}-}$	$PbSO_4^0$; $PbSO_4$; $PbOH^+$; $PbCl^+$; Pb^{2+} ; $PbCl_2^0$ $PbSO_4^0$	
Cd	$CdCO_3^0$; Cd^{2+} ; $Cd(CO_3)^{\frac{2}{2}-}$ $CdHCO_3^{\frac{1}{2}}$	$CdCl^+$; Cd^{2+} ; $CdSO_4^0$ $Cd(SO_4)^{\frac{2}{2}-}$	$CdCl_2^0$; $CdCl^+$
Co	$CoCO_3$; Co^{2+} ; $Co(CO_3)^{\frac{2}{2}-}$ $CoHCO_3^{\frac{1}{2}}$	Co^{2+} ; $CoSO_4^0$ $Co(SO_4)^{\frac{2}{2}-}$	Co^{2+} ; $CoSO_4^0$
Mn	$MnCO_3^0$; $Mn(CO_3)^{\frac{2}{2}-}$; Mn^{2+} $MnHCO_3^{\frac{1}{2}}$	-	-
Al	$Al(OH)^{\frac{3}{2}-}$	-	-
Fe ³⁺	$FeOH^{\frac{3}{2}-}$	-	-
Sn	-	$Sn(OH)^{3+}$	$Sn(OH)^{3+}$
F	-	F^-	F^-

рогохимическом поле месторождений определялись спецификой выветривающихся пород и руд локальных объектов, отличающихся по своим геохимическим характеристикам от окружающих образований, то, начиная от переходной зоны к югу, химический состав подземных вод все активнее влияет на состояния химических элементов и в конце концов определяет условия неорганического комплексообразования. Формирование же элементов органических комплексов имеет обратную направленность, и на локальных объектах самой северной зоны среда наиболее интенсивно влияет на увеличение доли органических комплексов. Надо сказать, что этот вывод кроме узкоспециального значения для данной работы имеет также и экологический смысл.

Таким образом, зоны горизонтальной гидрогеологической зональности отличаются не только своеобразием химического состава подземных вод, но и формами нахождения элементов в них. Эти формы усложняются, увеличивается разнообразие неорганических состояний с севера на юг и органических в обратном направлении.

Из сказанного следует, что наряду с широтной зональностью химического состава подземных вод зоны гипергенеза можно говорить о подобной же зональности состояний химических элементов в подземных водах.

Для всех зон кроме самой северной огромное значение имеет карбонатный геохимический барьер, контролирующий возможности накопления рудных элементов в ореольных и фоновых водах. Этот барьер преодолевается в пределах рудных и рудничных вод гидрохимических полей интенсивно окисляющихся сульфидных месторождений (см. рис. 14, табл. 58) - резко возрастают максимальные возможные равновесные концентрации.

Влияние вертикальной гидрохимической зональности на формирование гидрохимических полей рудных месторождений

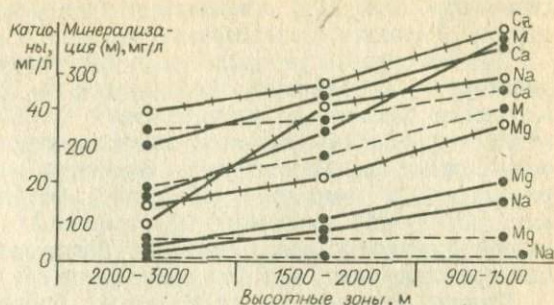
Феномен вертикальной гидрохимической зональности заключается в последовательной смене сверху вниз от поверхности земли пресных гидрокарбонатных вод гидрокарбонатно-сульфатными и сульфатными слабосолоноватыми водами, затем сульфатно-хлоридными и хлоридно-сульфатными солоноватыми и, наконец, солеными водами и рассолами хлоридного натриевого и кальциевого состава нижних горизонтов артезианских бассейнов.

В пределах зоны гипергенеза вертикальная зональность обычно ограничивается снизу сульфатно-хлоридными водами, а верхняя (пресноводная) ее часть может быть детализирована, особенно в пределах горноскладчатых областей.

В горноскладчатых областях отчетливо прослеживается высотная гидрохимическая зональность или поясность, суть которой состоит в постепенном накоплении общей минерализации и основных ионов от высоких абсолютных отметок к низким. В этом же направлении увеличиваются концентрации макропримонентов в гидрохимических полях рудных месторождений (рис.15), растут и фоновые концентрации многих рудных элементов, прежде всего благодаря комплексообразованию.

Н.М. Рассказов и В.Г. Спирин отмечают, что для Западной Сибири один и тот же тип рудной минерализации фиксируется разными по содержанию элементов водными ореолами рассеяния, выходящими на поверхность на разных гипсометрических уровнях. В частности, они выделяют самую верхнюю зону, где рудные тела сильно выщелочены и дают слабые потоки рассеяния рудных элементов. Под ней находится наиболее продуктивная в

Рис. 15. Влияние высотной гидрогохимической зональности на химический состав вод рудных месторождений в горноскладчатых областях, Средняя Азия (по Н.И. Еникееву)



смысле формирования ореола рассеяния зона, где в настоящее время окисляется основная масса руды. В нижней зоне рудные тела находятся в контакте с водами повышенной минерализации с низким содержанием кислорода, пониженным значением Еh. Концентрации рудных элементов в этой зоне существенно уменьшены.

С целью выяснения гидрогохимической структуры вертикальной гидрогохимической зональности, так же как и для горизонтальной зональности, произведены термодинамические расчеты состояний элементов, накопления их концентраций в равновесии с твердой фазой и возможности аутигенного минералообразования (степень насыщенности для основных вторичных минералов) по конкретным пробам воды.

Полевые наблюдения вторичных минералов и химического состава вод вертикальных зон, а также приведенные расчеты позволяют сказать следующее. Сверху вниз вместе с ростом минерализации вод увеличивается и разнообразие комплексных соединений, в которых переносятся рудные элементы. Отметим также, что контроль их концентраций в водах с учетом комплексообразования осуществляется карбонатными минералами с соответствующими максимумами возможного накопления, порядок которых для отдельных вертикальных зон достаточно близок (см. табл. 58, рис. 14). Однако картина резко изменяется, если "продолжить" вертикальную зональность за зону гипергенеза. В глубинах, где распространены высокоминерализованные воды, резко увеличивается доля хлоридных комплексов рудных элементов, вследствие чего образуется высокий дефицит насыщения и преодолевается карбонатный барьер, резко возрастают максимальные расчетные концентрации в равновесии с твердыми карбонатами и возникает возможность накопления рудных элементов в рассолах [11]. Вторичное минералообразование ограничено здесь гипсом; ни гидроксиды, ни карбонаты металлов не выпадают из раствора (см. рис. 14).

Однако выше распространения этих вод, т.е. практически на всю мощность зоны гипергенеза (исключая самые верхние части

северных областей), контроль концентраций карбонатными минералами фактически безразделен.

Таким образом, во всей зоне гипергенеза весьма эффективно действует карбонатный геохимический барьер, не давая возможности накопиться значительным концентрациям рудных элементов в фоновых водах и гидродинамической зоне ореольных вод рудных месторождений. Особенно наглядно это демонстрируется на примерах рассеяния окисляющихся сульфидных месторождений; сравнение максимальных равновесных концентраций рудных и ореольных вод показывает, что высокие концентрации рудных вод "не выпускаются" за пределы ореола.

Однако фактически карбонатный барьер в гипергенной зоне работает еще более интенсивно. Полевые наблюдения в пределах зон минерализаций (и даже вне их в аридной зоне) отмечают аутигенные карбонаты и даже сульфаты (англезит) металлов в тех местах, где свободные гравитационные воды не несут необходимых концентраций компонентов, составляющих минерал. Такого рода вторичное минералообразование связано с формированием достаточных концентраций компонентов в поровых водах вблизи окисляющихся минеральных зерен и развитием в близлежащих порах либо на самом зерне аутигенного минерала, часто нацело замещающего сульфидный. Естественно, что в воду переходит концентрация металла, определяемая контролльным минералом. Важно отметить также, что за редким исключением этот барьер проявлен регионально и действует практически в любой точке зоны гипергенеза.

В гипергенной зоне, особенно в верхней ее части, действует еще один барьер, ограничивающий накопление концентраций элементов в водах, - сорбционный, отмечаемый во многих работах, но почти не изученный количественно.

Влияние гидрогеологического строения на формирование гидрохимических полей рудных месторождений

Влияние это главным образом определяется типом гидрогеологических структур. Последние подразделяются на два основных класса:

1) гидрогеологические массивы, в которых все типы подземных вод (трещинные, трещинно-жильные, поровые) гидравлически связаны и часто образуют единый водоносный комплекс гидрогеологического массива (цокольные выступы фундамента, орогенные горноскладчатые сооружения геосинклинальных систем, инъекционные магматогенные тела);

2) бассейны подземных вод, представляющие собой систему переслаивающихся отложений, лежащих на фундаменте и включающих несколько водоносных горизонтов или комплексов, воды которых имеют часто сильно отличающийся химический состав (крупные артезианские бассейны платформ или краевых про-

гибов, артезианские бассейны межгорных впадин осадочного чехла срединных массивов геосинклинальных областей).

По гидрогеологическим условиям формирования гидрогеохимические поля рудных месторождений целесообразно разделить на три типа:

1) открытые, когда поле наиболее интенсивно формируется в первом от поверхности водоносном горизонте (и поверхностных водах) либо полностью внедряется в этот горизонт и выражено в нем;

2) полузакрытые, когда поле лишь частично формируется в первом от поверхности водоносном горизонте (и поверхностных водах);

3) закрытые, когда поле никак не выражено в первом от поверхности водоносном горизонте.

В условиях гидрогеологического массива в большинстве случаев формируется гидрохимическое поле открытого типа, в условиях же бассейнов пластовых вод гидрохимические поля чаще полузакрытые и закрытые.

Подавляющее большинство исследовательских и поисковых работ выполняется на открытых гидрохимических полях, что связано с высоким удельным весом геолого-поисковых работ в горнокладчатых областях, где облегчены поиски месторождений. Работы и специальных исследований полузакрытых и особенно закрытых гидрохимических полей очень мало и касаются они прежде всего межгорных впадин, осадочного чехла срединных массивов и предгорий, представляющих собой окраинные части малых и больших артезианских бассейнов.

Гидрогеологические условия формирования гидрохимических полей массивов трещинных вод достаточно ясны. Они полностью определяются влиянием горизонтальной и вертикальной зональностей верхней трещиноватой зоны. Гораздо сложнее эти условия в бассейнах пластовых и пластово-трещинных (адбассейны) вод. Здесь кроме зональности ярче выражено влияние динамики вод, процессов в системе вода - порода (обменные реакции, сорбция, выпадение аутигенных минералов), индивидуальных свойств водоносных горизонтов (химического состава вод, пористости, состава пород и др.), да и сама зональность выражена рельефнее, нежели в гидрогеологических массивах.

Гидрохимическими исследованиями в этих условиях охвачены неглубоко залегающие месторождения.

Гидрохимическим опробованием скважин Г.А. Головой показано, что с увеличением глубины залегания рудных тел в водах рудных полей уменьшается количество свободного кислорода. Это, как известно, определяет практически основные черты геохимической зональности. С глубиной уменьшается ОВП, что приводит к перестройке всех процессов: уменьшается роль микробиологических процессов, окисление руд ограничивается и возрастает роль электрохимического растворения. Для менее

глубоко залегающих рудных тел окисление остается интенсивным, интенсифицируются процессы микробиологического окисления и выпадения аутигенных минералов. В соответствии с ОВП изменяется валентность железа и меди, а следовательно, и их состояния в водах.

Схема формирования полузакрытого гидрогеохимического поля, лишь частично проявляющегося в поверхностных источниках (аридный район, месторождение Айнак), приведена на рис. 16. Здесь мощное медно-колчеданное тело вскрыто поверхностью в убогой своей части. Наиболее богатые руды скрыты чехлом (до 400 м) неогеновых отложений.

Осложнено формирование гидрогеохимических полей также в пределах межгорных впадин. Это связано с более низкими скоростями движения подземных вод по сравнению с гидрологическим массивом и проявлением вертикальной и горизонтальной гидрологических зональностей, характеризующихся, в частности, быстрой сменой по вертикали зоны окисления восстановительными условиями. Смена условий по вертикали зависит от типа впадин.

В условиях восстановительной обстановки ограниченная миграция установлена для элементов Cu, Ti, хорошая - для Fe и Mn. Другие элементы в водах часто не обнаруживаются. Е.А. Пономарев отмечает, что, несмотря на перекрытие пород фундамента чехлом рыхлых мезокайнозойских отложений мощностью до 100 м, установлено наличие сквозных гидрогеохимических аномалий от пород кристаллического фундамента до верхнего водоносного горизонта (на примере редкометальной минерализации, формирующей гидрогеохимические поля, представленные широким комплексом элементов - La, Sc, Nb, Ce, Y, Yb, Be, Sn, Zr, Sr).

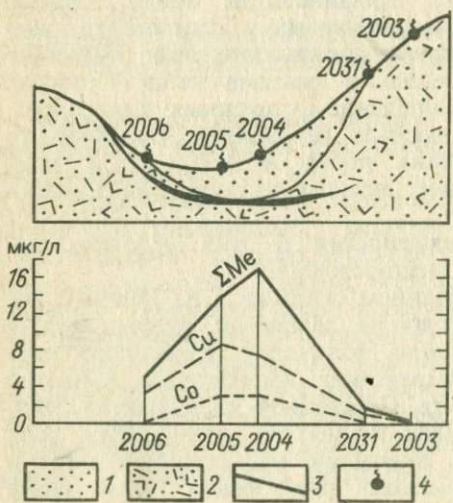


Рис. 16. Схема формирования водного ореола рассеяния месторождения полузакрытого типа, обнаруженного при опробовании источников (медное месторождение Айнак, Средняя Азия):
 1 - рыхлые отложения неогена;
 2 - эфузивно-осадочная метаморфизованная толща; 3 - рудное тело; 4 - источник

Применительно к скрытым и глубокозалегающим месторождениям формирование ореолов рассеяния контролируется в основном обстановкой, создаваемой составом фоновых вод, характером перекрытия, геохимическими характеристиками вмещающих пород и другими факторами.

Одним из основных свойств перекрывающих толщ, влияющих на формирование гидрогеохимического поля, является степень их карбонатности или щелочности, изменяющая кислотно-щелочное равновесие. При значительной карбонатности (щелочности) pH растворов растет, что приводит к изменению состояний элементов, а затем к выпадению аутигенных минералов (см. рис. 14).

В вышележащих рыхлых толщах активно проявлен сорбционный барьер, особенно интенсивно действующий в глинистых отложениях. Активно также влияние литогеохимических барьеров, если оруденение моложе перекрывающей кровли. В этом случае гидрогеохимическое поле чаще всего открывается в первый от поверхности водоносный горизонт. Наконец, огромное значение имеет химический состав вод вышележащих водоносных горизонтов. Большое число вопросов формирования гидрогеохимических полей перекрытых рудных месторождений требует дополнительных исследований.

Так, для Забайкалья, как считают И.С. Ломоносов, В.Г. Ясько и Э.Ф. Жбанов, наиболее благоприятными по условиям формирования гидрогеохимических полей являются вулканогенные впадины (лавы, туфы, игнимбриты). Их можно отнести скорее к адбассейнам, а частично - к гидрогеологическим адмассивам. Здесь выделяются две зоны: 1) зона HCO_3 - Ca, Mg (минерализация до 5 г/л) вод, обогащенных кислородом, с высокими Eh и мощностью в несколько сотен метров; 2) зона HCO_3 - Na бескислородных вод (минерализация 1-5 г/л). Снижение количества свободного кислорода, являющегося основным "пусковым механизмом" всех гипергенных процессов, в этих впадинах фиксируется от 12 мг/л на глубине до 200 м, до 0,5 мг/л на глубине 600 м. Более сложны условия формирования гидрогеохимических полей во впадинах забайкальского и балейского типов, заполненных вулканогенно-терригенными и терригенными отложениями, особенно при наличии органического вещества. Здесь формируются сложные типы зональности. Во внутренних частях впадин в вертикальном и латеральном направлениях окислительная обстановка сменяется глеевой, а затем восстановительной. Смена геохимических обстановок от красевых к центральным частям впадины сопровождается замещением гидрокарбонатно-кальциево-магниевых вод гидрокарбонатно-натриевыми.

На примере Оловского и Зюльзянского бассейнов в Забайкалье этими исследователями установлено: окислительная обстановка весьма благоприятна для миграции Cu, Ni, Zn, Sb, Sn, протяженность потоков рассеяния до нескольких километров

($K_{\text{водн.мигр}} \approx 1-7$), мало благоприятны условия для миграции V, Ag, Cr, Ga, Zr, Ti (размеры ореолов $n \cdot 10^4$ м, $K_{\text{водн.мигр.}} < 1$).

Глеевая обстановка благоприятна для миграции на границе с окислительной обстановкой для Cu, Ni, Pb, Zn, V, Sb, Mo ($K_{\text{водн.мигр.}} > 1$); менее благоприятна для Ag, Cr, Zr, Ti ($K_{\text{водн.мигр.}} < 1$).

ГЕОЛОГО-ГЕОХИМИЧЕСКИЕ УСЛОВИЯ ФОРМИРОВАНИЯ ГИДРОГЕОХИМИЧЕСКИХ ПОЛЕЙ РУДНЫХ МЕСТОРОЖДЕНИЙ

К наиболее важным геологическим факторам, влияющим на гидрогеохимическое поле месторождения, относятся геохимическая характеристика руд и вмещающих пород, а также условия перекрытия рудных тел. Влиянию состава руд на гидро-геохимическое поле выше посвящен большой специальный раздел, поэтому здесь коснемся лишь влияния вмещающих пород и металлогенической зональности.

Влияние вмещающих пород

Это влияние на контрастность и размеры гидро-геохимического поля, определяемое кислотно-щелочными условиями, было отмечено еще в ранних работах.

В зависимости от геологической (металлогенической) ситуации вмещающие породы могут быть изменены имевшими место гидротермальными процессами, что ведет к изменению их химического состава и, в частности, приобретению ими различного рода минеральных вкрапленностей, изоморфному замещению элементов и т.д. Выветривание таких пород приводит, с одной стороны, к изменению миграционной среды, а с другой, к поступлению в воды микроэлементов, приобретенных породами в процессе гидротермализации. Появляются возможности возникновения новых состояний элементов, расширения их комплекса. Тем не менее, главное свойство вмещающих пород, позволяющее влиять на структуру гидро-геохимического поля, - это формирование характерных миграционных сред.

Выделим четыре класса вмещающих пород по особенностям влияния на формирование гидро-геохимических полей рудных месторождений.

1. Аминосилicateные породы, не измененные гидротермальными процессами, не меняющие кислотно-щелочного состояния природных вод и не имеющие минеральных вкрапленностей, привносящих микроэлементы в воды. Для пресных вод основные состояния рудных элементов - простые ионы (табл. 62).

2. Карбонатизированные и карбонатные породы, не измененные гидротермальными процессами, поднимающие pH растворов

Таблица 62

Неорганические состояния некоторых элементов в гидрогоеохимическом поле нейтральных алюмосиликатных пород, %

Состояние элемента	Номер пробы			Состояние элемента	Номер пробы		
	71-2	37-1	38-1		71-2	37-1	38-1
Fe ²⁺	97,2	98,1	97,8	ZnHAsO ₄ ⁰	-	0,1	0,2
FeOH ⁺	0,1	0,2	0,4	Pb ²⁺	87,4	85,8	75,7
FeHCO ₃ [‡]	1,5	1,0	1,0	PbOH ⁺	9,0	12,0	22,7
FeSO ₄ ⁰	0,7	0,1	0,3	PbSO ₄ ⁰	2,3	0,4	0,8
FeCO ₃ ⁰	0,3	0,3	0,6	PbHCO ₃ [‡]	0,8	0,5	0,4
Cu ²⁺	67,8	68,7	55,8	PbCl ⁺	0,5	0,1	0,1
CuOH ⁺	6,9	10,3	16,7	Cd ²⁺	96,1	98,1	97,2
CuSO ₄ ⁰	0,7	0,1	0,2	CdOH ⁺	0,5	0,7	1,5
CuHCO ₃ [‡]	8,6	5,6	4,3	CdSO ₄ ⁰	1,3	0,3	0,5
CuCO ₃ [‡]	15,4	14,2	22,1	CdHCO ₃ [‡]	0,8	0,5	0,5
CuHAsO ₄ ⁰	-	0,1	-	CdCl ⁺	1,3	0,3	0,3
CuФК	0,4	0,4	0,5	AlOH ²⁺	0,6	-	-
Zn ²⁺	97,0	98,0	97,2	Al(OH) ₄ [‡]	0,9	-	0,1
ZnOH ⁺	0,5	0,7	1,5	Al(OH) ₃ [‡]	98,8	100	99,8
ZnSO ₄ ⁰	0,1	0,2	0,4	Fe(OH) ₃ [‡]	99,1	99,7	99,7
ZnHCO ₃ [‡]	1,2	0,8	0,8				

до 8,5 (изредка до 9). Эти породы влияют на состояние элементов (табл. 63), способствуя появлению карбонатных и гидроксокомплексов, и оказывают сильное влияние на формирование гидрогоеохимических полей, препятствуя миграции элементов-халькофилов: невысоки максимально возможные концентрации, рассчитанные из условий равновесия с твердой фазой (табл. 64).

3. Щелочные неизмененные породы, резко поднимающие pH (до 9-12). Для этой группы пород также проявлен карбонатный геохимический барьер (табл. 65). Однако OH-ион выступает в этих условиях как активный лиганд-комплексообразователь для таких элементов, как Nb, Ti, TR, Be. Для Zn, Pb, Cu и других элементов-халькофилов появляется возможность анионной миграции в виде HMeOⁿ⁻, MeO^{m-}.

4. Гидротермально измененные породы, которые при выветривании могут изменять характер миграционной среды или расширять комплекс микроэлементов в гидрогоеохимическом поле. В числе первых, т.е. изменяющих характер среды, наиболее распространены породы:

1) пиритизированные, сдвигающие pH растворов в кислую сторону, что приводит к ощутимой перестройке состояний элементов в гидрогоеохимическом поле, а также изменению условий накопления концентраций в водах рудных элементов и образованию аутигенных минералов (табл. 66);

2) преимущественно магматические, с вкрапленностью флюо-

Таблица 63

Неорганические состояния некоторых элементов в гидрохимическом поле карбонатизированных и карбонатных пород (Дальний Восток), %

Состояние элемента	Номер пробы		Состояние элемента	Номер пробы	
	51-2-П	17сп-1-П		51-2-П	17сп-1-П
Fe ²⁺	63,0	91,0	ZnCO ₃	10,0	0,7
FeOH ⁺	4,2	0,4	Pb ²⁺	16,4	71,9
FeSO ₄	0,23	2,0	PbOH ⁺	72,2	19,7
FeHCO ₃ ²⁻	3,2	4,2	Pb(OH) ₂ ⁻	8,7	0,1
FeCO ₃	28,7	2,4	PbSO ₄	0,21	5,5
Cu ²⁺	1,5	27,7	PbHCO ₃	0,5	2,0
CuOH ⁺	6,7	7,6	PbCO ₃	1,9	0,5
CuHCO ₃ ²⁻	56,1	1,0	Cd ²⁺	75,4	91,6
Cu(OH) ₂	0,8	-	CdOH ⁺	16,6	1,3
CuCO ₃	98,5	50,6	CdSO ₄	0,5	3,7
Cu(CO ₃) ₂ ²⁻	41,9	2,6	CdHCO ₃	1,9	2,1
Zn ²⁺	70,8	91,5	CdCO ₃	4,3	0,3
ZnOH ⁺	15,6	1,3	CdCl ⁺	1,1	0,1
Zn(OH) ₂	0,1	-	Al(OH) ₃	100	100
ZnSO ₄	0,4	3,0	Fe(OH) ₃	100	100
ZnHCO ₃	2,9	3,4			

Таблица 64

Состояние некоторых элементов в гидрохимическом поле щелочных пород (Кольский полуостров), %

Состояние элемента	Номер пробы			Состояние элемента	Номер пробы		
	89-1	90-1	91-1		89-1	90-1	91-1
Fe ²⁺	38,7	41,7	22,1	ZnHPO ₄	0,4	0,8	2,7
FeOH ⁺	13,5	14,4	5,6	Pb ²⁺	2,6	2,6	3,8
FeHCO ₃ ²⁻	0,9	0,8	1,6	PbOH ⁺	60,0	61,0	63,3
FeCO ₃	43,4	38,7	57,0	Pb(OH) ₂	36,4	36,6	30,0
FeHPO ₄	0,7	1,6	3,4	PbCO ₃	0,7	0,6	2,4
FePO ₄	0,2	0,5	0,8	Cd ²⁺	42,3	42,6	43,7
Cu ²⁺	0,4	0,5	-	CdOH ⁺	48,7	48,9	36,6
CuOH ⁺	8,7	11,1	1,4	Cd(OH) ₂	1,1	1,8	1,0
Cu(OH) ₂	5,1	6,8	0,7	CdHCO ₃	0,5	0,4	1,6
CuCO ₃	29,5	31,5	15,0	CdCO ₃	5,9	4,9	14,1
Cu(CO ₃) ₂ ²⁻	56,1	49,9	82,8	CdHPO ₄	0,2	0,4	1,7
Zn ²⁺	38,7	39,5	34,9	CdF ⁺	0,6	0,3	0,2
Zn(OH) ⁺	44,6	45,4	29,2	Al(OH) ₃	100	100	100
ZnHCO ₃	0,8	0,6	2,0	Fe(OH) ₃	100	100	100
ZnCO ₃	13,8	12,5	28,1				

рита, поставляющие в воды при выветривании фтор - очень сильный лиганд, для многих литофильных элементов (Al, Be, Sn, Zr и др.) комплексообразователь, способствующий удержанию этих элементов в растворе;

Таблица 65

Максимально возможные расчетные концентрации компонентов для гидрохимических полей вмещающих пород, мг/л

Номер пробы	Zn (ZnCO ₃)	Cu (CuCO ₃ (OH) ₂)	Pb (PbCO ₃)	Fe (FeCO ₃)	Mn (MnCO ₃)	Pb (Pb(OH) ₂)
<i>Пиритизированные алюмосиликатные породы</i>						
10-1	0,79 · 10 ⁴	0,61 · 10 ²	0,19 · 10 ²	0,39 · 10 ⁴	0,63 · 10 ⁴	-
11-1	0,13 · 10 ⁴	0,14 · 10 ²	0,31 · 10 ¹	0,64 · 10 ³	0,1 · 10 ⁴	-
<i>Нейтральные алюмосиликатные породы</i>						
37-1	0,44 · 10 ¹	0,19 · 10 ⁰	0,12 · 10 ⁻¹	0,24 · 10 ¹	0,35 · 10 ¹	-
38-1	0,75 · 10 ¹	0,20 · 10 ⁰	0,21 · 10 ⁻¹	0,35 · 10 ¹	0,54 · 10 ¹	-
<i>Карбонатизированные и карбонатные</i>						
51-2-П	0,8 · 10 ⁰	0,2 · 10 ⁻²	0,81 · 10 ⁻²	0,4 · 10 ⁰	0,5 · 10 ⁻²	-
17сп 1-П	0,11 · 10 ²	0,1 · 10 ⁰	0,3 · 10 ⁻¹	0,54 · 10 ¹	0,86 · 10 ¹	-
<i>Щелочные породы</i>						
89-1	0,6 · 10 ⁰	0,99 · 10 ⁻²	0,2 · 10 ⁻¹	0,3 · 10 ⁰	-	0,79 · 10 ⁻³
90-1	0,71 · 10 ⁰	0,84 · 10 ⁻²	0,33 · 10 ⁰	0,29 · 10 ⁰	-	0,79 · 10 ⁻³
91-1	0,25 · 10 ⁰	0,39 · 10 ⁻¹	0,61 · 10 ⁻²	0,23 · 10 ⁰	-	0,97 · 10 ⁻³

П р и м е ч а н и е. В скобках - контрольный минерал.

Таблица 66

Состояния некоторых элементов в гидрохимическом поле пиритизированных песчано-сланцевых пород, %

Состояние элемента	Номер пробы		Состояние элемента	Номер пробы	
	10-1	11-1		10-1	11-1
Fe ²⁺	96,5	95,8	PbSO ₄	9,2	7,5
FeSO ₄	2,8	2,3	PbHCO ₃	0,33	1,0
FeHCO ₃	0,6	1,8	PbCl ⁺	0,56	-
FeOH ²⁺	5,0	1,6	Cd ²⁺	93,3	93,7
Fe(OH) ₂ ²⁻	19,8	3,0	CdSO ₄	5,3	4,0
Fe(OH) ₃	74,4	85,9	CdHCO ₃	0,29	0,9
Cu ²⁺	91,1	82,7	CdCl ⁺	1,4	-
CuOH ⁺	0,25	0,41	Al ³⁺	22,7	33,8
CuSO ₄	3,9	2,8	Al(OH) ₂ ⁺	27,6	-
CuHCO ₃	4,5	12,7	Al(OH) ₂	0,37	-
CuCO ₃	0,22	12,2	Al(OH) ₃	3,5	9,3
Zn ²⁺	95,0	94,9	AlSO ₄	3,4	1,0
ZnSO ₄	4,2	3,4	AlHCO ₃ ²⁺	37,8	46,4
Zn(SO ₄) ₂ ²⁻	0,24	3,4	Al(HCO ₃) ₂	3,1	-
ZnHCO ₃	0,47	1,5	AlHAsO ₄	0,62	0,39
Pb ²⁺	89,2	90,4	AlAsO ₄	0,26	0,31
PbOH ⁺	0,24	0,46	AlF ²⁺	0,16	-

- 3) карбонатизированные;
- 4) гидротермально измененные, не влияющие на кислотно-щелочное равновесие вод, но расширяющие комплекс элементов в гидрогеохимическом поле рудного месторождения, особенно часто за счет поставления элементов-гидролизатов.

Из изложенного следует, что основным фактором влияния вмещающих пород на миграцию рудных элементов и их состояния в водах является создаваемое ими кислотно-щелочное равновесие. Результаты физико-химических расчетов для проб, характеризующих различные классы вмещающих пород, создающих различные pH в условиях пресных вод, приведены на рис. 17. Высчитаны состояния элементов, а также максимально возможные равновесные концентрации их по отношению к контрольным минералам.

Результаты расчетов приводят к следующим основным выводам.

1. Вмещающие породы влияют на состояния и миграционные способности элементов в водах. Слабокислые или околонейтральные среды, создаваемые алюмосиликатными или пиритизированными породами, способствуют миграции в виде простых ионов. Это, в частности, облегчает анализ рудных элементов в водах. По мере сдвига pH в щелочную сторону увеличивается закомплексованность рудных элементов за счет гидроксокомплексов. Дальнейший рост щелочности растворов, создаваемый вмещающими породами, приводит к уменьшению содержаний свободных ионов рудных элементов при одновременном росте гидроксо- (Zn, Pb, Cd, Co) и карбонатных (Fe, Cu, Mn) комплексов.

2. Увеличение щелочности приводит к активизации карбонатного геохимического барьера, снижающего возможности накопления в растворе рудных элементов. Контрольными минералами в этих условиях являются исключительно карбонаты, а максимально возможные расчетные концентрации ограничены, так как уменьшаются в ряду пород с повышающейся щелочностью.

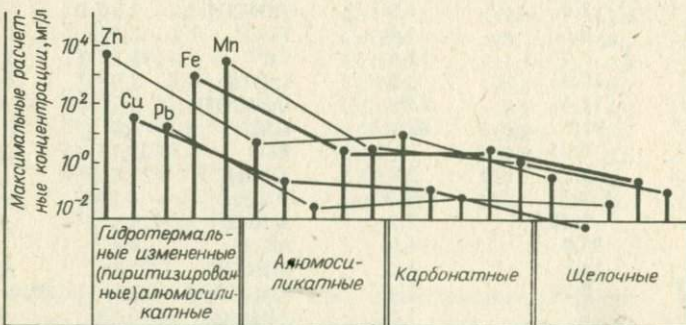


Рис. 17. Максимальные расчетные концентрации Zn, Cu, Pb, Fe, Mn в фоновых водах для различного типа пород

Влияние металлогенической зональности

Это влияние проявлено в гидрогохимических полях рудных месторождений чрезвычайно ярко и разномасштабно в соответствии с характером зональности: от региональных закономерностей значительных блоков земной коры до локальных конкретного месторождения. Влияние это оказывается как на комплексе элементов в связи со сменой типов руд, так и на концентрациях их в водах месторождений.

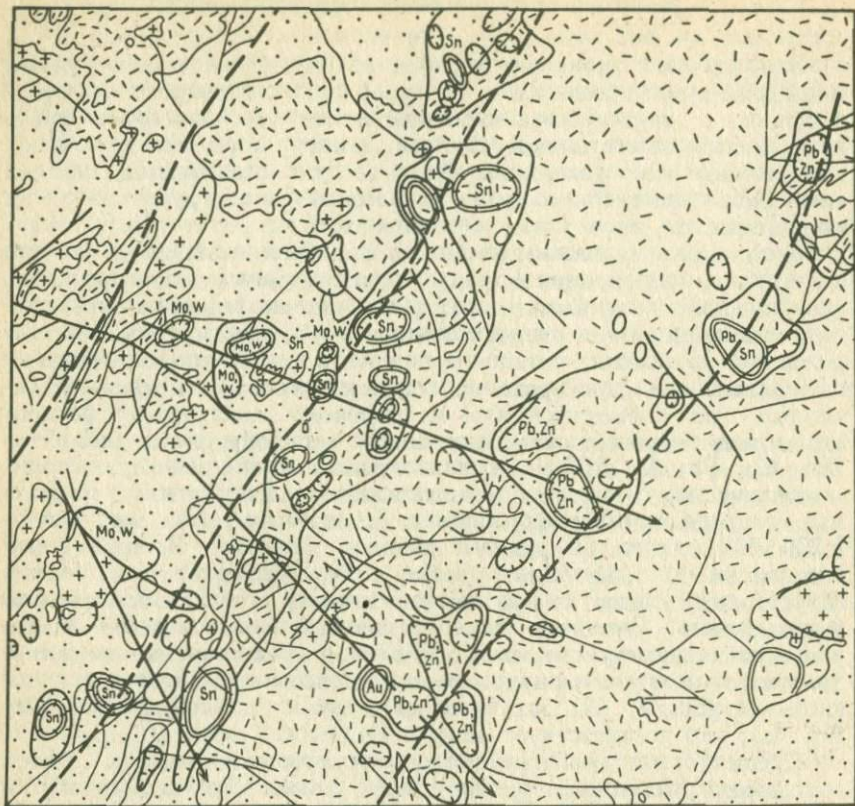
Суть этого явления состоит в том, что независимо от его масштаба в направлении от высокотемпературных редкометальных оксифильных к низкотемпературным халькофильным металлогеническим зонам в гидрогохимических полях рудных месторождений происходит очищение широкого комплекса элементов от оксифильных и формирование малоэлементных, но ярко проявленных по концентрациям и широкому площадному распространению гидрогохимических полей халькофильных элементов (Zn , Cu , Pb , As , SO_4^{2-}), соответствующих колчеданному и полиметаллическому типам минерализаций. Результаты обобщения гидрогохимических данных, сделанных для листа м-ба 1:200 000 одного из рудных районов Дальнего Востока, приведены на рис. 18. Здесь четко прослеживаются три полосы гидрогохимических полей в соответствии с металлогенической зональностью. Западная полоса, совпадающая с зоной Центрального структурного шва (ЦСШ), представлена гидрогохимическими полями с широким комплексом элементов как литофильных (Sn , F , Al , Ga , Be и др.), так и халькофильных (Mo , Zn , As), что соответствует металлогенической зоне ЦСШ.

Средняя непрерывная полоса гидрогохимических полей объединяет несколько оловорудных районов с силикатно- и кассiterит-сульфидной минерализацией (Главная металлогеническая зона). В гидрогохимических полях здесь, как правило, отсутствует целая группа литофилов, прежде всего элементов-гидролизатов. Концентрации сульфидных элементов в водах повышенны.

Восточная полоса гидрогохимических полей связана с полиметаллическим оруднением и представлена исключительно Zn , Cu и SO_4^{2-} при их высоких концентрациях в водах.

Локальный масштаб демонстрируется гидрогохимическим профилем (рис. 19), где четко видно изменение облика гидрогохимического поля по мере приближения к гранитному интрузиву с более высокотемпературной минерализацией в апикальной части. Налицо аналогичная картина: от кассiterит-сульфидного рудного поля к гранитному массиву в гидрогохимическом поле появляются литофильные элементы (Be , Ga , Ti , TR), а контрастности цинка и меди падают, сульфат-ион вообще исчезает.

Подобный тип зональности распространен также и на скарновых месторождениях - близкие скарны с литофилами и халько-



1 2 3 4 5 6 7 8 9

Рис. 18. Результаты обобщения гидрогоеохимических данных на территории одного из рудных районов Дальнего Востока (м-б 1:200 000):

1 - мезозойская осадочная толща; 2 - эфузивная толща (мел); 3 - гранитоиды (мел); 4 - местные разломные структуры; 5 - региональные разломные структуры, трассирующие центральные части металлогенических зон; 6 - контуры региональных гидрогоеологических аномалий рудной природы; 7 - контуры перспективных участков по гидрогоеохимическим данным; 8 - перспективные участки первой очереди по гидрогоеохимическим данным; 9 - осевые части поперечных рудоносных структур по геологическим данным

филами и дальние - высококонтрастные аномалии халькофильных элементов.

Таким образом, условия формирования гидрогоеохимических полей весьма разнообразны, что усложняет интерпретацию гидрогоеохимических данных и в то же время предостерегает от упрощенного объяснения условий формирования аномалий. Особенно это касается попыток прогнозов промышленного оруде-

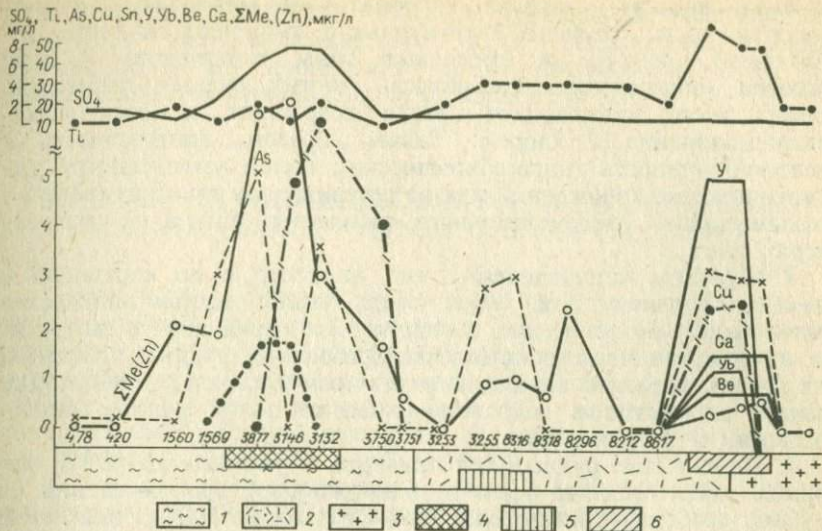


Рис. 19. Гидрогохимическое поле, отражающее локальный тип металлогенической зональности (Дальний Восток):

- 1 - песчано-сланцевая толща;
- 2 - липариты;
- 3 - гранитоидный массив;
- 4 - оловорудное месторождение;
- 5 - прогнозируемое оруденение;
- 6 - участок редкометальных руд.

нения вплоть до предсказания возможных запасов руд по гидрогохимическим данным.

По условиям формирования гидрогохимических полей рудных месторождений можно сделать несколько обобщенных выводов.

1. Для однотипных месторождений контрастность гидрогохимических полей и их распространенность, т.е. превышение аномальных концентраций над фоном и протяженность водных потоков и ореолов рассеяния отдельных элементов, уменьшаются от гумидных условий к аридным. Наличие многолетнемерзлых пород вследствие значительной проницаемости мерзлой зоны практически не сказывается на контрастности и распространенности гидрогохимических полей рудных месторождений.

2. Контрастность и распространенность гидрогохимических полей рудных месторождений возрастают при увеличении дренированности рудных полей, т.е. расчлененности рельефа и, следовательно, уменьшаются от горноскладчатых областей к платформам.

3. Широтная зональность химического состава вод гипергенной зоны, связанная с горизонтальной гидрологической зональностью, проявляется прежде всего активностью карбонатного барьера, интенсивность действия которого для рудных элементов возрастает от северной тундрово-таежной зоны ультрапресных вод к южной зоне континентального засоления. Аналогично действие высотной поясности сверху вниз.

Интенсивность контроля карбонатными минералами увеличивается и по глубине (вертикальная гидрогеологическая зональность), однако за пределами зоны гипергенеза в зоне рассолов миграционная способность многих рудных элементов, прежде всего халькофилов, резко возрастает за счет комплексообразования с хлором. Таким образом, контрастность и распространенность гидрогеохимических полей уменьшаются для однотипных месторождений как от северных зон выщелачивания к южным зонам континентального засоления, так и по разрезу сверху вниз.

В обратном направлении с юга на север и по вертикали в водах зоны гипергенеза снизу вверх увеличивается количество растворимых органических веществ. Это приводит к интенсификации органического комплексообразования рудных элементов в тундрово-таежной зоне и к различным состояниям некоторых рудных элементов в гидрогеохимических полях рудных месторождений и фоновых водах.

4. Перекрытие рудных тел приводит к уменьшению ОВП, который зависит прежде всего от возможностей проникновения на глубину свободного кислорода. При ОВП менее 100 мв окисление сульфидных руд сильно затруднено и, следовательно, ограничена миграция халькофильных элементов. Для некоторых элементов с переменной валентностью (Fe, Mn) миграционные возможности с глубиной улучшаются, для других (U, халькофилы) - ухудшаются. В общем же формирование гидрогеохимических полей перекрытых рудных тел с уменьшением ОВП затруднено в результате уменьшения миграционной способности многих элементов, прежде всего халькофилов, вследствие смены валентности серы.

Кроме того, для перекрытых месторождений распространение гидрогеохимического поля ограничивается действием сорбционного барьера.

5. Воздействие вмещающих пород на формирование гидрогеохимических полей рудных месторождений определяется способностью "держать" свой pH. При этом, как показывают расчеты, увеличение щелочности приводит к интенсификации выпадения карбонатов и ограничивает распространенность гидрогеохимического поля.

6. Металлогеническая зональность определяет комплексность гидрогеохимических полей, т.е. весь список элементов поля и в большой степени формирование парагенетических групп. Зависящая от тектонических причин металлогеническая зональность чаще всего имеет "шовный" характер. В зоне швов локализуются месторождения повышенных температур, связанные с магматическими комплексами, вмещающие породы здесь интенсивно изменены гидротермальными процессами. Комплекс компонентов гидрогеохимического поля месторождения здесь наиболее широк и представлен часто всеми тремя основными геохимическими группами элементов: лиофильными (прежде всего),

халько- и сидерофильными. По мере удаления от шва комплекс элементов гидрогеохимического поля сокращается, однако контрастность его проявления может возрасти за счет увеличения масс окисляющихся сульфидов.

УСЛОВИЯ МИГРАЦИИ ЭЛЕМЕНТОВ В ГИДРОГЕОХИМИЧЕСКИХ ПОЛЯХ РУДНЫХ МЕСТОРОЖДЕНИЙ

Возможности миграции элементов в природных водах рудных месторождений зависят, во-первых, от внутреннего строения элемента (структуры электронной оболочки и параметров, ее определяющих); во-вторых, от внешних физико-химических условий, создаваемых в водах того или иного типа рудного месторождения. Удобно разобрать эти условия с трех позиций, имея в виду, однако, их неразрывность:

1) окислительно-восстановительный потенциал в гидрогеохимических полях (ГХП) рудных месторождений, определяющий валентные состояния элементов;

2) кислотно-щелочные условия, создаваемые в водах рудами и вмещающими породами и являющиеся второй основной координатой состояния элемента в природных растворах;

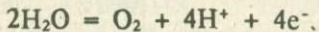
3) вид лигандов, обусловливающий основной процесс комплексообразования компонентов в природных растворах, придающий специфическую окраску условиям миграции (карбонатность, фторидность, сульфатность вод и т.д.).

ОКИСЛИТЕЛЬНО-ВОССТАНОВИТЕЛЬНЫЙ ПОТЕНЦИАЛ В ГИДРОГЕОХИМИЧЕСКИХ ПОЛЯХ РУДНЫХ МЕСТОРОЖДЕНИЙ

Окислительно-восстановительный потенциал в водах рудных месторождений играет весьма значительную, можно сказать, стратегическую роль в миграции элементов, определяя валентное состояние элемента, а следовательно, все дальнейшие свойства, способствующие или, наоборот, препятствующие миграции его в зоне гипергенеза.

За нулевое значение окислительно-восстановительного потенциала в воде принят потенциал водородного электрода в нормальном растворе серной кислоты, т.е. при $\text{pH} = 0$ и осуществлении реакции $2\text{H}^+ + 2e^- = \text{H}_2$. Как видим, одновременно это уравнение является реакцией устойчивости воды по водороду.

Реакция устойчивости воды по кислороду выразится уравнением



Исходя из уравнения Нернста

$$Eh = E^0 + \frac{0,059}{4} \lg \frac{P_0 [H^+]^4}{[H_2O]^2}$$

при подстановке концентраций получаем уравнение прямой в координатах $Eh = E^0 - 0,059 \text{ pH}$, где $E^0 = \frac{\Delta G_0}{nF} \Delta G_0$ - стандартная свободная энергия Гиббса; F - число Фарадея; n - число электронов). Следовательно, $Eh = 1,23 - 0,059 \text{ pH}$, из чего следует, что изменение pH на единицу влечет за собой изменение ОВП на 0,059 В. Подставляя принятый нуль вместо E^0 для нижнего предела устойчивости воды, получаем $Eh = -0,059 \text{ pH}$ - уравнение, выражающее линию устойчивости воды для низких (отрицательных) значений ОВП (водородную устойчивость воды). Так, для воды с $\text{pH} = 10$ ОВП на границе нижнего (водородного) предела устойчивости воды будет соответственно - 0,59 В.

Эти два уравнения выражают устойчивость воды в координатах Eh - pH. Одновременно эти уравнения выражают окислительную и восстановительную способности в зависимости от pH. Ясно, например, что в окислительно-восстановительной реакции атом ион + $n e^-$, где измеренный электродный потенциал менее -0,83 В (Na, Ca, Mn и др.), равновесие будет смещаться вправо при любом pH, т.е. вода будет окислять атом элемента до ионного состояния. Наоборот, для элементов с электродным потенциалом более 1,23 ($\text{Au}/\text{Au}^+ - (+1,5)$) вода при любом pH будет восстановителем. Соответственно для любого элемента с известным электродным потенциалом ионизирующей реакции можно предсказать его состояние в зависимости от pH. В поле же устойчивости воды существует равновесное соотношение окисленных и восстановительных форм элемента, определяемое из соотношения Нернста.

Многие рудные элементы, формирующие гидрогеохимические поля в зоне гипергенеза, не меняют своей валентности: цинк, свинец, серебро, золото и многие другие. Элементы, такие как железо, марганец, уран, мышьяк и другие, изменяют валентность в связи с тем, что реакции протекают в пределах вариаций ОВП природных вод.

Изменение валентности элемента часто оказывается на миграционных его способностях в гидрогеохимическом поле месторождения. Классическим примером является поведение железа и марганца. Двухвалентное железо и марганец хорошо мигрируют в зоне гипергенеза вследствие значительной растворимости своих соединений (ПР). При увеличении ОВП в верхних частях гипергенной зоны эти элементы повышают свою валентность, переходят в разряд гидролизатов, что резко затрудняет их миграцию в результате осаждения в виде мало растворимых гидроксидов. Поэтому столь часто в пределах рудных полей сульфидных месторождений, где наиболее высоко поднимается значение ОВП, наблюдаются обильные осаждения

гидроксидов железа и марганца. Следует, однако, заметить, что переходные значения ОВП для реакций с изменением валентности железа и марганца достаточно сильно различаются, что приводит к разделению их в твердой фазе аутигенного минералообразования. Гидрогохимические причины такого разделения впервые вскрыты С.Р. Крайновым. Действительно, потенциал окисления Mn/MnO₂ выше потенциала окисления Fe/Fe(OH)₃ и, таким образом, при повышении ОВП сначала достигается переходное значение для железа, и выпадение его в виде Fe(OH)₃ происходит раньше выпадения оксидов марганца (IV), что ведет к временному и пространственному разделению вторичных минералов железа и марганца.

Совершенно противоположная геохимическая ситуация складывается при гипергенной миграции урана. При окислении урана (IV) до урана (VI) в подземных водах образуется молекула уранила, растворимость соединений которого достаточно высока. Это обеспечивает активную миграцию урана (VI) в гипергенной зоне рудных месторождений и делает уран хорошим гидрогохимическим поисковым признаком радиоактивных руд.

Миграционные формы мышьяка в подземных водах также зависят от ОВП. Приведем выводы С.Р. Крайнова по состояниям мышьяка в подземных водах в зависимости от ОВП этих вод:

в водах с положительным ОВП, т.е. в зоне окисления месторождений (в верхней части гипергенной зоны), преобладают различные формы мышьяка (V) - H₂AsO₄²⁻ и H₂AsO₄⁻; при переходе к восстановительным условиям преобладает форма HAsO₃²⁻;

в водах, содержащих сероводород, миграция осуществляется главным образом в форме AsS₂.

Огромное значение для миграции рудных элементов имеет валентное состояние среды. В координатах Eh - pH они обозначаются классическими диаграммами Пурбэ [40], из которых следует, что сера в зоне гипергенеза, меняя валентность от 2- до 6+, проходит ряд промежуточных состояний, имеющих в связи с высокой концентрацией серы в подземных водах по сравнению с концентрацией рудных элементов-халькофилов решающее значение для их миграции. Ряд этот выглядит следующим образом: S²⁻, HS⁻, H₂S, S⁰, SO₃²⁻, S₂O₃²⁻, SO₄²⁻; концентрация каждого члена этого ряда прямо или косвенно определяется фугитивностью кислорода в той или иной части зоны гипергенеза, что в большой степени оказывает влияние на зональность ОВП. Высокие концентрации состояний серы начала этого ряда в общем случае ограничивают миграцию элементов-халькофилов, способствуя возникновению малорастворимых сульфидов, хотя остаются возможности миграции в виде гидросульфидных или сульфидных комплексов. Состояния серы правой части ряда способствуют миграции тяжелых металлов в связи с высокой, как правило, растворимостью сульфатов металлов и значительными возможностями комплексообразования для сульфитных и тиосульфитных комплексов металлов.

Как справедливо замечает А.К. Лисицын, если в растворе под влиянием каких бы то ни было причин установился ОВП, равный определенной величине Eh, то уж им точно определяется соотношение между окисленными и восстановленными формами всех способных к обратимому окислению-восстановлению веществ, находящихся в растворе.

Причины, устанавливающие ОВП подземных вод, о которых пишет А.К. Лисицын, не что иное как наиболее вероятные природные реакции с изменением валентности участвующих в них элементов и протекающие в достаточно широких масштабах. Системы, в которых протекают подобные реакции, называются потенциалзадающими системами природных вод. Наиболее важными для гидрохимических полей рудных месторождений потенциалзадающими системами являются системы кислорода и серы (точнее даже система кислород - сера).

Не меньшее значение имеет система сера - органическое вещество (редукция сульфатов). По данным С.Р. Крайнова и В.М. Швеца, кислородсодержащие воды зоны гипергенеза, имеющие $(1 \div 10)n$ мг/л растворенного кислорода, поднимают уровень ОВП подземных вод до 0,2 В и выше. ОВП в данном случае зависит от степени аэрирования воды атмосферным воздухом. Так, наиболее богатые растворенным кислородом дождевые воды имеют ОВП в пределах 400-650 мВ [1], а воды верхней части зоны аэрации в горноскладчатых областях достигают 300 - 400 мВ. В контакте с породами, расходуя кислород на реакции окисления, подземные воды постепенно снижают ОВП до 100 - 200 мВ. По мнению Р.М. Гаррелса и У.Л. Крайста [10], потенциалы большинства подземных вод близки к границе магнетит - гематит ввиду их фактического существования (т.е. ОВП > 200 мВ).

Таким образом, наличие атмосферного кислорода в основном определяет величину ОВП подземных вод зоны гипергенеза в связи с его значительной массой в атмосфере Земли. Возможности проникновения кислорода в глубь зоны гипергенеза и по латерали определяют и зональность ОВП в гипергенной зоне. Эта зональность, следовательно, прежде всего определяется гидродинамическими причинами. Далее, в зависимости от наличия серы и развития микробиологических процессов формируются ОВ-обстановки в подземных водах: кислородная с высокими содержаниями кислорода; кислородная с низкими содержаниями кислорода; бескислородная бессульфидная (глей); сульфидная [13].

Этими причинами обусловлены следующие виды зональностей ОВП подземных вод: горизонтальная - трещинных вод горноскладчатых областей; пластовая - пластово-поровых вод платформенных областей и межгорных впадин; вертикальная - подземных вод в зависимости от глубины их залегания.

Горизонтальная зональность ОВП подземных вод складчатых областей связана с резкой сменой по площади водоносных от-

ложений с различающимися гидродинамическими характеристиками, обусловливающими проникновение кислорода. Изменение ОВ-обстановок происходит на границах хорошо- и плохоопронациаемых пород, например известняков и терригенных пород или кавернозных карстовых известняков и известняков, что часто наблюдается на рудных полях скарново-полиметаллических месторождений.

Вертикальная зональность ОВП подземных вод проявляется в изменении ОВ-обстановок в водах с глубиной, что также связано с концентрацией кислорода. Даже для грунтовых вод эта зональность проявлена четко. Так, на глубинах до 15 м - 230-310 мВ, на глубинах 20-30 м - -150 мВ, а на глубинах 60-100 м - -100 мВ [13].

Пластовая зональность ОВП подземных вод формируется на платформах или межгорных впадинах при движении вод от областей питания к наиболее погруженным частям пласта. Воды областей питания характеризуются кислородной обстановкой со значениями ОВП обычно более 200 мВ. По мере уменьшения скоростей фильтрации при погружении водоносных пород кислород расходуется на окисление закисного железа, органического вещества. При этом ОВП снижается до 0-100 мВ. Согласно А.К. Лисицыну, за границей распространения вод кислородной обстановки при наличии органического вещества и сульфатного иона происходит резкое падение ОВП (-100--200 мВ) за счет образования сероводорода, что приводит к резкому ограничению миграционной способности элементохалькофилов (выпадение сульфидов). Ниже этой зоны по пласту ОВП несколько повышается (50-150 мВ).

Отмечается также некоторое падение ОВП грунтовых вод при переходе от гумидных вод к аридным (соответственно от 400 до 200 мВ), что связано с увеличением щелочности вод.

ОВП подземных вод месторождений, руды которых не содержат значительного количества сульфидных минералов (плутоногенные, кварцевого и карбонатного парагенезиса, пегматитовые, раннемагматические, карбонатные и др.), также определяется концентрацией свободного кислорода в водах. ОВП находится здесь в пределах 200-400 мВ, редко чуть более.

Картина меняется в случае наличия рудной массы сульфидного состава. При наличии свободного кислорода, как уже говорилось, сера сульфидных минералов теряет электроны, последовательно проходя ряд промежуточных состояний, однако при Eh более 100 мВ, а pH более 2 наиболее стабильным в водах становится конечный продукт этого ряда - сульфат-ион. Тем не менее мозаично в зоне окисления могут сохраняться условия существования промежуточных продуктов окисления серы (сульфит- и тиосульфат-ионов и даже сероводорода вблизи зоны цементации).

Поскольку реакции окисления сульфидов идут с выделением энергии, т.е. самопроизвольно, то в зоне окисления сульфид-

Таблица 67

Вертикальная зональность для pH и Eh вод на медно-колчеданном месторождении (по Г.А. Волкову)

Зона	Тип вод	pH	Eh, мВ
Активного водообмена	Трещинно-грунтовые вмещаю- щих пород	6,9 (7,6) 8,3	331 (397) 510
	Трещинно-грунтовые медно- колчеданного оруденения	1,4 (2) 2,5	580 (684) 787
	Трещинно-грунтовые медно- колчеданного оруденения (искусственный доступ O ₂)	3,1 (5) 6,8	285 (445) 744
	Трещинно-напорные и поро- во-напорные вмещающих пород	6,6 (7,2) 7,8	-248 (-104) 71
	Трещинно-грунтовые вмещающих пород	7,1 (7,6) 8,3	110 (177) 266

П р и м е ч а н и е. В числителе даны минимальные значения, в знаменателе - максимальные, в скобках - средние.

ных месторождений наблюдается увеличение ОВП. Наибольшие значения ОВП приходятся на ту часть разреза, где окисляется наибольшая масса руды. Здесь же начинают интенсивно развиваться микробиологические процессы, способствующие окислению сульфидных минералов (*Th. ferrooxidans*, *Th. thioparus*), что еще более увеличивает ОВП (700-800 мВ).

По мере расходования свободного кислорода на окисление количество его в нисходящих просачивающихся водах падает, масса окисляющейся руды уменьшается, а следовательно, убывает ОВП (100-200 мВ). Формируется более восстановительная обстановка, в которой растворенные в водах халькофильные элементы выпадают в виде вторичных сульфидов. Идет формирование зоны цементации (вторичного сульфидного обогащения).

Таким образом, в пределах сульфидных месторождений существует вертикальная зональность значений ОВП. Г.А. Волковым, например, эта зональность прослеживается в пределах медно-колчеданного оруденения Северного Кавказа (табл. 67). Так, интервал значений ОВП 215-531 мВ приходится на зону активного водообмена трещинно-грунтовых вод вмещающих (вулканических-осадочных) пород. В зоне окисления колчеданных руд ОВП трещинно-грунтовых вод поднимается до 580-787 мВ. Ниже в зоне замедленного водообмена ОВП опускается до значений -248 +71 мВ.

Интересно отметить, что в глубоких частях рудного поля, где воды искусственно аэрируются при прохождении горных выработок, ОВП возрастает от 280 до 744 мВ.

На сульфидных месторождениях с меньшим развитием ди-сульфидов, нежели на колчеданных, значения ОВП соответственно снижаются. Н.И. Еникеев приводит ОВП для вод вме-

щающих пород висмутового месторождения 140-250 мВ, для окисляющих руд - 380 мВ. Наши замеры на золотосеребряных (вулканогенного типа) месторождениях показывали соответственно от 220 до 340 мВ.

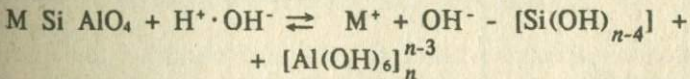
Наиболее восстановительная обстановка создается на рудных месторождениях, связанных со щелочными породами, ибо при прочих равных условиях наиболее низкие значения Eh сдвинуты в щелочную область. Именно это является характерной чертой позднемагматических месторождений.

Таким образом, наиболее высокий ОВП в пределах 0,6-0,8 В (редко выше) формируется на сульфидных месторождениях (колчеданных, ликвационных, гидротермальных сульфидного парагенезиса и т.д.), ОВП понижается до 0,3 В на месторождениях с вмещающими алюмосиликатными и карбонатными породами, и, наконец, наиболее низкие значения (0,1-0,3 В) - на месторождениях с вмещающими породами или рудной массой щелочного состава.

КИСЛОТНО-ЩЕЛОЧНОЕ РАВНОВЕСИЕ В ГИДРОГЕОХИМИЧЕСКИХ ПОЛЯХ РУДНЫХ МЕСТОРОЖДЕНИЙ

Константа диссоциации воды в стандартных условиях, согласно закону действия масс, определяется соотношением $\frac{[H^+][OH^-]}{H_2O} = 10^{-14}$ или произведением растворимости

$[H^+][OH^-] = 10^{-14}$ и зависит в природных водах от реакций гидролиза. При этом изымается ион H^+ или OH^- , что приводит к изменению соотношения этих ионов в сторону увеличения H^+ (кислые среды) либо OH^- (щелочные среды). Например, при гидролизе алюмосиликатов, как показал Р. Келлер,



pH-задающими системами в гидрогохимических полях рудных месторождений являются, как правило, руды либо вмещающие породы.

Как известно, наиболее ощутимо сдвигают pH вод в кислую сторону сульфидные руды вследствие окисления серы кислородом $S^{2-} \longrightarrow S^{6+}$ в условиях гипергенной зоны. На месторождениях с сульфидными массивными рудами или сульфидной вкрапленностью pH будет, в первую очередь, зависеть от количества сульфидов в общей рудной массе вплоть до того момента, когда нейтрализующее действие руд или вмещающих пород, а также влияние атмосферы не внесут ощутимую долю влияния в установление кислотно-щелочного равновесия.

Интересно отметить, что рудная масса обладает буферными свойствами, сначала устанавливая pH контактирующих с рудами

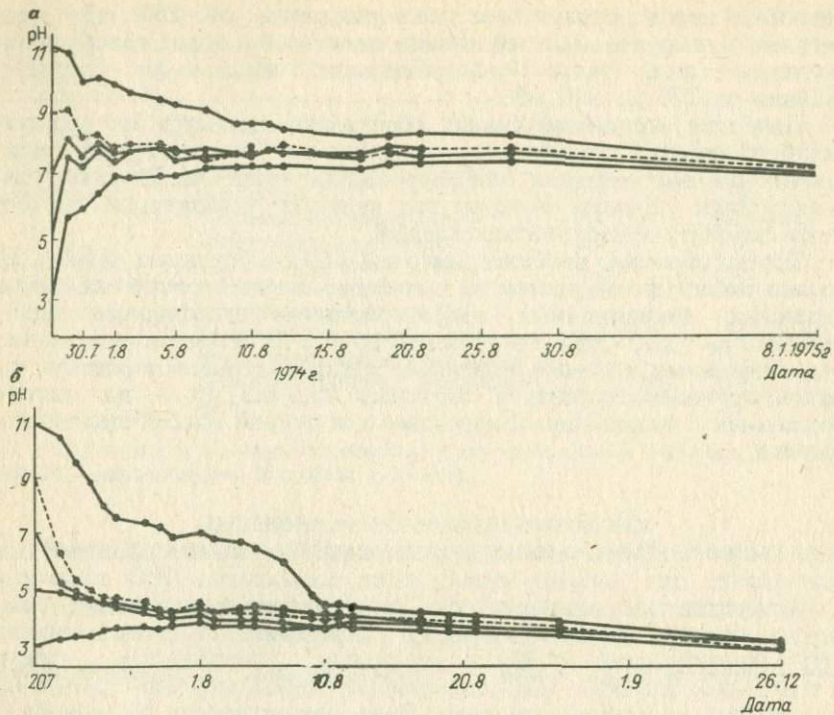


Рис. 20. Режим установления конечного pH раствора рудной массы разного состава (с заданным начальным pH)
а - карбонатная руда (родонит-родохрозитовая); б - сульфидная руда

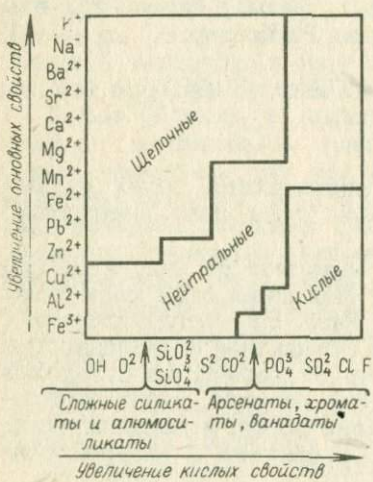


Рис. 21. Диаграмма тенденций формирования pH супспензий минералов в зависимости от их состава

вод, а затем поддерживая его на определенном уровне и сохраняя достигнутое кислотно-щелочное равновесие. Это подтвердили эксперименты при выщелачивании рудной массы водой с заданными pH: руда устанавливалась "свой" pH независимо от того, который ей "навязывался" (рис. 20).

Наиболее высокие pH задаются рудной массой агпайтовых нефелиновых сиенитов на месторождениях позднемагматического типа. Здесь pH вод на рудных полях достигает 8-8,5, в застойных водах глубоких горизонтов - 9-12, а в межзерновом пространстве, возможно, еще выше.

Подобно рудам, вмещающие породы на месторождениях стремятся установить свой pH, и в случае различных тенденций сдвига кислотно-щелочного равновесия у пород и руд конкуренция приводит к промежуточному pH, зависящему от гидролитических реакций и массы тех и других.

Имеются следующие результаты измерений pH вод для различных типов пород.

Кристаллические сланцы	6,3
Граниты, риолиты, габбро	6,6-6,7
Андерзиты	7,2
Сиениты	7,6
Базальты	7,7
Серпентиниты	8,3
Песчаники, глинистые сланцы	7,4-8,1

Тенденция сдвига кислотно-щелочного равновесия видна на примере pH супензий различных минералов. На диаграмме (рис. 21) она хорошо прослеживается в зависимости от наличия в минералах элементов и радикалов при изменении кислых и основных свойств. pH супензий минералов практически должен совпадать с pH поровых вод в межзерновом пространстве.

Я.Б. Смирнов выделил четыре типа pH-задающих систем природных вод.

Кислотная система ($\text{pH} < 2$). В водах с таким значением pH обычно присутствует свободная кислота. На месторождениях такой pH задается двойными сульфидами прежде всего во внутрирудном пространстве, а также в рудных водах колчеданных и реже ликвационных месторождений.

Гидролизная система ($\text{pH} 2-5$) определяется наличием минералов, представляющих соль катионов слабых оснований и анионов сильных кислот. На рудных месторождениях такими минералами также являются сульфиды, но доля дисульфидов здесь гораздо меньше. Это месторождения гидротермальные плутоногенные сульфидного парагенезиса (полиметаллические, кассiterит-сульфидные и т.д.), гидротермальные вулканогенного и телетермального классов, скарновые. Ореольные воды колчеданных и ликвационных месторождений также укладываются в этот диапазон. Отметим, что для скарновых рудных тел, в которых обычно мобилизовано много сульфидов, происходит

борьба за установление "своего" рН между рудами и вмещающими карбонатными породами.

В начале сульфатной стадии в становлении рН подземных вод участвуют и руды, и породы, рН может приближаться к 5 или даже быть большим. В период наибольшего развития сульфатной стадии, появления изъязвленности, кавернозности карбонатов рН-задающей системой является рудная масса и рН укладывается в диапазон 2-5.

Начиная с конца сульфатной стадии и во всех последующих стадиях зоны окисления скарновых тел оснований рН-задающей системой становятся вмещающие породы и в меньшей степени руды, рН-задающая система становится буферной, в том смысле, как это понимает автор данной классификации.

Буферная система (рН 5-8,5) обусловлена в основном карбонатным равновесием. При этом рН вод, находящихся в постоянном контакте с атмосферой, сдвигается в кислую сторону, а контактирующих с карбонатными породами (или породами с включением карбонатных минералов) - в щелочную.

Как показано Р.М. Гаррелсом, система вода - кальцит в контакте с атмосферой должна иметь рассчитанный из уравнений карбонатного равновесия рН, равный 8,4, а вне контакта с атмосферой - 9,95. В реальных природных условиях эта система значительно усложняется, во-первых, за счет алюмосиликатной части горных пород, а во-вторых, вследствие развития почвообразовательных процессов, снижающих рН.

В этот интервал рН попадает наибольшее количество типов рудных месторождений и фоновые воды. Из месторождений это гидротермальные плутоногенные руды кварцевого и карбонатного парагенезисов, скарновые, начиная с конечного этапа сульфатной стадии зоны окисления, пегматитовые, альбитит-гнейзеновые, грязеновые, карбонатитовые и раннемагматические месторождения. Причем фоновые воды и воды месторождений, вмещающими породами которых являются алюмосиликаты, имеют рН слабокислый - близнейтральный, а для карбонатных пород - слабощелочной (7,3-8,5).

Гидролизная система (рН 8,5-12,5) - рН этих вод обусловлен гидролизом минералов, содержащих соли сильных оснований и слабых кислот. Как мы уже говорили, такой рН задается рудной массой, состоящей из щелочных пород, и сюда можно отнести только один тип эндогенных месторождений - позднемагматический.

Следует сказать, что при $\text{pH} > 7,5$ концентрация OH^- становится реальной комплексообразующей силой, и ион OH^- выступает в таких водах в качестве лиганда, формируя гидроксокомплексы или вытесняя основной лиганд из комплексов (например, галогенных), способствуя образованию прочных двойных комплексов.

Кислотно-щелочные условия оказывают заметное влияние на миграцию элементов в гидрогоеохимических полях рудных мес-

торождений. Стратегически дело обстоит таким образом, что для многих элементов (прежде всего амфотеров) существуют два максимума накопления концентраций: один в кислых, чаще всего в виде катионов (например, Cu^{2+} , CuHCO_3^+ и т.д.), а другой — в щелочных водах в виде анионов (например, HCuO_2^- , $\text{Cu}(\text{CO}_3)_2^{2-}$, $\text{Cu}(\text{OH})_2^-$).

В кислых водах, формирующихся в зонах окисления сульфидных месторождений (колчеданных, ликвационных, скарновых, гидротермальных плутоногенных сульфидного парагенезиса, гидротермальных вулканогенных), рудные элементы накапливаются в результате:

1) диссоциации солей слабых оснований и сильных кислот (накопление Zn , Cu , Pb , Ag , Sn , Hg , Cd , Co , Ni , Fe и других, а также сульфат-иона) с последующим переходом к сульфатным комплексам;

2) диссоциации слабых кислот типа мышьяковой, вольфрамовой, молибденовой. Причем при низких pH (< 3) отмечается тенденция перехода в гидроанионы типа HAsO_4^{2-} , HMnO_4^- .

В щелочных средах (в водах месторождений при наличии щелочных пород) накапливаются концентрации элементов, участвующие в формировании и последующей диссоциации солей сильных оснований (чаще всего натрия) и слабых кислородных кислот, основу кислотных остатков которых составляют и рудные элементы: WO_4^{2-} , MoO_4^{2-} , HZnO_2^- , HCuO_2^- и др.

Однако основной тенденцией формирования устойчивых миграционных состояний элементов является здесь формирование комплексных соединений, поскольку в водах этих месторождений накапливается достаточное количество разнообразных лигандов (карбоната, фтора, гидроксоионов, органических веществ). Отметим, что тенденция к образованию комплексных соединений наблюдается для элементов-комплексообразователей уже при переходе от кислых вод сульфидных месторождений к оклонейтральным водам месторождений, руды и вмещающие породы которых относятся к типу неактивных по отношению к изменению pH (гидротермальные плутоногенные кварцевого парагенезиса, пегматитовые и др.), точнее устанавливают слабокислый — слабощелочной pH. При повышении pH значительное количество рудных элементов формируют слаборастворимые гидроксиды, а при наличии подходящих лигандов (F^- , Cl^- , фульвокислоты ФК) формируют комплексные соединения, сдвигающие миграционный диапазон в щелочную среду.

Таким образом, в резко кислых и сильно щелочных водах наблюдается накопление концентраций многих рудных элементов, тогда как в нейтральных водах миграционные возможности снижаются (табл. 68).

Исходя из рассмотренных основных геохимических показателей гидрогеохимических полей, pH и Eh рудных месторождений их удобно подразделить на 5 групп по геохимическим обстановкам, формирующими в рудных водах.

Таблица 68

Распределение модальных содержаний Zn и Cu в водах
месторождений с различным pH

Элемент	Колчеданные месторождения Урала pH 2-3	Полиметаллические месторождения Дальнего Востока pH 4-5	Редкометальные месторождения Дальнего Востока (гранитоиды) pH 6,5-7,2	Рекометальные месторождения Кольского полуострова (щелочные массивы) pH 8-10
Cu	$(10^2 \div 10^3)$ n	$(1 \div 10)$ n	$(10^{-1} \div 1)$ n	$(10 \div 10^2)$ n
Zn	$(10^2 \div 10^3)$ n	$(10 \div 10^2)$ n	$(1 \div 10)$ n	$(10 \div 10^2)$ n

Первая - группа месторождений, где геохимическую обстановку в гидрогеохимических полях определяет наличие дисульфидов (а точнее их окисление) - колчеданные и ликвационные месторождения (pH от 2 до 5, ОВП \approx 450-500 мВ и выше).

Вторая группа - месторождения сульфидных руд, основные полезные минералы которых - моносульфиды, а дисульфиды ограничены (скарновые, плутоногенные сульфидного парагенезиса). В гидрогеохимических полях этих месторождений формируются кислые воды с pH от 4,5 до 6,5, ОВП не поднимается выше 450 мВ.

В третьей группе месторождений геохимическую обстановку в рудных водах определяет наличие неактивных пород, прежде всего алюмосиликатного состава. В эту группу включаются следующие типы месторождений: гидротермальные плутоногенного класса кварцевого парагенезиса, альбитит-грейзеновые и грейзеновые, пегматитовые и раннемагматические. pH их вод определяется в основном гидролизом алюмосиликатов и находится в пределах 5,5-7,3, а ОВП прежде всего связан с количеством растворенного атмосферного кислорода и составляет 200-400 мВ, изредка чуть выше.

Для месторождений четвертой группы геохимическая обстановка определяется наличием карбонатов. Соответственно к этой группе относятся гидротермальные плутоногенные месторождения карбонатного парагенезиса и карбонатитовые месторождения. Пределы pH повышаются соответственно от 7,2 до 8, изредка выше; Eh от 100 до 300 мВ.

И, наконец, пятую группу составляют месторождения, где геохимическая обстановка зависит от наличия щелочных пород. Это позднемагматические апатитовые и редкоземельные месторождения, связанные с нефелиновыми сиенитами. В рудных водах этих месторождений pH 8-12, Eh 100-200 мВ.

Наиболее благоприятные условия для миграции элементов создаются в гидрогеохимических полях первой группы месторождений. Гидрогеохимическая обстановка способствует на-

капливанию в водах рудных элементов - прежде всего катионо-генных. Околонейтральные среды второй группы месторождений открывают тенденцию образования слаборастворимых гидроксидов и карбонатов многих элементов. Эта тенденция резко прогрессирует для двух последних групп месторождений и могла бы привести к резкому ограничению водной миграции многих элементов, однако этому препятствует фактор комплексообразования.

УСЛОВИЯ КОМПЛЕКСООБРАЗОВАНИЯ (СОСТОЯНИЯ ЭЛЕМЕНТОВ) В ГИДРОГЕОХИМИЧЕСКИХ ПОЛЯХ РУДНЫХ МЕСТОРОЖДЕНИЙ

Общие положения

Необходимость изучения форм существования элементов в водах с учетом комплексообразования стала очевидной в начале 60-х годов при проведении широких исследований по микроэлементному составу природных вод. Накопление концентраций микроэлементов невозможно было объяснить, основываясь на данных о произведениях растворимости, концентрации оказывались гораздо больше рассчитанных.

Основной вклад в исследование форм существования элементов в природных водах рудных месторождений гипергенной зоны внесли работы С.А. Брусиловского, Ю.Ю. Бугельского, И.Г. Ганеева, Г.А. Головой, Г.М. Варшалл, Г.А. Волкова, Н.Н. Еникеева, Б.А. Колотова, С.Р. Крайнова, А.К. Лисицына, Г.А. Соломина, В.В. Щербины, А.М. Эленбогена и др.

Весьма ярко демонстрируют разницу между действительными концентрациями в водах, pH которых выше pH выпадения гидроксидов элементов, и концентрациями, рассчитываемыми из гидроксидов, так называемые элементы-гидролизаты (Ti, Al, Be, TR, Zr, Nb, Ga и др.). Комплексообразование часто сдвигает pH гидролиза этих элементов далеко в щелочную сторону. Это имеет серьезные геохимические последствия, поскольку разрешает водную миграцию элементов в широком диапазоне кислотно-щелочных условий.

В настоящее время невозможно представить себе формирование гидрогеохимических полей без комплексообразования, увеличивающего возможности накопления элементов в водах. Более того, именно комплексы составляют основную долю форм существования элемента в воде, и это относится не только к типичным элементам-комплексообразователям. Так, например, для таких макроэлементов подземных вод, как Mg и Ca, не считающихся типичными комплексообразователями, доля их комплексных форм для пресных вод полиметаллических месторождений, как показал А.М. Эленбоген, составляет 10% и более.

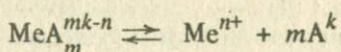
Наиболее общее соотношение взаимодействия между собой компонентов в природных водах можно записать в виде системы уравнений:

$$\sum K_i = [K_i^{n+}] + \sum [K_i A_j^{n-m}],$$

$$\sum A_j = [A_j^{m-}] + \sum [K_i A_j^{n-m}],$$

где K_i - катион; A_j - анион.

Константа устойчивости комплекса $K_{уст}$ является центральным понятием теории комплексообразования и выражает закон действующих масс при взаимодействии компонентов раствора: для реакции образования комплекса в общем виде при фиксированных P и t



она выражается отношением

$$K_{уст} = \frac{[MeA_m^{mk-n}]}{[Me^{n+}] [A^k]^m} = 1/K_{нест}.$$

При стандартных условиях ($t = 25^\circ\text{C}$, $P = 0,1$ МПа), которые могут быть приняты для зоны гипергенеза, K связана с свободной энергией Гиббса соотношением $\Delta G = -1,364 \lg K$ и может быть вычислена для конкретной реакции в случае, если известна ΔG реакции.

Коэффициент активности f , выражающий долю участия концентраций катиона или аниона в комплексообразовании при условии $\mu \leq 0,1$, определяется из уравнения Дэвиса:

$$\lg f = -0,509 Z_i^e \left(\frac{\sqrt{\mu}}{1 + \sqrt{\mu}} - 0,3\mu \right),$$

где Z_i - валентность ионов; μ - ионная сила раствора.

Поскольку гидрогохимические исследования в большинстве случаев ведутся исключительно в условиях $\mu \leq 0,1$ (т.е. при общей минерализации менее 5 г/л), то использование уравнения Дэвиса при рассмотрении форм миграции при исследовании гидрогохимических полей вполне корректно.

Основными лигандами, участвующими в формировании комплексных ионов, выступают анионы природных вод, обладающие достаточно высокой концентрацией, т.е. анионы основного состава: Cl^- , SO_4^{2-} , HCO_3^- , CO_3^{2-} , а также анионы специфических

гидрогохимических обстановок, в которых они накапливаются в значительных количествах; F^- , HS^- , органические вещества и др. Огромное значение для комплексообразования в щелочных средах имеет ион OH^- .

В условиях пресных вод зоны гипергенеза основную долю составляют бинарные комплексы (ионные пары), включающие центральный ион, координирующий определенное число лигандов одного вида. Однако при наличии специфических гидрогохимических обстановок (например, щелочных сред) часть этих лигандов может быть вытеснена лигандом другого рода, взаимодействие которого с центральным ионом значительно, а концентрация в воде достаточно высока (например, OH^- -ион в щелочных средах). В этом случае образуется комплекс с двумя лигандами.

Так в щелочных средах происходит гидролиз даже весьма прочных комплексов, например, фторбериллатов, причем образующийся смешанный комплекс $[BeF(OH)_3]^{2-}$ оказывается прочнее фторбериллиевого монокомплекса. Установлено существование растворимых смешанных комплексов, в которых роль одного из лигандов выполняет вода, например, фтораквокомплексы алюминия и бериллия - $[AlF_2(H_2O)_4]^+$, $[AlF(H_2O)_3]^{3+}$, $[BeF(H_2O)_2]^+$ или карбонатные аквокомплексы уранила - $[UO_2(CO_3)_2(H_2O)_2]^{2-}$.

В настоящее время такому виду комплексообразования придается большое значение: миграцию некоторых элементов можно объяснить только с учетом комплексов со смешанными лигандами, поскольку эти комплексы имеют большие константы устойчивости по сравнению с отдельными лигандами, входящими в смешанный комплекс [33].

При приблизительно равных силах связи, но значительно более высокой концентрации одного из аддендов происходит постепенное ступенчатое вытеснение другого аддента, и комплекс также становится однородным [3]. Наиболее часто гетерогенные комплексы формируют элементы Be, TR, Zr, Sc [34].

В настоящее время все более увеличивается значение изучения гетерогенных комплексных соединений для объяснения миграции отдельных элементов в специфических геохимических обстановках, хотя методы получения констант устойчивости таких комплексов пока весьма ограничены. Однако этим типом комплексов не исчерпывается формирование координационных соединений в растворе. Как показали физико-химические исследования, ионы Zr^{4+} , TR^{4+} , UO_2^{2-} , Sc^{3+} , а также анионные формы W, Mo способны образовывать многоядерные комплексы, а также непрерывные ряды комплексных соединений (высокополимеров), с высокими молекулярными весами общего вида $\{Me[(OH)_{\frac{p}{n}}Me]_x\}^{[(n-p)\alpha+n]+}$ для катионов в щелочных средах и вида $[(Me_6O_2)^{5-}_x \cdot H_2O]_n$ - для анионов в кислых средах.

Так, В.А. Михайлов и Э.Ф. Григорьев показали, что цирконий образует многоядерные и полимерные комплексы вида $[Zr(OH)_3CO_3]^-$. В работах А.М. Хайдука, Е.А. Никитиной, А.Н. Соколова показаны возможности формирования в кислых водах устойчивых комплексов-полимеров молибдена типа $(Mo_6O_{20}^{4-})^{6-}$, вольфрама $[(HW_6O_2)_x^{5-} \cdot H_2O]$, а также кремнегексамолибдатов и кремнегексавольфраматов с высокой растворимостью.

Таким образом, в зависимости от геохимической обстановки в гидрогоеохимических полях элементы могут находиться в состоянии простых ионов; монокомплексов; комплексов со смешанными аддендами и полимеризующихся многоядерных комплексов с большими молекулярными весами. Правда, в реальных природных обстановках пока трудно учитывать многоядерные комплексы.

Из изложенного ясно, какое огромное значение для формирования состояний элементов в водах имеют гидрогоеохимические обстановки. Можно сказать, что они являются центральным моментом при рассмотрении состояний элементов в природных водах. Гидрогоеохимическая обстановка определяет форму существования элемента в природной воде, а сама в свою очередь определяется четырьмя главными параметрами: силой и концентрацией лигандов, кислотно-щелочным равновесием и окислительно-восстановительным потенциалом.

Среда миграции, определяемая силой и концентрацией комплексообразующих аддендов (лигандов), характеризуется исследователями в большей или меньшей степени условно, скорее исходя из аномальности концентраций того или иного сильного аддента и при рассмотрении форм миграции ряда определенных элементов, для которых данный адденд является наиболее важным при формировании их состояний (например, фтор - для бериллия, олова, алюминия, хлор - цинка, свинца, кадмия, карбонат-ион - для урана, ниobia и т.д.).

В реальных гидрогоеохимических полях значительные концентрации могут формировать несколько сильных для разных элементов лигандов (аддендов), тем не менее удобнее рассматривать повышенные концентрации одного из лигандов, влияющих на состояние тех или иных конкретных элементов. Наиболее важными лигандами, от которых зависят состояния элементов в природных растворах зоны гипергенеза, являются галогены, ионы угольной кислоты, серы и органические вещества.

Сила лигандов, оцениваемая константой устойчивости комплекса, имеет фундаментальное значение при рассмотрении геохимических процессов. Тем не менее на настоящем уровне знаний в связи с многообразием действующих факторов влияние констант устойчивости на течение геохимических процессов в связи с формированием комплексов определяется не точным ее значением, а ее порядком. Кроме того, разные исследователи

дают константы устойчивости одного и того же комплекса со значительным расхождением. В связи с этим, используя значения констант по известным литературным источникам [9, 36, 41], мы часто округляем их до порядка или полупорядка.

Фторидные среды

Среди прочих галогенов фтор как комплексообразователь (да и не только по этому признаку) стоит особняком, что обусловлено типом связи его в химических соединениях. Связь эта имеет высокую степень ионности в отличие от трех других элементов этой группы, имеющих преимущественно ковалентные связи. В этом суть выделения фтора по его свойствам из числа других галогенов. Именно поэтому фтор прежде всего формирует наиболее прочные свои комплексы с такими лиофильными элементами, как Al, Be, Si, B, Sn, U, родственными ему по типу связи $[pK_{уст}]$ от 5 до 20 (табл. 69), тогда как для Co, Cu, Zn, Pb и других элементов $pK_{уст}$ практически не поднимается выше 4 (3,88).

Хотя концентрации фтора в водах могут увеличиваться и просто за счет фтороносных пород кислых эфузивов, гранитов и т.д., наиболее характерны аномальные концентрации фтора для гидрогоеохимических полей гидротермальных плутоногенных месторождений кварцевого парагенезиса (Sn, W, Mo, Bi), скарновых редкometальных (ближние скарны), пегматитовых (Be, Li, Pb, Cs), альбит-грейзеновых и грейзеновых (Nb, Be, W), а также позднемагматических (Nb, TR), т.е. в основном редкometальных высокотемпературных месторождений.

Концентрации фтора в водах месторождений составляют обычно 1-10 мг/л. Конечные продукты реакции флюорита с ионом водорода и гидроксидом хорошо дессоциированы ($\text{CaF}_2 + 2\text{H}^+ = 2\text{HF}^+ + \text{Ca}^{2+}$; $\text{CaF}_2 + \text{OH}^- = \text{CaOH}^+ + 2\text{F}^-$), что позволяет фтору накапливаться как в кислых, так и в щелочных водах. Наибольшие содержания обнаруживаются в водах с высоким pH прежде всего потому, что редкometальные месторождения обычно создают слабокислую среду, тогда как месторождения, связанные с щелочными породами, - высокощелочную.

В соответствии с возрастанием растворимости солей в ряду

Таблица 69

Комплекс	$pK_{уст}$	Комплекс	$pK_{уст}$	Комплекс	$pK_{уст}$
AlF^{2+}	7	BeF^+	5	ZnF^+	1,54(1,5)
AlF^{\ddagger}	12	BeF_2^0	9	ZnF_2^0	3,88(4)
$\text{AlF}^{\ddagger\ddagger}$	16	BeF_2^-	11	CuF^+	1,23(1)
AlF_4^0	18	BeF_4^{2-}	13	CuF_2^0	3,88(4)
AlF_4^{\ddagger}	19	UO_2F_2^0	8	PbF^+	1,6(1,5)
AlF_6^-	20			PbF_2^0	3,88(4)

$\text{CaF}_2 \longrightarrow \text{MgF}_2 \longrightarrow \text{NaF}$ фтор накапливается в натриевых водах, тогда как в кальциевых содержания его уменьшаются в результате выпадения флюорита. Наиболее благоприятные условия для накопления фтора создаются в щелочных гидрокарбонатных натриевых водах, т.е. в водах позднемагматических месторождений, связанных с нефелиновыми, прежде всего с агпайтовыми сиенитами (до целых граммов в рудничных водах месторождений). Экспериментами показано, что фторидные среды способствуют переводу в раствор литофильных элементов за счет комплексообразования.

Из изложенного очевидно, что накапливание фтора в водах редкометальных месторождений со слабокислой и нейтральной реакцией (III группа гидрохимических полей месторождений) способствует водной миграции редких элементов Be, Sn, B, U и увеличению контрастности и протяженности водных ореолов рассеяния этих элементов.

Однако усиление водной миграции литофильных элементов происходит и в щелочных средах. Фторокомплексы здесь не только не разрушаются, но даже упрочняются по механизму ступенчатого вытеснения фтора другим лигандром (в данном случае OH^-) и образованию двойных комплексов типа $\text{BeF}_n\text{OH}_{m-n}^{k-}$.

Хлоридные среды

Хлорид-ион, как один из основных макрокомпонентов природных вод, оказывает серьезное влияние на миграцию элементов ГХП рудных месторождений.

Как комплексообразователь, хлор в природных водах выглядит двояким образом. С некоторыми элементами он формирует достаточно прочные комплексы $[\text{Ag}, \text{Au}, \text{Cu(II)}]$. Это, как видим, элементы с ярко выраженным ковалентными связями. Однако для формирования хлоридного комплекса в связи с высоким первым потенциалом ионизации для этих элементов необходим не только комплексообразователь, но и сильный окислитель. С другими рудными элементами $[\text{Cu(II)}, \text{Pb}, \text{Zn}, \text{Cd}, \text{Ni}, \text{Fe(II)}, \text{Co}]$ хлор не связывается в такие прочные комплексы ($pK_{\text{уст}} = 0,5 \div 2,5$; табл. 70) и по-прежнему уступает фтору по величине константы устойчивости (см. табл. 69).

Таблица 70

Комплекс	$p K_{\text{уст}}$	Комплекс	$p K_{\text{уст}}$	Комплекс	$p K_{\text{уст}}$
CuCl^0	2,5	AgCl_3^{2-}	6,0	AlCl^{2+}	1,5
CuCl_2^-	5,5	PbCl_4^+	1,5	$\text{AlCl}_3^{\frac{1}{2}}$	0,5
CuCl_3^{2-}	5,5	$\text{PbCl}_6^{\frac{1}{2}}$	1,0	AlCl_3^0	0,1
AgCl^0	3,5	CoCl_4^+	1,0	NiCl_3^+	1,0
AgCl_2^-	5,5	$\text{CoCl}_6^{\frac{1}{2}}$	1,5	NiCl_2^0	1,5

Таблица 71

Увеличение доли хлоридных комплексов свинца, меди и железа с ростом глубины и минерализации подземных вод для одного из районов Таджикистана (расчетные данные)

Общая минерализация, г/л	Глубина взятия пробы, м	Доля хлоридных комплексов элементов, %			
		Pb	Cu	Zn	Fe (II)
1,2	Поверхность	Нет	Нет	Нет	Нет
4,1	20	2,2	0,1	0,1	0,2
22,4	70	59,2	0,8	6,9	8,6
240,0	500	99,9	86,2	96,4	94,2

Тем не менее влияние хлора на распространение в водах рудных элементов имеет место вследствие возрастания его концентрации с ростом минерализации воды. Следовательно, это влияние будет меняться в зависимости от гидрохимической зоны, в которой локализуется месторождение, т.е. будет подчинено вертикальной и горизонтальной зональностям химического состава природных вод.

С погружением структуры и ростом хлоридной составляющей вод происходит трансформация форм миграции рудных элементов с увеличением доли хлоридных комплексов (табл. 71).

Как показывают исследования, количество хлора в ГХП изменяется также от типа рудного месторождения. Повышенная хлоридность вод обнаруживается в водах месторождений грейзеновых, позднемагматических, гидротермальных плутоногенных кварцевого парагенезиса. Однако это увеличение не столь значительно (сотни миллиграмм на литр) и может оказать влияние на состояние только элементов Ag, Pb, Cd.

Бромидные и иодидные среды не играют большой роли в ГХП рудных эндогенных месторождений и не рассматриваются в данной работе в таком аспекте.

Среды ионов серы как результат проявления ионного равновесия форм серы в ГХП рудных месторождений

На рудных месторождениях равновесие серы определяется окислением сульфидов до сульфатов с прохождением различных промежуточных окисленных состояний серы и обратным восстановлением сульфатного иона до гидросульфид- или сульфид-иона с выпадением из раствора сульфидов тяжелых металлов в зоне цементации (вторичного сульфидного обогащения) месторождения в условиях течения электрохимических и микробиологических процессов.

Таким образом, в общем случае на сульфидных месторождениях формируется своеобразная зональность форм состояний

Таблица 72

Комплекс	$pK_{уст}$	Комплекс	$pK_{уст}$	Комплекс	$pK_{уст}$
FeSO_4^0	2,5	ZnSO_4^0	2,5	$\text{Pb}(\text{SO}_4)^{\frac{2}{2}-}$	3,5
$\text{Fe}(\text{SO}_4)^{\frac{2}{2}-}$	3,0	$\text{Zn}(\text{SO}_4)^{\frac{2}{2}-}$	3,0	$\text{AlSO}_4^{\frac{4}{2}}$	3,0
$\text{FeSO}_4^{\frac{4}{2}}$	3,5	CoSO_4^0	2,5	$\text{Al}(\text{SO}_4)^{\frac{2}{2}}$	5,0
$\text{Fe}(\text{SO}_4)^{\frac{2}{2}}$	5,5	$\text{Co}(\text{SO}_4)^{\frac{2}{2}-}$	3,0	MnSO_4^0	2,5
$\text{Fe}(\text{SO}_4)^{\frac{3}{2}}$	3,5	PbO_4^0	2,5	$\text{Mn}(\text{SO}_4)^{\frac{2}{2}-}$	2,0
CuSO_4^0	2,5	$\text{Pb}(\text{SO}_4)^{\frac{2}{2}-}$	3,0	NiSO_4	2,5
$\text{Cu}(\text{SO}_4)^{\frac{2}{2}-}$	3,5	PbSO_4^0	2,5	$\text{Ni}(\text{SO}_4)^{\frac{2}{2}-}$	3,0

Таблица 73

$\lg K_{уст}$ тиосульфатных комплексов ряда рудных элементов (полупорядки)

Комплекс	$pK_{уст}$	Комплекс	$pK_{уст}$	Комплекс	$pK_{уст}$
$\text{CuS}_2\text{O}_5^{\frac{3}{2}-}$	10,5	$\text{AgS}_2\text{O}_5^{\frac{3}{2}-}$	9,0	$\text{Au}(\text{S}_2\text{O}_3)^{\frac{3}{2}-}$	30
$\text{Cu}(\text{S}_2\text{O}_3)^{\frac{3}{2}-}$	12,5	$\text{Ag}(\text{S}_2\text{O}_3)^{\frac{3}{2}-}$	14,5	$\text{Au}(\text{SO}_3)^{\frac{2}{2}-}$	30
$\text{Cu}(\text{S}_2\text{O}_3)^{\frac{3}{2}-}$	14,0	$\text{Ag}(\text{S}_2\text{O}_3)^{\frac{3}{2}-}$	14,0		

серы, причем верхняя часть месторождений составляет ее "сульфатную" зону, а в пределах зоны вторичного сульфидного обогащения - "сульфидную" зону. Однако в условиях зоны гипергенеза с высокой концентрацией кислорода "сульфатная" зона будет подавлять "сульфидную", занимая основную часть вертикального разреза.

Наибольшее количество сульфатов обнаруживается в водах месторождений: колчеданных, ликвационных, скарновых и гидротермальных плутоногенных сульфидного парагенезиса; от 30-100 мг/л в водах последних двух перечисленных типов их концентрации поднимаются до целых граммов в водах колчеданных и ликвационных месторождений, и лишь здесь они оказывают реальное влияние на миграцию рудных элементов, ибо константы устойчивости сульфатных комплексов невелики ($\lg K = 1 \div 3,5$), исключая Fe(III) и $\text{Al} (\lg K > 3,5)$ (табл. 72).

Развитие устойчивых локальных зон развития промежуточных продуктов окисления серы, т.е. сульфитных и тиосульфатных ионов весьма гипотетична вследствие метастабильного их состояния. Однако они несомненно существуют и оказывают влияние на миграцию рудных элементов, скорее всего проявляясь в поровых водах и влияя на перераспределение металлов в межзерновом пространстве. Тем не менее изредка они обнаруживаются в водах рудных месторождений в количествах до 1 мг/л (табл. 73).

В зоне действия низкого ОВП (< 0) сера чаще выступает в качестве лиганда как сульфид- или гидросульфид-ион. Несмотря на ограниченность этой зоны на месторождениях, особенно имеющих развитую зону окисления, во внутрирудном простран-

Таблица 74

$\lg K_{уст}$ сульфидных и гидросульфидных комплексов
рудных элементов (полупорядки)

Комплекс	$pK_{уст}$	Комплекс	$pK_{уст}$
ZnS^0	19,5	$Cd(HS)^{\frac{1}{2}}$	16,5
$Cd(HS)^{-}$	7,5	$Cd(HS)^{\frac{3}{4}}^{-}$	19,0
$Cd(HS)^{\frac{1}{2}}$	14,5		

стве в поровых водах концентрации суммы сульфидной серы (прежде всего в зоне цементации) могут составлять 10 моль/л и выше. А если учесть, что константы устойчивости комплексных соединений с сульфид- и гидросульфид-ионами значительны (табл. 74), то доля подобных состояний рудных элементов в поровых водах может быть достаточно велика.

Карбонатные среды

Условия существования в водах карбонатных ионов разного вида определяется pH природных растворов. В кислых водах, наиболее распространенных в гипергенной зоне, ион HCO_3^- переводится в состояние свободной угольной кислоты, а в щелочных от $pH > 8$ - трансформируется в карбонат-ион.

Таким образом, в водах сульфидных месторождений (1, 2 группы) карбонатность обстановки вообще не будет влиять на состояние элементов в ГХП; в водах 3 группы мы можем рассматривать возможность существования гидрокарбонатных комплексов элементов: карбонатные же комплексы возможны в водах 4 группы и особенно 5 группы месторождений.

Не слишком значительные возможности существования гидрокарбонатных комплексов металлов определяются невысокими константами устойчивости ($\lg K_{уст}$ от 2 до 3) и небольшой концентрацией в водах гидрокарбонатного иона (30-300 мг/л).

Концентрация гидрокарбонатного иона увеличивается в водах месторождений 4 группы (скарново-редкометальных, карбонатовых, гидротермальных плутоногенных карбонатного парагенезиса), а вместе с этим увеличивается доля карбонатных комплексов. По расчетам А.М. Эленбогена, для слабощелочных вод среди неорганических комплексов увеличивается содержание гидрокарбонатных комплексов тяжелых металлов (в %): для свинца - 35-49, меди - 27-38, цинка - 55-70. Другими словами, комплексы данного вида являются достаточно распространеными среди неорганических комплексов. Пожалуй, результаты этих расчетов следует считать несколько завышенными: наши более поздние машинные расчеты (программа MIF) при использовании более точных и полных данных для подобных вод дают доли гидрокарбонатных комплексов чаще в пределах от

3 до 10%, но при этом возрастаёт доля карбонатных комплексов металлов (табл. 75).

При pH-9 преобладающими становятся карбонатные комплексы металлов как в связи с увеличением концентраций карбонатиона, так и по причине большой прочности карбонатных комплексов по сравнению с гидрокарбонатными.

Карбонатные комплексы	CuCO_3^0	$\text{Cu}(\text{CO}_3)^{2-}$	ZnCO_3^0	$\text{Zn}(\text{CO}_3)^{2-}$
$\lg K_{\text{уст}}$	6,5	10	5,5	7

Продолжение

Карбонатные комплексы	PbCO_3^0	$\text{Pb}(\text{CO}_3)^{2-}$	NiCO_3^0	$\text{Ni}(\text{CO}_3)^{2-}$
$\lg K_{\text{уст}}$	6	8	3	5

Следует, однако, помнить, что доля концентрации CO_3^{2-} , участвующая в комплексообразовании с рудными элементами, есть разность между полным содержанием CO_3^{2-} и долей (часто 30-70%), формирующей комплексы с главными катионами подземных вод (чаще всего это MgCO_3^0 , CaCO_3^0).

Таблица 75

Карбонатные и гидрокарбонатные комплексы металлов в водах месторождений с различной карбонатностью обстановки и их расчетная доля (в скобках, %)

Тип месторождений	Цинк	Свинец	Медь	Железо (II)
Гидротермальные, редкометальные кварцевого парагенезиса и пегматитовые	ZnHCO_3^{\pm} (10-20); ZnCO_3^0 (0,5-2)	PbHCO_3^{\pm} (5-10) PbCO_3^0 (0,5-2)	CuCO_3^0 (10-50) CuHCO_3^{\pm} (20-30) $\text{Cu}(\text{HCO}_3)^{\frac{1}{2}}$ (2-3)	FeHCO_3^{\pm} (15-20) FeCO_3^0 (1-4)
Гидротермальные карбонатного парагенезиса и карбонатитовые	ZnCO_3^0 (15-30) ZnHCO_3^{\pm} (10-20) $\text{Zn}(\text{CO}_3)^{\frac{1}{2}}$ (0,5-2)	PbCO_3^0 (5-10) PbHCO_3^{\pm} (2,5-5) $\text{Pb}(\text{CO}_3)^{\frac{1}{2}}$ (0,1-0,3)	$\text{Cu}(\text{CO}_3)^{\frac{1}{2}}$ (50-80) CuCO_3^0 (20-30) CuHCO_3 (< 0,1)	FeCO_3^0 (40-60) $\text{Fe}(\text{CO}_3)^{\frac{1}{2}}$ (5-15) FeHCO_3 (5-10)
Позднемагматические в щелочных породах	$\text{Zn}(\text{CO}_3)^{\frac{1}{2}}$ (30-90) ZnCO_3^0 (0-45) ZnHCO_3^{\pm} (0,2-8)	$\text{Pb}(\text{CO}_3)^{\frac{1}{2}}$ (0,5-15) PbCO_3^0 (2-6) PbHCO_3^{\pm} (0-0,3)	$\text{Cu}(\text{CO}_3)^{\frac{1}{2}}$ (88-100) CuCO_3^0 (0,2-10)	$\text{Fe}(\text{CO}_3)^{\frac{1}{2}}$ (35-95) FeCO_3^0 (5-50) FeHCO_3^0 (0,5-1)
Колчеданные	$\text{ZnHCO}_3^{\pm}(0)$ $\text{ZnCO}_3^0(0)$	$\text{PbHCO}_3^{\pm}(0)$ $\text{PbCO}_3^0(0)$	$\text{CuHCO}_3^{\pm}(0)$ $\text{CuCO}_3^0(0)$	$\text{FeHCO}_3^{\pm}(0)$ $\text{FeCO}_3^0(0)$

П р и м е ч а н и е. Увеличение карбонатности месторождений - сверху - вниз.

Таблица 76

Результаты выщелачивания карбонатно-натриевыми растворами лопарита и пирохлора (по С.Р. Крайнову)

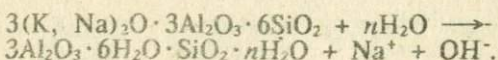
Содержание CO_3^{2-} в растворе, мг/л	Концентрация ниобия в растворе (в мкг/л), определенные		Содержание ниобия, связанного в карбонатные комп- лексы, %
	без разрушения комплексов	с разрушением комплексов	
<i>Лопарит</i>			
100	45	80	44
146	70	85	18
446	70	85	18
946	18	85-90	80
<i>Пирохлор</i>			
10	4	20	80
100	4	40	90
200	52	80	35
300	89	400	78

Наиболее интенсивно, однако, карбонатные комплексы формируются лиофильными элементами; такими как редкие земли, ниобий, титан, уран, торий. С.Р. Крайнов, изучая миграцию редких земель, титана, ниобия и других редких элементов, экспериментально показал, что в результате карбонатного комплексообразования с увеличением в растворе ионов CO_3^{2-} происходит пропорциональное увеличение концентраций редких элементов при выщелачивании обогащенных ими пород (табл. 76).

Таким образом, карбонатные среды способствуют увеличению в водах широкого спектра элементов с различными геохимическими свойствами, особенно лиофильных элементов (титан, редкоземельные элементы, ниобий и др.) и меди не только за счет повышенных, но и кларковых концентраций.

Щелочные среды

В основе формирования щелочных сред, где в качестве лиганда выступает ион OH^- , лежит гидролиз пордообразующих минералов. Например, разложение нефелина приводит к обогащению вод OH^- по схеме:



К более слабым средам такого рода приводит гидролиз кальцита

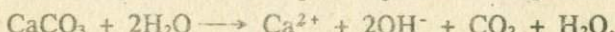


Таблица 77

Константы устойчивости гидроксокомплексов элементов
(округление до полупорядка)

Элемент	Лиганд			
	OH^-	$(\text{OH})_2^-$	$(\text{OH})_3^{2-}$	$(\text{OH})_4^{4-}$
Кальций	1,5	0,01	-	-
Магний	2,5	0,01	-	-
Марганец	3,0	6,5	-	-
Кадмий	4,0	7,5	10,5	12,0
Кобальт	4,5	8,5	-	-
Железо (II)	4,5	9,0	-	-
Никель	5,0	10,0	-	-
Цинк	5,5	10,5	-	-
Свинец	6,5	11,0	14,0	-
Медь	6,5	13,5	-	-
Бериллий	8,5	14,5	19,0	-
Алюминий	9,0	18,0	26,0	33,0
Железо (III)	12,0	22,0	30,5	34,5

Гидроксид-ион - очень сильный лиганд, а гидроксокомплексы элементов чрезвычайно широко распространены в щелочных водных средах, особенно среди литофильных элементов-гидролизатов. Анализ констант устойчивости показывает большую прочность гидроксокомплексов литофильных элементов по сравнению с халькофильными (табл. 77).

Однако значительную конкуренцию OH^- -лиганду составляют карбонатные ионы, поскольку с увеличением рН карбонатное равновесие смещается в сторону образования CO_3^{2-} -иона, а карбонатные комплексы некоторых элементов часто прочнее их гидроксокомплексов.

Относительно слабощелочные среды образуются в водах карбонатных и карбонатизированных руд и вмещающих пород ($p\text{OH}^- =$

Состояния элементов

Среда	Pb	Zn	Cd	Cu
Слабощелочная (гидролиз карбонатов) рН = 7,5 ÷ 8,5	PbOH^+ ; Pb^{2+} Zn^{2+} ; ZnOH^+ ; Cd^{2+} ; CdOH^+ ZnCO_3			CuCO_3^0 ; Cu^{2+} CuOH^+
Щелочная (гидролиз щелочных пород) рН = 8,5 ÷ 10	$\text{Pb}(\text{OH})_2^0$; PbOH^+	ZnOH^+ ; Zn^{2+} ; $\text{Zn}(\text{CO}_3)_2^{2-}$	CdCO_3^0 ; CdOH^+ $\text{Cd}(\text{CO}_3)_2^{2-}$	$\text{Cu}(\text{CO}_3)_2^{2-}$

Таблица 78

Рассчитанные степени насыщения для гидроксидов и карбонатов цинка и свинца

Номер пробы	Zn(OH) ₂	ZnCO ₃	Pb(OH) ₂	PbCO ₃	pH
2	$0,8 \cdot 10^{-6}$	$0,2 \cdot 10^{-4}$	$0,9 \cdot 10^{-2}$	$0,1 \cdot 10^{-1}$	7,9
105	$0,1 \cdot 10^{-4}$	$0,3 \cdot 10^{-3}$	0,1	0,1	9

= 5 ÷ 6), а также основных и ультраосновных массивов. В таких водах халькофильные элементы имеют тенденцию формировать (кроме карбонатов металлов) слабо растворимые гидроксиды элементов и покидать раствор в соответствии с их произведениями растворимостей.

Фактически дело обстоит сложнее вследствие образования карбонатов металлов, и выпадение того или иного минерала определяется их конкуренцией.

Расчет степени насыщения (отношения произведения фактических активностей в воде к ПР соединений) для конкретных проб в слабощелочных и щелочных средах дает приближения к выпадению того или иного соединения (табл. 78). Как видим, с увеличением pH растут степени насыщения. При этом контроль над концентрацией элемента сохраняет карбонат металла. Формирование гидроксокомплексов (как и любых других) способствует водной миграции элементов. Это касается, прежде всего, литофильных элементов-гидролизатов, которые сохраняются в растворе при росте pH в результате формирования гидроксокомплексов (табл. 79).

Расчетные с учетом известных констант устойчивости и концентраций различных лигандов в условиях сред слабой щелочности показывают преимущественное образование следующих комплексов (см. табл. 79). Больше всего используют OH-лиганд свинец, кадмий, алюминий, железо (III), редкие земли.

Таблица 79

в щелочных средах

Fe ²⁺	Fe ³⁺	Al	Th	TR
Fe ²⁺ FeCO ₃ [§]	Fe(OH) ₃ [§]	Al(OH) ₃ [§]	Th(OH) _n ⁴⁻ⁿ	TR(OH) _n ³⁻ⁿ
FeCO ₃ [§]	FeOH ₃ [§]	Al(OH) ₃ [§]	Th(CO ₃) _n ⁴⁻ⁿ	Th(CO ₃) _n ⁴⁻ⁿ
Fe ²⁺ FeOH ⁺			[TR(CO ₃) _n ^m ; [TR(CO ₃) _n ^q (F, OH) _m ^q]	

Наличие щелочных пород резко поднимает концентрацию OH⁻ иона, формируя высокощелочные среды. В этих условиях роль лиганда OH⁻ становится более значительной. Так, для элементов-гидролизатов в процессе интенсивного формирования гидроксокомплексов OH⁻ часто вытесняет другие лиганды (даже такие сильные как F⁻) вследствие своей высокой концентрации в природных растворах, образуя вначале двойные (смешанные) комплексы, переходящие в дальнейшем целиком в прочные гидроксокомплексы, как это известно, например, для Be, Fe, TR и других элементов.

Для халькофильных элементов, как считает А.М. Эленбоген, в сильно щелочных средах следует учитывать миграцию металлов в виде анионов собственных кислот в связи с амфотерными свойствами гидроксидов металлов. По его расчетам, доля этих комплексов тяжелых металлов (Zn, Pb, Cu) в резкощелочных водах может достигать половины всех неорганических комплексов, обеспечивая "щелочной пик" концентраций металлов в щелочных средах. Однако значительная доля этого "пика" может быть обусловлена карбонатными и гидроксокомплексами. Расчетами (см. табл. 79), проведенными без учета формирования смешанных комплексов (из-за отсутствия констант устойчивости), наглядно иллюстрируется конкуренция между карбонатными и гидроксокомплексами, которая для разных элементов склоняется в пользу того или другого лиганда в зависимости от свойств элементов.

Гидрогеохимические среды с высоким содержанием органических веществ

Роль органических веществ (OB) в подземных водах оценивается весьма высоко. В работах по органическим веществам подземных вод показано, что доля OB в природных растворах достаточно значительна, спектр их чрезвычайно разнообразен, а геохимическая активность весьма высока. Элементоорганические комплексы в природных водах известны для большинства элементов Периодической системы. Как показано многочисленными исследованиями, OB обладают весьма высокой подвижностью и играют важную роль в миграции элементов в подземных водах.

Основная черта региональных зональностей OB подземных вод в зоне гипергенеза - обратная пропорция по отношению к общей минерализации воды - уменьшение концентраций OB в водах с севера на юг, а также с глубиной. Для северных и северо-восточных регионов характерны более высокие содержания OB в связи с малой разлагаемостью (мало влаги и тепла) [35]; в водах равнинных районов OB больше, нежели в водах горных.

Фульво- и гуминовые кислоты составляют значительную часть С_{org}, а общее количество OB соизмеримо с общей минерализацией воды для этой зоны - до 100 мг/л (табл. 80).

Таблица 80

Структура органических соединений в ультрапресных водах Севера
(данные Н.Б. Никитиной), мг/л

Место отбора	Нейтраль- ные лету- чие	Низко- моле- куляр- ные лету- чие	Амины	Фульво- кислоты	Гуми- новые ки- слоты	Другие	Общее ко- личество
Источник на склоне	12,3	0,85	0,97	9,5	2,15	4,38	30,6
Вода в углублении	15,78	0,5	0,70	6,4	0,98	6,72	31,08
Почвенно-грунтовая вода	14,13	1,9	0,85	11,6	1,64	11,31	41,43

Главным генератором гумуса является почва. Фульво- (ФК) и гуминовые (ГК) кислоты представляют собой полициклические оксикарбонатные соединения, имеющие в своем составе несколько функциональных групп OH и COOH, которые относятся к лигандам, способным формировать весьма устойчивые растворимые комплексы с большой группой элементов - Al, Ti, Fe, TR, Zn, Cu и др.

В гидрогеохимических полях рудных месторождений концентрации ОВ - следствие трех факторов: гидрогеологической зональности, наличия растворенного ОВ в рудной массе и формирования сред, стимулирующих накопление ОВ в водах. По поводу первого фактора говорилось выше. Что касается второго фактора, то в настоящее время все большее число исследователей склонно считать, что ОВ играют большую роль в рудообразующих процессах, и указывают на заметные количества ОВ в рудах ряда месторождений. Структура ОВ, переходящего из руд при выветривании последних, совершенно не изучена. Укажем в связи с этим, что на одном из золотосеребряных месторождений (гидротермальное вулканогенного класса) обнаружен водный ореол муравьиной и уксусной кислот.

Что касается третьего фактора, то, по данным различных исследователей, основное количество элементоорганических соединений (60-80%) составляют отрицательно заряженные ионы, что позволяет им накапливаться в щелочных средах. Следовательно, в гидрогеохимических полях месторождений, связанных со щелочными породами, будут накапливаться металлы за счет органического комплексообразования. Экспериментами С.Р. Крайнова и И.В. Батуринской установлено, что значительная часть ниобия и титана в подземных водах Ловозерского массива ($\text{pH} > 8$) связана с ОВ. Результаты экстракций ниobia из вод Ловозерского массива изобутиловым спиртом (экстрагирует гумус) и экстракции ниobia приведены ниже.

Валовые количества					
ниобия, мкг/л	0-10	10-12	20-30	30-200	
В экстракте (среднее), мкг/л	2,6	10,4	21,8	44	
Связано с ОВ, %	45	57	77	80	

Однако ОВ накапливается и в слабокислых растворах северной зоны грунтовых вод, а также в болотных водах: здесь pH-задающей системой является диссоциация органических кислот (рис. 22).

Многими исследователями установлено, что ОВ чрезвычайно активно влияет на миграцию микроэлементов в природных водах. Очевидна значительная устойчивость цитратных комплексов металлов (Be, Co, TR, Nb, Cu, Zn, Pb, имеющих пределы рK соответственно 3,5-7; 3-7; 7-10; 6-9; 4; 5-16; 5-7; 8-13). Т.О. Гончарова отмечает стабилизацию растворенного состояния халькофильных элементов (Ni, Co, Zn и др.) в диапазонах pH, характерных для природных вод (6,5-8,5), в результате образования комплексов с гуминовыми кислотами; наличие подобных же металлоорганических комплексов с элементами Fe, Al, а также Zn, Cu, Cd подтверждается работами К. Богдана; эксперименты Н.Б. Никитиной по электродиализу показали, что для многих микроэлементов вод северо-таежной зоны (Ti, Mn, Ba, Sr, Cr, V, Cu, Ni, Zn, Y, La) коллоиды и высокомолекулярные ОВ составляют от 47 до 97%, причем особенно ярко в этом качестве выступают Ti, V, Y, Mn - элементы, склонные к гидролизу.

Результаты определения меди в водах (мкг/л) приведены ниже.

Номер пробы	1762	1763	1770	1771	1772
Без разрушения органических комплексов . . .	10	7,5	10	5	15
С разрушением органических комплексов . . .	15	17	15	10	20
После экстракции	5	5	3	3	10

Фульвокомплексы железа образуют коллоидные растворы с размером частиц от 0,1 до 0,22 мкм. Значительная доля железа, марганца, редких земель, фтора мигрирует в форме фульват-ионов.

Устойчивость органических комплексов рK металлов, связанных с гумусом, определяется $K_{уст}$ гуминовых и фульвокислот, которые, по данным разных авторов, лежат в пределах $10^{3,5}-10^9$ (табл. 81).

Это означает, что вследствие комплексообразования гидролиз металлов в средах гумусовых кислот будет сдвинут в

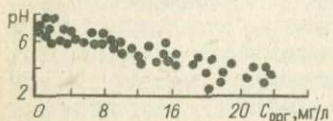


Рис. 22. Зависимость pH от концентрации органических C_{org} для ультрапресных вод таежной зоны (по Н.Б. Никитиной)

Таблица 81

Данные Б.Ф. Мантуры		Данные С.Р. Крайнова, В.М. Швеца	
Комплекс	$pK_{уст}$	Комплекс	$pK_{уст}$
MnFu ⁰	4,17	PbFu ⁰	6,13
CuFu ⁰	4,85	AlFu ⁺	6,45
ZnFu ⁰	4,83	CuFu ⁺	3,69
MnHum ⁺	4,58	NiFu ⁺	4,1
ZHum ⁺	5,19		
CuHum ⁺	9,22		

П р и м е ч а н и е. FeFu⁰, по данным Г.М. Варшал, составляет 4,67.

Таблица 82

Структура органических веществ в почвенных водах и доли металлов, связанных с ними (по В.С. Аржановой)

Молекулярная масса выделенных фракций ФК, нм	Доля фракции от общего количества органических веществ вод, %	Доля металлов, связанных с данной фракцией, %					
		Fe	Mn	Zn	Cu	Pb	Cd
>5000	33	20-30	8-16	20-30	<50	20	8-16
1000-500	18-28	30	34-47	30	30	30	<50
500-180	33-36	20-30	27-37	20-30	13-18	<18	20-30

щелочную сторону. Расчеты подтверждают, что в северных и восточных районах значительная часть тяжелых металлов будет находиться в составе растворенных органических комплексов.

В.С. Аржанова, изучавшая молекулярную структуру ФК и связь их с металлами в лизиметрических водах, отмечает, что ФК полидисперсны и представлены фракцией с молекулярной массой от первых сотен и до десятков тысяч нанометров.

Методами гель-фильтрации в почвенных водах В.С. Аржановой показано наличие трех групп фракций органических веществ, преимущественно ФК. Наибольший удельный вес составляют низкомолекулярные фракции с молекулярной массой 180-500 (более 1/3) и более 5000 нм ($\approx 1/3$), меньшая часть (18-28%) приходится на фракцию 500-1000 нм. Однако именно с ней связано наибольшее количество тяжелых металлов (табл. 82). Экспериментальный ряд связи изученных элементов с органическим веществом выглядит следующим образом.

Элемент		Cd > Cu > Zn > Mn > Fe > Pb
Доля, связанная с органикой, %		90 82 79 76 70 63

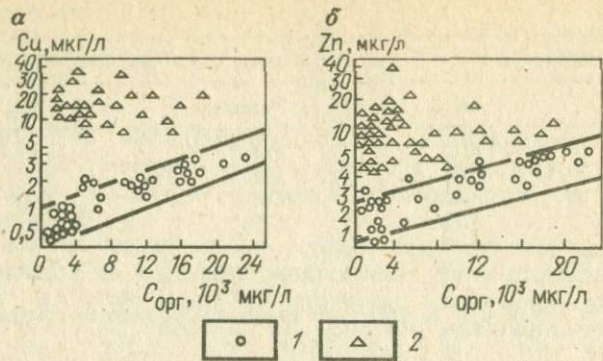


Рис. 23. Зависимость концентраций Cu (а) и Zn (б) от C_{org} :
1 - воды безрудных участков; 2 - воды железорудных месторождений сульфидной минерализации и золоторудных месторождений (по Н.Б. Никитиной)

Приведенные результаты исследований разных авторов без сомнения свидетельствуют о широком распространении фульвятных и гуматных комплексов металлов в природных водах. Этот вывод в большей степени касается процессов формирования химического состава фоновых вод и, таким образом, в фоновых водах фульвятные и гуматные (в меньшей степени) комплексы играют значительную роль в формировании форм миграции рудных элементов. Особенно это касается северных и восточных районов.

Говоря об участии металлоорганических комплексов в гидрогоеохимических полях, хотелось бы обратить внимание на следующую закономерность. В областях со значительным содержанием ОВ в водах (северных и восточных тундровых и таежных) вне гидрогоеохимических полей значительная доля рудных элементов мигрирует в органических комплексах, о чем говорят факты прямой зависимости пар металлы - ОВ. Например, для пар Cu - C_{org} и Zn - $C_{org}K_{corr}$ равны соответственно 0,9 и 0,82 для вод Алданского нагорья (по Н.Б. Никитиной).

В пределах же рудных полей при резком возрастании концентраций металлов в водах часть их связывается в органические комплексы, а другая - мигрирует в состоянии неорганических. Другими словами, в пределах гидрогоеохимических полей рудных месторождений происходит трансформация состояний элементов. В результате этого нарушается корреляция пары металл - ОВ по отношению к фоновым водам (рис. 23).

Заключая этот раздел, можно сказать, что условия миграции элементов в гидрогоеохимических полях рудных месторождений определяются значительным количеством координат, поскольку кроме Eh (электрохимические условия) и pH (кислотно-щелочные условия) большое влияние оказывает концентрация лигандов,

Таблица 83

Отличительные особенности гидрогохимических полей эндогенных рудных месторождений

Тип месторождений по классификации В.И. Смирнова	Комплексы компонентов в аномальных концентрациях					Гидрогохимическая обстановка	Неорганические состояния рудных элементов в водах
	Сквозные элементы в ГХП оруднения любого типа	Элементы, подчеркивающие специфику месторождения определенного минерального типа	Сквозные элементы-гидролизаты в ГХП магматических комплексов пород, с которыми связано оруднение	Элементы в ГХП, подчеркивающие специфику магматического комплекса, с которыми связано оруднение	Макрокомпоненты в ГХП рудных месторождений		
Магматические ликвационные сульфидные медно-никелевые	Zn, Cu, As, ΣH	Co, Ni, Fe	Ti, Al, V, Ga	Cr	Mg, SO_4^{2-} , $[HCO_3^-]$, CO_2_{cb}	Кислые воды. Eh=500-700 pH=1,5÷4,0.	$ZnSO_4^0$; $Zn(SO_4)^{2-}$; $CuSO_4^0$; $Cu(SO_4)^{2-}$; $H_3AsO_4^0$; $PbSO_4^0$; $Pb(SO_4)^{2-}$;
Колчеданные и термальные с массивными дисульфидами	Zn, Cu, As, ΣH	Fe	Пространственно-разобщенные с ГХП месторождения	-	SO_4^{2-} , $[HCO_3^-]$, CO_2_{cb}	Основные аддэнды: SO_4^{2-}	$AgSO_4^0$; $AgCl^0$; $CoSO_4^0$; $Co(SO_4)^{2-}$; $NiSO_4^0$; $Ni(SO_4)^{2-}$
Гидротермальные плутоногенного класса сульфидного парагенезиса	Zn, Cu, As, ΣH		Пространственно-разобщенные с ГХП месторождения	-	SO_4^{2-} , $[HCO_3^-]$, CO_2_{cb}	Кислые воды. Eh=400-600; pH=4,0÷6,5	Zn^{2+} ; $ZnSO_4^0$; Cu^{2+} ; $CuSO_4^0$; $H_2AsO_4^-$; $H_3AsO_3^0$; Pb^{2+} ; $PbSO_4^0$; $AgCl_2^0$; $AgSO_4^0$; $AgCl^0$; Sn^{4+} ; SnO_2^{2-} ; SnF^{4-n} ; H_2MoO_4 ; $HMnO_4$; H_2WO_4 ; HWO_4 ;
полиметаллические ураново-полиметаллические урановые пятязлементной формации кассiterит-сульфидные		Cd, Ag, Pb U, Ag, Pb, Mo	U, Mo, Co	Sn, Be			

Тип месторождений по классификации В.И. Смирнова	Комплексы компонентов в аномальных концентрациях					Гидрохимическая обстановка	Неорганические состояния рудных элементов в водах
	Сквозные элементы в ГХП оруднения любого типа	Элементы, подчеркивающие специфику месторождения определенного минерального типа	Сквозные элементы гидролизаты в ГХП магматических комплексов пород, с которыми связано оруднение	Элементы в ГХП, подчеркивающие специфику магматического комплекса, с которыми связано оруднение	Макрокомпоненты в ГХП рудных месторождений		
Гидротермальные вулканогенного класса золотосеребряные близповерхностного типа полиметаллические золотосеребряные алунитовые	Zn, Cu, As ΣH	Au, Ag, K	Al, Ti, V, Ga	Y, Yb, Be	SO ₄ [HCO ₃] CO ₂ _{cb}		Co ³⁺ ; Co(SO ₄) ²⁻²ⁿ
Гидротермальные тектонического класса полиметаллические антимонитовые и киноварные реальгар-аурипигментные	Zn, Cu, As ΣH	Ag, Cd, Pb	-	-	SO ₄ ²⁻ [HCO ₃] CO ₂ _{cb}		
Скарновые железо-cobальтовые медные вольфрамовые полиметаллические золотые	Zn, Cu, As ΣH	Fe, Co, Mn W, Mo As, Pb Au	В пределах близких скарнов Ti, Al, V, Ga	-	SO ₄ [HCO ₃] CO ₂ _{cb}		
оловянные борные	Sn B						
Гидротермальные плутоногенного класса кварцевого парагенезиса	Zn, Cu, As ΣH	Au, Ag Sn, Mo, F Be Mo, F, Be	Ti, Al, V	Y, Yb, Zr	SO ₄ ²⁻	Нейтральные; Eh=200-400; pH=6,5-7,3. Основные адденты: F ⁻ , SO ₄ ²⁻ , OH ⁻	Zn ²⁺ , Zn(OH) ²⁻ⁿ ; ZnHCO ₃ ⁿ ; ZnSO ₄ ; Cu ⁺ ; Cu ²⁺ ; CuHCO ₃ ⁿ ; CuSO ₄
золотые кварц-кассiterитовые кварц-молибденовые кварц-шешелитовые кварц-халькопиритовые кварц-висмутитовые кварц-уранинитовые	ΣH	W, Au, Mo Mo	Bi, Mo, F U, Mo, Be	Ti, Al, V	HCO ₃ , CO ₃ Cl		Cu(OH) ²⁻ⁿ ; H ₃ AsOH ₃ ⁿ ; H ₂ AsO ₄ ; HAsO ₄ ²⁻ ; H ₂ AsO ₃ ⁴⁻ⁿ ; Sn(OH) _n ⁴⁻ⁿ ; Sn(F,OH) _n ⁴⁻ⁿ
Альбит-грейзеновые ниобиевые литиевые	Zn, Cu, As, Nb ΣH	Nb Li, Rb, Be	Ti, Al, V, Ga	-	Na		UO ₂ ²⁺ ; UO ₂ (CO ₃) _{2-n} ; Nb(OH) _{3-n} ⁿ ; NbOF ₃ _n ; Rb ⁺
Грейзеновые касситеритовые вольфрамитовые беррилиевые	Zn, Cu, As, F ΣH	Sn, Mo, Be, F W, Mo, Be, F	Ti, Al, V, Ga	Zr, Y, Yb, La	Na, SO ₄ ²⁻		Be(F,OH) _n ²⁻ⁿ ; BeHCO ₃ _n ; HMnO ₄ ; MoO ₄ _n ; WO ₄ _n
Магматические раннемагматические хромиты	Cu, Zn, As ΣH	Cr, Ni, Mn, Co, Fe Ti, Fe, Cr, V	Ti, Al, V, Ga	-	Mg		
титано-магнетитовые алмазы	ΣH	Ni, Cr					
Пегматитовые метасоматически замещенные бериллиевые редких щелочей драгоценных камней	Zn, Cu, As ΣH	Be, F Li, Pb, Cs Be	Ti, Al, V, Ga	-	Na, K		

Тип месторождений по классификации В.И. Смирнова	Комплексы компонентов в аномальных концентрациях					Гидрогохимическая обстановка	Неорганические состояния рудных элементов в водах
	Сквозные элементы в ГХП оруднения любого типа	Элементы, подчеркивающие специфику месторождения определенного минерального типа	Сквозные гидролизаты в ГХП магматических комплексов пород, с которыми связано оруднение	Элементы в ГХП, подчеркивающие специфику магматического комплекса, с которыми связано оруднение	Макрокомпоненты в ГХП рудных месторождений		
Гидротермальные плутоногенного класса карбонатного парагенетика	Zn, Cu, As, $\sum H$	Fe, Mn	Пространственная разобщенность с ГХП.	-	Ga	Слабощелочные: Zn^{2+} , $ZnCO_3^{\beta}$, воды; $ZnHCO_3^{\beta}$, $Eh=100-300$; $pH=7,2 \pm 8,0$	$Zn(OH)^{2-n}$; Cu^+ , Cu^{2+} , $CuHCO_3^{\beta}$, $CuCO_3^{\beta}$, HCO_3OH^- , F^-
сiderитовые		Mn	месторождения	-	-	Основные адденды: CO_3^{2-} ; $HAsO_4^{2-}$, $H_2AsO_4^-$; $Sn(OH)^{4-n}$, $Sn(F,OH)^{2-n}$, WO_4^{2-n} ;	
родохрозит-родонитовые				-	-		
Карбонатитовые	Zn, Cu, As	Y, Yb, Ce, $\sum H$	Ti, Al, V, Ga	-	Ca		$NbO(OH)^{3-n}$;
редкоземельно-				-	-		
редкометальные		La		-	-	$NbOF_n^{3-n}$, $NbO(F,OH)_n^{3-n}$; Cs^+ , Rb^+ , Li^+	
Магматические	Zn, Cu, As, $\sum H$	Y, Yb, Ce, La	Ti, Al, V, Ga	Zr, Be	Na, K, CO_3^{2-}	Шелочные воды: $ZnOH_2^{2-}$, $HZnO_2^-$, $ZnCO_3^{\beta}$, $Eh=0-200$; $pH=7,8 \pm 12$.	
позднемагматические						$Zn(OH)_n^{2-n}$; Основные адденды: CO_3^{2-} , $Cu(CO_3)_n^{2-n}$, Cl^- , F^- , OH^- , $Cu(OH)_n^{2-n}$; Ba^{2+} , $BaCO_3^{\beta}$, $BaHCO_3^{\beta}$; $(CO_3)_n^m$, $(OH)_n^m$, F_n^m , $(F, OH)_n^m$, $(F, CO_3)_n^m$	
апатитовые							
редких земель							

П р и м е ч а н и я: 1. $[HCO_3]$ - отрицательные аномалии. 2. Выделены шрифтом - слабопроявленные, иногда отсутствующие элементы. 3. $\sum H$ - суммарная аномалия халькофильных элементов, определяемых из одной пробы спектральным анализом (Zn, Cu, Pb, Ag, Co, Ni, Cd, Bi, Mo).

определяющих формирование комплексных соединений элементов. В пределах гидрогеохимического поля может быть несколько видов лигандов. Это особенно характерно для щелочных сред, когда комплексообразование ярко выражено. Идет конкуренция между лигандами, образуются прочные гетерогенные комплексы, увеличивающие миграционные возможности элементов-комплексообразователей.

Именно создание в водах рудного объекта специфических условий миграции элементов и создает широкий спектр их состояний, среди которых можно выделить формы, характерные для многих или нескольких типов рудных объектов и специфические состояния, характерные для конкретного типа. Группы типов месторождений, отличающиеся по условиям миграции элементов, приведены в табл. 83.

ВЫВОДЫ СРАВНИТЕЛЬНОГО АНАЛИЗА ГИДРОГЕОХИМИЧЕСКИХ ПОЛЕЙ ПРИРОДНЫХ ОБЪЕКТОВ

На основе сравнительного анализа гидрогеохимических полей рудных месторождений необходимо сделать ряд главных выводов, которые могут лежать в основу формирования методики гидрогеохимических исследований в прикладных целях.

Гидрогеохимические поля рудных эндогенных месторождений, как правило, образованы широким комплексом химических элементов. Это связано с тем, что каждое месторождение само по себе - явление ярко аномальное. Нас же конкретно интересует полизлементность перераспределения элементов в рудных полях и, следовательно, полизлементность гидрогеохимических полей рудных месторождений, что имеет важное теоретическое и практическое значение для гидрогеохимического метода поисков или других задач.

Прежде всего, обратим внимание на явление повторяемости аномальных концентраций элементов в гидрогеохимических полях (табл. 84):

1) для широких групп различных классов месторождений, вплоть до большинства этих классов; это касается таких элементов, как цинк, медь, мышьяк, сера (сульфатный ион);

2) для более узких генетически родственных классов месторождений; F, Li, Mo, Be - и других - для многих редкometальных месторождений; комплекс Ti, Al, Ga, V, Zr - для месторождений, непосредственно связанных с магматическими комплексами;

3) для конкретных минералогических типов: Au - для золоторудных, Au, K - золотосеребряных близповерхностного типа, Cd, Ag - полиметаллических, W - вольфрамовых, Cs - поллуцитовых, Sb, Hg - сурьмяно-ртутных, U, Ra - радиоактивных и т.д.

Из сравнения гидрогеохимических полей месторождений раз-

Диаграмма распределений аномальных концентраций компонентов
в гидрогохимических полях эндогенных месторождений

Группы элементов в гидрогохимических полях классов месторождений	Классы месторождений	Примеры минеральных типов	Специфические компоненты гидрогохимических полей	
ΣSid	pH, CO_2 , Fe, HCO_3 ,	Гидротермальные плутоногенные сульфидного парагенезиса	Полиметаллические (галенит-сфалеритовые)	Cd, Ag
ΣL	Zn, Cu, $As, \sum H$	Скарновые Колчеданные Магматические ликвационные Гидротермально- вулканогенные Позднемагматиче- сские	Датолитовые Медно-колчеданные Медно-никелевые	B Eh Co
Li, Mo, Be	F	Гидротермальные плутоногенные кварцевого парагенезиса Грейзеновые Пегматитовые Гидротермальные плутоногенные карбонатного парагенезиса Карбонатитовые	Золотосеребряные Ниобиевые Кварц-висмутиновые	Au, K Nb Bi
pH, HCO_3			Вольфрамитовые Поллуцитовые Железо-марганцевые	W Cs -
			Редкоземельные	Ce

П р и м е ч а н и е. $\sum H$, $\sum L$, $\sum Sid$ - суммы халько-, лито- и сидеро- фильтных элементов, определяемые полуколичественным анализом концентратов из вод.

личных типов следует также, что аномальные концентрации определенного элемента изменяются в зависимости от класса (или подкласса) эндогенного оруденения. Например, концентрации элементов Zn, Cu, Pb, As отчетливо увеличиваются в ряду: плутоногенные кварцевого парагенезиса-грейзеновые- вулканогенные - скарновые-плутоногенные сульфидного парагенезиса-ликвационные - колчеданные, что связано с возрастанием количества сульфидных минералов (прежде всего цинка и меди), а также с увеличением окислительно- восстановительного потенциала, в основном связанным с окислением дисульфидов железа и меди, также возрастающих в этом ряду.

В ряду месторождений: пегматитовые-позднемагматические - гидротермальные вулканогенные - гидротермальные плутоногенные кварцевого парагенезиса - грейзеновые явно возрастают концентрации бериллия, что связано с увеличением не только

количества бериллия в рудах и гидротермальных, но также и фтора, с которым бериллий образует устойчивые комплексные соединения.

Концентрации олова увеличиваются в ряду: сульфидно-кассiterитовые - кварц-кассiterитовые - грейзеновые (в случае наличия кассiterита в последних) месторождения не только в связи с ростом процента олова в рудах (в грейзенах чаще меньше Sn, нежели в первых двух формациях), но опять-таки в связи с увеличением концентраций фтора в рудах (и, следовательно, в водах), с которыми олово, как и бериллий, образует устойчивые комплексы.

Это касается также никеля и кобальта, концентрации которых в гидрогоеохимических полях уменьшаются в ряду: ликвационные - колчеданные-плутоногенные сульфидного парагенезиса-редкометальные грейзеновые и плутоногенные кварцевого парагенезиса. Примеры можно было бы продолжить.

Таким образом, содержание элемента в гидрогоеохимическом поле рудного месторождения может характеризовать группу генетически родственных месторождений или отдельный их тип (при прочих одинаковых условиях).

Широкое гидрогоеохимическое опробование различных литологических комплексов, в том числе метасоматически измененных гидротермальными процессами, а также рудных месторождений самых различных типов, и проведенные корреляционный и факторный анализы данных опробования показали, что в гидрогоеохимических полях происходят фракционирование элементов и формирование их парагенетических групп. Развитие парагенетических групп соответствует природе процесса перераспределения элементов в породах, вещественному составу выветривающихся разностей пород и руд, свойствам элементов, определяющим их миграционные возможности в зоне гипергенеза.

В наиболее общем геохимическом смысле это формирование элементов по группам происходит в соответствии со свойствами элементов, изменяющимися в соответствии с Периодической системой. Действительно, мы всегда наблюдаем разделение элементов по коррелирующим концентрациям в гидрогоеохимическом поле, прежде всего, на две значительные группы: группу элементов, имеющих склонность к кислородным соединениям (литофильные элементы), и группу элементов, склонных к образованию соединений с серой (халькофильные элементы). Эти группы элементов функционально различаются типами связи своих соединений: для литофильных характерны ионные связи, для халькофильных - доноро-акцепторные связи. Основное повторяющееся ядро и той, и другой группы ("универсальные" подгруппы) составляют элементы, наиболее близкие по своим свойствам и со значительными содержаниями в породах и рудах. Так, ядро группы литофильных элементов составляет наиболее тесная по своим свойствам ассоциация элементов-гидролизатов (Al, Ti, Ga, V, Zr). Ядро группы халькофильных элементов со-

стоит из наиболее ярко выраженных халькофильных элементов - цинка, меди, железа, серы (сульфатного иона).

Специфическое течение процесса рудообразования отражается на элементном составе парагенетических групп в гидрохимическом поле. Так, в случае кислой магмы в процессе рудообразования к группе литофильных элементов добавляются Be, Sn, F, Y, Yb, а к группе халькофильных - молибден. В случае тесной связи рудообразования с основной и ультраосновной магмами в гидрохимическом поле появляются сидерофильные элементы. При этом Cr, Mn чаще коррелируют с элементами, составляющими ядро группы литофильных элементов, а Co, Ni включаются в группу элементов халькофилов. При наличии щелочных магм в группе литофильных ярко проявляются редкоземельные элементы и ниобий. Гидротермальный рудный процесс сульфидного парагенезиса приводит к добавлению в группу халькофильных элементов свинца и серебра.

Формирование парагенетических групп усложняется в результате совмещения в пространстве различных стадий рудного процесса, наложенных принципиально новых генетических процессов рудообразования на "старое" оруденение и т.д.

Перечисленные закономерности есть наиболее общее отражение процессов рудообразования в гидрохимическом поле. Фактическое разделение элементов в гидрохимическом поле конкретного месторождения зависит от многих наложенных процессов в зоне гипергенеза. Так, из ядра группы халькофильных элементов может выпадать железо вследствие интенсивного выпадения гидроксидов Fe(III) в окислительной обстановке: проявление серы (сульфатный ион) затушевывается в результате накопления SO_4^{2-} в аридной зоне, а для высокотемпературного гидротермального оруденения кварцевого парагенезиса, грейзенов или пегматитов с сульфидной вкрапленностью - часто не проявляется из-за низкой чувствительности анализа на сульфат-ион.

По этой же причине в гидрохимическом поле часто не проявляется Ag. Свинец в зоне окисления связывается в труднорастворимые англезит, а далее в плюмбоярозит. Наоборот, мышьяк, не являясь таким ярко выраженным халькофильным элементом, как медь и цинк, проявляется в группе халькофильных чаще свинца и серебра вследствие более значительных миграционных возможностей в гипергенной зоне.

Тем не менее разделение элементов на парагенетические группы в гидрохимическом поле - установленный факт, и выявление таковых имеет важное теоретическое и методическое значение.

Для гидрохимических полей эндогенного оруденения как такового прежде всего проявлена группа халькофильных элементов (чаще других Zn, Cu, As и сульфат-ион, реже Pb, Ag, Co, Ni). Группа в разных сочетаниях коррелирующих меж-

ду собой концентраций элементов является практически сквозной для гидрогеохимических полей любого типа эндогенного оруденения. Причины этого достаточно ясны: во-первых, сульфидообразование (убогое или обильное), являясь средне- для одних и низкотемпературным для образования других сульфидных минералов, большей частью проявляется в рудообразовании; во-вторых, сульфиды неустойчивы в зоне проникновения свободного кислорода, преобразуясь в относительно хорошо растворимые сульфатные при стандартных P и T , а затем (на карбонатных стадиях зоны окисления) - в растворимые (по сравнению с сульфидами) карбонатные минералы.

Разумеется, в зависимости от количества сульфидов в рудах, т.е. от типа месторождения, контрастность проявления этой группы будет разной в гидрогеохимических полях эндогенного оруденения, но, как показала практика, чувствительность анализа вполне достаточна, чтобы выявить ее и проследить корреляционные взаимоотношения отдельных элементов между собой. Как уже говорилось, конкретное ее выражение зависит от типа месторождений. Характерной чертой проявления этой группы халькофильных элементов является, как правило, ее отсутствие (в аномальных концентрациях) в гидрогеохимических полях литологических комплексов при отсутствии рудного процесса, а в случае присутствия отдельных компонентов этой группы не проявляются тесные корреляционные связи, которые собственно и объединяют элементы в парагенетическую группу.

Парагенетическая группа литофильных элементов присутствует в гидрогеохимическом поле рудных месторождений в том случае, если рудообразование тесно связано с проявлением магматизма (магматические, гидротермальные вулканогенного класса, плутоногенные кварцевого парагенезиса, грейзеновые и др.). Ядро этой группы, по данным корреляционного и факторного анализов, как уже говорилось, составляют Al, Ti, V, Ga, часто Zr. Это ядро для гидрогеохимических полей вполне правомерно считать универсальным для месторождений, тесно связанных с магматическими процессами. На конкретном месторождении в гидрогеохимическом поле с элементами этой группы коррелируют аномальные концентрации элементов, связанные с типом магматического проявления.

Группа литофильных элементов часто формирует собственные гидрогеохимические поля, пространственно не совпадающие с оруденением, и развивается в водах интрузивных тел различного состава (в особенности в апикальных и приконтактовых частях), эфузивных полей, прежде всего связанных с центрами излияний (в особенности с жерловыми фациями), гидротермально измененных пород, где часто ассоциирует со слабо проявленными аномальными концентрациями халькофильных элементов, региональных глубинных разломов.

Пространственные взаимоотношения групп литофильных,

халькофильных и сидерофильных элементов будут различными для конкретных типов оруденения. В общем случае, если месторождение не имеет тесной связи с магматическими комплексами, то группа литофильных элементов в гидрогоеохимическом поле выделяется слабо или не выделяется совсем. В случае же тесной связи происходит наложение гидрогоеохимических полей литофильных (а в случае основных магм и сидерофильных) элементов на водное рассеяние элементов-халькофилов. В этом случае, несмотря на различие свойств, при наличии тесной пространственной связи в породах в гидрогоеохимических полях тесными корреляционными связями не только выделяются парагенетические группы различных по свойствам элементов, но возникают связи между группами. Наиболее характерно это для гидротермальных месторождений вулканогенного класса и скарновых месторождений, где чрезвычайно интенсивны гидротермальные и метасоматические изменения пород и руд.

Как было показано ранее, расчет корреляционных связей для региона, в котором пространственно разобщено оруденение, связанное с интрузивными комплексами, и оруденение, не связанное с ними, выявляет парагенетические группы, не связанные между собой и характерные для рудных полей каждого

Таблица 85

Парагенетические группы элементов в гидрогоеохимических полях некоторых конкретных типов рудных месторождений, выделенные с помощью корреляционного анализа

Тип оруденения	Выраженные парагенетические группы с сильными связями	Основные элементы руд
Гидротермальное золоторудное кварцевого подкласса	1. Ti, V, Ga, Ba. 2. Cu, Mn, Ni, Pb	Au
Гидротермальное олововольфрамовое кварцевого подкласса	1. Al, Ti, Ga, Zr, V, Ba, Ni. 2. Sn, Mo, As	Sn, W
Скарново-полиметаллическое	1. Ti, Ga, V, Sn, Ba, Cu, SO_4^{2-} , Mn. 2. Zn, Pb 3. Co, Ni	Zn, Pb
Позднемагматическое, ниобиевое	1. Al, Ti, Sn, Mg, Zn, Cr. 2. Na, Ca	Nb
Гидротермальное оловорудное, сульфидного подкласса	1. Zn, Pb, Cu, S, Mn. 2. Ni, Cr	Sn
Гидротермальное золотосеребряное вулканогенного класса, связанное с субвулканом андезитов	1. Ti, Ga, V, Cu, Cr, Ni, Co. 2. Au, K	Au, Ag
Гидротермальное золотосеребряное, вулканогенного класса, связанное с субвулканом липаритов	1. Al, Ti, Si, Be, Ga, V. 2. Fe, Mn, Zn, SO_4^{2-}	Au, Ag

типа. В случае же близких генетических связей между месторождениями и магматическими очагами, не разобщенных пространственно, как для плутоногенных месторождений сульфидного парагенезиса (расчет проведен для рудного района с сульфидно-кассiterитовым оруденением) выделяющиеся тесными связями парагенетические группы лиофильных и халькофильных элементов проявляют также связи и между собой. Олово как главный рудный элемент, да к тому же проявляющий как парамагнитные, так и диамагнитные свойства, связан с той и другой группами.

Формирование парагенетических групп на конкретных месторождениях показано в табл. 85.

Кроме подтверждения о формировании в гидрогоеохимическом поле парагенетических групп лиофильных, халькофильных и сидерофильных элементов и связях между ними в зависимости от типа оруденения проявляется еще одна закономерность: часто элементы, наиболее интенсивно концентрирующиеся в рудах (т.е. промышленно интересные элементы), не участвуют в формировании парагенетических групп или образуют свою собственную группу. Это нарушение корреляционных связей непосредственно на рудном поле между Al и Be (на бериллиевом месторождении) и между Al и Sn (на оловорудном месторождении) впервые подмечено В.З. Рубейкиным, а затем нарушение связей между рудными и ураном использовано для интерпретации гидрогоеохимических данных при поисках радиоактивных руд.

Совершенно очевидно, что корреляционную связь нарушает несоответствие распределения рудного и других элементов между рудами и вмещающими (интенсивно измененными) породами, что отражается в гидрогоеохимическом поле.

Однако некоторыми исследователями показано, что с приближением к рудам в гидрогоеохимическом поле отдельно выделяется парагенетическая группа элементов, наиболее концентрирующихся в рудах. Это как бы наследуемый гидрогоеохимическим полем парагенезис рудоотложения. Так, полученная корреляционная матрица по всему гидрогоеохимическому полю скарнового полиметаллического месторождения (включая "дальние" и "ближние" скарны - полная выборка аномальных проб) позволяет выделить две группы элементов, тесно связанных между собой, - Zn, SO_4^{2-} , Cr и Ti, V, Ga, Ba, Be, Pb, Mn ($K_{\text{корр}}$ от 0,5 до 0,8 при значимом - 0,2), к которым присоединяются менее тесными связями ($K_{\text{корр}}$ от 0,3 до 0,5) сидерофильные элементы Co и Ni. Отметим участие в группах сидерофильных элементов, видимо, активно участвующих в рудном процессе.

Ограничение выборки гидрогоеохимическими пробами, отобранными в пределах рудных тел, скарнов и в непосредственной близости от них, дает возможность выделить три парагенетические группы элементов, связанных тесными корреляционными

связями: широкую группу литофильных элементов, связанных, по-видимому, с выветриванием метасоматитов и гидротермально измененных пород - Ti, V, Ga, Sn, Mn (менее тесно связаны Ba, Be), и две группы, связанные почти функциональными связями: Co, Ni и Pb, Zn (последняя с $K_{\text{корр}} > 0,9$).

Весьма сильная связь между Zn и Pb (как известно, различающихся в зоне гипергенеза по своим миграционным возможностям) может быть объяснена только тем, что она отражает парагенетическую связь этих элементов в рудах (точнее в рудообразовании), и разница в свойствах их для зоны гипергенеза "не успела набрать силу" - она проявится далее, и эти два элемента затем ослабят свои связи в гидрогеохимическом поле, разойдясь по разным группам.

Отделение группы Co, Ni на основании этих рассуждений позволяет прогнозировать наличие залегания руды с промышленно интересными концентрациями Co и Ni (в особенности первого), связанных с образованием железокобальтовых скарнов. Следует сказать, что на основе корреляционного анализа большой выборки гидрогеохимических проб по одному из оловорудных районов на Востоке, включающего около 30 месторождений и рудопоявлений олова, был сделан прогноз о возможности проявления бериллиевой минерализации в этом районе, поскольку бериллий присоединился к группе халькофильных, а не литофильных элементов. Впоследствии действительно было обнаружено рудопоявление бериллия (как геологическими маршрутами, так и гидрогеохимическими поисками).

При описании гидрогеохимических полей близповерхностного золотосеребряного оруденения мы отмечали нарастание коэффициента корреляции для золота и калия (хотя это элементы с различными миграционными способностями в зоне гипергенеза). Это нарастание отражало тесный парагенезис этих двух элементов при рудообразовании, связанных с калиевым метасоматозом.

Итак, формирование парагенетических групп в гидрогеохимическом поле с приближением к руде все в большей степени отражает парагенезис элементов при рудообразовании, хотя, разумеется, достаточно искаженно, различными свойствами элементов в водах зоны гипергенеза.

Таким образом:

1) в гидрогеохимическом поле рудного месторождения происходит фракционирование элементов по парагенетическим группам, которые можно выделить с помощью корреляционного или факторного анализа; эти группы в стратегическом смысле отражают общую геохимическую классификацию элементов по свойствам, и основой их являются литофильные, халькофильные и сидерофильные элементы (последние в зависимости от литофильности или халькофильности чаще присоединяются к той или иной группе);

2) парагенетические группы элементов в гидрогеохимическом

поле отражают внутренние свойства элементов, определяющие, с одной стороны, распределение элементов в породах и рудах (и, следовательно, парагенетические группы наследуют это распределение),

с другой - поведение их в водах: недостаточность знаний по распределению некоторых элементов в породах и водах приводит к тому, что некоторые конкретные связи достаточно трудно объяснимы;

3) парагенетические группы элементов в гидрогоеохимическом поле зависят от класса месторождения и проявляют своеобразие в зависимости от минерального типа месторождения. В связи с этим при интерпретации гидрогоеохимических полей в задачах поисков необходим разбор парагенетических групп как в пределах целого региона, так и локальных проявлений гидрогоеохимических аномалий.

Важный вывод, следующий из сравнительного анализа гидрогоеохимических полей природных объектов и рудных месторождений, в частности касается понятия зональности, связанной с самыми различными факторами формирования поля. В общем виде это формулируется следующим образом: гидрогоеохимические поля рудных месторождений несут черты зональностей, связанные с известными природными зональностями геологического, геохимического и физико-географического характера. Накладываясь и взаимодействуя, процессы формирования различных видов зональностей создают сложную систему влияния на формирование гидрогоеохимического поля рудного месторождения.

Отметим главные факторы влияния, связанные с зональностями.

Гидрогоеохимическое поле отражает закономерности, связанные с генетическими особенностями месторождений в зависимости от их отношений с магматической деятельностью. Это отношение оказывается прежде всего на элементном составе и концентрации элементов гидрогоеохимических полей, которые "реагируют" как на близость интрузии, субвулкана, шва, насыщенного магматическими массами, или центра излияния магмы, с которыми генетически связано месторождение, так и на их состав. Причем в гидрогоеохимических полях отражаются как зональности региональных порядков (линейного или центрального характера), так и локальные в пределах одной структуры (с приближением к интрузиву) или даже одного месторождения (ближние и дальние скарны).

Разумеется, такого рода зональности отражаются и на составе парагенетических групп гидрогоеохимических полей рудных месторождений: их количество и теснота связей внутри групп возрастают от безрудных пород к низкотемпературным формациям оруденения и далее к высокотемпературным с приближением к магматическим телам.

Главный фактор геохимической зональности - это фактор наличия свободного кислорода. Убывая с глубиной, концент-

рация кислорода формирует вертикальную зональность ОВП, определяющую прямо или опосредованно миграционные возможности многих элементов в подземных водах. Общий результат этой зональности - ухудшение с глубиной подвижности значительной группы элементов (халькофилов, урана и др.) и улучшение миграции лишь ограниченного числа элементов (Fe, Mn).

4. И, наконец, одним из важных выводов сравнительного анализа гидрогеохимических полей является следующий: рассмотрение состояний элементов резко расширяет круг характеристик гидрогеохимического поля, придавая ему новые качественные признаки, значительно углубляя наши знания о миграции химических элементов, масштабно расширяя сам образ гидрогеохимического поля. И теоретическое, и прикладное значение этого фактора огромно, поскольку резко расширяет объем получаемой информации как в поисковом и прогностическом аспектах оценки рудоносности, так и в смежных областях, где рассматриваются проблемы гидроминерального сырья, загрязнения вод, экологии и др.

Разнообразие состояний элементов, несомненно, связано с разнообразием как состава выветривающихся объектов, так и сред, в которых мигрируют элементы. И это разнообразие будет возрастать от вод безрудных массивов к водам измененных пород (метасоматитов), рудам и, наконец, разрабатываемым месторождениям, где человек вовлекает руды в цикл самых разнообразных процессов.

ПРИКЛАДНОЕ ЗНАЧЕНИЕ ГИДРОГЕОХИМИЧЕСКИХ ИССЛЕДОВАНИЙ И КОНЦЕПЦИЯ РАЦИОНАЛЬНОЙ МЕТОДИКИ РЕШЕНИЯ ПРИКЛАДНЫХ ЗАДАЧ (НА ПРИМЕРЕ ИЗУЧЕНИЯ ГХП РУДНЫХ МЕСТОРОЖДЕНИЙ)

Рассмотрение гидрогеохимии эндогенного оруденения позволяет оценить, насколько значительно количество гидрогеохимических данных, получаемых при изучении ГХП рудных месторождений, прежде всего вследствие их многомерности, т.е. рассеяния чрезвычайно широкого комплекса химических элементов, непрерывно трансформирующих свои состояния в зависимости от гидрогеохимической обстановки в пределах рудного поля. Но комплекс компонентов и их концентрации резко возрастают в случае разведочных работ, а тем более разработки месторождения. Однако изменение химического состава вызывает не только рассеяние не тронутых человеком или разрабатываемых месторождений, но также и многие другие при-

чины, в ряду которых прежде всего стоят причины, порождаемые человеческой деятельностью.

Поэтому остановимся вначале на стратегии общего решения комплекса прикладных задач, связанных с изучением химического состава вод, в ряду которых есть и задачи, связанные с исследованием ГХП рудных месторождений - их поиски и охрана среды в горнодобывающих районах.

ГИДРОГЕОХИМИЧЕСКАЯ ИНФОРМАЦИЯ И ВЫБОР ОПТИМАЛЬНОГО КОМПЛЕКСА ГИДРОГЕОХИМИЧЕСКИХ ИССЛЕДОВАНИЙ ПРИ РЕШЕНИИ ЗАДАЧ

Развитие гидросферы как мигрирующей субстанции в значительной степени определяет и взаимосвязь между отдельными таксонами природной среды, и сам механизм взаимодействия между ними с точки зрения энерго- и массообмена. В конечном счете первоочередное значение имеет энерго- и массообмен между живыми организмами и окружающей средой. Именно исходя из главного положения формулируются основные прикладные задачи гидрогеохимических исследований, такие как:

определение качества подземных вод для хозяйствственно-питьевого водоснабжения и бальнеологии;

оценка техногенных воздействий на гидросферу, характера и степени загрязнения подземных вод;

составление вод и почв в результате мелиорации земель;

оценка воды в качестве гидроминерального сырья;

оценка общих перспектив территории на полезные ископаемые;

оценка существующего и возможного физико-химического воздействия подземных вод на горные породы и объекты строительства и другие менее важные и объемные направления.

В связи со значительным расширением круга задач гидро-геохимических исследований большое значение приобретает подход к выбору методов, обеспечивающий рациональный их комплекс на каждом этапе этих исследований. Подобный подход с целью выявления рационального комплекса для решения поставленной задачи определенной стадии исследований может быть реализован, если определен продукт этих исследований, который является общим для любого метода изучения вод. Таким продуктом является информация, которую мы получаем в результате применения любого из методов. В данном случае под информацией понимается (как это и следует из теории информации) не вообще любые сведения о химическом составе вод, но только новые, о которых ничего не было известно до применения используемого метода. Кратко характеризуем суть гидрогеохимической информации, отражающей процесс формирования химического состава вод.

Основная задача гидрогохимических исследований - познание сущности природных систем, а точнее гидрогохимической сущности этих систем. Это познание осуществляется в процессе получения гидрогохимической информации. Главный инструмент исследований - анализ химического состава воды.

Что такое гидрогохимическая информация, каков ее "запас" при исследованиях природных систем? Интуитивно ясно, что если бы химический состав природной воды не изменялся, не существовало бы и гидрогохимической сущности природных систем, точнее, она была бы единой для всех систем. Однако отражение природных систем в химическом составе воды - установленный факт. Характер отражения природной системы в химическом составе воды и представляет собой информацию о ней. Каков ее запас и как выразить ее количественно?

Пусть водная система занимает пространство Q . Рассмотрим распределение i -го компонента в этом пространстве. Для этого Q удобно разбить на n элементарных объемов q_1, q_2, \dots, q_n , в каждом из которых определена концентрация i -го компонента в воде. Выберем для значений концентраций интервалы, в пределах которых определяемая концентрация будет принадлежать данному интервалу. Если теперь сложить все элементарные объемы, в которых концентрация i -го компонента принадлежит определенному k -му интервалу ($\sum q_k = Q_k$), то можно записать, что вероятность попадания определяемых концентраций в k -й интервал равна Q_k/Q , а энтропия (неопределенность) рассматриваемого распределения i -го компонента для всех рассматриваемых интервалов (m интервалов) будет, как известно,

$$H_i = -\sum_1^m \frac{Q_k}{Q} \log \frac{Q_k}{Q}.$$

Вычисленную энтропию можно трактовать как меру неоднородности (сложности) распределения концентраций i -го компонента в исследуемом пространстве Q . Естественно, что H_i может служить информационной мерой, ибо выражает полное количество информации, которую можно получить, изучив распределение i -го компонента в водах исследуемого пространства Q . Например, система из трех проб воды (гидрокарбонатная, сульфатная и хлоридная), выбираемых наугад, имеет энтропию, равную $-0,333 \log 0,333 - 0,333 \log 0,333 - 0,333 \times \log 0,333 = 0,477$, тогда как система, представляющая собой горную страну, по гидрокарбонатности, сульфатности или хлоридности источников обладает меньшей неопределенностью (более очевидна, менее информативна): априори ясно, что наиболее вероятны гидрокарбонатные источники. Так, если мы зададимся вероятностями соответственно 0,8; 0,1; 0,1, то получим $H(x) = -0,8 \log 0,8 - 0,1 \log 0,1 = 0,267$. Из

теории информации следует также, что при частичном (неполном) выяснении распределения концентраций компонента количество информации J составит $H_i - H'_i$, где H'_i - остаточная энтропия (неопределенность, невыясненность) распределения концентраций компонента i после частичного изучения системы.

Если изучается распределение в природных водах концентраций p независимых компонентов, то неопределенность такой системы характеризуется объединенной энтропией, которую можно записать как сумму энтропий отдельных подсистем, связанных с распределением каждого из компонентов: $H = H_A + H_B + \dots + H_p$, а в случае, если концентрации компонентов зависят, $H = H_A + H_{(B/A)} + H_{(C/BA)} + \dots$, где $H_{(B/A)}$ $H_{(C/BA)}$ - условные энтропии распределения концентраций компонентов.

Как мы сказали, H выражает полное количество информации, которое можно получить, изучив распределение концентраций всех p компонентов. Соответственно, при изучении распределения только части компонентов $I = H - H'$, где H - остаточная энтропия - "недоизученность" исследуемого пространства. Следовательно, общий "запас" информации равен энтропии H распределения концентраций компонентов в при-

родном растворе. При увеличении числа изучаемых компонентов химического состава воды и числа интервалов концентраций для каждого из них H возрастает. Отсюда следует важный вывод: количество информации определяется изменчивостью химического состава вод, изучаемых в определенном пространстве и заданном интервале времени.

Здесь же важно заметить, что поскольку H возрастает с увеличением числа интервалов, то количество информации, которое мы можем получить при исследованиях, возрастает с увеличением детальности нашего изучения, т.е. когда грубые интервалы разбиваются на более мелкие, и оценивается уже распределение концентраций с учетом этого разбиения (более тонкие исследования на основе более чувствительных и точных анализов). Действительно, при двух интервалах с равными вероятностями попадания в каждый информация от сообщения о том, в какой попала определяемая концентрация, равна $1/2 \ln 1/2 = \ln 2$ (1 бит). При n интервалах $I = \ln n$, при возрастании n I возрастает.

Совершенно аналогичные рассуждения, приводящие к тем же выводам, можно привести не относительно пространства, разбиваемого на элементарные объемы, а относительно множества элементарных (единичных) "водных" объектов, придав каждому объекту концентрацию компонента, попадающего в определенный интервал. Например, количество гидрогеохимической информации

Таблица 8

Интервалы концентраций (мкг/л), вероятности встречаемости территорий в различных геологических

Район исследований	Цинк		Медь		Олово		Свинец		Титан	
	Интервал	P_i								
Оловополиметаллический	0-следы	0,51	Следы-1	0,63	0	0,82	0	0,78	1-3	0,19
(Дальний Восток)	1-3	0,24	1-3	0,18	Следы-1	0,1	Следы-1	0,13	3-10	0,72
Зона Гидрокарбонатного разлома	3-10	0,13	3-10	0,1	1-3	0,03	1-3	0,09	10-30	0,06
Вулканогенно-осадочная толща	10-30	0,05	10-30	0,09	3-10	0,05			30-100	0,03
	30-100	0,05								
	100	0,02								
Зона Гидрокарбонатного разлома	0-следы	0,83	Следы-1	0,73	0	0,85	0	0,53	1-3	0,05
	1-3	0,11	1-3	0,15	Следы-1	0,1	Следы-1	0,25	3-10	0,23
	3-10	0,06	3-10	0,12	1-3	0,05	1-3	0,11	10-30	0,44
	10-30	0,01					3-10	0,11	30-100	0,12
									>100	0,16

Бериллий	Литий		Рубидий		Кобальт		Энтропия, бит
	Интервал	P_i	Интервал	P_i	Интервал	P_i	
0	0,85	0	-	0	-	0	0,88
Следы-1	0,13					Следы-1	0,12
0-1	0,02						
0	0,24	< 100	0,85	0-100	0,81	0	0,83
Следы-0,1	0,40	100-1000	0,07	100-1000	0,08	Следы-1	0,11
0,1-1	0,13	1000-5000	0,03	1000-3000	0,04	1-3	0,06
1-3	0,07						
3-10	0,07	5000-10000	0,02	3000	0,07		
10-30	0,08						
30-100	0,01	10000	0,03				
0	0,90	0	-	0	0	0	
Следы-0,1	0,1						

или (что то же) мера гидрогеохимической сложности, оцененные в двоичных единицах для восьми наиболее интересных элементов для трех регионов по данным опробования вод монотонной вулканогенно-осадочной толщи (Дальний Восток), оловополиметаллического рудного района (Дальний Восток), района Гиндукушского разлома (Афганистан), перспективного на барий-полиметаллические руды и углекислые минеральные и промышленные воды, составили соответственно 1,897; 7,536 и 11,368 (табл. 86).

Расчеты подтверждают, что количество информации, которое можно получить при исследовании перечисленных элементов (мера гидрогеохимической сложности) выше у третьего региона прежде всего за счет развития углекислых вод, а наиболее низкое, как и следовало ожидать, для монотонной вулканогенно-осадочной толщи.

Если не рассматривать ограничения, налагаемые конкретными задачами, то можно говорить о максимальном количестве информации, которая определяется изменчивостью химического состава воды на данном участке в определенный отрезок времени. Однако получение всей этой информации ограничивается уровнем наших знаний относительно системы природных вод (состояний элементов, их взаимоотношений, протекающих процессов и т.д.). Этот уровень обусловлен также (и прежде всего) уровнем наших аналитических возможностей. Именно в этом смысле уместно говорить о максимальном количестве информации при изучении химического состава воды.

Количество информации и ее распределение зависят от цели работ. В приведенном примере, если бы узкой целью работ был бы поиск углекислых вод, другая информация нам бы просто не понадобилась.

Таким образом, в максимально возможном количестве информации заложены наши возможности гидрогеохимического изучения тех геологических объектов, которые получают отражение в химическом составе воды, другими словами, им определяется весь перечень задач, которые могут быть решены при гидрогеохимических исследованиях.

Распределение информации. Распределение информации имеет большое значение при планировании гидрогеохимических исследований и выработке наиболее рационального построения методики исследований.

С общих позиций, каждый геологический (в том числе гидрогеохимический) процесс, происходящий в пространстве и времени, несет новые свойства и обеспечивает распределение свойств, которые и являются носителями информации. Наложение геологических процессов приводит к формированию геологического объекта и одновременному наложению свойств в пространстве гидросферы, отражающемуся на комплексе и содержаниях (концентрациях) компонентов, т.е. приводит как бы к сгущению гидрогеохимической (или другой) информации в про-

странстве, формированию своеобразных "информационных узлов", подпространству, где наиболее ярко выражен суммарный результат процессов. Такие "информационные узлы", возникающие в результате наложения любых, а не только геологических процессов, могут быть региональными (зона взаимодействия плиты и океана; загрязнение среды как зона взаимодействия человека и окружающей среды, и даже Россия, как зона влияния Запада и Востока или Северная Америка, как зона эмиграции (и взаимодействия) самых различных этнических групп и др.) или локальными (месторождения полезных ископаемых, метеоритные кратеры, импактное загрязнение и т.д.). В полной мере это касается подземных вод с их региональными (горизонтальной, поясной, вертикальной) зональностями и азональными явлениями, связанными с локальными объектами (гидрогеохимические поля месторождений, сбросные воды и т.д.).

Говоря об "информационном узле", мы подразумеваем места наибольшей концентрации информации, но это значит, что есть участки с меньшей ее концентрацией. Тогда можно говорить о распределении плотности информации и в этом смысле об информационном поле, как плотностном распределении информации определенного вида (например, гидрогеохимической, т.е. касающейся распределения концентраций компонентов в гидросфере). Пусть идет слив в водоносный горизонт попутных вод отрабатываемого рудного месторождения. При этом в месте закачки формируется специфический аномальный состав вод, который по мере удаления от места слива приближается к составу вод этого горизонта. Очевидно, что наибольшее число компонентов и сложность распределения концентраций сосредоточатся вблизи места закачки, постепенно "упрощаясь" по мере удаления. В соответствии с этим изменяется и плотность гидрогеохимической информации, если понимать под плотностью число единиц информации на единицу площади или объема пород. При этом по аналогии с физическим полем (в данном случае гидрогеохимическим) информационное поле можно было бы представить как $\Pi = f(x, y, z, \tau)$, где Π - плотность информации; x, y, z - координаты пространства, а τ - время. В прагматическом смысле информационное поле возникает в случае определения цели наших исследований. Таким образом, при изучении геологических явлений информационное поле неразрывно связано с целью, т.е. $\Pi = f(C)$, где C - цель исследований. Тогда $\Pi = f(x, y, z, \tau | C)$.

Классификация информации и формирование оптимального комплекса исследований. Если определена цель исследований, что является необходимым условием всякого изучения, можно ли определить какие-нибудь качественные отличия информации и таким образом классифицировать ее? Это можно сделать, используя свойство ее двойственности. Формирование любого природного объекта происходит под влиянием целого ряда факторов. Каждый фактор вносит свою долю в формирование этого

объекта и "оставляет следы" своего влияния, которые могут быть обнаружены при исследовании объекта. Эти "следы" несут информацию о влиянии определенного фактора на формирование объекта. Но эта информация характеризует не только фактор, но также и сам объект, поскольку является и его характеристикой. Таким образом, любая информация имеет двойственный характер: в общем принадлежать объекту, а в частности - характеризовать определенный фактор влияния. Если рассмотреть целый ряд объектов, то фактор влияния (информационный признак) может "окрашивать" весь ряд, часть этого ряда (если он участвует в формировании части (группы) объектов этого ряда), или только один определенный объект. При этом, во втором случае этот информационный признак будет общим для группы объектов, но частным по отношению к этой группе объектов при рассмотрении всего ряда. В первом случае - общим для всего ряда, но частным по отношению к нему при рассмотрении еще более широкого ряда объектов. В третьем случае, как мы уже говорили, - принадлежать конкретному объекту, в частности - одному из факторов влияния, формирующего этот объект (если бы мы решили заняться более тонкими исследованиями факторов, формирующих конкретный объект).

Таким образом, в любом информационном показателе существуют общие и частные характеристики природных объектов (явлений), а степень общности или частности (информационный уровень) определяется (проявляется) целью работ. Именно это свойство информации позволяет найти рациональные пути получения информации, а следовательно, и пути создания рациональных методик.

Итак, для геологических объектов мы рассматриваем два основных класса информации: общую, отличающую всю группу изучаемых объектов среди всех других, и специальную, различающую объекты внутри группы. Эти две классификационные единицы, суть которых определяется двойственным характером получаемой информации, позволяют получить сколь угодно подробные классификации информационных уровней для любого количества изучаемых систем при наличии целей исследования. Таким образом, существует информация, которая как бы пронизывает все информационное поле, принадлежит всему этому полю, а другая - накапливается в местах наибольших ее плотностей и является их характеристикой. Например, для минеральных вод Гиндукуша свойство регионального метаморфизма принадлежит всей территории, где возможно развитие минеральных вод, но в пределах определенного, наиболее перспективного региона с многочисленными развитыми источниками к центру все более увеличиваются минерализация, концентрация углекислого газа, расширяется комплекс микроэлементов и растут их концентрации. К периферии же увеличиваются дебиты источников, их температура, концентрация азота. Таким об-

разом, к центру нарастает информация, касающаяся углекислых минеральных вод, а к периферии - азотных термальных.

Общая и специальная информация определяют соответственно наиболее общий и наиболее частный информационные уровни. Информация, характеризующая последний, принадлежит той локальной части пространства, где происходит интересующий нас процесс или находится конкретный искомый объект. Однако исследования внутри системы приводят к необходимости выделения и дальнейшего изучения подсистем (групп) изучаемых объектов и, следовательно, важной является информация, выделяющая определенную подсистему (группу) среди других подсистем (групп). Показатели групповой информации выделяются с конкретными методическими целями и по характеру являются более общими, нежели специальные, но более специальными по сравнению с общими (например, класс групповых гидрохимических поисковых признаков рудных месторождений [15, 25]).

Определение иерархии информационных уровней имеет важное методическое значение, поскольку открывает возможности рационального получения информации, т.е. возможность достичь конечного пункта исследований, пользуясь минимальным количеством информации, а другими словами, истратив минимум времени и средств, поскольку единица информации имеет как денежное, так и временное достоинство. Сформулируем основной принцип рационального получения информации при исследованиях: *рациональное получение информации требует, чтобы на каждом предыдущем этапе получаемая информация была более общей по сравнению с последующими этапами*. В соответствии с этим используемые в исследованиях гидрохимические показатели должны быть более общими на каждом предыдущем уровне исследований и более специальными на каждом последующем.

Рассмотрим, как это выглядит на конкретном примере гидрохимических поисков. Поскольку любой продукт (в данном случае - информация) имеет стоимость, то прагматический аспект, т.е. эффективность (выгодность) ее получения, может рассматриваться с двух точек зрения:

1) при равных стоимостях более эффективной будет та операция, в результате которой можно получить больше информации (неизвестных доселе сведений) для целей решаемой задачи;

2) возможность решить задачу, использовав ("истратив") меньшее количество информации.

Рассмотрим упрощенную задачу поиска рудного объекта, тип которого может быть любым из достаточно широкого списка (т.е. в соответствии с задачей региональных работ). Разобъем поисковое пространство на n элементов, в каждом из которых отбирается гидрохимическая проба, конкретный показатель которой отвечает на вопрос о наличии или отсутствии связи i -го элемента с оруденением конкретного типа. Таким образом, количество информации от пробы составляет 1 бит.

Необходим полный перебор всех n элементов (опробование всей площади) для отбора перспективных из них. При q типах оруденения (и таком же числе показателей) $I = qn$ бит. В случае, если тип оруденения "угадан" (и использован всего один гидрохимический показатель) - $I = n$ бит, а при двух "угаданных" типах $I = 2n$ бит.

Однако можно обойтись гораздо меньшим количеством информации, если получать ее поэтапно, меняя гидрохимический показатель таким образом, чтобы на каждом этапе разбивать совокупность из n элементов пополам. В этом случае число показателей будет $\ln n$, а количество информации (в битах)

$$n + n/2 + n/4 + n/8 \dots < 2n.$$

Другими словами, если ожидается более двух типов оруденения, то оптимальным будет поэтапное получение информации. При этом поиск будет еще более эффективным, если ГП будет разбивать совокупность опробуемых элементов n на две неравные части, в меньшей из которых находится искомый объект. Таким образом, рациональным является поэтапное получение информации, при котором каждый последующий ГП будет более специфическим по отношению к объекту поиска. Ясно, что каждый этап со сменой показателя как раз и представляет собой информационный уровень, и ГП должны соответствовать этому уровню, неся наибольшее количество информации на этом уровне среди прочих ГП, т.е. решать задачи этого уровня, например, отбраковывая на первом этапе безрудную площадь, на следующем - площадь, не перспективную для данной металлогенической зоны, и, наконец, оконтуривая наиболее перспективные участки конкретного типа руд.

Таким образом, получение гидрохимической информации реализуется с помощью гидрохимических показателей ГП, "работающих" на соответствующих информационных уровнях. Выбор ГП проводится на основе опытно-методических или производственных работ путем учета частот встречаемости ГП в пределах безрудных и рудных объектов разного типа. Принципиальным при этом является сравнение информационных оценок ГП в пределах конкретного уровня, определяемого целью (стадией) работ (рис. 24). Отсюда можно вывести классификацию гидрохимических показателей (поисковых признаков), разбиваемых на классы, соответствующие информационным уровням, т.е. целям работ (табл. 87). При этом классы в соответствии с целями работ различаются по степени общности или специфичности получаемой информации - этого главного свойства информации.

Схематично определим цели основных стадий геологического производства - информационные уровни. Наиболее общая цель, преследуемая региональными мелко- и среднемасштабными работами (масштабы мельче 1:100 000), - указать местополо-

Рис. 24. Уровни частных информационных оценок гидрогеохимических поисковых признаков для целей выделения всей системы эндогенных рудных месторождений среди безрудных пород (а), различия группы гидротермальных плутоногенных месторождений кварцевого подкласса (кварц-кассiterитовых и кварц-молибденитовых) в системе эндогенного оруденения (б), различия вулканогенных золото-серебряных месторождений в системе эндогенного оруденения (в).

Поисковые признаки: 1 - $Zn_{\text{дтз}}^{1-10}$; 2 - $Zn_{\text{дтз}}^{10-100}$; 3 - $Zn_{\text{дтз}}^{>100}$; 4 - $Zn_{\text{дтз}}^{\text{общ}}$; 5 - $Cu_{\text{длк}}$; 6 - SO_4^{1-12} ; 7 - SO_4^{12-25} ; 8 - $SO_4^{>25}$; 9 - $SO_4^{\text{общ}}$; 10 - $\sum_{\text{хальк}}$; 11 - $\sum_{\text{лит}}$; 12 - $Sn_{\text{вал}}$; 13 - $Au_{\text{вал}}$; 14 - $Cu_{\text{вал}}$; 15 - $As_{\text{вал}}$; 16 - $Be_{\text{вал}}$; 17 - $F_{\text{вал}}$; 18 - $pH \cdot HCO_3$; 19 - $Mo_{\text{вал}}$. Крестиками отмечены поисковые признаки, входящие вациональный комплекс определенной стадии работ

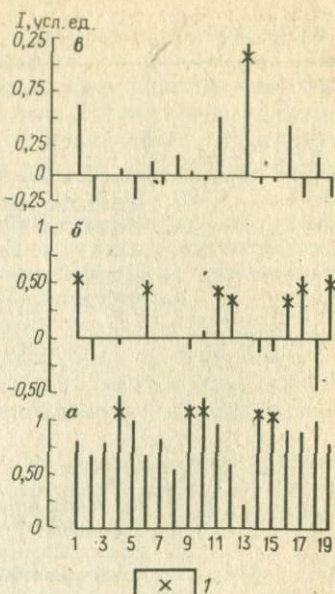


Таблица 87

Классификация гидрогеохимических поисковых признаков (ГП)

Класс ГП	Показатели, являющиеся ГП	Типы объектов, для которых характерна высокая вероятность встречи ГП	Стадии и масштабы работ
Общие (универсальные)	$\sum Me_1 - \sum (Zn, Cu, Pb)$ - дитизоновый метод. Комплекс халькофильных элементов из одной пробы: спектральный анализ концентрат - $\sum H$ - $\sum (Cu, Pb, Zn, Ag, As, Mo, Co, Ni, Cd, Sb)$ As - химический анализ Сульфат-ион-нефелометрический анализ	Независимо от типа оруденения	На всех стадиях работ, независимо от масштаба
Групповые	pH, HCO_3, CO_2 - химический анализ ^{св} $\sum Fe$ - $\alpha\alpha$ -дипиридилианализ. F-лантанализ-рин-комплексан-анализ. Li, Rb - пламеннофотометрический анализ. Mo, Be-атомно-абсорбционный анализ	Сульфидные месторождения.	Геологические съемочные и поисковые работы (масштабы 1:50 000 и крупнее)

Класс ГП	Показатели, являющиеся ГП	Типы объектов, для которых характерна высокая вероятность встречи ГП	Стадии и масштабы работ
	Комплекс литофильных элементов (ΣL) Al, Ti, V, Ga, Zr (спектральный анализ концентратов)	Поля гидротермально измененных пород, связанные с магматическими комплексами, разломными структурами и оруденением (плутоногенным кварцевого парагенезиса, пегматитовым, грейзеновым, гидротермальным вулканогенного класса)	Масштабы 1:50 000 и крупнее
	Комплекс сидерофильных элементов (ΣSid) - Fe, Cr, Mn, Co, Ni (спектральный анализ концентратов)	Поля гидротермально измененных пород, связанных с основными и ультраосновными магматическими комплексами и оруденением (ликвиационным, колчеданным, карбонатитовым)	Глубинное геологическое картирование (масштабы 1:100 000 и крупнее)
	$\sum Me_2 - \sum Cu, Ni, Co, Mn$ (ДДК Na-метод)	Оруденение, связанное с базитами и гипербазитами, а также любые сульфидные руды	
Специальные (примеры)	Au, K Sn Cd, Ag Hg, Sb Nb, Ta U, Rh W Cs Re	Золотосеребряные Оловорудные Полиметаллические Ртутьно-сурьмяные Тантало-ниобиевые Радиоактивных элементов Вольфрамовые Поллуцитовые Молибденовые с рением	Детальные поисковые и разведочные работы (масштабы 1:25 000, 1:10 000, 1:5000)

жение, по возможности всех (независимо от типа оруденения) участков земной коры, которых в той или иной степени коснулся рудный процесс, т.е. показать контуры рудоносных структур, рудных узлов, а также отдельных крупных рудных полей, выделяемых в виде перспективных участков, как правило, значительных по площади; определить специфические

металлогенические черты исследуемой территории. Используется класс общих гидрогоеохимических показателей.

На последующей стадии геологосъемочных работ (масштаб 1:25 000 - 1:50 000), которые являются более специализированными, направленными на выявление конкретных типов оруденения в установленных региональными работами металлогенических зонах и рудных районах, основная цель - расширение перспектив известных рудных районов или рудных узлов путем опоискования их флангов, выявления в их пределах новых перспективных участков, определение сравнительных перспектив этих участков и выделение первоочередных из них для дальнейших более детальных работ. Другими словами, в пределах системы эндогенного оруденения необходимо разобраться с группой типов месторождений определенной металлогенической специализации. Класс ГП, несущий наибольшее количество информации, - класс групповых ГП.

На стадии же детальных поисков и поисково-разведочных работ (масштабы крупнее 1:10 000) необходима оценка флангов и глубинных частей с целью поисков рудных тел определенного генезиса и состава.

Кроме того, стадия детальных работ, в особенности ее последние разведочные этапы, усложняются задачей оценки состояния природных вод. Как было показано ранее, выявление месторождений часто приводит к формированию среды, благоприятной для накопления в водах значительных концентраций токсичных элементов. Наиболее благоприятны для накопления тяжелых металлов кислые воды сульфидных месторождений с высоким ОВП и воды с высоким pH и низким ОВП редкометалльных месторождений, связанных со щелочными породами (накопление элементов, мигрирующих в анионах). Кроме того, следует учитывать высокие концентрации лигантов, формирующих устойчивые комплексы с токсичными элементами (фторбериллатные комплексы, карбонатные комплексы редких земель и др.). Поэтому на стадии детальных поисков, а в особенности при разведке месторождений в комплекс определений включаются определения элементов, накапливающихся в специфических гидрогоеохимических средах разрушающихся рудных тел.

Класс ГП, несущий наибольшее количество информации на этой стадии, - класс специальных ГП.

Вот три генеральные стадии поисково-разведочных работ и информативная оценка всех известных ГП должна вестись в пределах этих уровней (см. рис. 24). Для демонстрации расчета информационных оценок ГП и получения их классификации рассмотрены три системы, для которых известны частоты встречаемости в пределах рудных и безрудных объектов (обобщение фактического материала):

- 1) рудных месторождений различных типов;

- 2) безрудных объектов;
- 3) ГП.

Таким образом, класс *общих* гидрогеохимических показателей выделяет систему эндогенного оруденения среди безрудных объектов; класс *групповых* ГП отделяет группы минерагенически близких месторождений в системе эндогенного оруденения; класс *специальных* ГП - конкретные типы рудных тел среди этих групп.

Ранее [15] на основе положений теории информации приводились доказательства того, что наибольшее количество информации при проведении региональных работ (мелко- и среднемасштабные геолого-поисковые работы) несут общие ГП, при проведении геолого-поисковых работ в определенных металлогенических зонах или рудных районах (масштабы 1:200 000 - 1:25 000) - групповые, а в пределах конкретного рудного поля с задачей поисков рудных тел на флангах и в глубоких горизонтах - специальные ГП (см. табл. 87).

Формирование комплексов ГП для разных стадий работ. Как было показано ранее [15], класс общих показателей при укрупнении масштаба работ, т.е. на более низком (более специализированном) информационном уровне, несет дополнительную информацию о перспективах рудоносности в конкретном рудном районе за счет априорной вероятности. Другими словами, в известном рудном районе даже общий ГП *скорее всего* будет связан с конкретным типом руд. Выше мы уже говорили о сквозной информации, проходящей через все информационное поле. Как раз эта информация и поставляется с помощью общих ГП, которые мы называем также универсальными ГП. Более того, практика показывает, что гидрогеохимические аномалии специальных ГП, не подтвержденные аномалиями общих ГП, мало перспективны. Здесь мы не будем останавливаться на геохимических причинах такой эмпирической закономерности, однако проявляется она в подавляющем большинстве случаев, и ее необходимо использовать в практике работ. Поэтому формирование комплекса ГП при переходе на новый информационный уровень (более крупномасштабную стадию) происходит не путем замены одного класса ГП другим, более специализированным, а путем добавления в комплекс общих (универсальных) ГП вначале групповых, а затем и специальных ГП. При этом очевидно, что выявляется некий *опорный комплекс общих гидрогеохимических показателей*, используемый на всех информационных уровнях, т.е. при всех масштабах работ. Он предназначен для получения "сквозной" информации и является стержневым для любой методики, работающей стадийно. Для гидрогеохимических поисков таким опорным комплексом является комплекс ГП, используемый при проведении региональной стадии. Основой для формирования опорного комплекса служит класс общих (универсальных) ГП, и для гидрогеохимических поисков можно рекомендовать его в следующем виде: полевое определение pH, главных анионов

(HCO_3^- , SO_4^{2-} , Cl^-) и суммы тяжелых металлов. Кроме того, производится отбор пробы-концентраты для проведения полу-количествоенного анализа на широкий круг микроэлементов, в котором должны быть учтены группы лиофильных (Al, Ti, V, Ga, Zr), халькофильных (Zn, Cu, Pb, Cd, As, Ag, Bi, Mo), сидерофильных элементов (Fe, Ni, Co, Cr, Mn), а в зависи-мости от необходимости и другие элементы этих групп. Каждый из элементов этого анализа не может быть отдельным ГП ввиду недостаточности аналитической характеристики, комп-лексы же элементов являются хорошими ГП (см. табл. 88).

Для опорного комплекса должна быть спроектирована марш-рутная гидрогеохимическая лаборатория. Кроме того, опорный комплекс должен быть нормирован.

В определенной металлогенической зоне или рудном районе при проведении следующей стадии к опорному комплексу при-соединяются групповые, а на детальных работах в пределах конкретного рудного узла или месторождения - специальные ГП. Рабочие комплексы для различных стадий работ приведены в табл. 88. Сформулируем теперь три основных принципа раз-работки рациональной методики гидрогеохимических поисков, которые могут быть использованы при разработке любого ме-тода, связанного с картированием или поиском объектов.

I. *Принцип информационных уровней* (основной). Количество информации об объекте должно быть необходимым и достаточным для решения геологической задачи. Принцип предполагает соот-ветствие гидрогеохимических показателей уровню информации.

II. *Принцип стадийности*. Работы пространственного ха-рактера должны учитывать распределение информации в про-странстве, поэтапно выделяя все меньшие участки ("инфор-мационные узлы") со все возрастающей плотностью информации.

III. *Принцип прогресса*. Получение необходимой информации рационально при уменьшении цены единицы информации и уве-личении скорости ее получения.

Применение изложенных принципов может быть осуществлено как в одном виде исследований для разных стадий работ (на-пример, при создании методики гидрогеохимических поисков рудных месторождений), так и для нескольких направлений гидрогеохимических работ при одновременном решении комплекса задач [18].

Одновременные исследования на нескольких направлениях (различного рода комплексные работы), решающие целый ком-плекс задач, усложняют создание рациональной методики, но не меняют принципов ее формирования.

В стратегическом смысле содержание комплексных работ определяется, с одной стороны, видом информации (направление работ), а с другой - ее количеством, получаемым с единицы площасти (объема), т.е. плотностью - детальностью, масштаб-ностью работ. Тогда содержание работ можно представить в виде матрицы (табл. 89).

Структура методики гидрогеохимических поисков рудных месторождений

Стадии	Подстадии	Горноскладчатые области и расчлененные щиты (регионы I типа)			Платформенные области и перекрытые щиты (регионы II типа)		
		Гумидные без мерзлоты [оловоносная зона структурного шва; кварц-кассiterитовые руды]	Гумидные при наличии мерзлоты [грейзеновый тип; вольфрамовые руды]	Аридные без мерзлоты (пегматитовый тип; поллуцитовые руды)	Гумидные без мерзлоты [гидротермальные месторождения вулканогенного класса; золотосеребряные руды]	Гумидные при наличии мерзлоты [магматические месторождения; медно-никелевые руды]	Аридные [гидротермальные месторождения плутоногенного класса; уран-полиметаллические руды]
Региональные геофизические работы (м-бы 1:200 000-1:100 000)	На перспективных участках по результатам геофизических работ проводятся гидрогеохимические работы по методике поисков м-ба 1:50 000	На перспективных участках по результатам геофизических работ проводятся гидрогеохимические работы по методике поисков м-ба 1:50 000	На перспективных участках по результатам геофизических работ проводятся гидрогеохимические работы по методике поисков м-ба 1:50 000	На перспективных участках по результатам геофизических работ проводятся гидрогеохимические работы по методике поисков м-ба 1:50 000	На перспективных участках по результатам геофизических работ проводятся гидрогеохимические работы по методике поисков м-ба 1:50 000	На перспективных участках по результатам геофизических работ проводятся гидрогеохимические работы по методике поисков м-ба 1:50 000	На перспективных участках по результатам геофизических работ проводятся гидрогеохимические работы по методике поисков м-ба 1:50 000
Региональная геологическая съемка и поиски (м-бы 1:200 000-1:100 000)	Общие ГП. Поверхностные водопроявления, источники. Плотность опробования 0,15-0,4 т/км ²	Общие ГП. Поверхностные водопроявления, источники. Плотность опробования 0,15-0,4 т/км ²	Общие ГП. Поверхностные водопроявления, источники. Плотность опробования 0,2-0,5 т/км ²	Общие ГП. Для масштаба 1:100 000 групповые ГП ($\sum Fe$, спектральный анализ концентратов на комплекс литофильтных элементов Al, Ti, V, Ga, Zr). Источники, скважины, ко-	Общие ГП. Для масштаба 1:100 000 групповые ГП ($\sum Fe$, спектральный анализ концентратов на комплекс литофильтных элементов Al, Ti, V, Ga, Zr). Источники, скважины, колодцы. Плотность опробования 0,2-0,7 т/км ²	Общие ГП. Для масштаба 1:100 000 групповые ГП ($\sum Fe$, спектральный анализ концентратов на комплекс литофильтных элементов Al, Ti, V, Ga, Zr). Плотность опробования 2-5 т/км ²	Общие ГП. Для масштаба 1:100 000 групповые ГП ($\sum Fe$, спектральный анализ концентратов на комплекс литофильтных элементов Al, Ti, V, Ga, Zr). Плотность опробования 0,3-0,8 т/км ²
Детализационные съемка и поисково-съемочные работы (м-бы 1:50 000-1:25 000)	Общие ГП. Групповые ГП (Mo, F). Плотность опробования 1-2 т/км ²	Общие ГП. Групповые ГП (Mo, F, Be). Плотность опробования 1,5 - 2,5 т/км ²	Общие ГП. Групповые ГП (Li, F, Mo). Плотность опробования 1,5 - 3 т/км ²	Общие ГП. Групповые ГП ($\sum Fe$, pH, HCO ₃). Плотность опробования 2-5 т/км ²	Общие ГП. Групповые ГП ($\sum Fe$, спектральный анализ концентратов на комплекс литофильтных элементов - Al, Ti, V, Ga, Zr). Плотность опробования 2-6 т/км ²	Общие ГП. Групповые ГП ($\sum Fe$, F, спектральный анализ концентратов на комплекс литофильтных элементов - Al, Ti, V, Ga, Zr). Специальные ГП (U, другие элементы, выявленные в процессе работ). Плотность опробования 2-6 т/км ²	Общие ГП. Групповые ГП (Cu, Ni, Co, Mn, определяемая ДДК-методом). Болота, наледи, шурфы, скважины, источники, колодцы. Плотность опробования 0,3-0,8 т/км ²
Особый вид работ	Глубинное геологическое картирование (м-бы 1:200 000-1:100 000 или 1:50 000)	Общие ГП. Групповые ГП (Mo, F). Отбор проб в скважинах, а также по площади работ в соответствии с масштабом. Плотность оп-	Общие ГП. Групповые ГП (Mo, F, Be). Отбор проб в скважинах, а также по площади работ в соответствии с масштабом. Плот-	Общие ГП. Групповые ГП (Li, F, Mo). Специальные ГП (Cs, Nb, Rb, другие элементы, выявленные в процессе работ). Отбор проб в	Общие ГП. Групповые ГП ($\sum Fe$, спектральный анализ концентратов на комплекс литофильтных элементов - Al, Ti, V, Ga, Zr). Специаль-	Общие ГП. Групповые ГП ($\sum Fe$, спектральный анализ концентратов на комплекс литофильтных элементов - Al, Ti, V, Ga, Zr). Специаль-	Общие ГП. Групповые ГП ($\sum Fe$, спектральный анализ концентратов на комплекс литофильтных элементов - Al, Ti, V, Ga, Zr).

Стадии	Подстадии	Горнокладчатые области и расчлененные щиты (регионы I типа)			Платформенные области и перекрытые щиты (регионы II типа)		
		Гумидные без мерзлоты [оловоносная зона структурного шва; кварц-кассiterитовые руды]	Гумидные при наличии мерзлоты [грейзеновый тип; вольфрамовые руды]	Аридные без мерзлоты [пегматитовый тип; полутитовые руды]	Гумидные без мерзлоты [гидротермальные месторождения вулканогенного класса; золотосеребряные руды]	Гумидные при наличии мерзлоты [магматические месторождения; медно-никелевые руды]	Аридные [гидротермальные месторождения плутоногенного класса; уран-полиметаллические руды]
Деталь- ные по- исково- разве- дочны- е работы	Детальные (мбы 1:10 000 и крупнее) работы	ность опробова- ния 1-2 т/км ²	ность опробова- ния 1-2 т/км ²	скважинах, а также по пло- щади работ в соответствии с масштабом. Плотность оп- робования 1,5-3 т/км ²	ные ГП (K, Au, Ag, другие эле- менты, выявлен- ные в процес- се работ). Отбор проб в скважи- нах, а также по площади ра- бот в соотв- етствии с масшта- бом. Плотность опробования 2-6 т/км ²	Специальные ГП (Co, другие элементы, выяв- ленные в про- цессе работ). Отбор проб в скважинах, а также по площа- ди работ в соот- ветствии с мас- штабом. Плот- ность опро- бования 2-6 т/км ²	Специальные ГП (U, Cd, Pb, дру- гие элементы, выявленные в процессе работ) Отбор проб в скважинах, а также по площа- ди работ в соот- ветствии с мас- штабом. Плот- ность опро- бования 2-6 т/км ²
Разведоч- ные работы	Три класса ГП. Накапли- вающиеся ком- поненты (F, Be и др.). Плотность опробования > 25 т/км ² . Общий анализ	ность опробова- ния 0-25 т/км ²	Плотность оп- робования 10-25 т/км ²	процессе ра- бот). Плот- ность опро- бования 10-25 т/км ²	Zr). Специаль- ные ГП (K, Au, Ag, другие эле- менты, выявлен- ные в процес- се работ). Плот- ность опро- бования 15-30 т/км ²	Ti, V, Ga, Zr) Специальные ГП (Co, другие элементы, выяв- ленные в про- цессе работ). Плотность оп- робования 15-30 т/км ²	Al, Ti, V, Ga, Zr). Специаль- ные ГП (Cd, U, Pb, Ag, другие эле- менты, выяв- ленные в про- цессе работ). Плотность оп- робования 15-30 т/км ²
		Три класса ГП. Накапли- вающиеся компоненты (F, Be и др.). Плотность опробования > 25 т/км ² . Общий анализ	Три класса ГП. Накапли- вающиеся компоненты (F, Be и др.). Плотность опробования > 25 т/км ² . Общий анализ	Три класса ГП. Накапли- вающиеся компоненты (Pb, As, Ag, Be, H ⁺ и др.). Плотность оп- робования > 25 т/км ² . Общий анализ	Три класса ГП. Накапливающиеся компоненты (Pb, H ⁺ , Cu, As, Ni, Co, Ti, Cr, Be и др.). Плотность оп- робования > 30 т/км ² . Общий анализ	Три класса ГП. Накапливающиеся компоненты (U, Pb, As и др.). Плотность оп- робования > 30 т/км ² . Общий анализ	Три класса ГП. Накапливающиеся компоненты (U, Pb, As и др.). Плотность оп- робования > 30 т/км ² . Общий анализ

П р и м е ч а н и я. 1. В квадратных скобках - условные примеры типов оруденения. 2. Общие ГП - определение EZn, Cu, Pb (дитизоновый метод); pH, SO₄²⁻, HCO₃⁻, Cl; спектральный анализ концентрата на комплекс халькофильных элементов (Pb, Cu, Zn, Cd, Co, Ag, Mo, Bi, Ni).

Матрица задач

Направление	Масштаб		
	Региональный (мелкий) 1	Детализационный (средний) 2	Детальный (крупный) 3
I	$M_{I,1}$	$M_{I,2}$	$M_{I,3}$
II	$M_{II,1}$	$M_{II,2}$	$M_{II,3}$
III	$M_{III,1}$	$M_{III,2}$	$M_{III,3}$

Специализация задач зависит от выбора направления работ и увеличивается с укрупнением работ. Предварительно составляется матрица задач, с рассмотрением которой и начинается формирование рационального комплекса.

Рассмотрение необходимой гидрогохимической информации для решения всего перечня задач позволяет стратегически разбить ее на три основных класса:

1) общая информация, необходимая для решения всех или подавляющего большинства задач любой детальности; ее получение осуществляется определением значений общих гидрогохимических показателей (ОГП);

2) специальная информация, необходимая для решения отдельных частных задач при увеличении детальности работ; ее получение осуществляется определением значений специальных гидрогохимических показателей;

3) информация, выделяющая группы объектов на промежуточных уровнях (класс групповых гидрогохимических показателей).

Классификация гидрогохимических показателей, используемых при решении комплекса задач

A. Общие гидрогохимические показатели:

органолептические свойства и температура воды;

концентрация основных компонентов, определяемых общим анализом воды (Ca , Mg , Na , K , HCO_3^- , CO_3^{2-} , $\text{CO}_{2\text{cb}}$, SO_4^{2-} , Cl^- , NO_2^- , NO_3^- , NH_4^+ , H_4SiO_4 , $\text{Fe}_{\text{общ}}$);

концентрации широкого комплекса микрэлементов, определяемых из одной пробы концентрата (спектральный анализ, рентгенорадиометрический анализ или др.);

сумма тяжелых металлов ($\text{Cu} + \text{Zn} + \text{Pb}$), определяемая дитизоном;

$C_{\text{орг}}$ (или бихроматная окисляемость).

B. Групповые показатели:

комплекс литофильных элементов - Ti , Al , V , Ga , Zr (картирование региональных разломов, апикальных и приконтактовых частей интрузий, полей гидротермально измененных пород);

комплекс халькофильных элементов - Cu , Pb , Zn , Ag , As , Bi , Co (оценка перспектив оруденения любого типа);

комплекс сидерофильных элементов - Cr , Mn , Co , Ni (картирование гипербазитов и оруденения, связанного с ними);

сумма фенолов;
сумма нефтепродуктов (оценка загрязнения от нефтедобывающей и нефтеперерабатывающей промышленности);
сумма СПАВ;
превалирующий пестицид (оценка сельскохозяйственного загрязнения);
фтор (поиски редкометального оруденения, картирование провинций фторносных вод, апикальных частей гранитоидов);
литий (поиски редкометального оруденения, литиеносных вод);
сумма железа (поиски провинций железистых вод, сульфидного оруденения, оценка загрязнения от металлургической промышленности);
комплекс NO_2 , NO_3 , NH_4^+ (оценка сельскохозяйственного загрязнения, поиски азотных термальных вод).

B. Специальные гидрогеохимические показатели (примеры):

концентрации Na, K, Li, Rb, Cs, Sr, определяемые из одной пробы пламенно-фотометрическим методом (поиски и разведка минеральных и промышленных вод);
содержание I, Br, B, As, Rn (поиски и разведка минеральных и промышленных вод);
концентрации Pb, As, Hg, Cd или других токсичных элементов в пределах аномалий $\sum \text{Zn}$, Pb, Cu (возможное рудное загрязнение, водоснабжение, охрана среды);
концентрации F, Be (водоснабжение, гидрогеохимические поиски редкометальных месторождений);
концентрации фенолов, битумов (поиски нефтяных и газовых месторождений);
концентрации пестицидов (охрана гидросферы в районах сельскохозяйственного загрязнения);
концентрации K и Au в водах (поиски вулканогенных золотосеребряных руд);
другие.

В зависимости от типа и детальности задачи для исследований формируется комплекс показателей ОГП, ГГП и СГП.

По мере укрупнения масштаба работ все более интенсивно должны использоваться ГГП и СГП. Стадии работ должны различаться не только плотностью сети опробования, но и комплексом работ, который увеличивается с ростом детальности (плотностью необходимой информации). Естественно, при этом увеличивается количество средств и времени, необходимых для отработки 1 км² площади. Следовательно, на ранних стадиях геологоразведочных работ (в мелких масштабах) требуется дешевая и оперативная отработка значительных территорий, при крупных масштабах необходимо тратить большие средства и время для исследования 1 км² площади.

Отсюда следуют требования к разработке аналитических методов определения ОГП и СГП: методы определения ОГП - должны быть экспрессными, дешевыми, необходима высокая транспортабельность приборов и оборудования (использование полевых и маршрутных лабораторий) с целью быстрого охвата значительных территорий; методы определения СГП - должны обладать высокой точностью, чувствительностью, а следовательно, они сравнительно дороги и ограничены в использовании в полевых условиях, как правило, необходимой аппаратурой оснащены лишь стационарные лаборатории.

Общий принцип рационального получения информации - на любой стадии минимизировать средства и время для ее получения прежде всего за счет прогрессивной технологии, более совершенных видов анализа, унификации методических приемов использования общих и региональных гидрохимических закономерностей. Приемы и методы анализа рекомендованы в табл. 90.

Таблица 90

Структура гидрохимических исследований

Направления работ	Детальность (стадийность) гидрохимических исследований		
	Региональные работы (м-б 1:200 000-1:50 000)	Оценочные работы (м-б 1:50 000 - 1:25 000)	Детальные работы (м-б 1:10 000 и крупнее)
Поиски и разведка целей водоснабжения	Общие гидрохимические показатели подземных (ОГП). На участках кроме F, Fe	ОГП. Определение выявленных в результате региональных работ или предполагаемых токсичных компонентов, определение круга этих компонентов и переход на методы анализа по ГОСТу	ОГП. Определение по прописям ГОСТа токсичных элементов, выявленных для ожидаемых в пределах водозabora, а также их форм в водах на основе полустационарной или стационарной лаборатории, развернутой в пределах объекта. Изучение режима всех определяемых компонентов по опорной сети выработок. Определение микрэлементов в питьевых водах ведется как по концентратам вод, так и по сухому остатку.
Поиски и разведка минеральных, термальных и циниций определения: промышленных вод	ОГП. На ключевых участках кроме минеральных, термальных и циниций определения: промышленных вод	ОГП. Определение состава газа, растворенных газов. Определение точными методами комплекса микрэлементов, выявленных в аномальных количествах на предыдущей стадии или по ОГП данной стадии. Ge, B, K, Li; Rb, Cs - для рассоловых или углекислых вод; J, Br, органические компоненты для высокоминерализован-	ОГП, газовых компонентов и комплекса аномальных микрэлементов по опорной сети выработок на основе полуустационарной или стационарной лаборатории, при необходимости развернутой в пределах объекта

Направления работ	Детальность (стадийность) гидрогеохимических исследований		
	Региональные работы (м-б 1:200 000 - 1:50 000)	Оценочные работы (м-б 1:50 000 - 1:25 000)	Детальные работы (м-б 1:10 000 и крупнее)
Охрана гидросферы	<p>ОГП. На ключевых участках кроме ОГП в зависимости от специализации.</p> <p>I. В районах горнорудной промышленности; As, Pb, Mg.</p> <p>II. В районах нефтяной, угольной и соляной добычи:</p> <p>I, Br, летучие органические кислоты</p> <p>III. В районах жилищно-промышленных комплексов: As, Pb, Hg, фенолы.</p> <p>IV. В районах сельскохозяйственных: пестициды, фосфаты</p> <p>V. В районах перспективных на поиски полезных ископаемых: F, Be, Fe, Ti (в зависимости от специализации)</p>	<p>ных вод нефтегазоносных районов;</p> <p>As, Fe - для соответствующих типов минеральных вод и т.д.</p> <p>ОГП. Определение выявленных в результате региональных работ или предполагаемых загрязнений компонентов + те же определения на конкретных объектах, загрязняющих подземные воды.</p> <p>В районах I - As, Pb, Hg и другие накапливающиеся в водах микроэлементы; Σ нефтепродуктов;</p> <p>II - органические кислоты;</p> <p>III - As, Pb, Hg, фенолы, Σ нефтепродуктов, Σ СПАВ</p> <p>IV - пестициды, фосфаты</p> <p>V - F, Li, Fe, Mo и другие в зависимости от специализации</p>	<p>Режимное изучение (мониторинг) ОГП и выявленных загрязняющих элементов, а также их форм на конкретных объектах на основе полустационарной или стационарной лаборатории</p> <p>Другие специальные показатели, выявленные в процессе региональных работ</p>
Гидрогеохимические поиски полезных ископаемых	<p>ОГП. На ключевых участках кроме ОГП в зависимости от специализации:</p> <p>определение битумов при поисках нефтяных и газовых месторождений;</p> <p>определение типоморфных элементов (например, фтора, и лития для редкometальных провинций) при поисках</p>	<p>ОГП. Определение элементов, типоморфных для данной металлогенической (нефтегазоносной) зоны или конкретного района (например, для гидротермальных месторождений кварцевого генезиса или определение битумов, нафтеновых кислот для</p>	<p>ОГП. Определение элементов (компонентов), типоморфных для данной металлогенической (нефтегазоносной) зоны или конкретного района. Выявление и определение компонентов поисковых признаков для определенного типа конкретного месторождения (например, Корр Au-K для золотосеребряных</p>

Направления работ	Детальность (стадийность) гидрогеохимических исследований		
	Региональные работы (м-б 1:200 000-1:50 000)	Оценочные работы (м-б 1:50 000 - 1:25 000)	Детальные работы (м-б 1:10 000 и крупнее)
	рудных месторождений	нефтегазоносных районов)	месторождений в зоне ультрапресных вод) с целью расширения перспектив месторождения на флангах и глубине. При необходимости - организация режимных наблюдений.
Мелиорация земель	ОГП. На ключевых участках водная вытяжка из почв и грунтов для определения ОГП	ОГП. Подземных вод и водных вытяжек из почв и грунтов	Режимное изучение ОГП, грунтовых и поверхностных вод, вытяжек почв и грунтов и поровых растворов

Практика показывает, что класс ОГП является основой методики гидрогеохимических исследований вод, СГП не исключает ГГП и ОГП, а добавляются к ним, способствуя решению конкретной задачи, ибо, как показано ранее, ОГП несут дополнительную информацию при укрупнении масштаба работ.

Изложенное выше позволяет рекомендовать для рационального решения всего комплекса задач создание двух опорных полевых гидрогеохимических лабораторий:

1) полевой маршрутной гидрогеохимической лаборатории для определения ОГП, используемой на всех направлениях и стадиях работ;

2) полевой полустационарной лаборатории для детальных работ на крупных объектах, где необходимы гидрогеохимические исследования (рудные месторождения, участки загрязнения вод, водозаборы и т.д.), широко использующей инструментальные методы и нацеленной прежде всего на определение СГП.

СПИСОК ЛИТЕРАТУРЫ

1. Баас Бекинг Л.Г.М., Каплан И.Р., Мур Л. Пределы колебаний рН и окислительно-восстановительных потенциалов природных сред// Геохимия литогенеза. - М., 1963. - С. 11-84.
2. Бродский А.А. Гидрогеохимический метод поисков рудных месторождений (Временные методические указания). - М.: Госгеотехиздат. - 1957. - С. 59.
3. Бродский А.А. Основы гидрогеохимического метода поисков сульфидных месторождений. - М.: Недра, - 1964. - 259 с.
4. Брусиловский С.А. О миграционных формах редких элементов в природных водах// Гидрогеохимические материалы. - 1963. - Т. 35. - С. 112-114.
5. Бугельский Ю.Ю. Миграция рудных компонентов в грунтовых водах полиметаллических месторождений, расположенных в различных климатических условиях// Тр. межведомственного совещания по гидрогеохимическому методу поисков рудных месторождений. - Томск, 1962. - С. 47-51.
6. Вентцель Е.С. Теория вероятностей. - Москва, Наука. - 1966.
7. Вистелиус А.Б. Задачи геохимии и информационные меры// Советская геология. - 1964. - № 12. - С. 97-115.
8. Волков Г.А. К характеристике окислительно-восстановительной зональности подземных вод// Вопросы формирования химического состава подземных вод. - М., 1979. - С. 47-51.
9. Волков Г.А., Соломин Г.А. Оценки значений констант устойчивости комплексных соединений в связи с вопросами миграции элементов в подземных водах// Экспресс-информация ВИЭМС. Сер. гидрогеология и инженерная геология - 1983. - Вып. 3. - С. 1-24.
10. Гаррелс Р.М., Крайст У.Л. Растворы, минералы, равновесия. - М.: Мир. - 1968. - 368 с.
11. Геохимические особенности эволюции поровых вод седиментационных бассейнов (в связи с участием в стратиформном рудообразовании)/ С.Р. Крайнов, Л.И. Матвеев, Г.А. Соломин и др// Геохимия. - 1984. - № 8. - С. 11-15.
12. Еникеев Н.И. К вопросу о роли основных катионов подземных вод при гидрогеохимических поисках глубокозалегающих рудных тел// Гидрогеохимические методы поисков рудных месторождений. - Новосибирск, 1983. - С. 154-155.
13. Закутин В.П., Щека Б.А. Окислительно-восстановительные состояния подземных вод// Гидрогеология и инженерная геология. - М., 1985. - С. 23-35.
14. Колотов Б.А., Киселева Е.А., Рубейкин В.З. К вопросу о вторичном рассеянии рудных месторождений// Геохимия. - 1965. - № 7. С. 878-880.
15. Колотов Б.А. Информационные меры, как основа создания рациональной методики гидрогеохимических поисков. - М.: Изд-во ВСЕГИНГЕО. - 1973.
16. Колотов Б.А., Эленбоген А.М. О специфике форм миграции микрокомпонентов в подземных водах// Докл. АН СССР. - 1974. - Т 216. - № 1. - С. 187-190.
17. Колотов Б.А., Крайнов С.Р. Основные принципы создания рациональной методики гидрогеохимических поисков// Гидрогеохимические методы поисков рудных месторождений. - Новосибирск, 1983. - С. 110-113.
18. Колотов Б.А., Галицын М.С. Оптимизация гидрогеохимических исследований при проведении гидрогеологической съемки// Советская геология. - 1986. - № 2. - С. 122-126.
19. Колотов Б.А. Иерархия геологической информации и ее прагматика

ческий аспект (на примере гидрогохимических исследований) / Системный подход в геологии. Тез. докл. - Москва. - 1986. - С. 186-187.

20. Крайнов С.Р. Геохимия редких элементов в подземных водах (в связи с геохимическими поисками месторождений). - М.: Недра, - 1973. - 296 с.

21. Лисицын А.К. К характеристике среды при гидрогохимических исследованиях // Геохимия. 1963. - № 2. - С. 88-95.

22. Ломоносов И.С., Ясько В.Г., Жбанов Э.Ф. Гидрогохимические поиски рудных месторождений на площадях межгорных впадин Забайкалья // Геохимические методы поисков рудных месторождений и прогноза землетрясений. - Новосибирск, 1983. - С. 223-231.

23. Макаров В.Н. Гидрогохимические ореолы и потоки рассеянных рудных месторождений Якутии // Гидрогохимические методы поисков рудных месторождений. - Новосибирск, 1983. - С. 145-151.

24. Огильви Н.А. Некоторые вопросы теории гидрогохимических полей // Труды ВСЕГИНГЕО. - Вып. 18. - Москва, 1959. - С. 28-34.

25. Основы гидрогохимических поисков рудных месторождений // Б.А. Колотов, С.Р. Крайнов, В.З. Рубейкин и др. - М.: Недра. - 1982. - 199 с.

26. Пономарев Е.А., Колосков В.П., Пономарева В.А. Выявление зон новейшей тектонической активизации юго-западных окраин Украинского кристаллического щита гидрогохимическим методом // Гидрогохимические методы поисков рудных месторождений. - Новосибирск, 1983. - С. 142-145.

27. Рубейкин В.З. Об интерпретации гидрогохимических аномалий // Докл. X конференции молодых научных сотрудников, аспирантов и инженеров. - М., 1966. - С. 33-39.

28. Смирнов Б.И. Геология полярных ископаемых. - М.: Наука. - 1969.

29. Смирнов С.И. Происхождение солености подземных вод седиментационных бассейнов. - М.: Недра, 1971. - 216 с.

30. Соколовский Ю.А. Экономические проблемы геологоразведочных работ. - Новосибирск: Наука. - 1974. - 116 с.

31. Удодов П.А., Онуфриенок И.П., Парилов Ю.С. Опыт гидрогохимических исследований в Сибири. - Новосибирск: Высшая школа. - 1962. - 191 с.

32. Формирование и строение ореолов рассеяния вещества в подземных водах / В.А. Грабовников, В.З. Рубейкин, Б.Г. Самсонов, Л.М. Самсонова. - М.: Недра. - 1977. - 136 с.

33. Фридман Я.Д. О взаимном влиянии атомов в координационных сферах // Журнал неорганической химии. - 1961. - № 7. - С. 117-123.

34. Хайдук Н.Г. Многоядерные комплексные полимеры // Успехи хим., 33. - 1961. - № 9. - С. 77-83.

35. Шварцев С.Л. Геохимия воды зоны гипергенеза: М.: Недра. - 1978.

36. Яцимирский К.Б., Васильев В.П. Константы нестойкости комплексных соединений. - М.: Наука. - 1959.

37. Bruck J.C., Street R.L. Two-dimensional dispersion. J. of the Sanitary Engineering Division Proceedings of the American Society of Civil Engineers NSA 6, 1967, v. 93; p. 17-23.

38. Bjerrum J., Schwarzenbach G., Sillen L. Stability constants. Pt. 11 London, 1958, 120 p.

39. Ogata A. Two-dimensional steady-state dispersion in a saturated porous medium. J. Research U.S. Geol. Survey. 1976. v. 4, N 3, May-June, p. 277-284.

40. Pourbaix M. Atlas of electrochemical equilibria in aqueous solutions. Brussels-London, 1966, 44 p.

41. Smith R.M., Martell A.K. Critical stability constants. v.3,4. Plenum Press, New York-London, 1975-76.

СОДЕРЖАНИЕ

Введение	3
Гидрогеохимические поля эндогенных рудных месторождений и вмещающих пород в зоне гипергенеза	5
Гидрогеохимическое поле природного объекта и основная концепция построения методики его картирования	5
Гидрогеохимические поля литологических толщ и магматических комплексов	23
Гидрогеохимические поля рудных месторождений	39
Условия формирования гидрогеохимических полей рудных месторождений	82
Физико-географические условия формирования гидрогеохимических полей	82
Влияние гидрогеологических условий на формирование гидрогеохимических полей рудных месторождений	95
Геолого-геохимические условия формирования гидрогеохимических полей рудных месторождений	114
Условия миграции элементов в гидрогеохимических полях рудных месторождений	123
Окислительно-восстановительный потенциал в гидрогеохимических полях рудных месторождений	123
Кислотно-щелочное равновесие в гидрогеохимических полях рудных месторождений	129
Условия комплексообразования (составления элементов) в гидрогеохимических полях рудных месторождений	135
Выводы сравнительного анализа гидрогеохимических полей природных объектов	158
Прикладное значение гидрогеохимических исследований и концепция рациональной методики решения прикладных задач (на примере изучения ГХП рудных месторождений)	167
Гидрогеохимическая информация и выбор оптимального комплекса гидро-геохимических исследований при решении задач	168
Список литературы	191

5519

НЕДРА